

ANEXO 9: Curvas Características de los perfiles de la serie SZ – 2100.

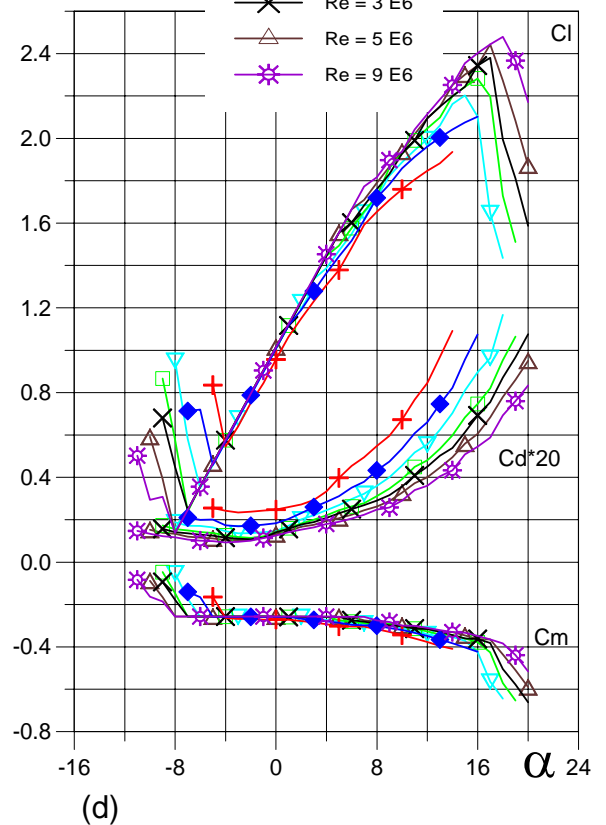
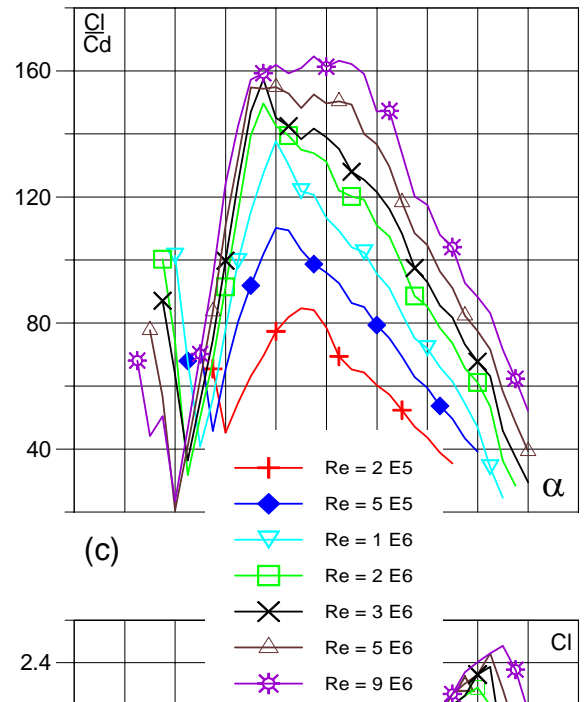
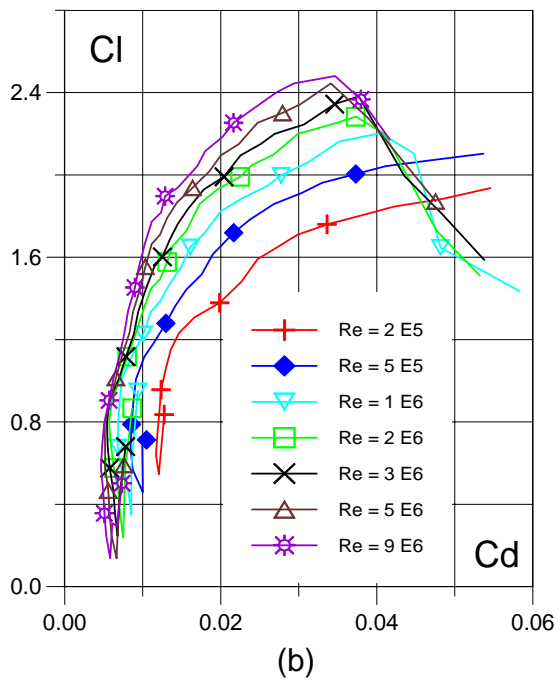
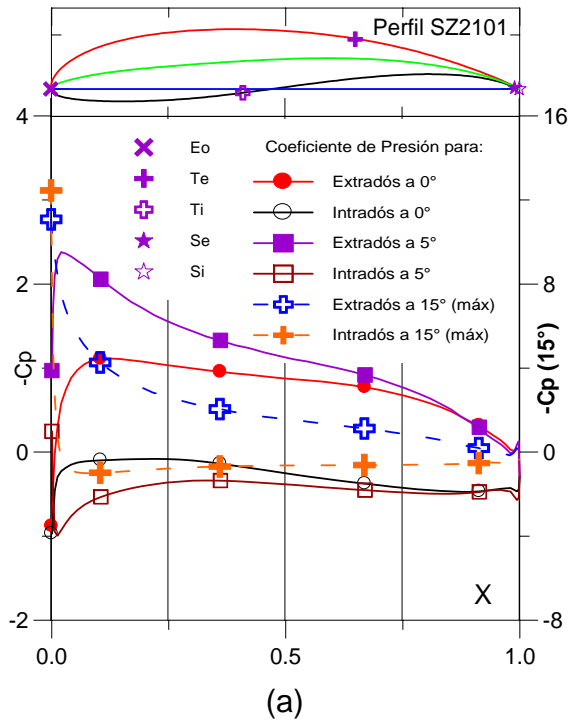


Fig. 5.2.3. (a) C_p (0° , 5° y Max) vs. X para $Re = 1 E 6$ (leer $C_{p\text{max}}$ a la derecha) y (b) Curvas Polares del Perfil SZ - 2101.

Fig. 5.2.4. (c) Curvas de Cl/Cd y (d) Cl , Cd , C_m vs. ngulo de ataque del Perfil SZ - 2101.

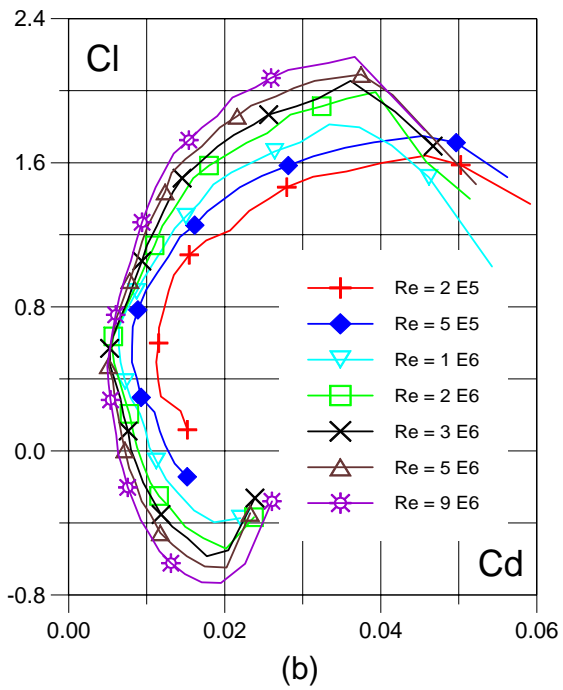
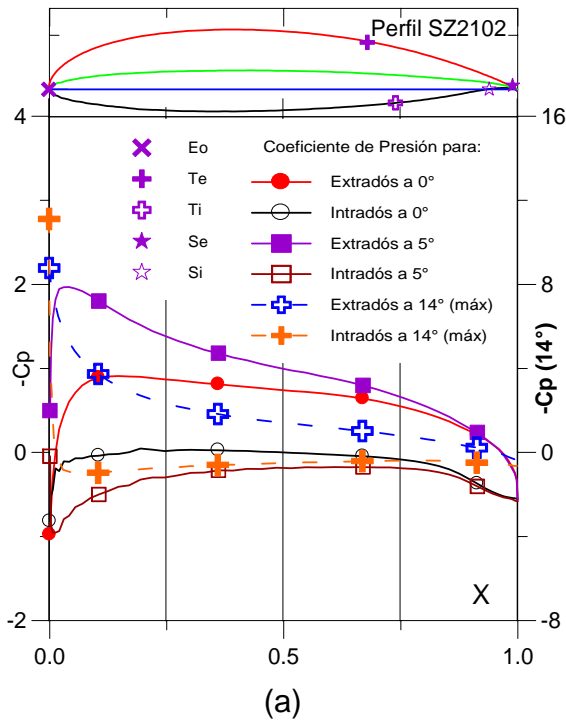


Fig. 5.2.5. (a) C_p (0°, 5° y Máx) vs. X para $Re = 1 E 6$ (leer $C_{p\text{máx}}$ a la derecha) y (b) Curvas Polares del Perfil SZ - 2102.

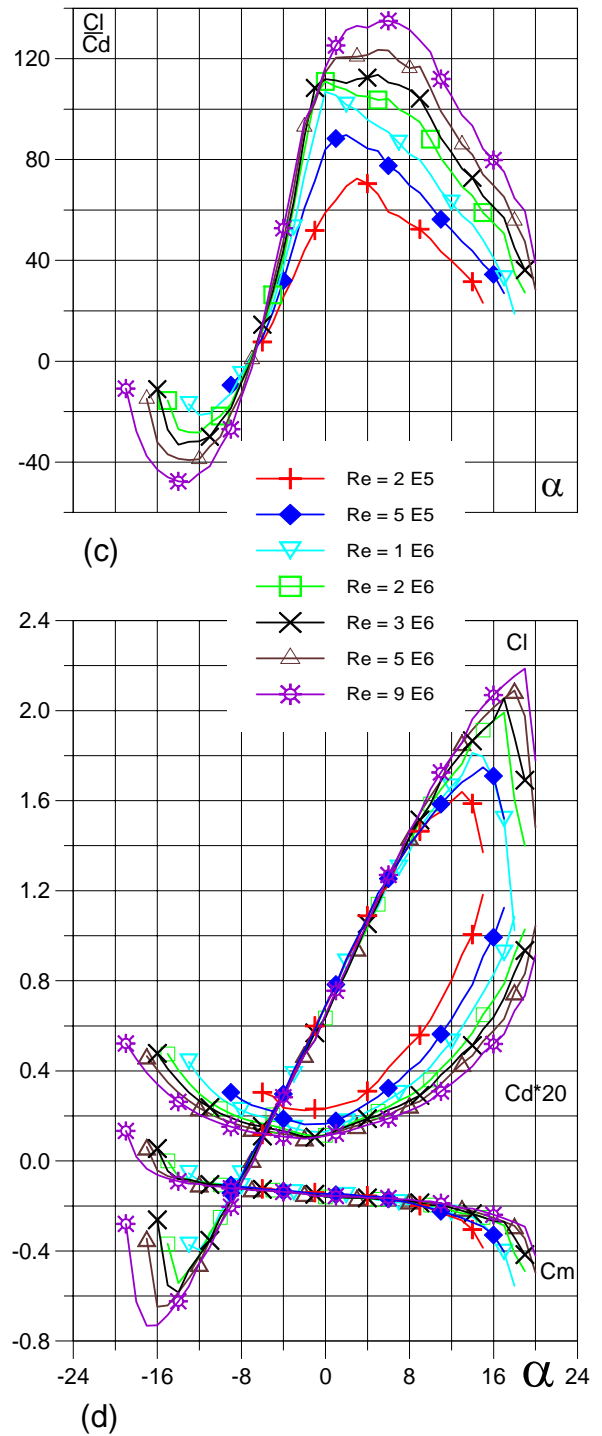


Fig. 5.2.6. (c) Curvas de Cl/Cd y (d) Cl , Cd , C_m vs. Ángulo de ataque del perfil SZ - 2102.

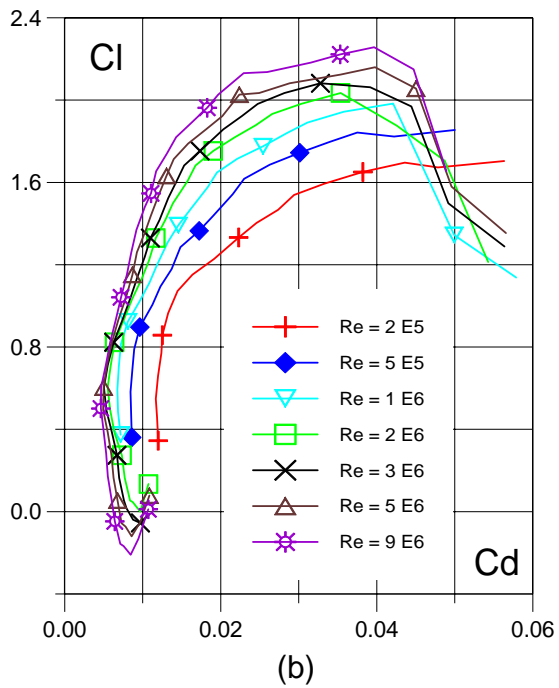
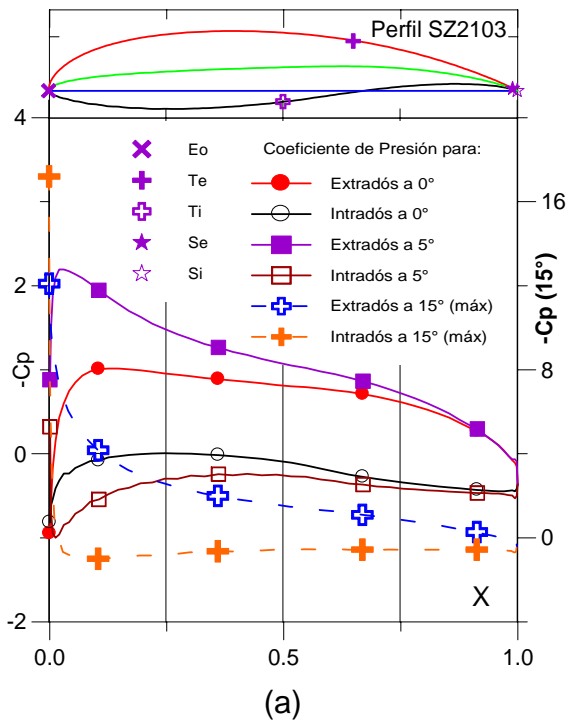


Fig. 5.2.7. (a) C_p (0° , 5° y Máx) vs. X para $Re = 1 E 6$ (leer $C_{p\text{máx}}$ a la derecha) y (b) Curvas Polares del Perfil SZ - 2103.

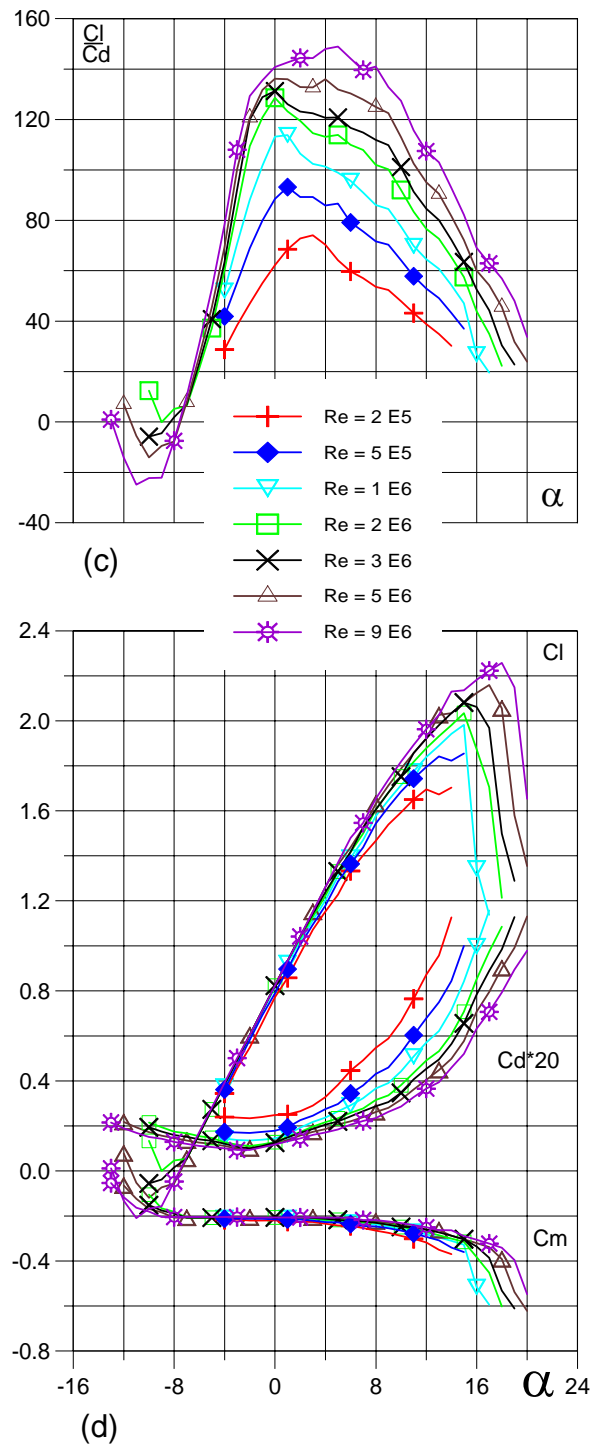


Fig. 5.2.8. (c) Curvas de Cl/Cd y (d) Cl , Cd , C_m vs. Ángulo de ataque del Perfil SZ - 2103.

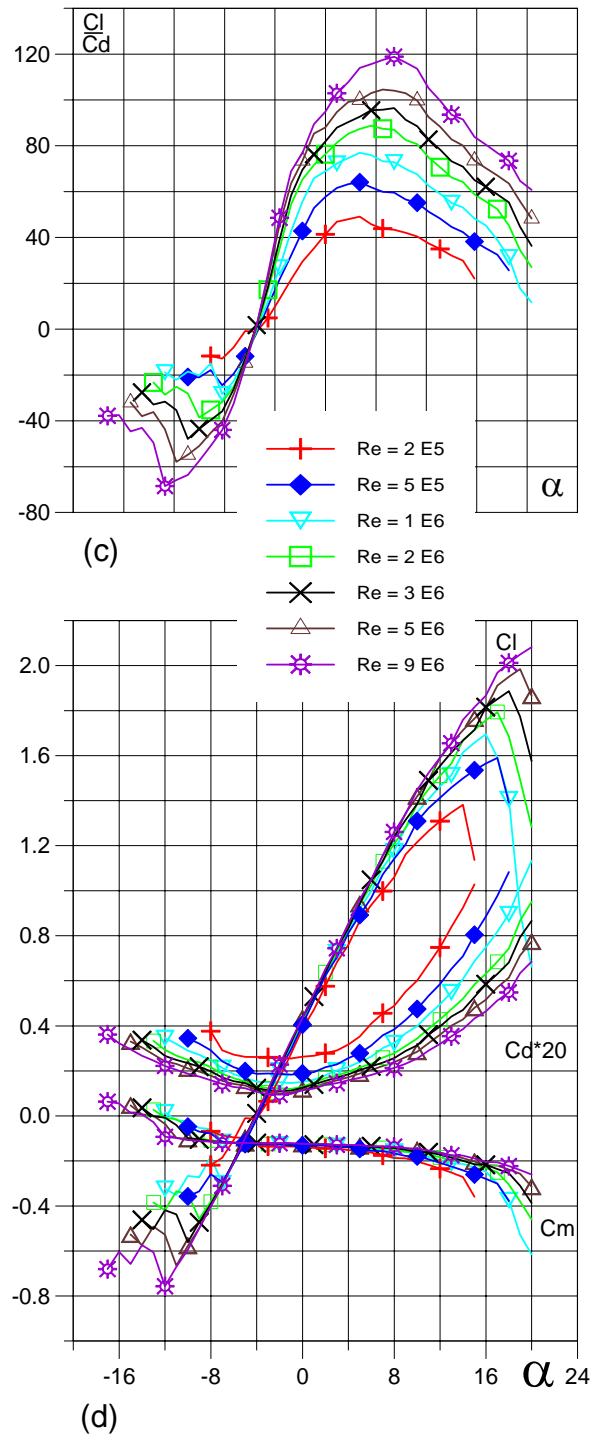
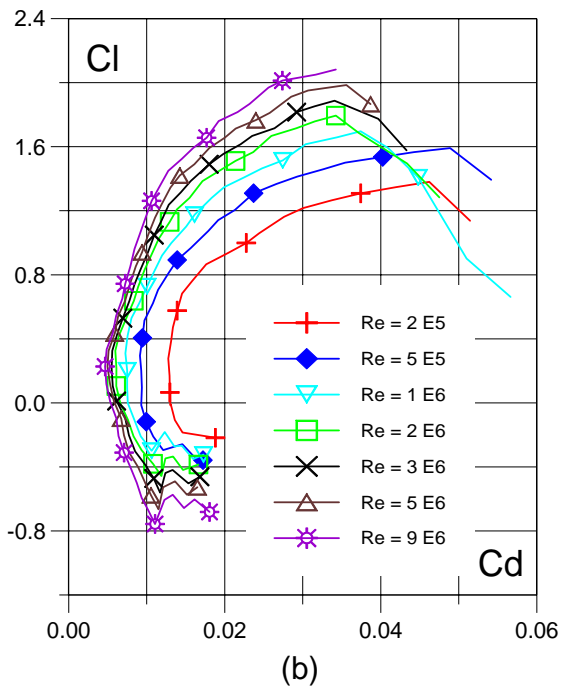
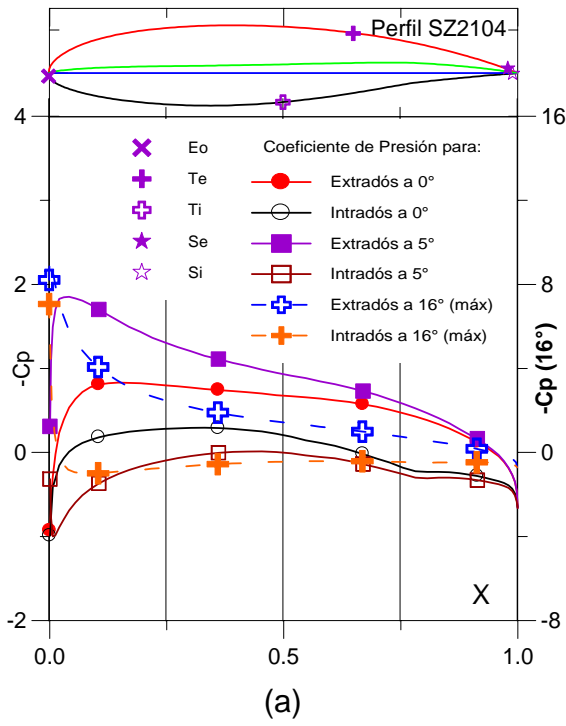


Fig. 5.2.9. (a) C_p (0°, 5° y Máx) vs. X para $Re = 1 E 6$ (leer $C_{p\text{máx}}$ a la derecha) y (b) Curvas Polares del Perfil SZ - 2104.

Fig. 5.2.10. (c) Curvas de Cl/Cd y (d) Cl , Cd , C_m vs. Ángulo de ataque del Perfil SZ - 2104.

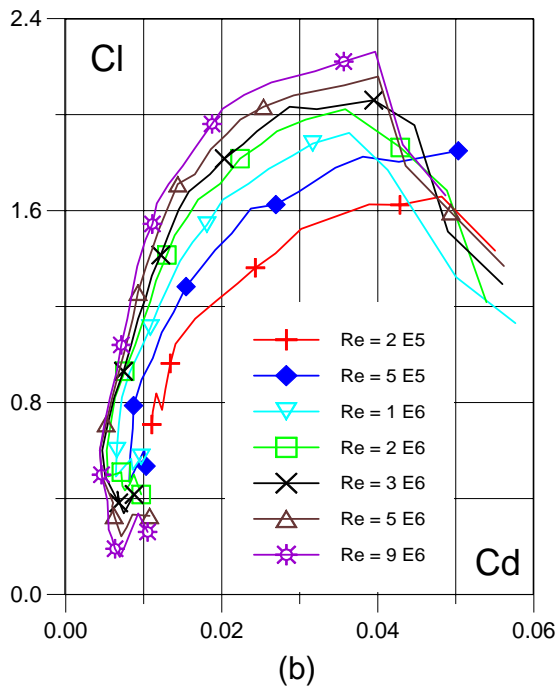
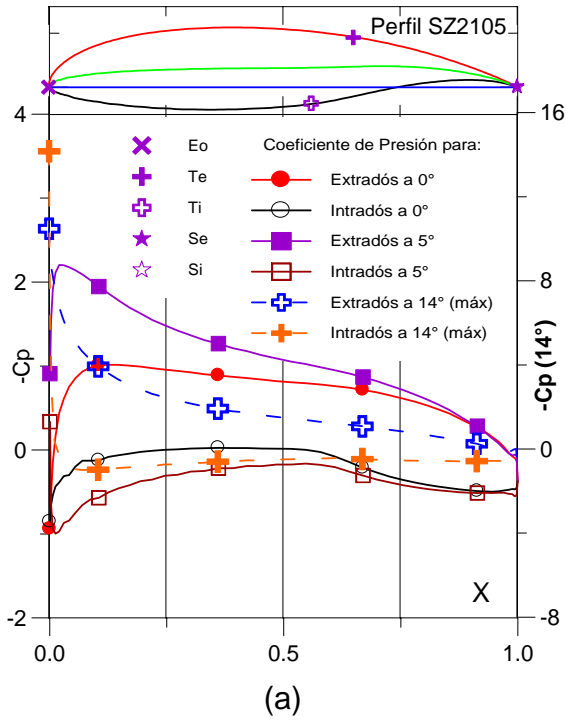


Fig. 5.2.11. (a) C_p (0° , 5° y Máx) vs. X para $Re = 1 E 6$ (leer $C_{p\text{máx}}$ a la derecha) y (b) Curvas Polares del Perfil SZ - 2105.

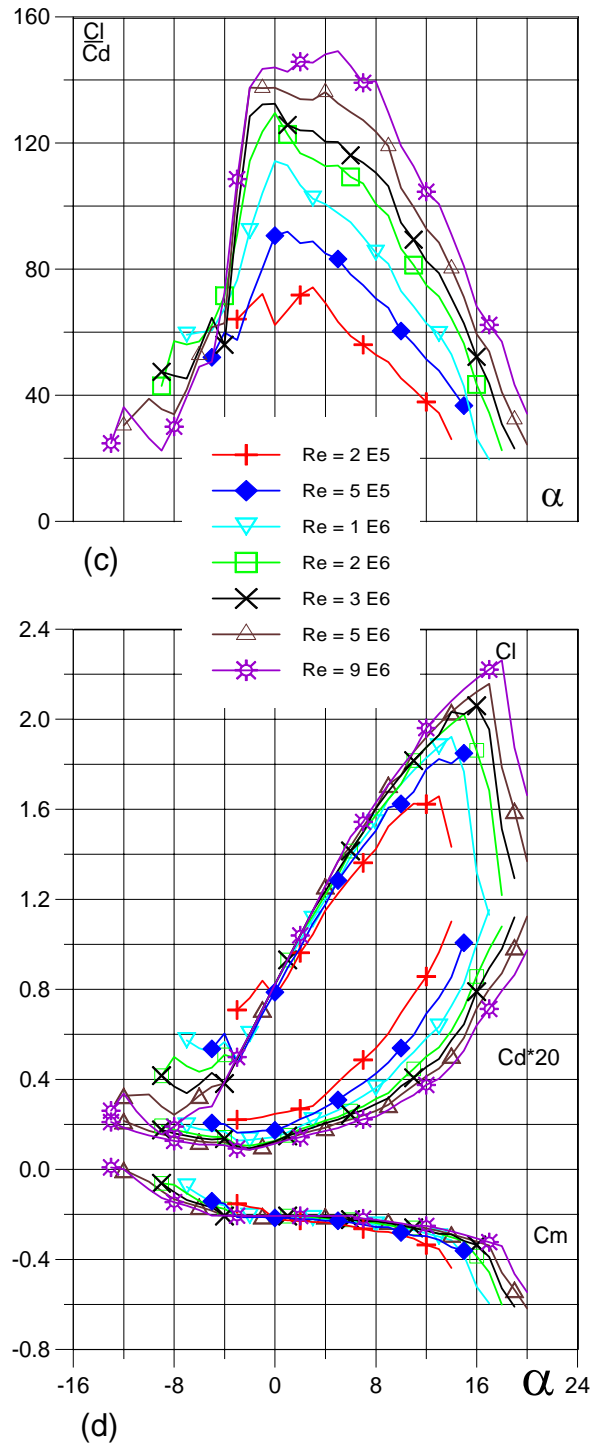


Fig. 5.2.12. (c) Curvas de Cl/Cd y (d) Cl , Cd , C_m vs. Ángulo de ataque del Perfil SZ - 2105.

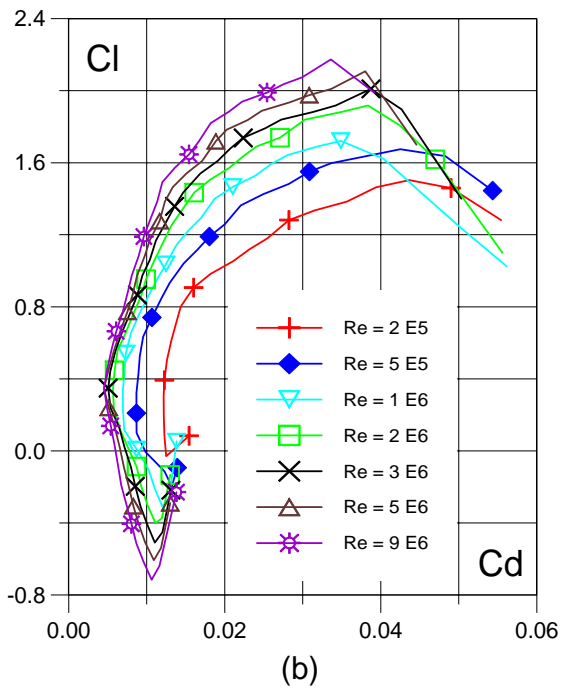
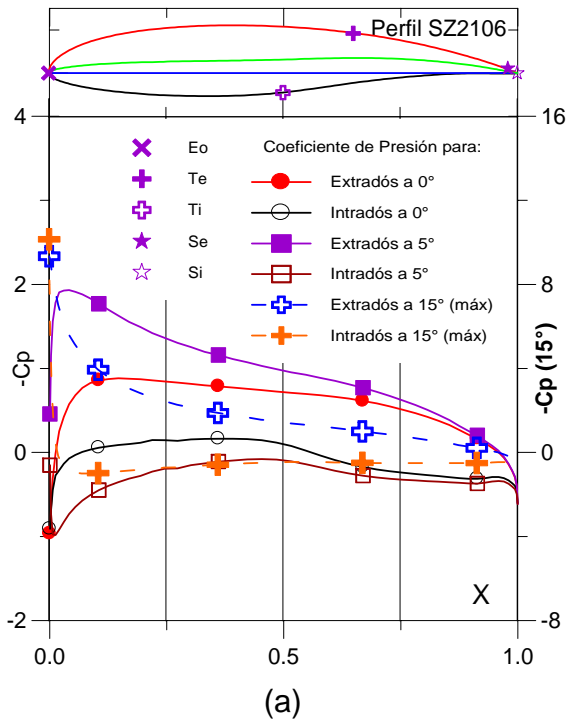


Fig. 5.2.13. (a) C_p (0° , 5° y Max) vs. X para $Re = 1 \times 10^6$ (leer $C_{p\text{max}}$ a la derecha) y (b) Curvas Polares del Perfil SZ - 2106.

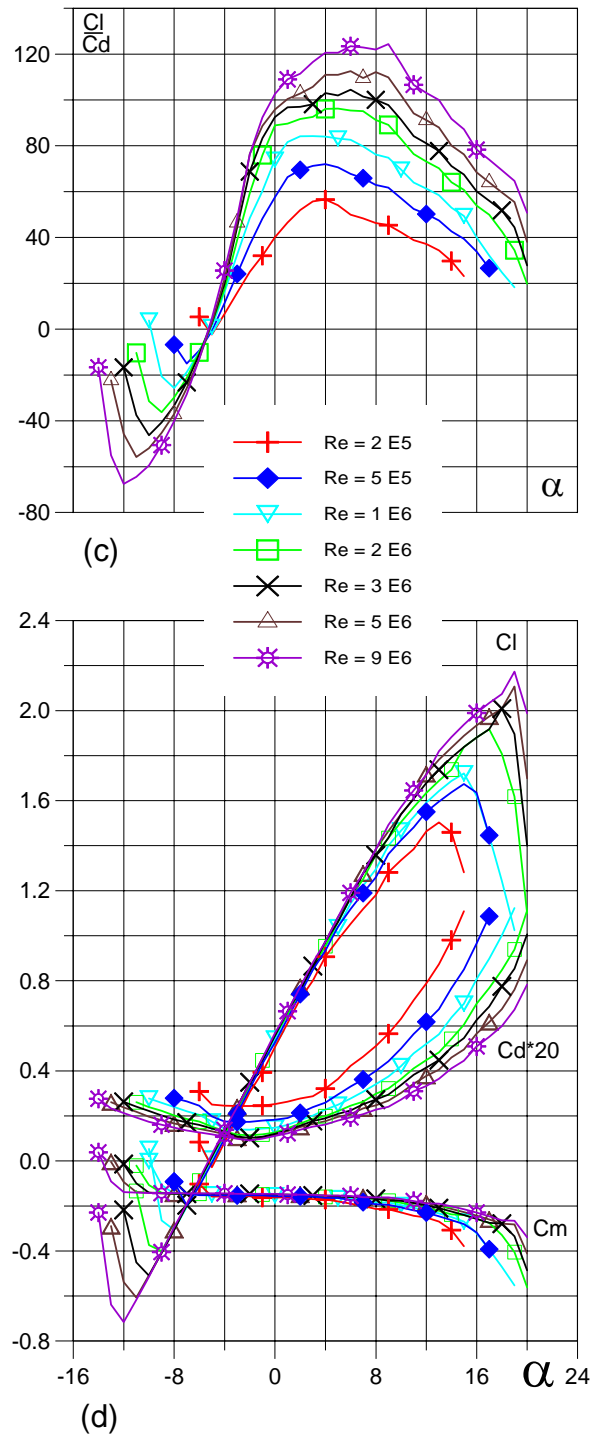


Fig. 5.2.14. (c) Curvas de C_l/C_d y (d) C_l , C_d , C_m vs. ngulo de ataque del Perfil SZ - 2106.

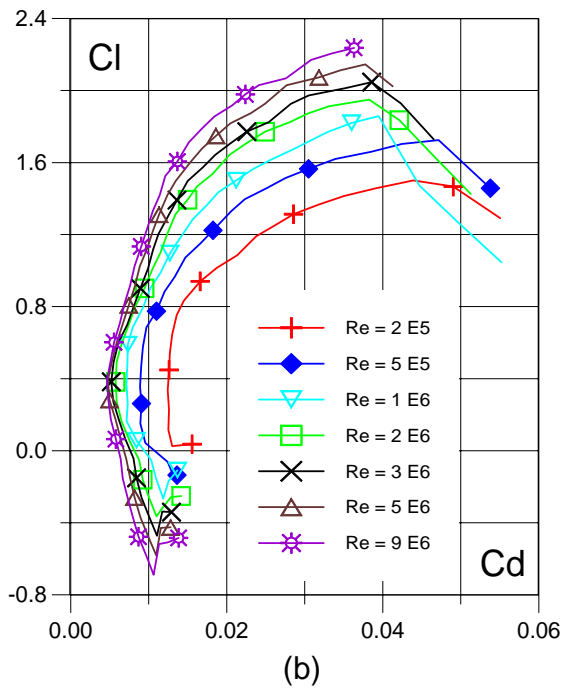
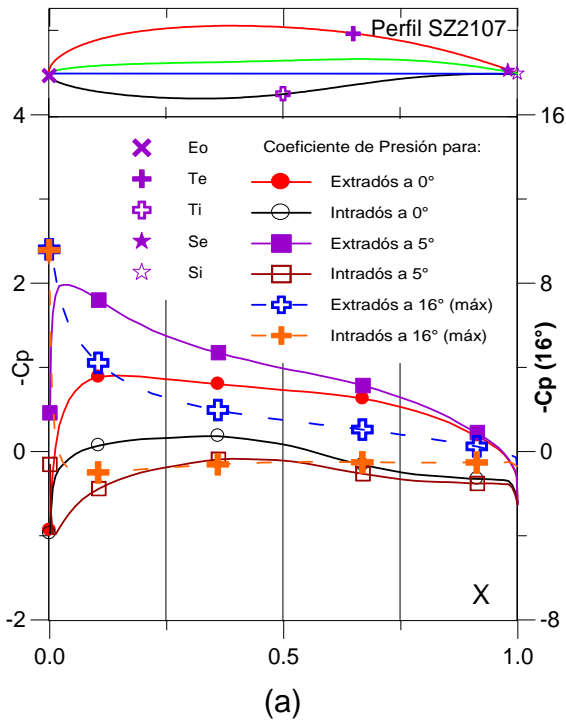


Fig. 5.2.15. (a) C_p (0° , 5° y Máx) vs. X para $Re = 1 E 6$ (leer $C_{p\text{máx}}$ a la derecha) y (b) Curvas Polares del Perfil SZ - 2107.

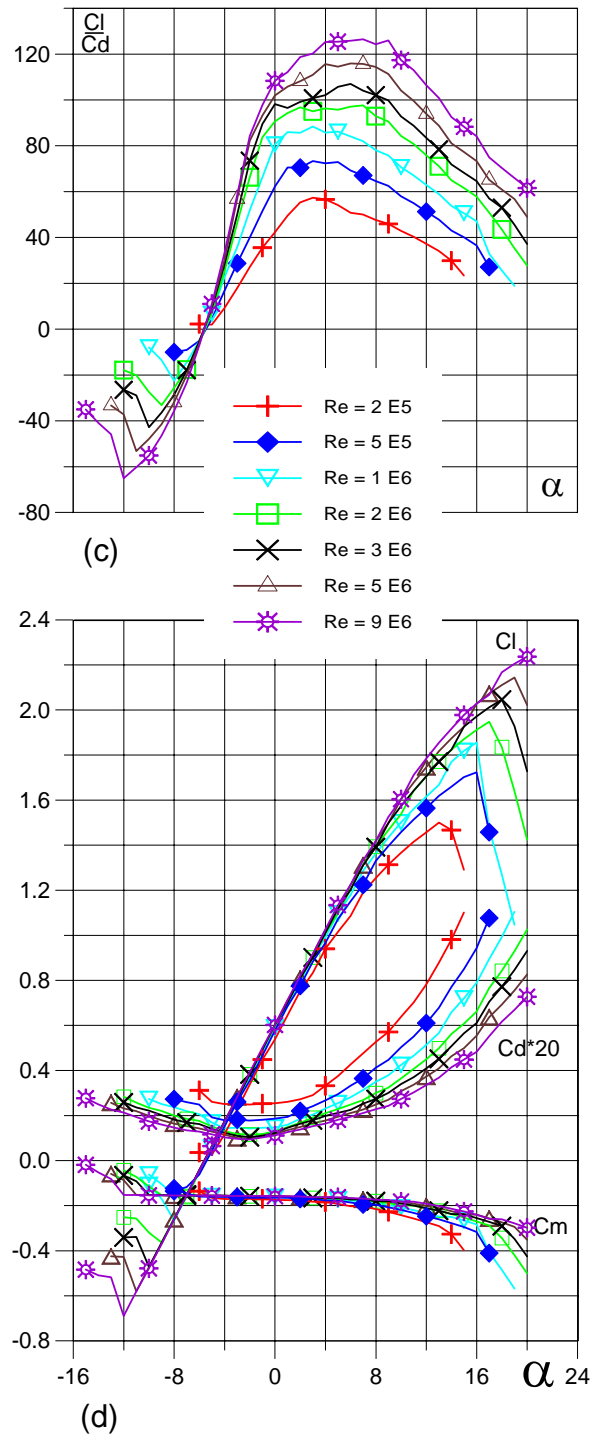


Fig. 5.2.16. (c) Curvas de Cl/Cd y (d) Cl , Cd , C_m vs. Ángulo de ataque del Perfil SZ - 2107.

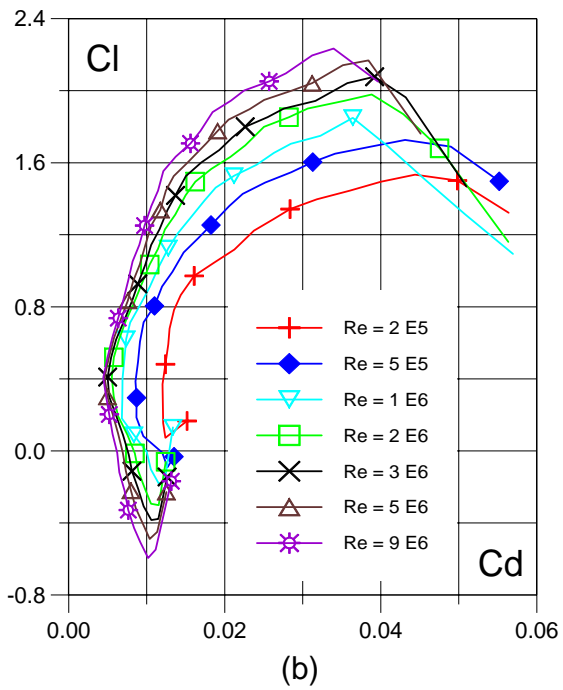
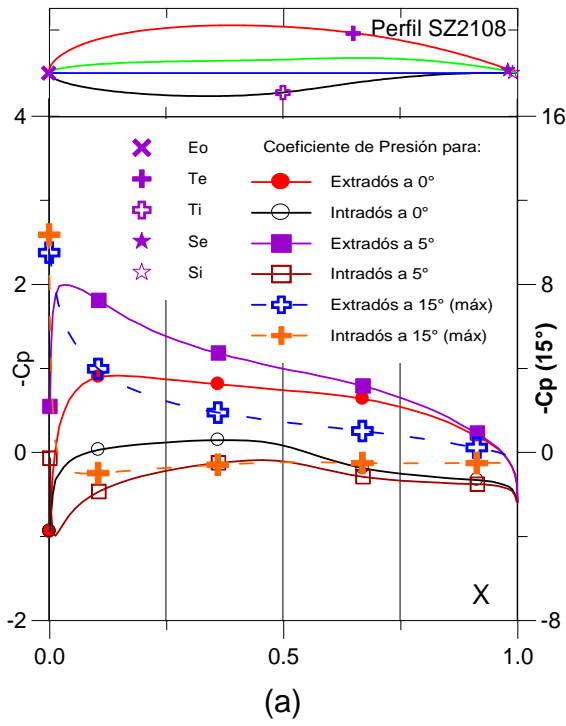


Fig. 5.2.17. (a) C_p (0° , 5° y Máx) vs. X para $Re = 1 E 6$ (leer $C_{p\text{máx}}$ a la derecha) y (b) Curvas Polares del Perfil SZ - 2108.

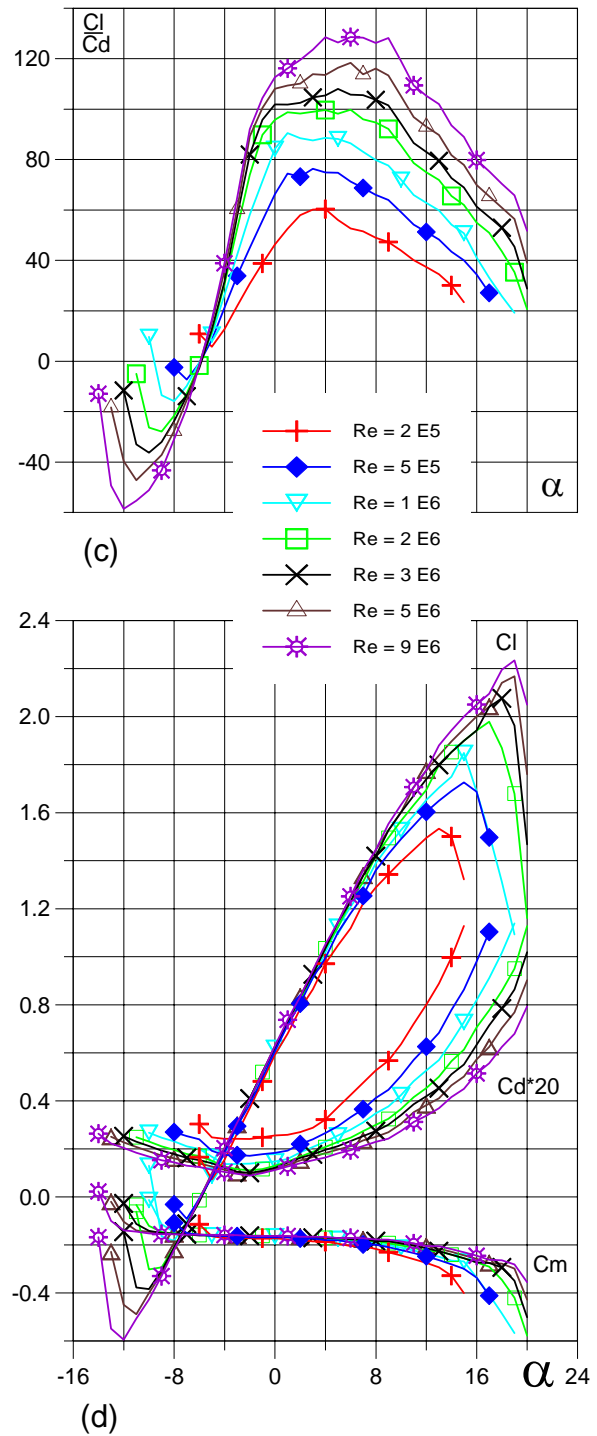


Fig. 5.2.18. (c) Curvas de Cl/Cd y (d) Cl , Cd , C_m vs. Ángulo de ataque del Perfil SZ - 2108.

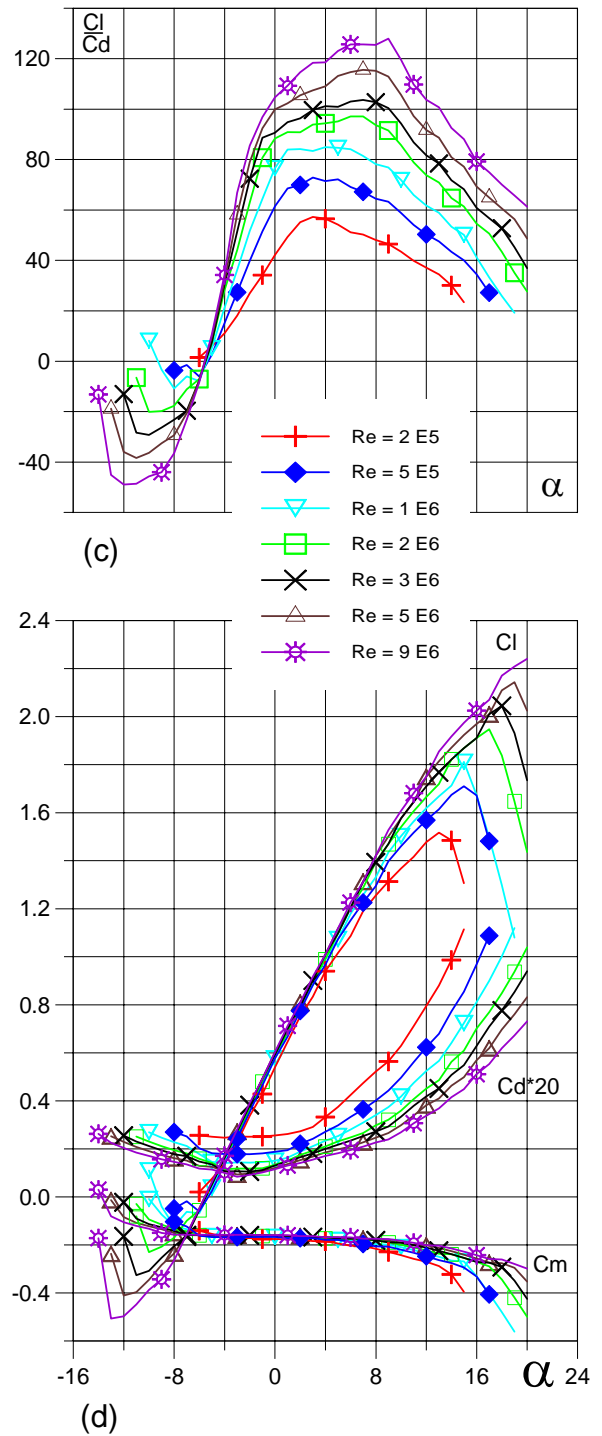
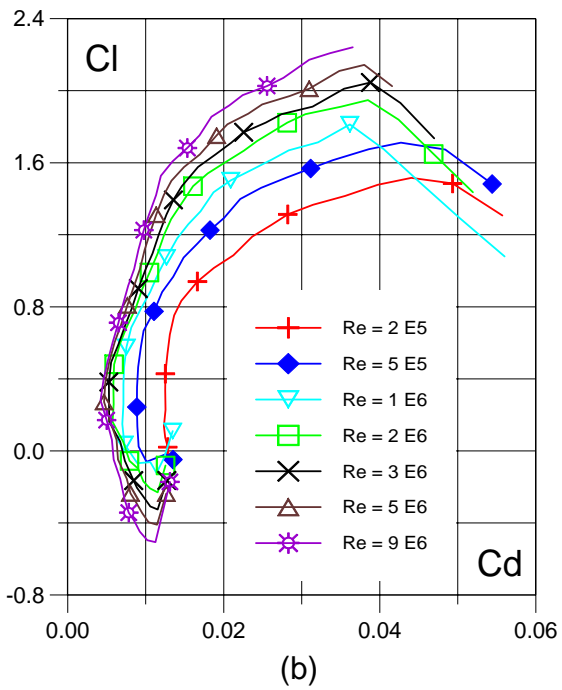
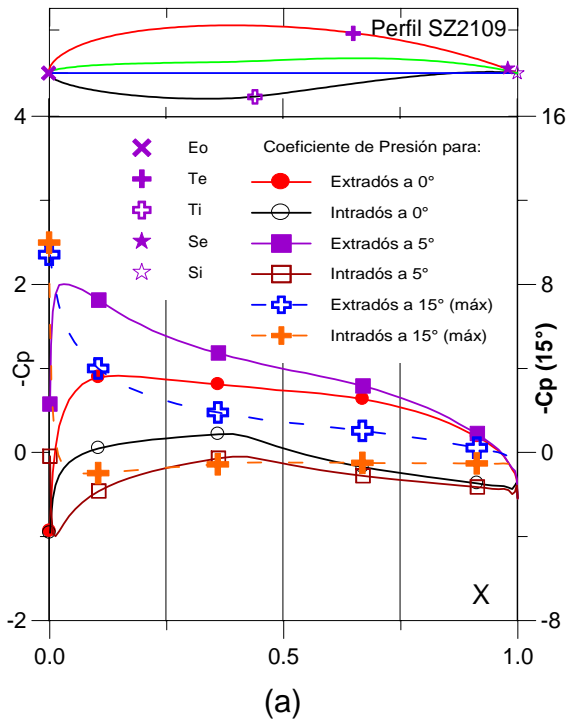


Fig. 5.2.19. (a) C_p (0° , 5° y Máx) vs. X para $Re = 1 E 6$ (leer $C_{p\text{máx}}$ a la derecha) y (b) Curvas Polares del Perfil SZ - 2109.

Fig. 5.2.20. (c) Curvas de C_l/C_d y (d) C_l , C_d , C_m vs. Ángulo de ataque del Perfil SZ - 2109.

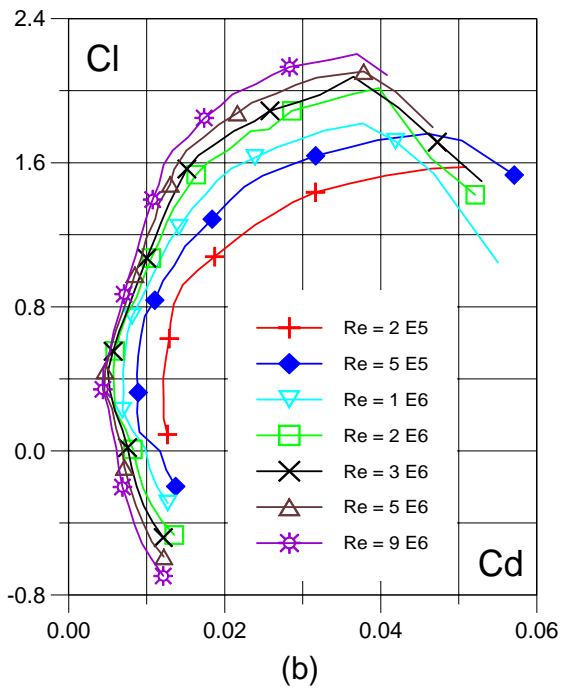
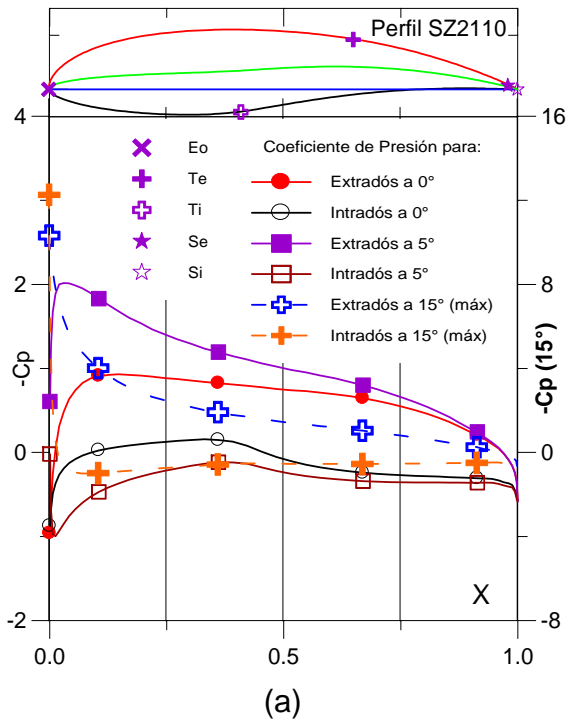


Fig. 5.2.21. (a) C_p (0° , 5° y Máx) vs. X para $Re = 1 E 6$ (leer $C_{p\text{máx}}$ a la derecha) y (b) Curvas Polares del Perfil SZ - 2110.

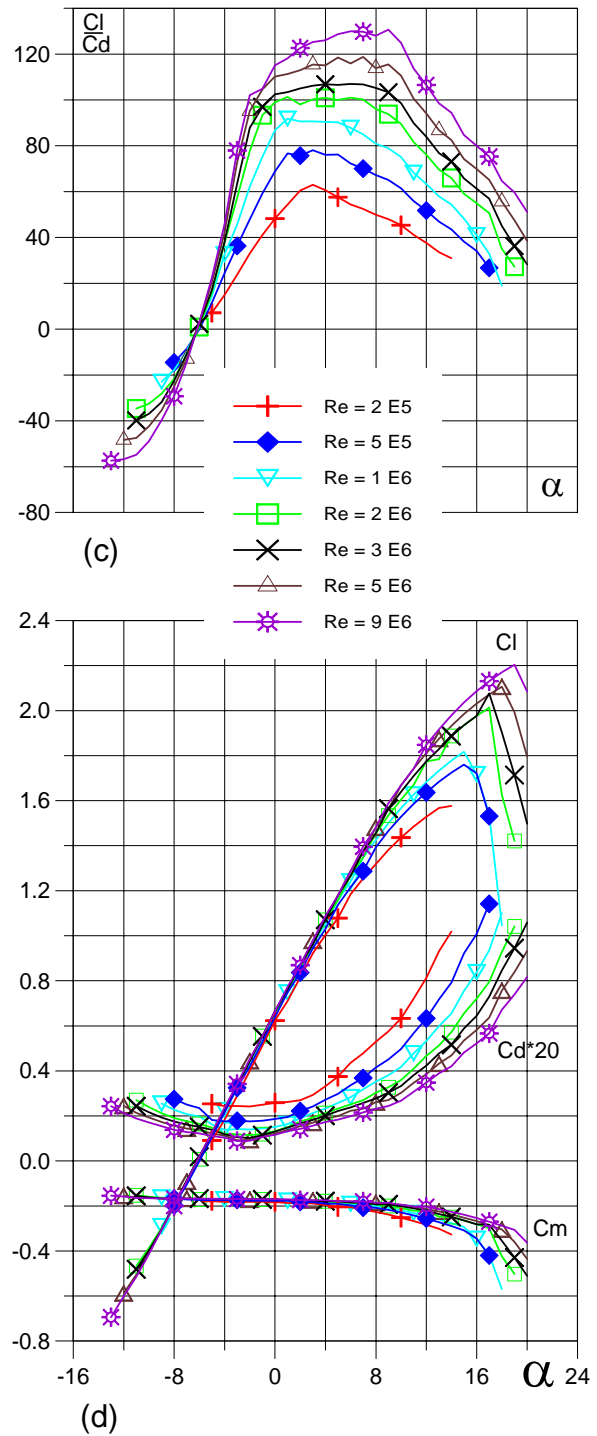


Fig. 5.2.22. (c) Curvas de C_l/C_d y (d) C_l , C_d , C_m vs. Ángulo de ataque del Perfil SZ - 2110.

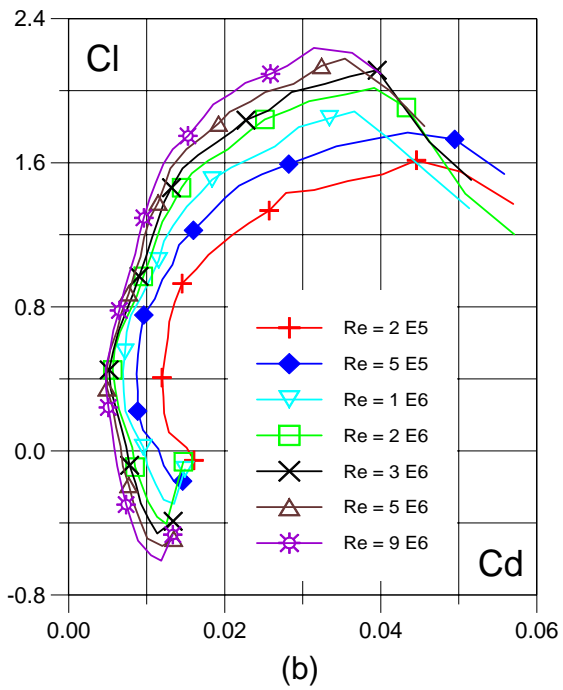
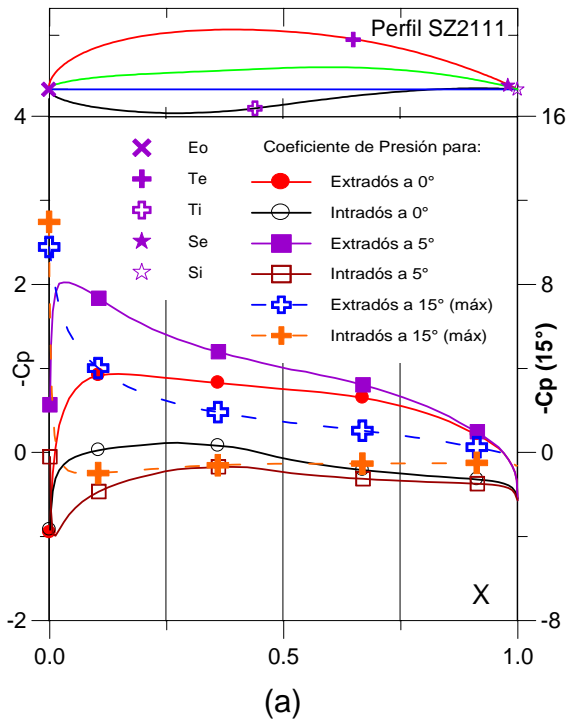


Fig. 5.2.23. (a) C_p (0° , 5° y Máx) vs. X para $Re = 1 E 6$ (leer $C_{p\text{máx}}$ a la derecha) y (b) Curvas Polares del Perfil SZ - 2111.

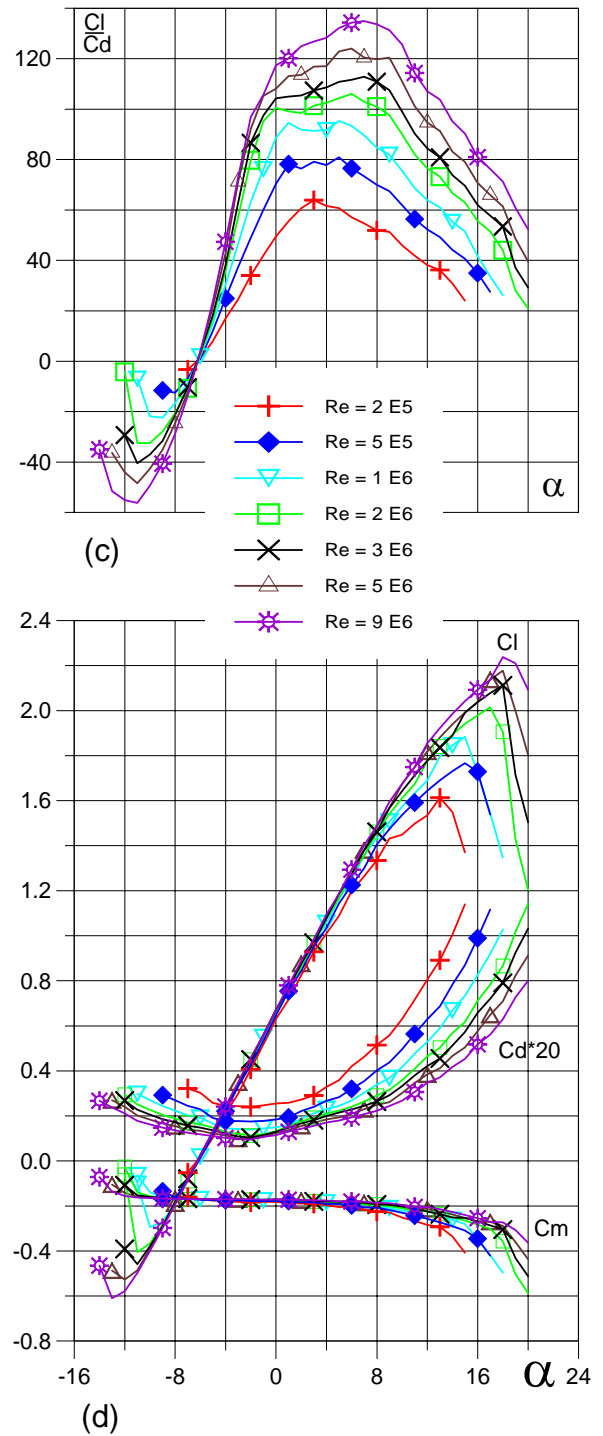


Fig. 5.2.24. (c) Curvas de Cl/Cd y (d) Cl , Cd , C_m vs. Ángulo de ataque del Perfil SZ - 2111.

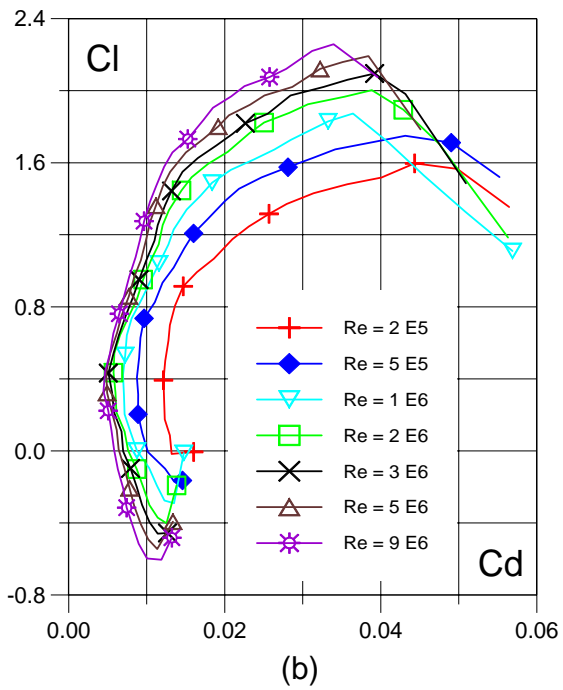
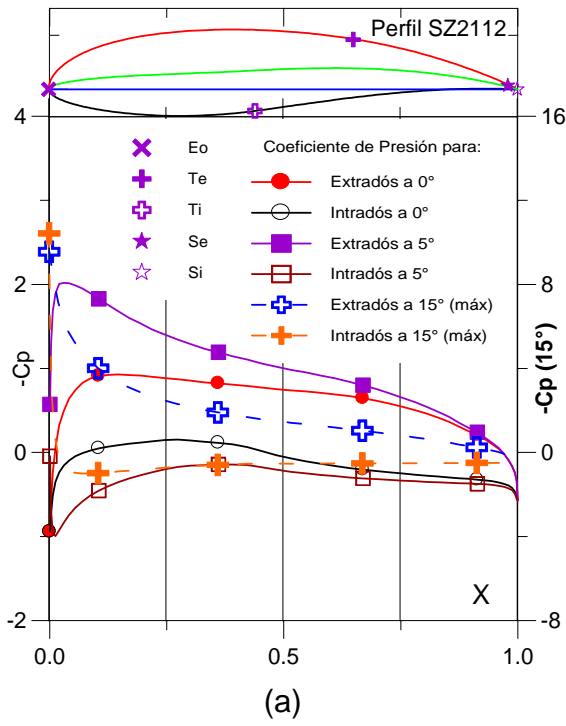


Fig. 5.2.25. (a) C_p (0° , 5° y Máx) vs. X para $Re = 1 E 6$ (leer $C_{p\text{máx}}$ a la derecha) y (b) Curvas Polares del Perfil SZ - 2112.

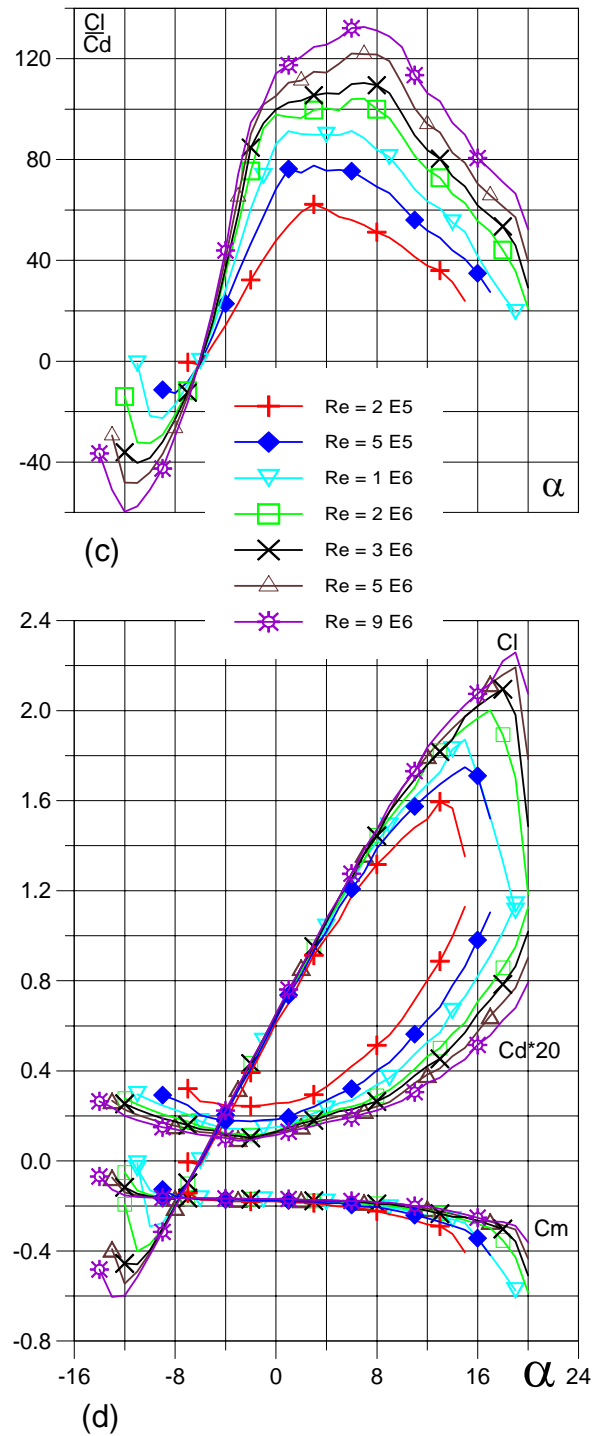


Fig. 5.2.26. (c) Curvas de Cl/Cd y (d) Cl , Cd , C_m vs. Ángulo de ataque del Perfil SZ - 2112.

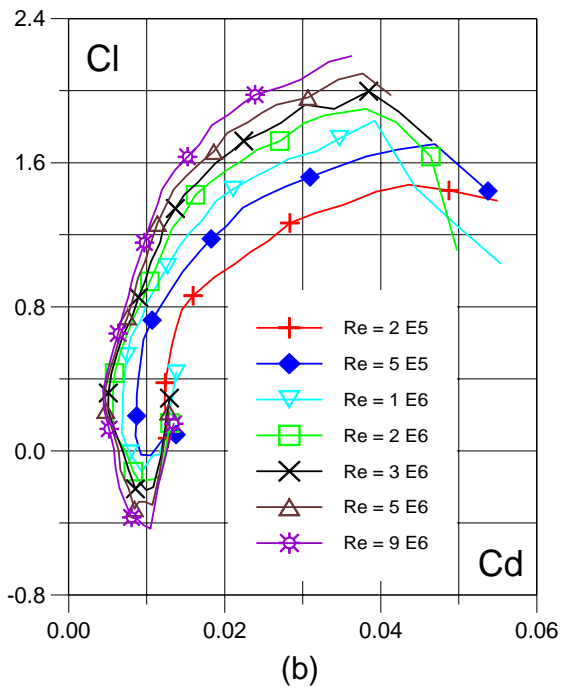
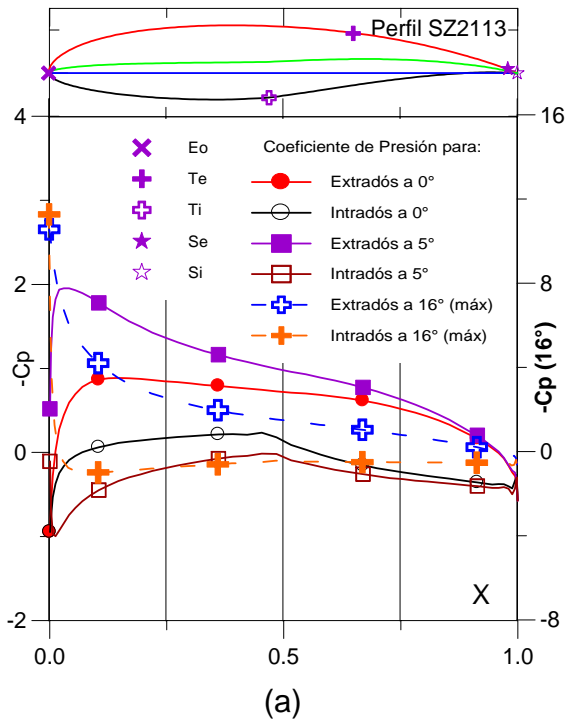


Fig. 5.2.27. (a) C_p (0° , 5° y Máx) vs. X para $Re = 1 E 6$ (leer $C_{p\text{máx}}$ a la derecha) y (b) Curvas Polares del Perfil SZ - 2113.

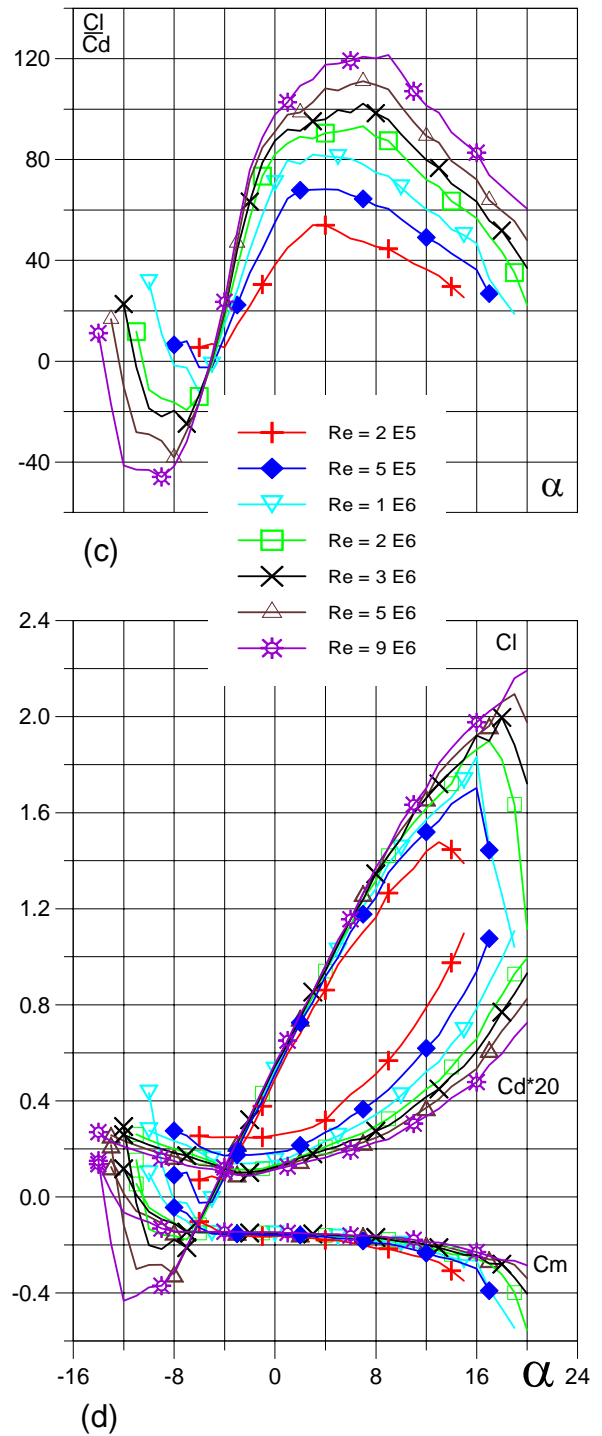


Fig. 5.2.28. (c) Curvas de Cl/Cd y (d) Cl , Cd , C_m vs. Ángulo de ataque del Perfil SZ - 2113.

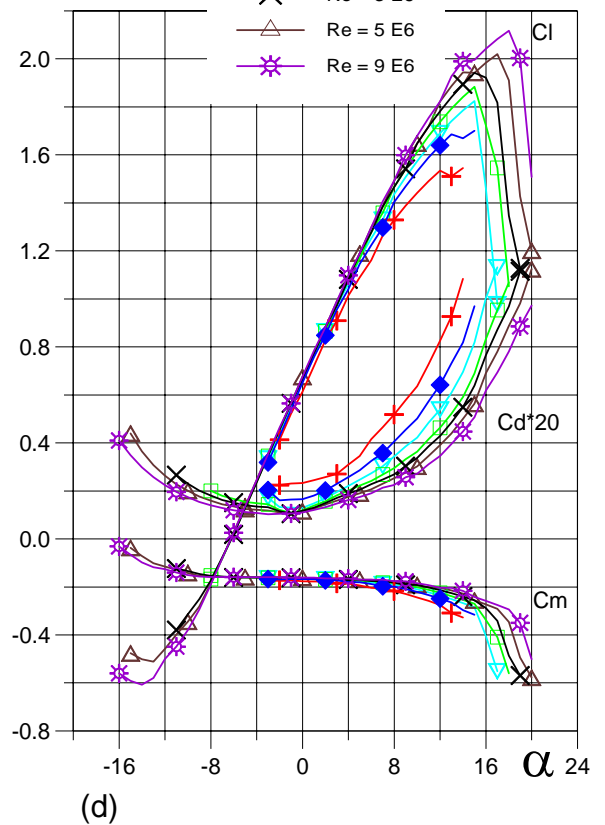
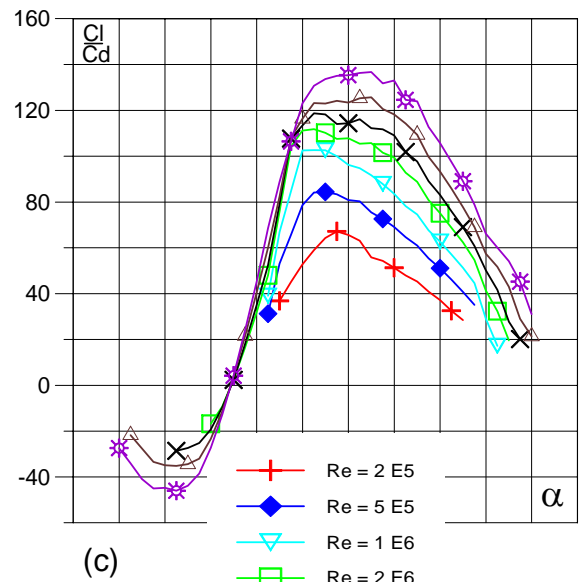
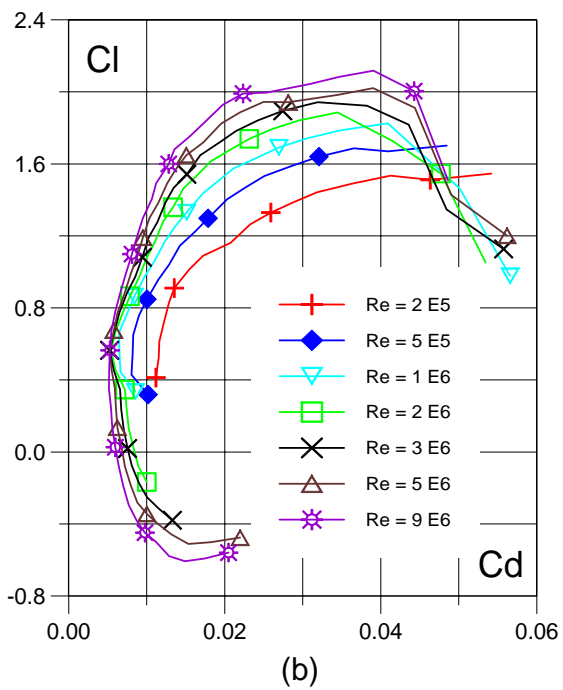
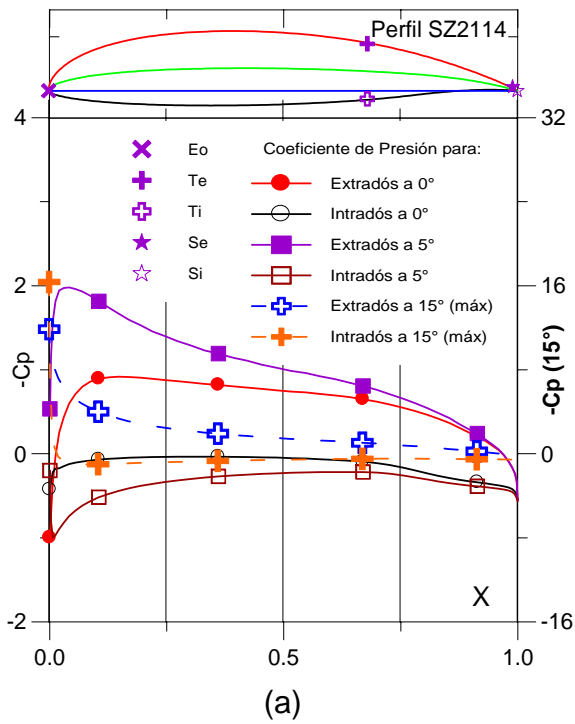


Fig. 5.2.29. (a) C_p (0° , 5° y Máx) vs. X para $Re = 1 E 6$ (leer $C_{p\text{máx}}$ a la derecha) y (b) Curvas Polares del Perfil SZ - 2114.

Fig. 5.2.30. (c) Curvas de C_l/C_d y (d) C_l , C_d , C_m vs. Ángulo de ataque del Perfil SZ - 2114.

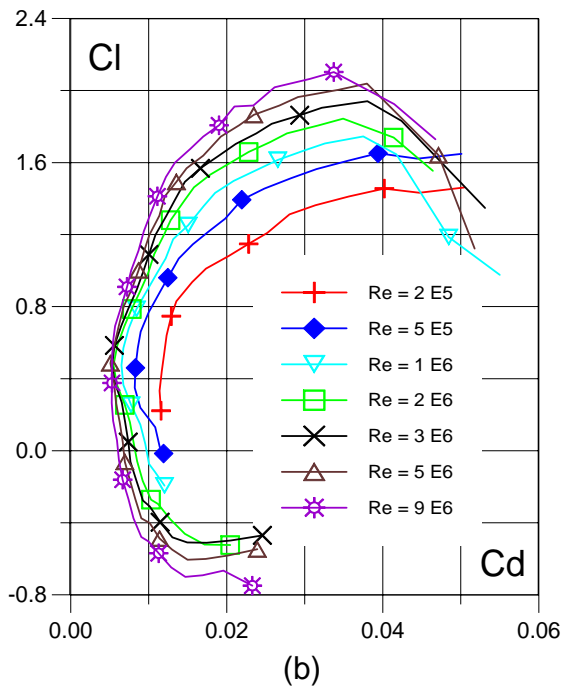
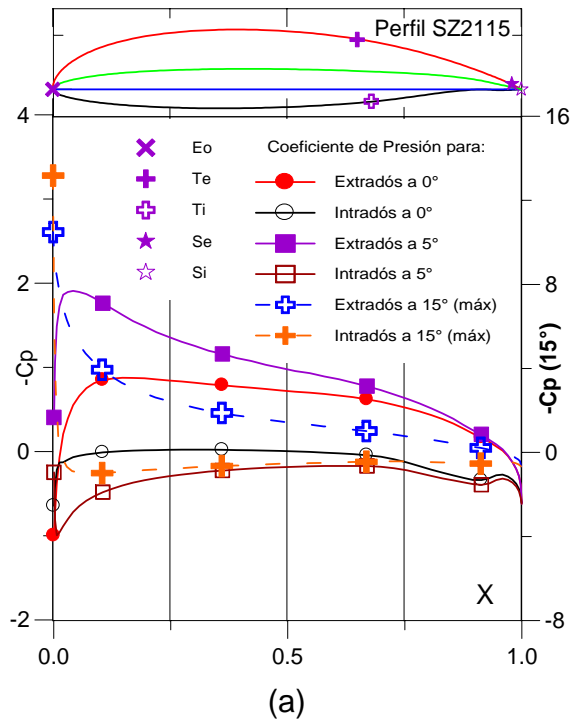


Fig. 5.2.31. (a) C_p (0° , 5° y Máx) vs. X para $Re = 1 E 6$ (leer $C_{p\text{máx}}$ a la derecha) y (b) Curvas Polares del Perfil SZ - 2115.

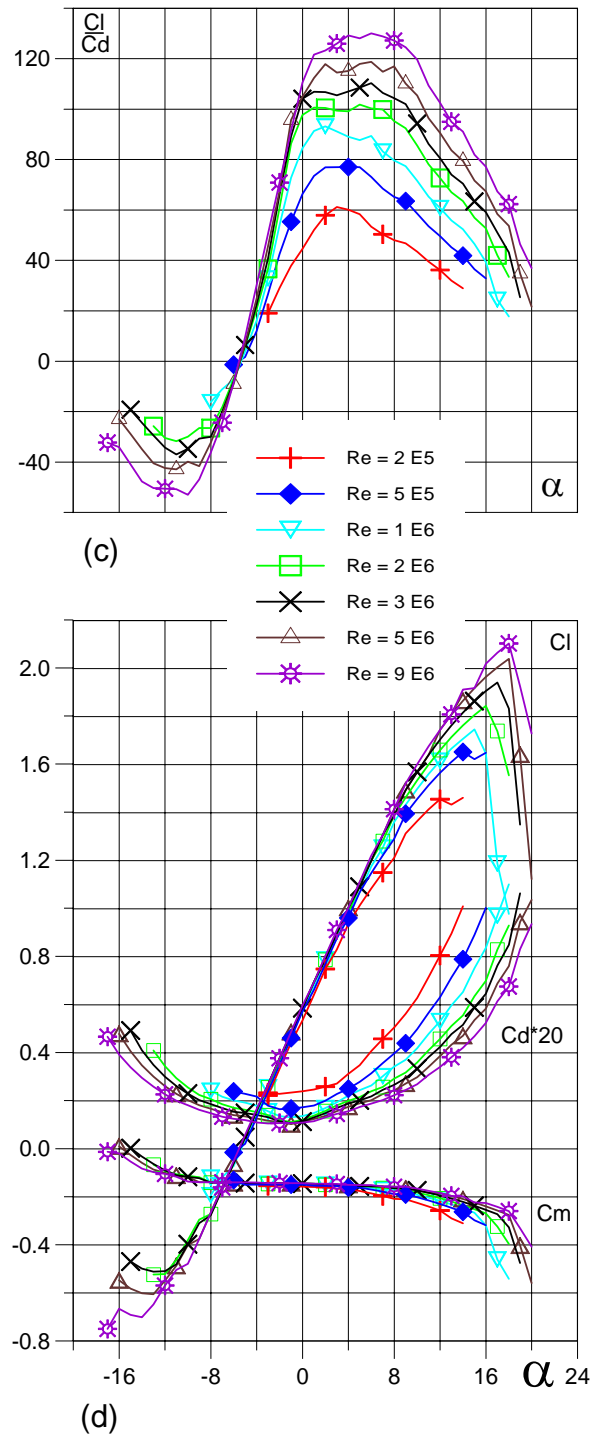


Fig. 5.2.32. (c) Curvas de Cl/Cd y (d) Cl , Cd , C_m vs. Ángulo de ataque del Perfil SZ - 2115.

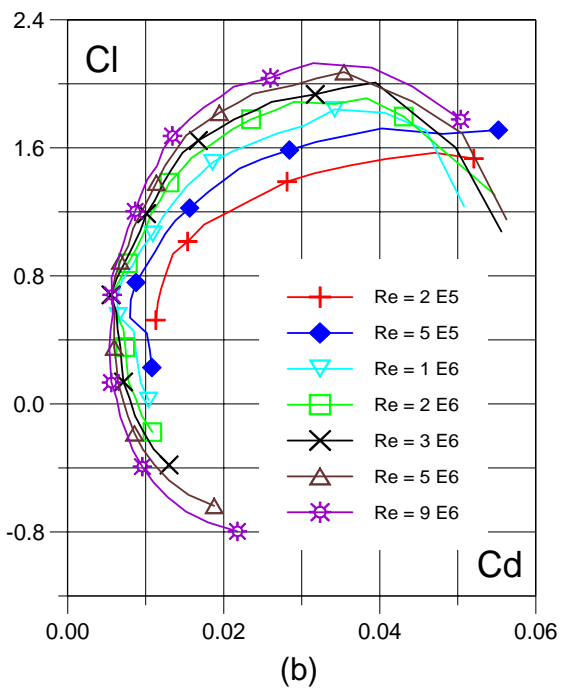
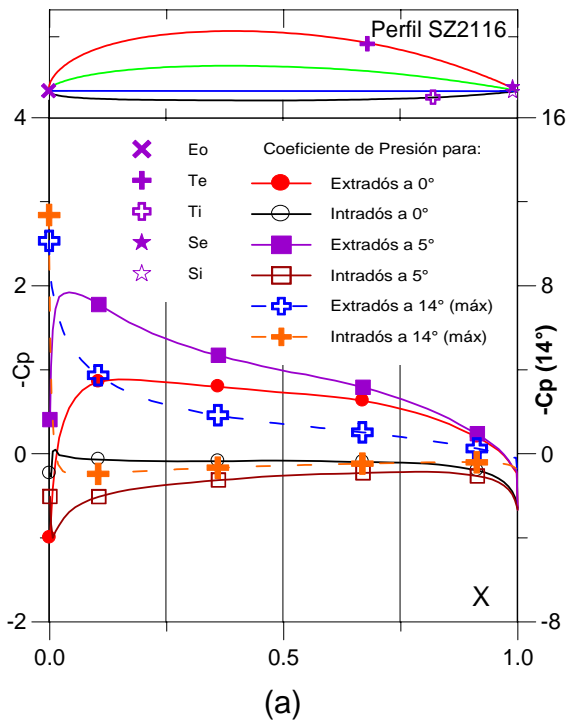


Fig. 5.2.33. (a) C_p (0° , 5° y Máx) vs. X para $Re = 1 E 6$ (leer $C_{p\text{máx}}$ a la derecha) y (b) Curvas Polares del Perfil SZ - 2116.

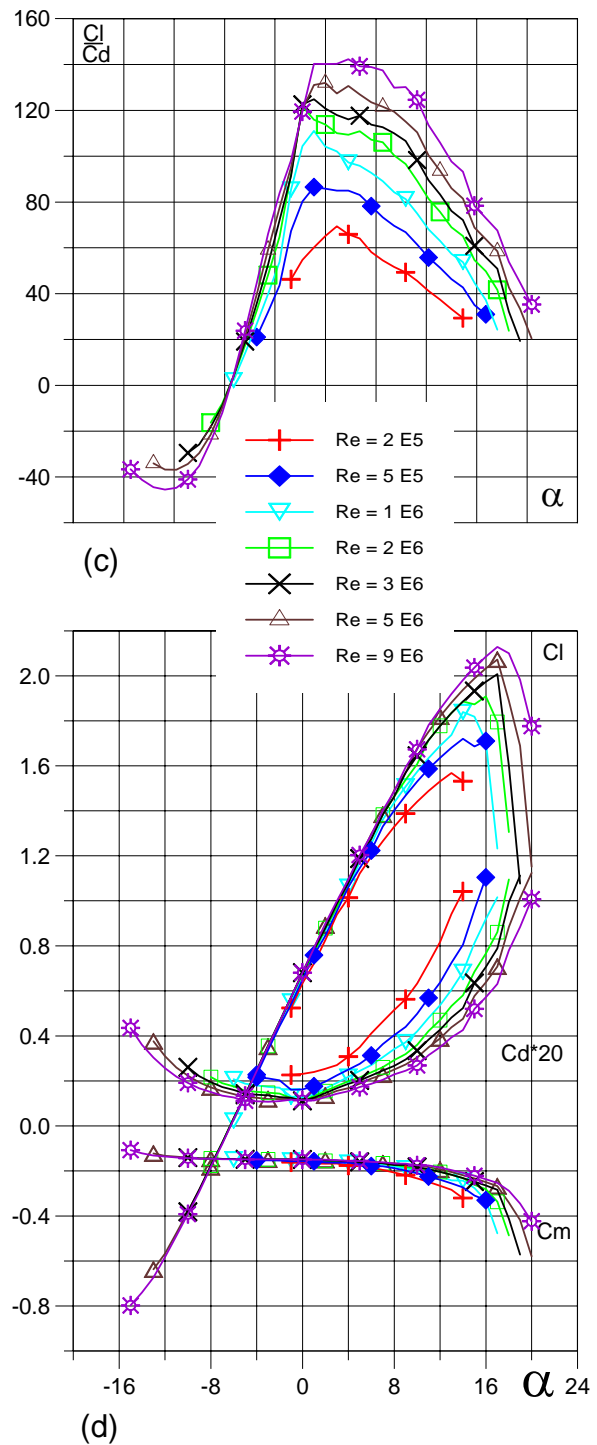


Fig. 5.2.34. (c) Curvas de Cl/Cd y (d) Cl , Cd , C_m vs. Ángulo de ataque del Perfil SZ - 2116.

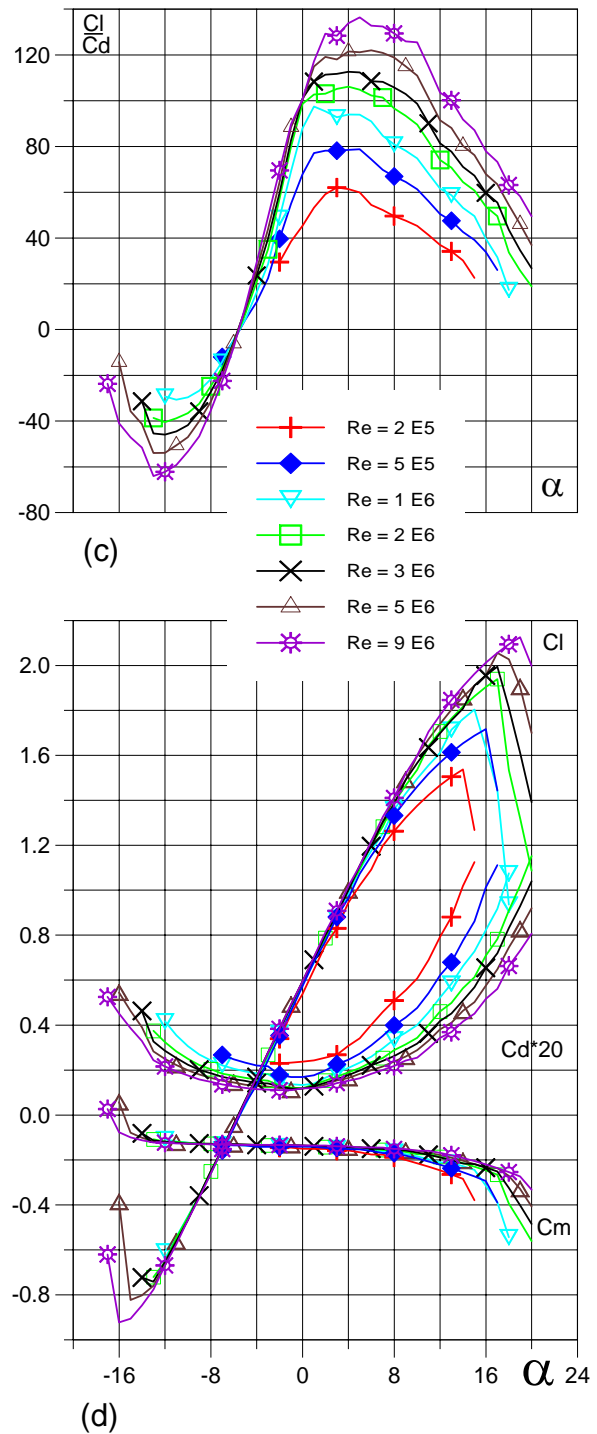
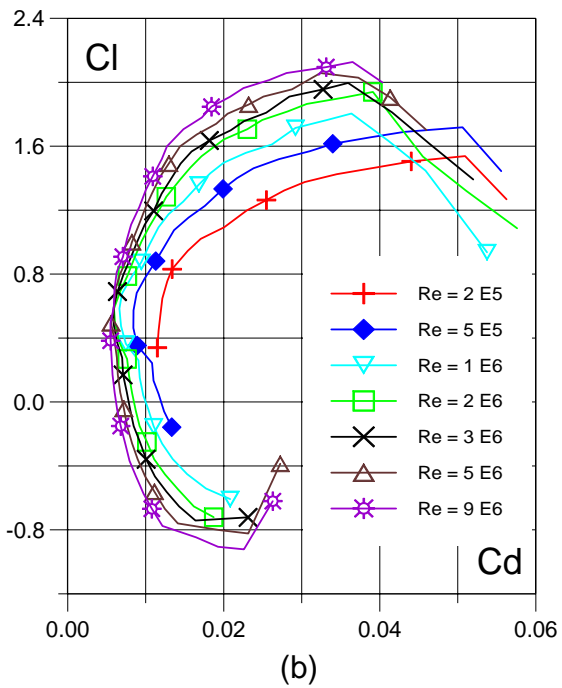
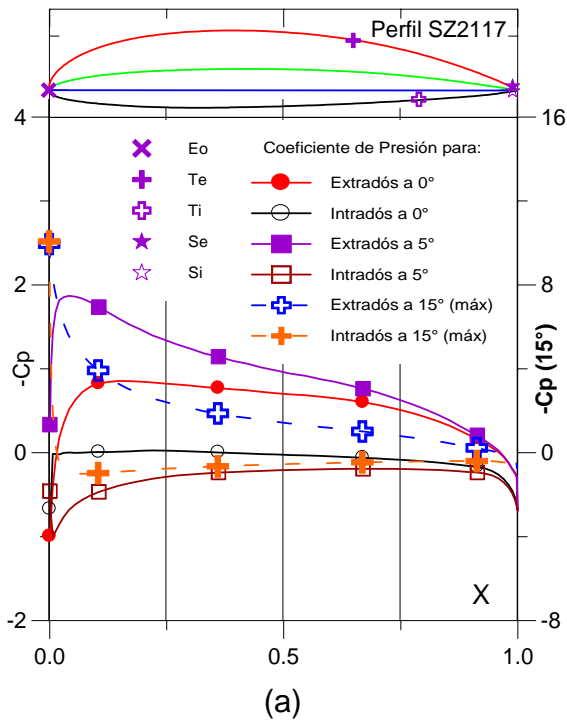


Fig. 5.2.35. (a) C_p (0°, 5° y Máx) vs. X para $Re = 1 E 6$ (leer $C_{p\text{máx}}$ a la derecha) y (b) Curvas Polares del Perfil SZ - 2117.

Fig. 5.2.36. (c) Curvas de Cl/Cd y (d) Cl , Cd , C_m vs. Ángulo de ataque del Perfil SZ - 2117.

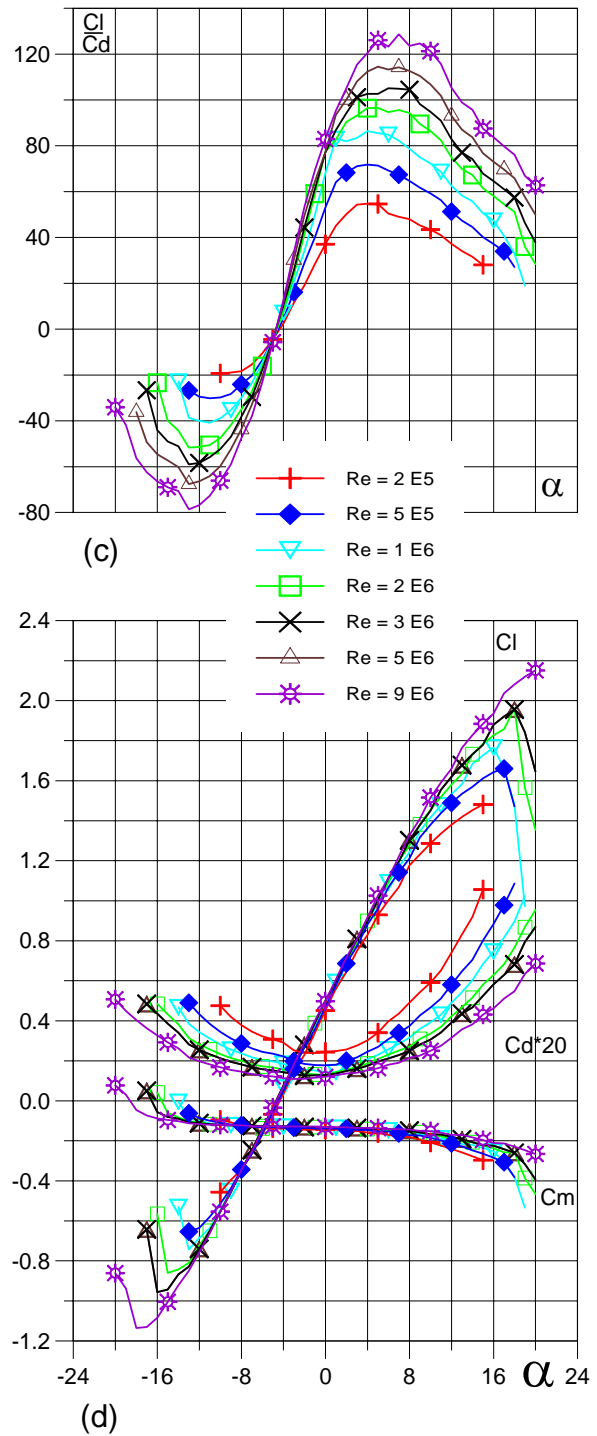
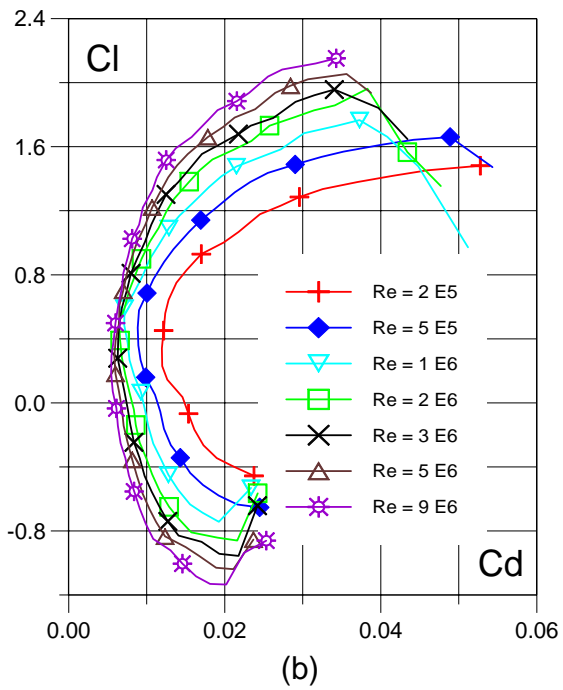
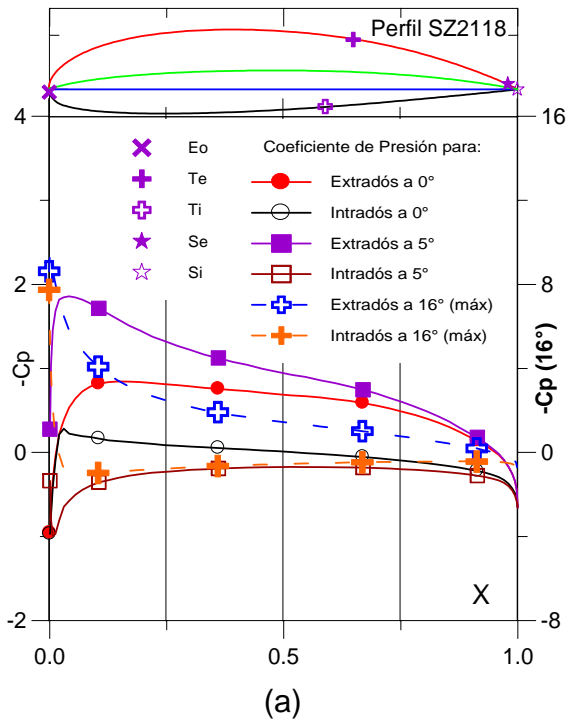


Fig. 5.2.37. (a) C_p (0° , 5° y Máx) vs. X para $Re = 1 E 6$ (leer $C_{p\text{máx}}$ a la derecha) y (b) Curvas Polares del Perfil SZ - 2118.

Fig. 5.2.38. (c) Curvas de Cl/Cd y (d) Cl , Cd , C_m vs. Ángulo de ataque del Perfil SZ - 2118.

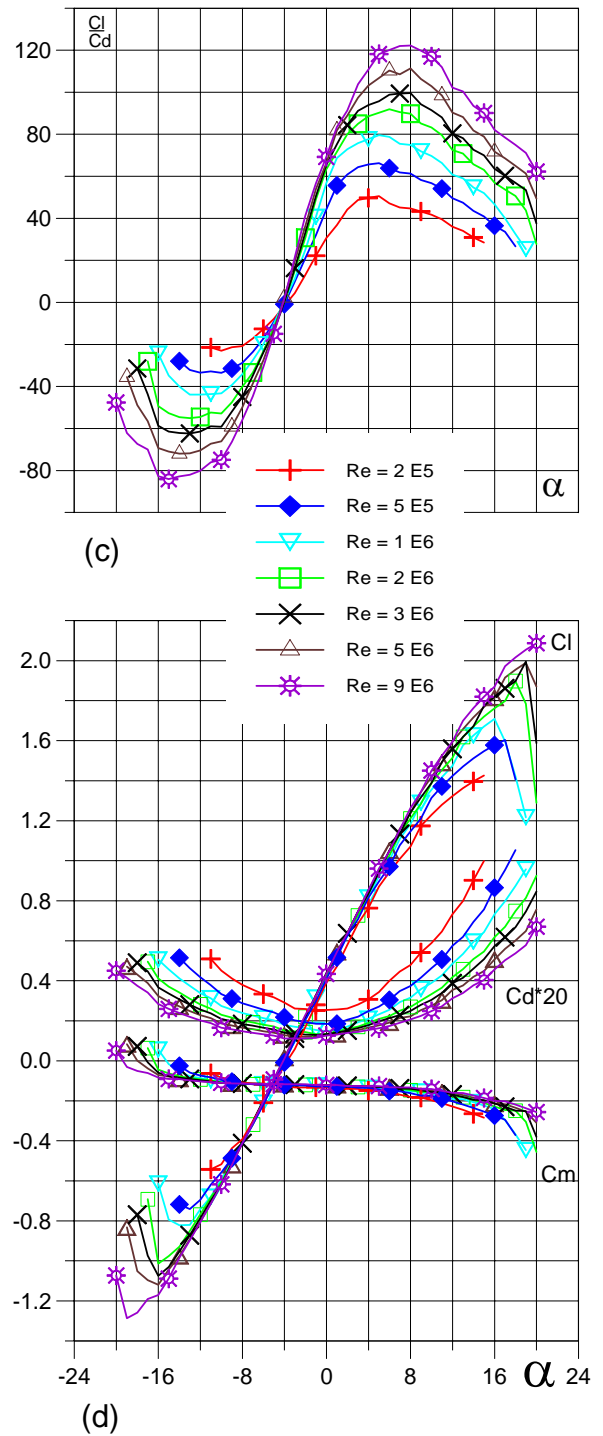
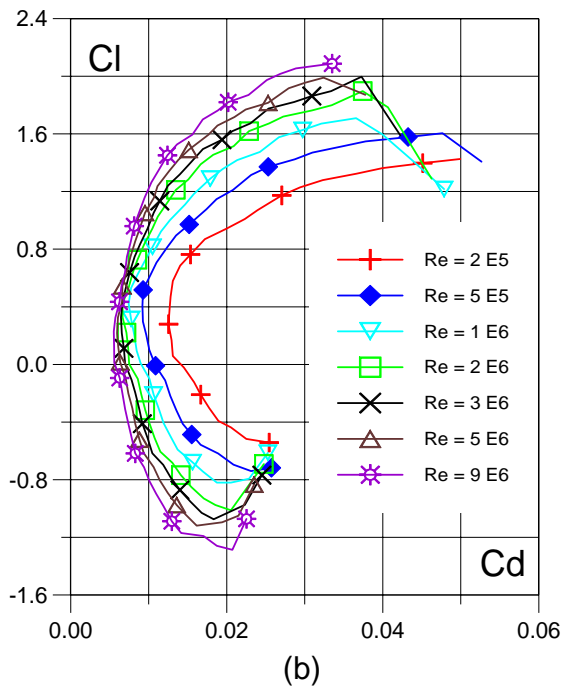
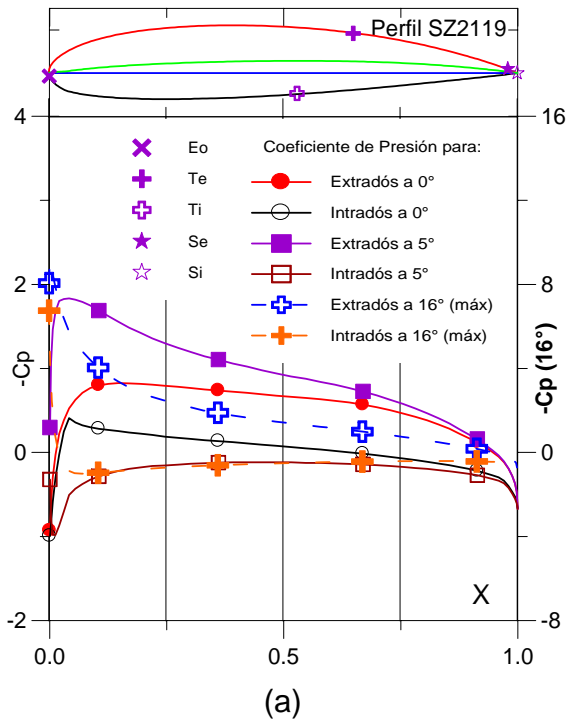


Fig. 5.2.39. (a) C_p (0°, 5° y Máx) vs. X para $Re = 1 E 6$ (leer $C_{p\text{máx}}$ a la derecha) y (b) Curvas Polares del Perfil SZ - 2119.

Fig. 5.2.40. (c) Curvas de Cl/Cd y (d) Cl , Cd , Cm vs. Ángulo de ataque del Perfil SZ - 2119.

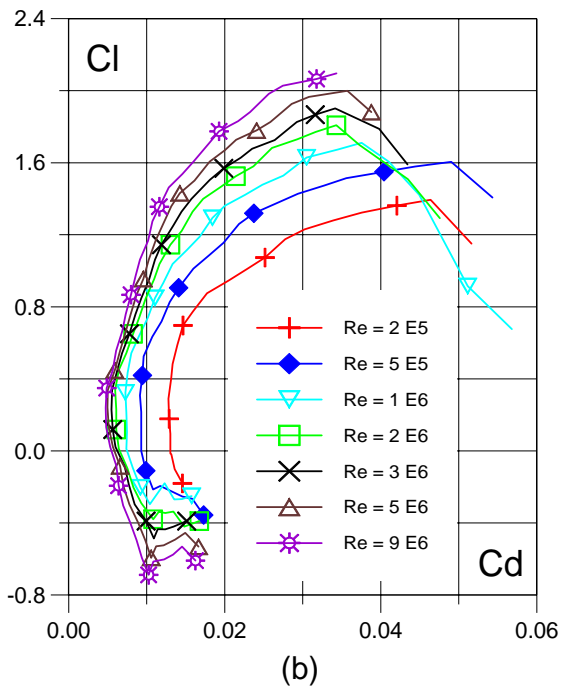
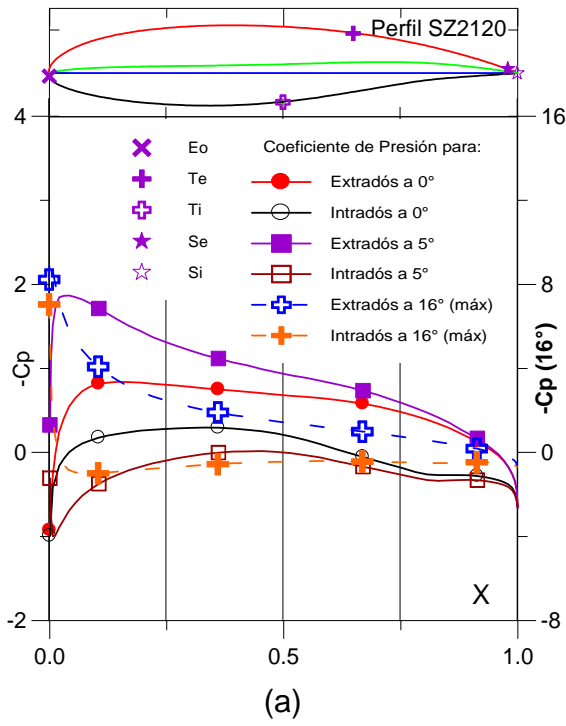


Fig. 5.2.41. (a) C_p (0° , 5° y Máx) vs. X para $Re = 1 E 6$ (leer $C_{p\text{máx}}$ a la derecha) y (b) Curvas Polares del Perfil SZ - 2120.

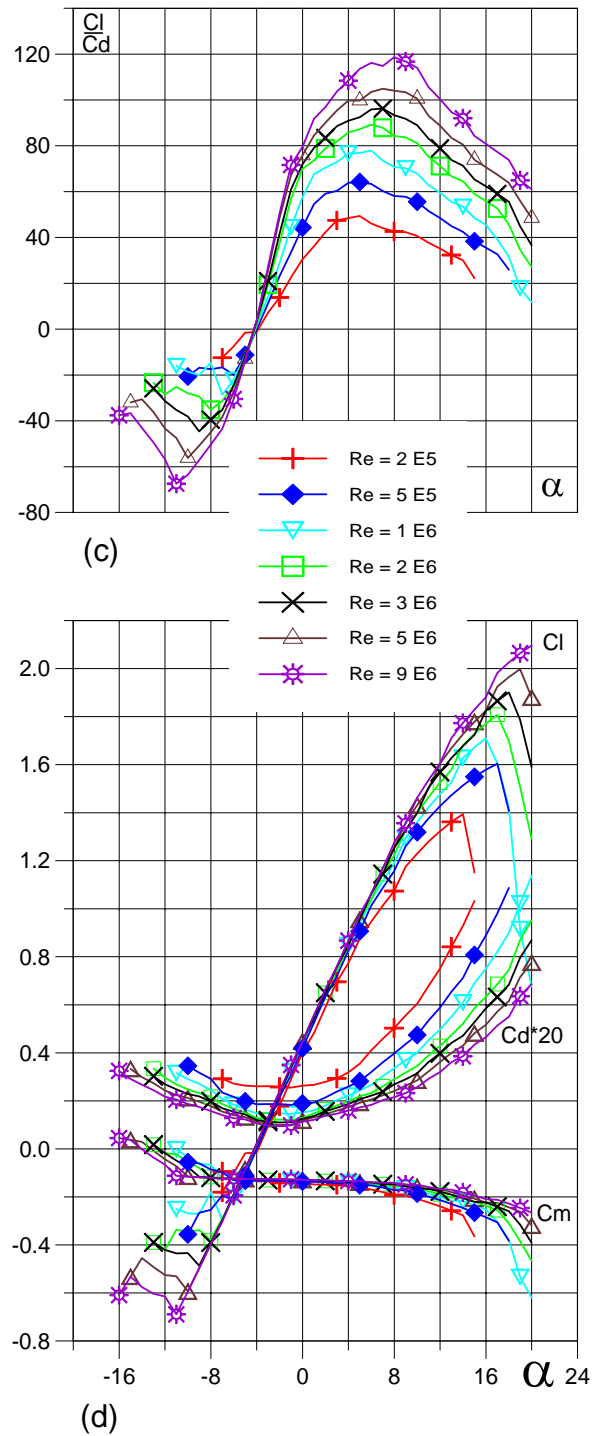


Fig. 5.2.42. (c) Curvas de Cl/Cd y (d) Cl , Cd , C_m vs. Ángulo de ataque del Perfil SZ - 2120.

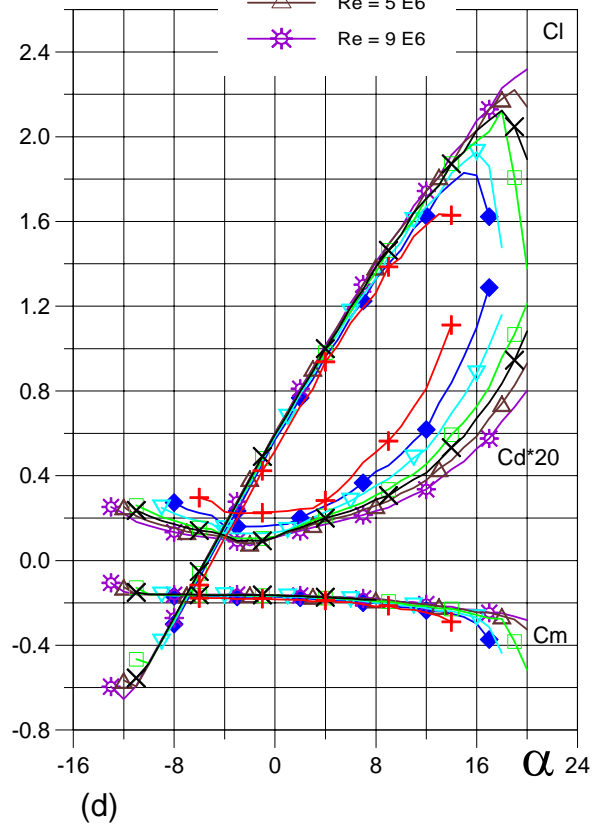
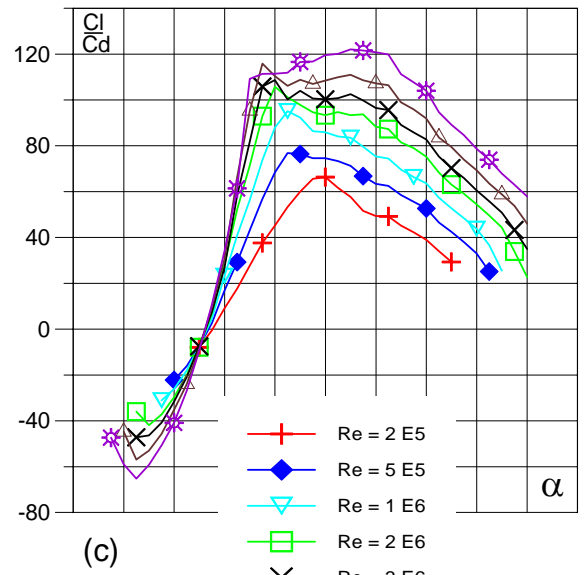
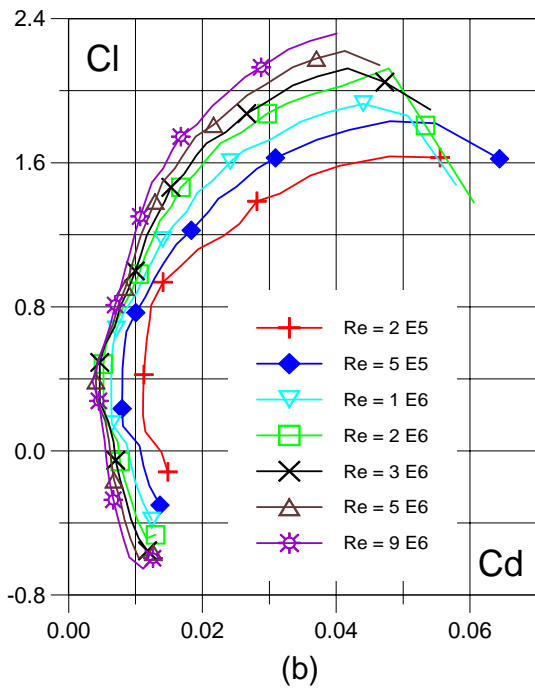
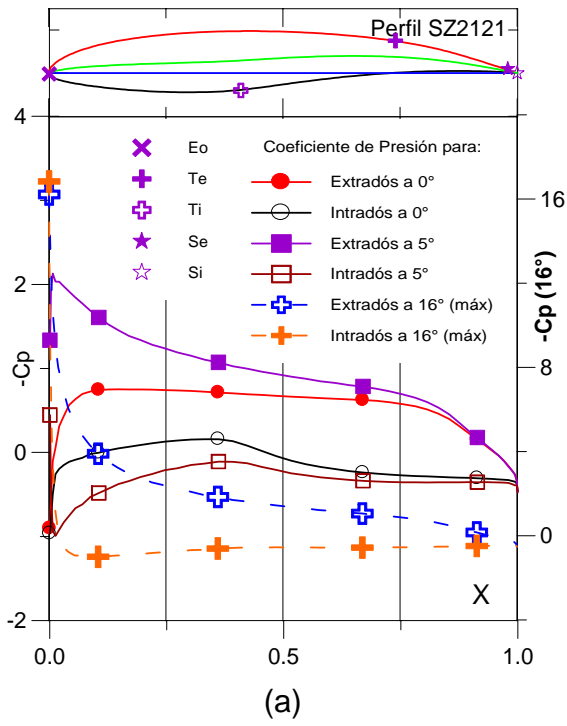


Fig. 5.2.43. (a) C_p (0° , 5° y Max) vs. X para $Re = 1 E 6$ (leer $C_{p\text{max}}$ a la derecha) y (b) Curvas Polares del Perfil SZ - 2121.

Fig. 5.2.44. (c) Curvas de Cl/C_d y (d) Cl , C_d , C_m vs. ngulo de ataque del Perfil SZ - 2121.

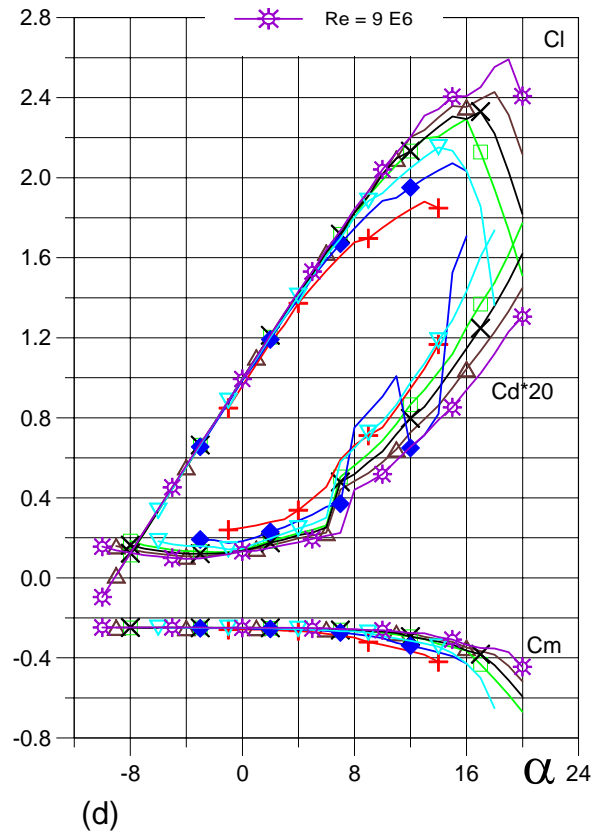
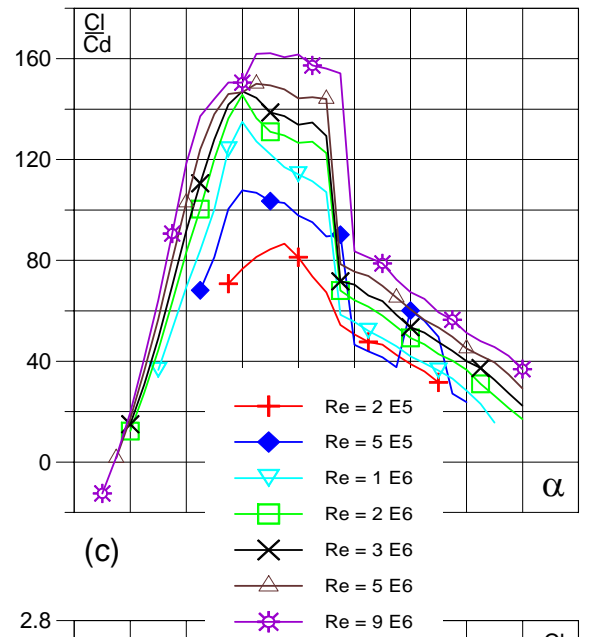
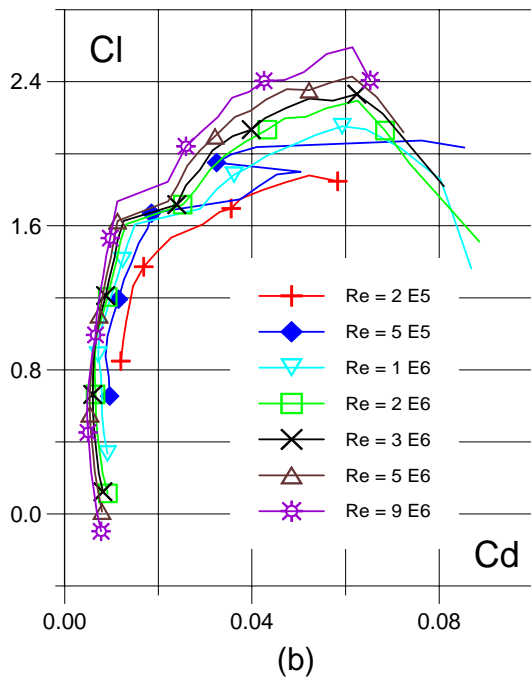
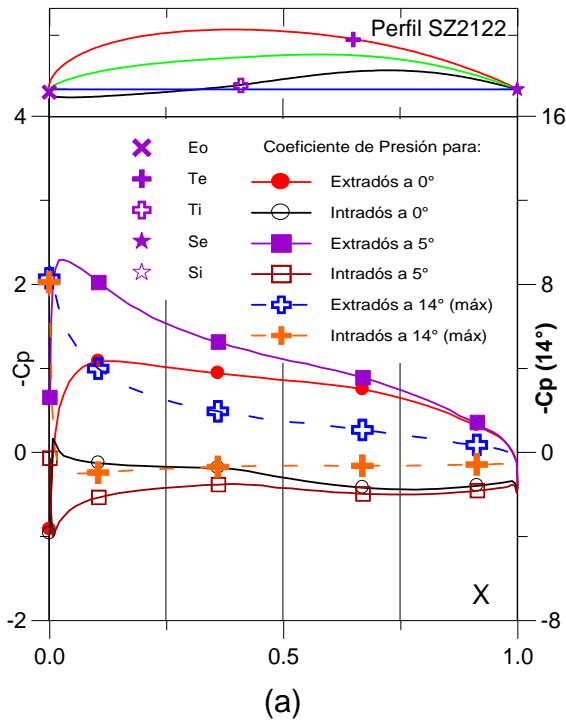


Fig. 5.2.45. (a) C_p (0° , 5° y Max) vs. X para $Re = 1 E 6$ (leer $C_{p\text{max}}$ a la derecha) y (b) Curvas Polares del Perfil SZ - 2122.

Fig. 5.2.46. (c) Curvas de Cl/C_d y (d) Cl , C_d , C_m vs. ngulo de ataque del Perfil SZ - 2122.

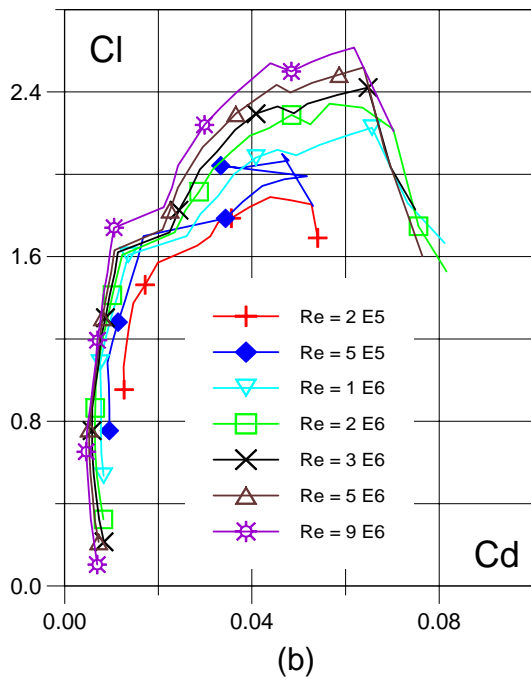
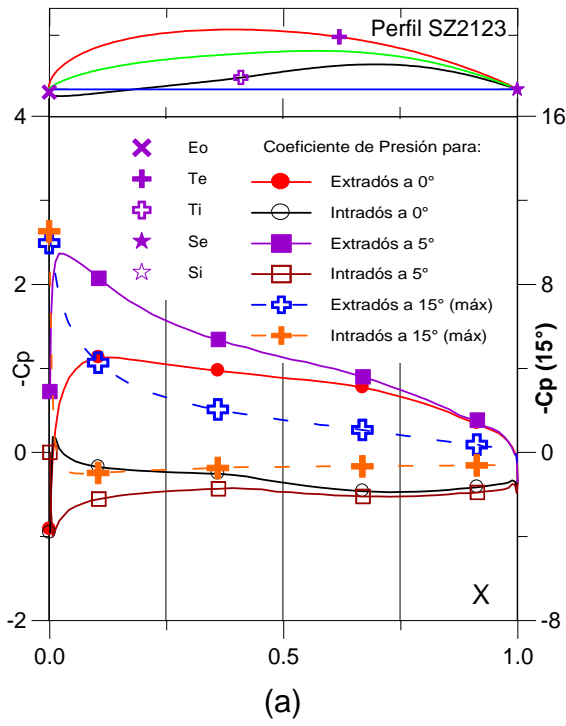


Fig. 5.2.47. (a) C_p (0° , 5° y Máx) vs. X para $Re = 1 E 6$ (leer $C_{p\text{máx}}$ a la derecha) y (b) Curvas Polares del Perfil SZ - 2123.

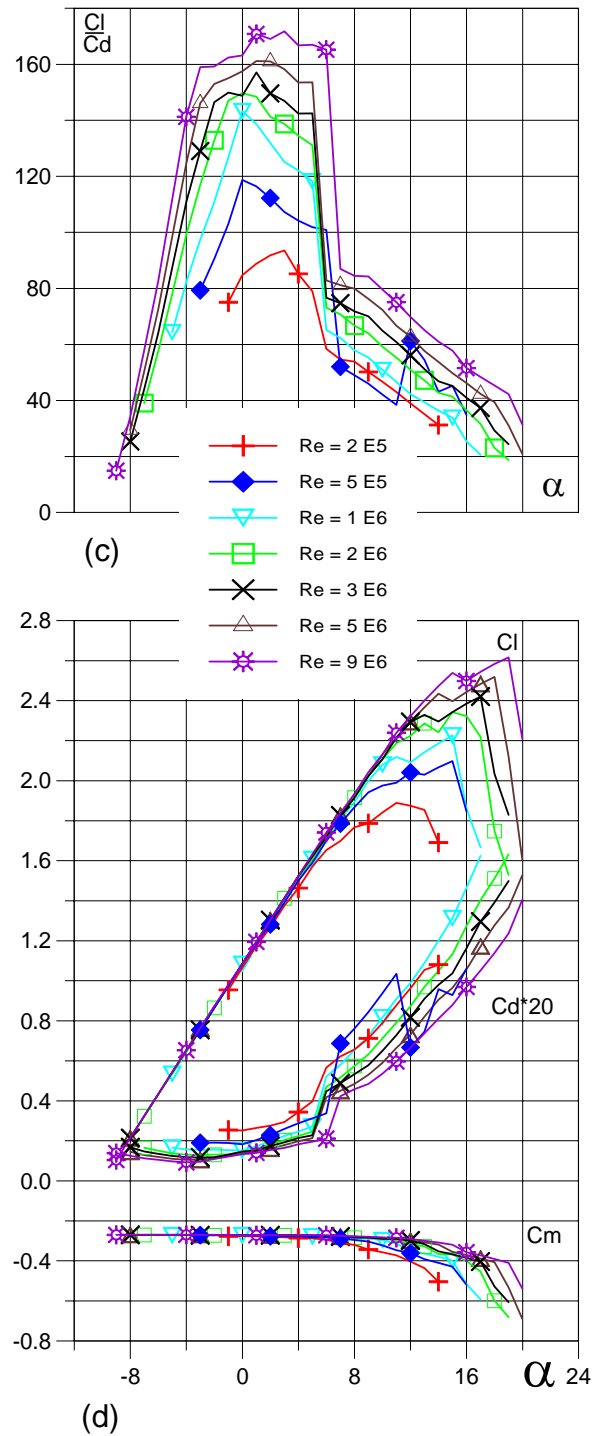


Fig. 5.2.48. (c) Curvas de Cl/Cd y (d) Cl , Cd , C_m vs. Ángulo de ataque del Perfil SZ - 2123.

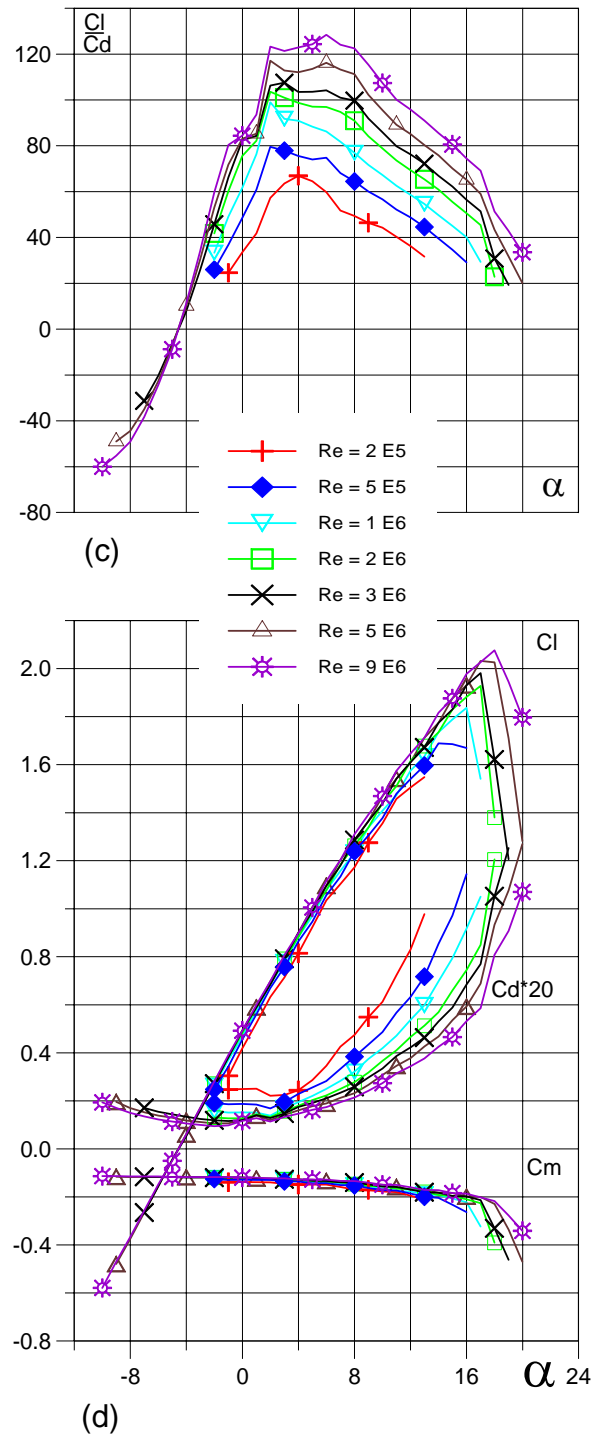
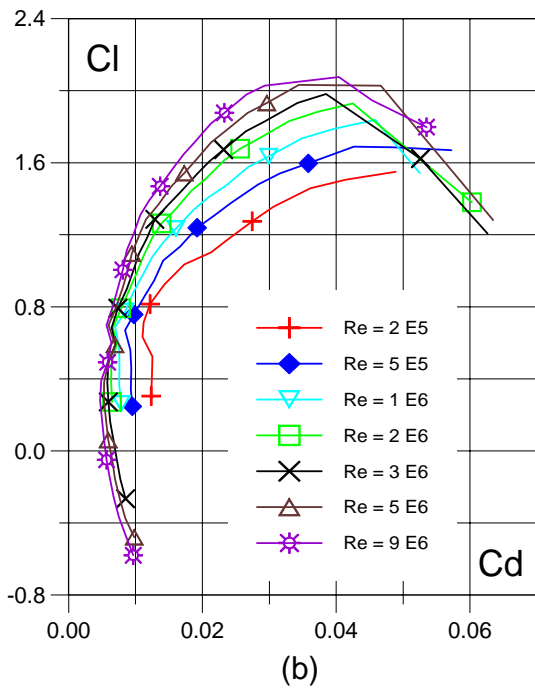
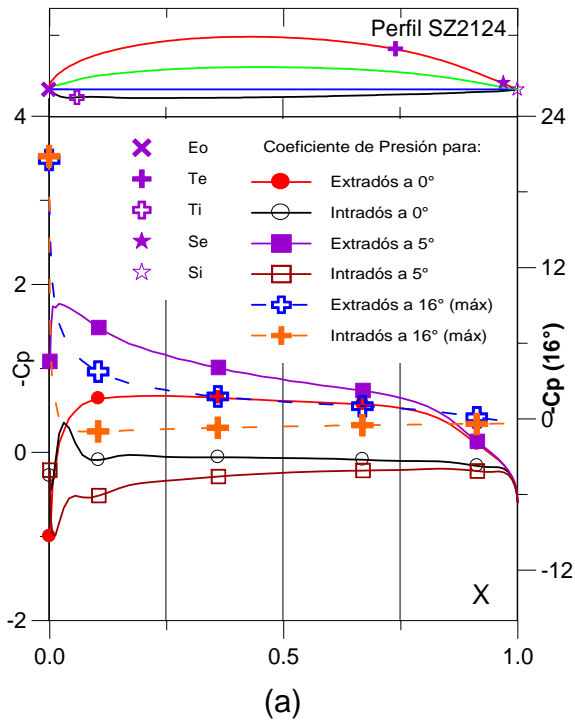


Fig. 5.2.49. (a) C_p (0° , 5° y Máx) vs. X para $Re = 1 E 6$ (leer $C_{p\text{máx}}$ a la derecha) y (b) Curvas Polares del Perfil SZ - 2124.

Fig. 5.2.50. (c) Curvas de Cl/Cd y (d) Cl , Cd , C_m vs. Ángulo de ataque del Perfil SZ - 2124.

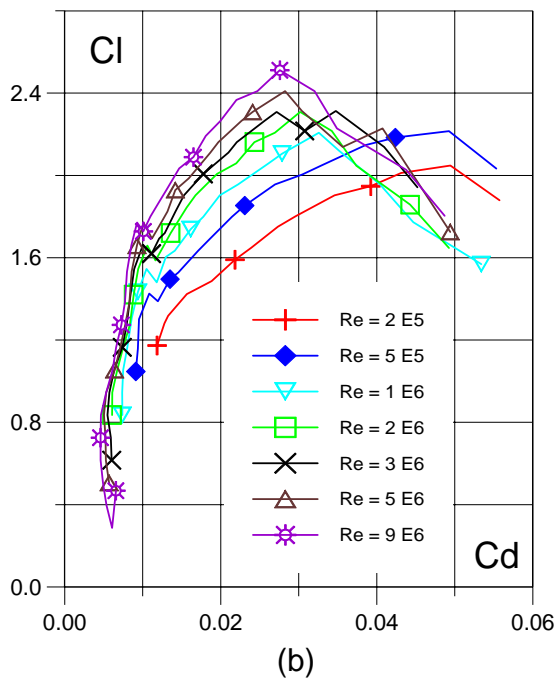
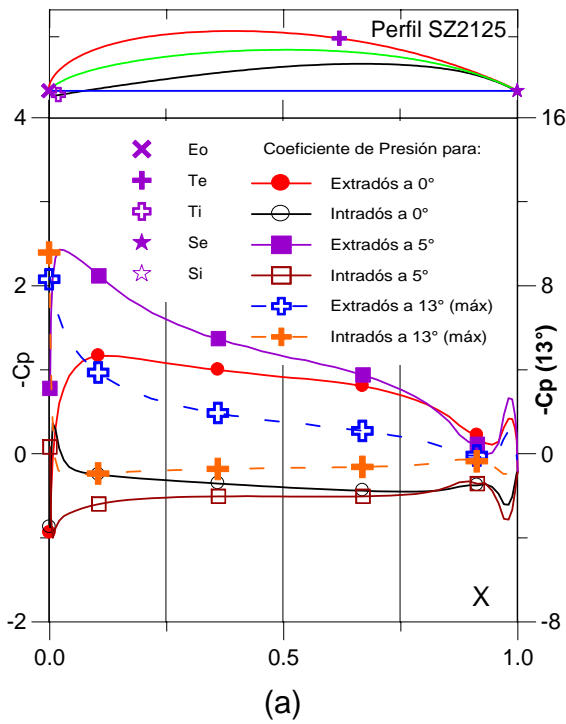


Fig. 5.2.51. (a) C_p (0° , 5° y Máx) vs. X para $Re = 1 E 6$ (leer $C_{p\text{máx}}$ a la derecha) y (b) Curvas Polares del Perfil SZ - 2125.

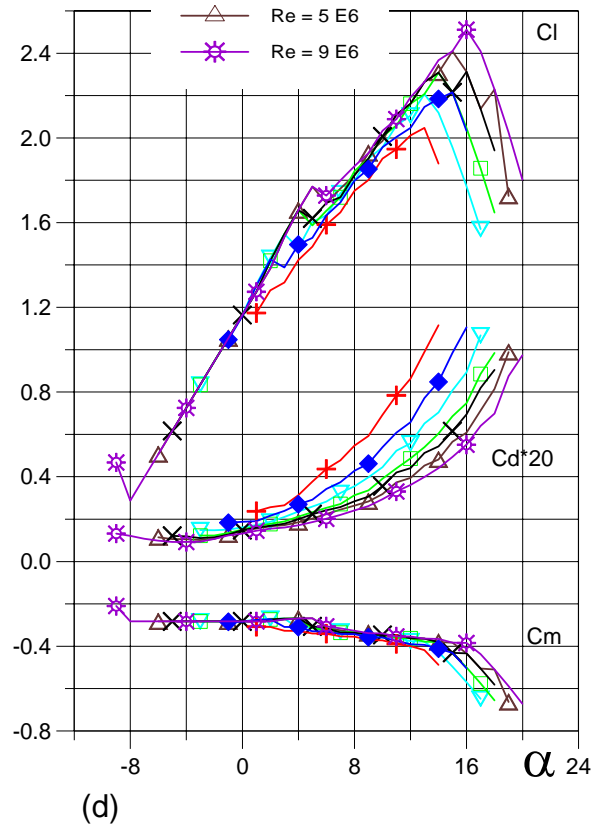
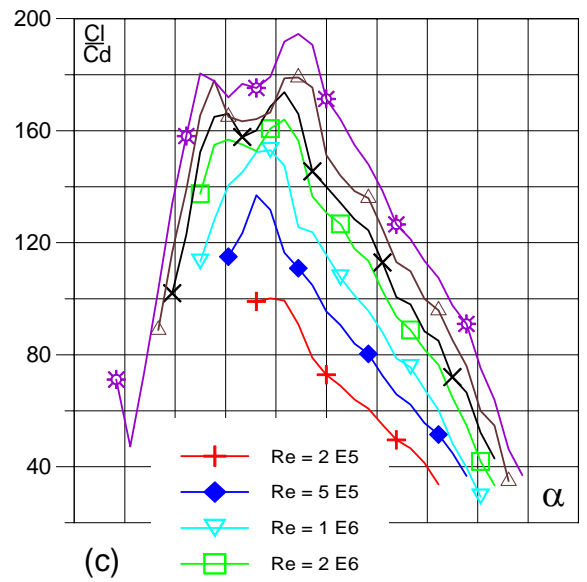


Fig. 5.2.52. (c) Curvas de Cl/Cd y (d) Cl , Cd , C_m vs. Ángulo de ataque del Perfil SZ - 2125.

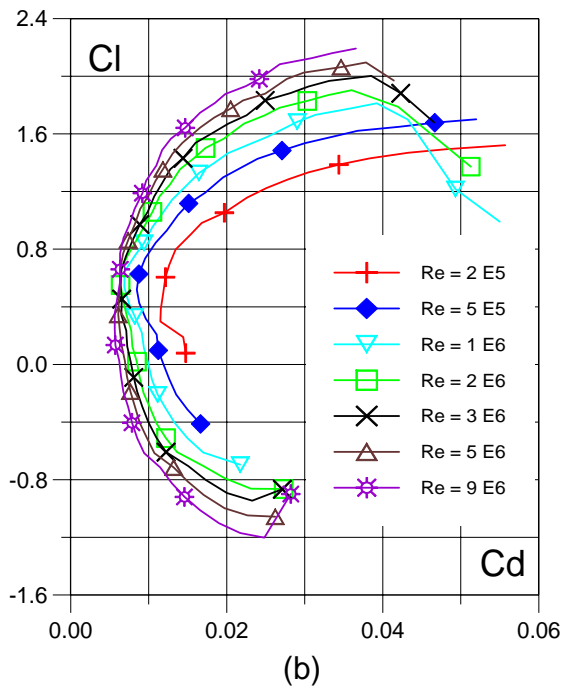
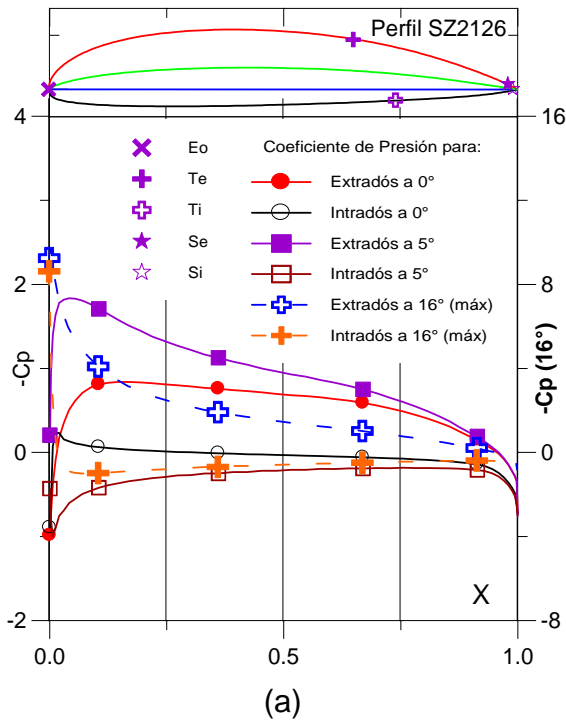


Fig. 5.2.53. (a) C_p (0° , 5° y Máx) vs. X para $Re = 1 E 6$ (leer $C_{p\text{máx}}$ a la derecha) y (b) Curvas Polares del Perfil SZ - 2126.

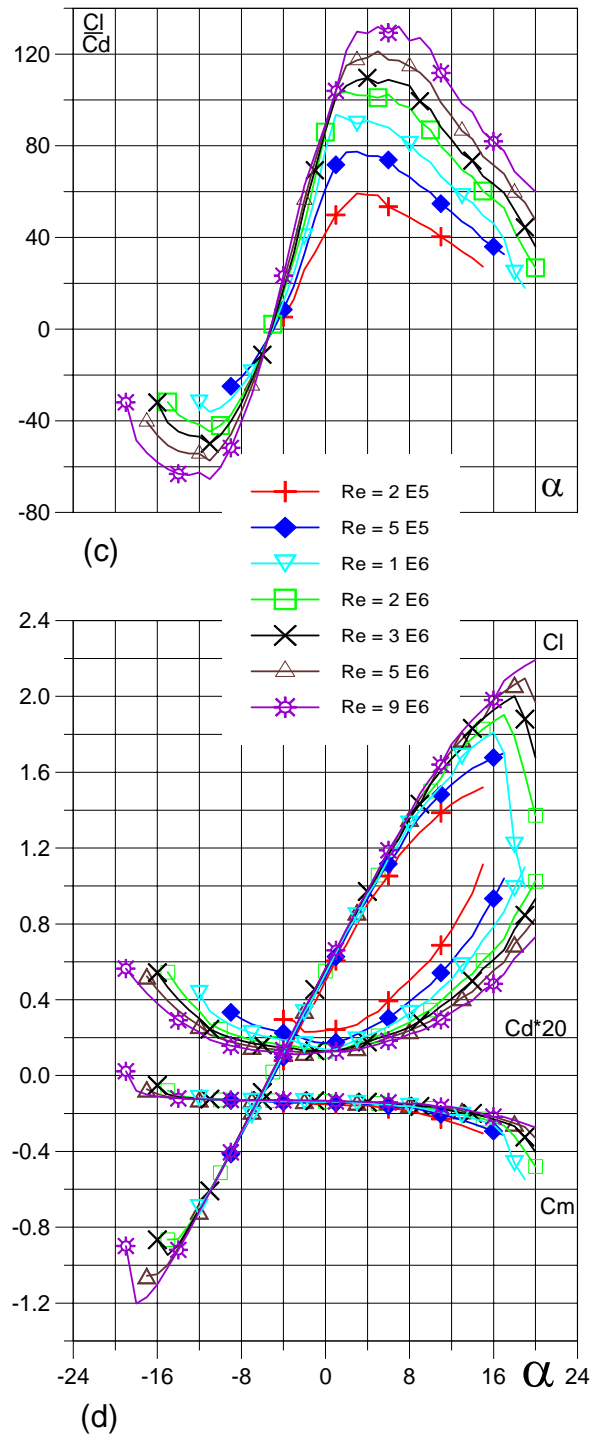


Fig. 5.2.54. (c) Curvas de Cl/Cd y (d) Cl , Cd , C_m vs. Ángulo de ataque del Perfil SZ - 2126.

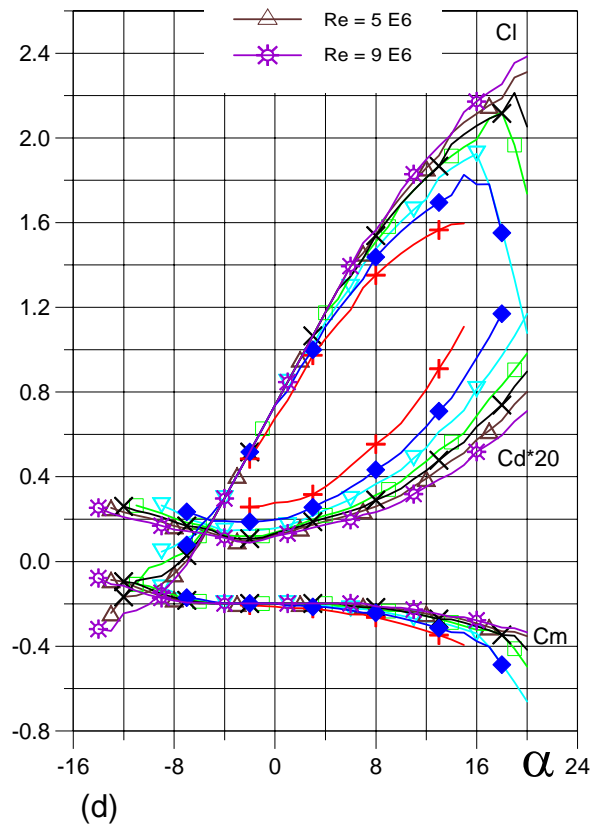
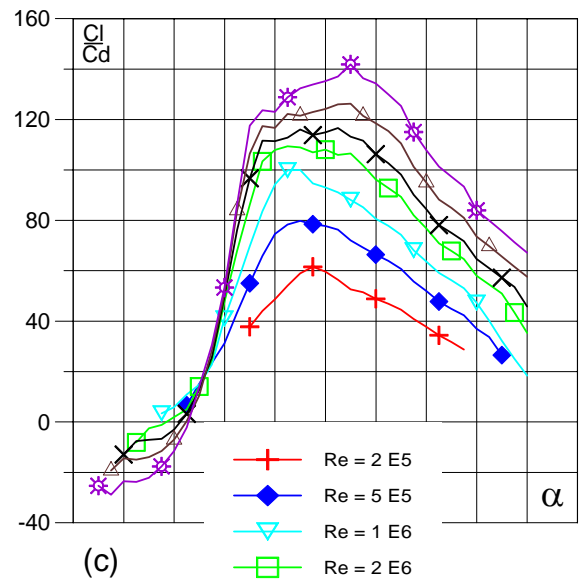
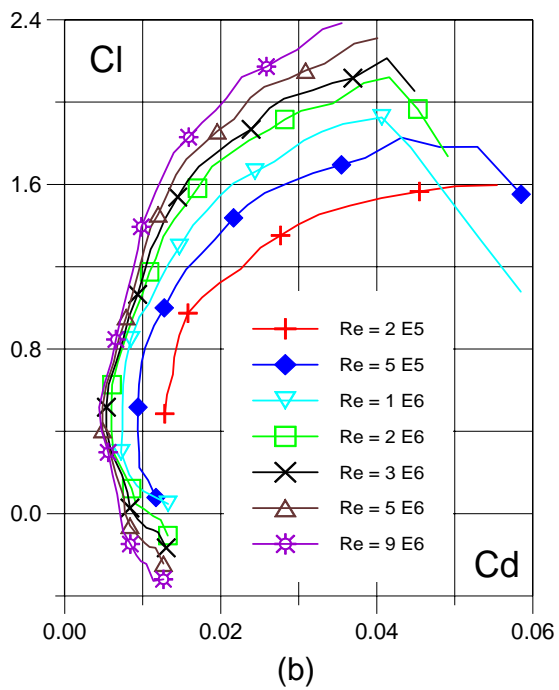
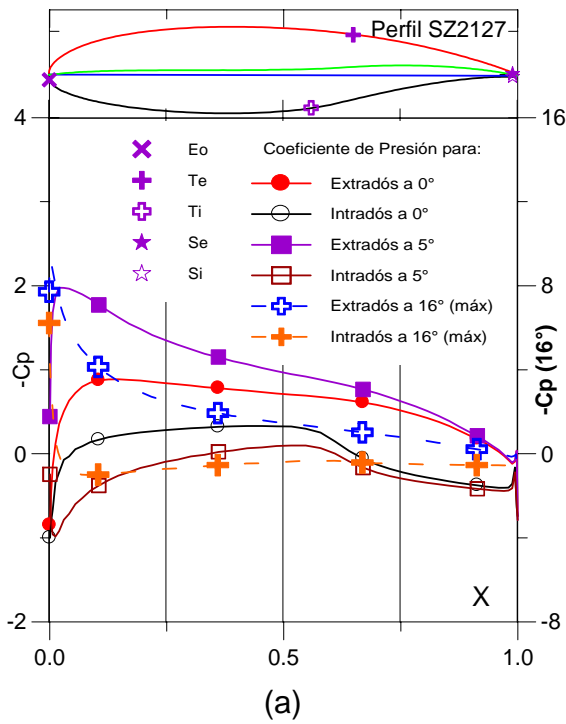


Fig. 5.2.55. (a) C_p (0° , 5° y Máx) vs. X para $Re = 1 E 6$ (leer $C_{p\text{máx}}$ a la derecha) y (b) Curvas Polares del Perfil SZ - 2127.

Fig. 5.2.56. (c) Curvas de C_l/C_d y (d) C_l , C_d , C_m vs. Ángulo de ataque del Perfil SZ - 2127.

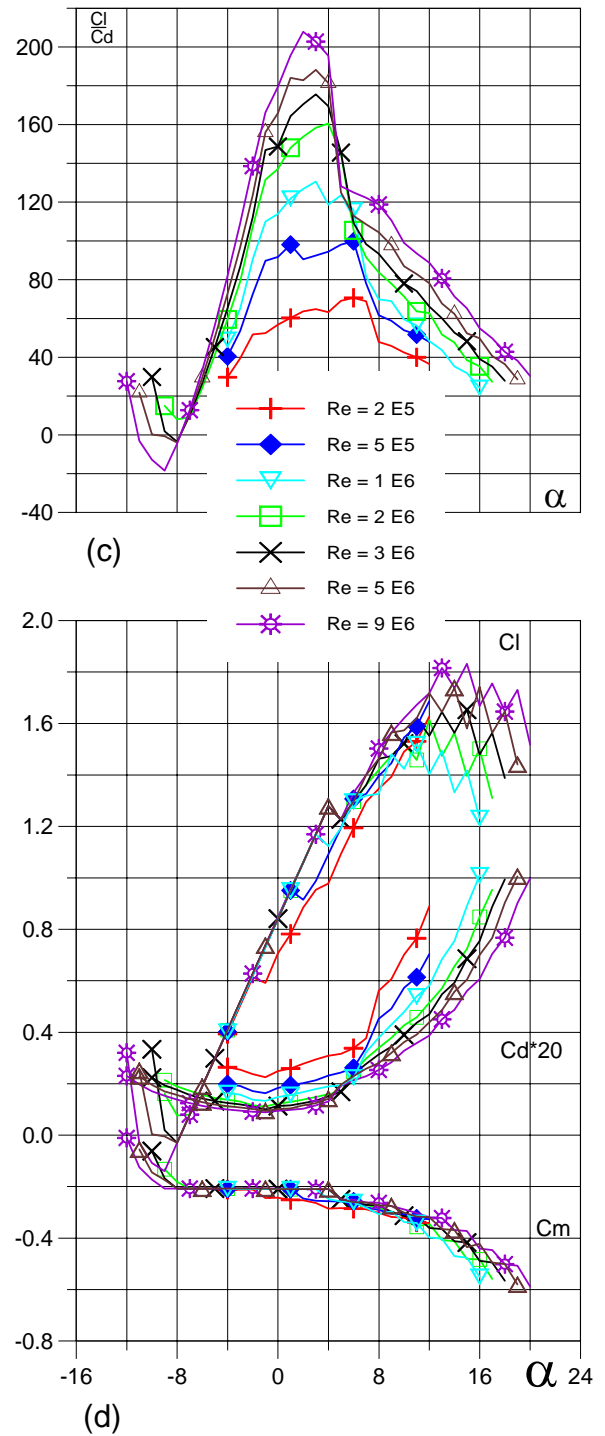
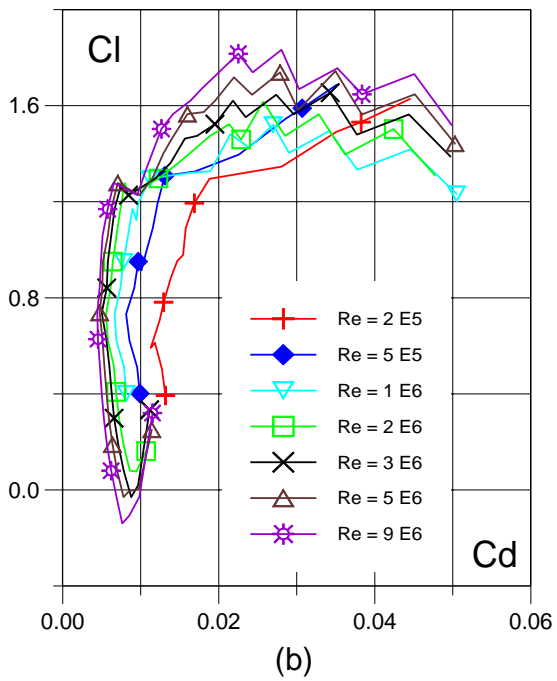
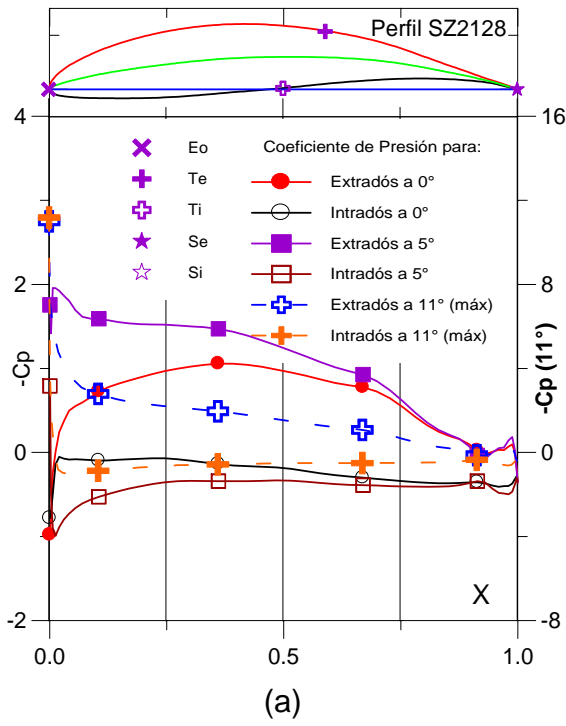


Fig. 5.2.57. (a) C_p (0° , 5° y Máx) vs. X para $Re = 1 E 6$ (leer $C_{p\text{máx}}$ a la derecha) y (b) Curvas Polares del Perfil SZ - 2128.

Fig 5.2.58. (c) Curvas de Cl/Cd y (d) Cl , Cd , C_m vs. Ángulo de ataque del Perfil SZ - 2128.

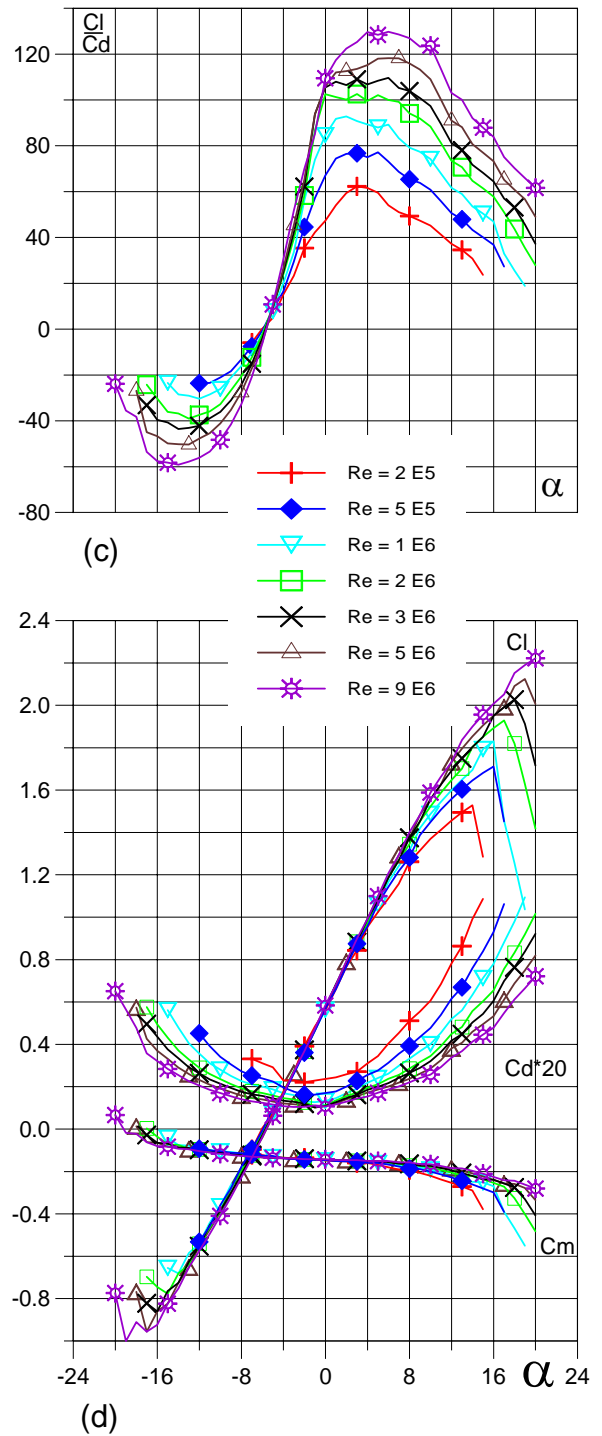
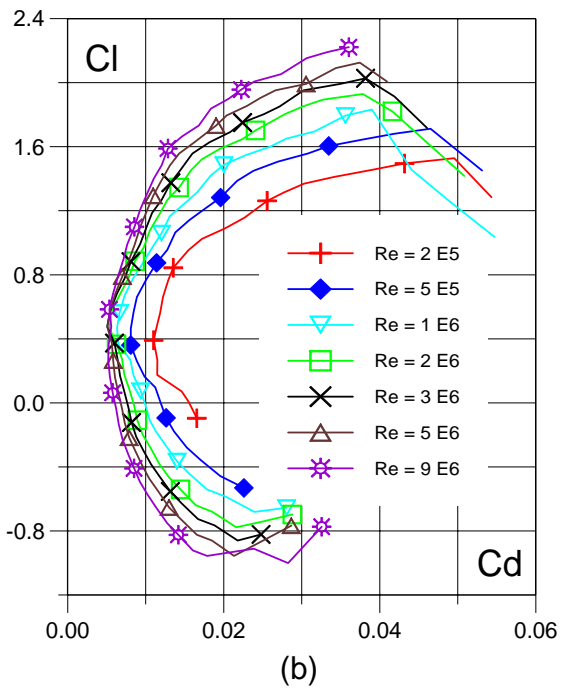
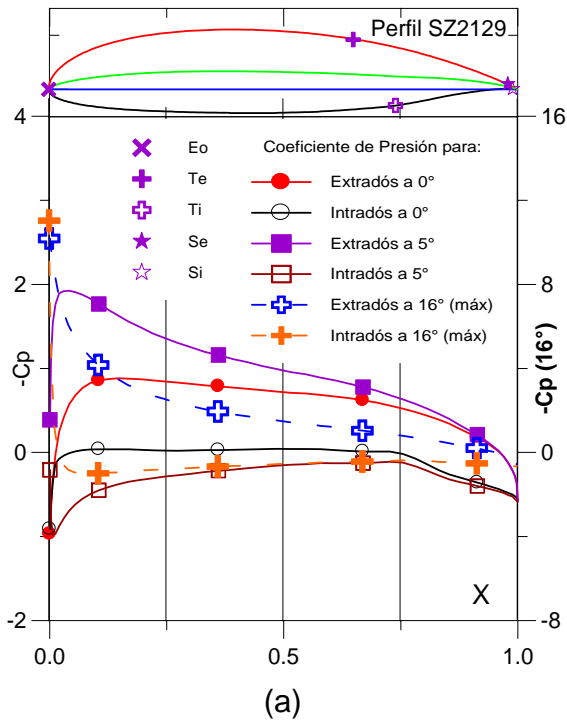


Fig. 5.2.59. (a) C_p (0° , 5° y Máx) vs. X para $Re = 1 E 6$ (leer $C_{p\text{máx}}$ a la derecha) y (b) Curvas Polares del Perfil SZ - 2129.

Fig. 5.2.60. (c) Curvas de Cl/Cd y (d) Cl , Cd , C_m vs. Ángulo de ataque del Perfil SZ - 2129.

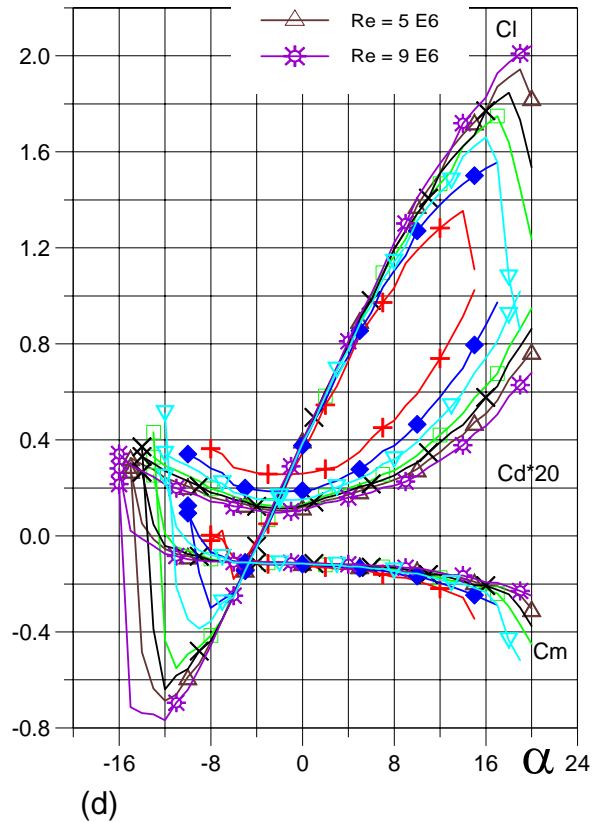
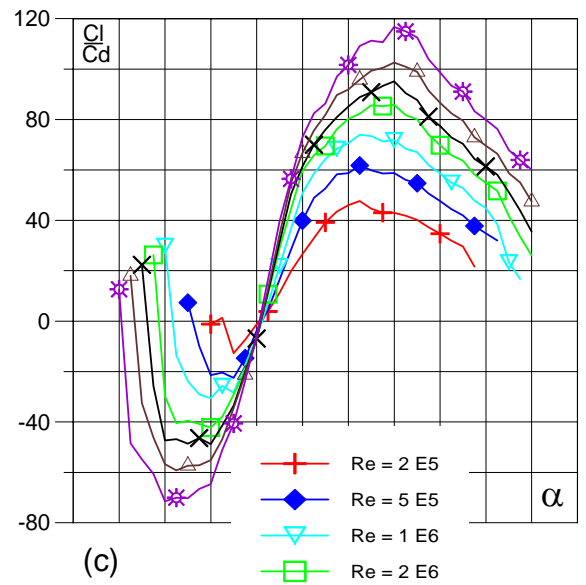
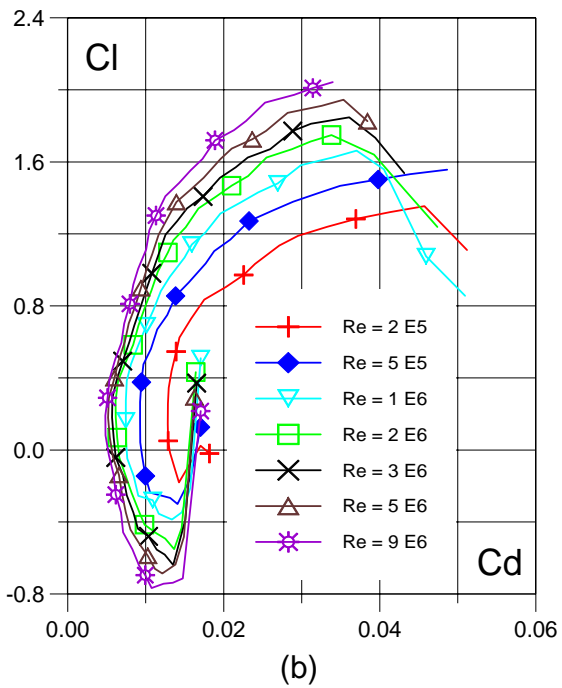
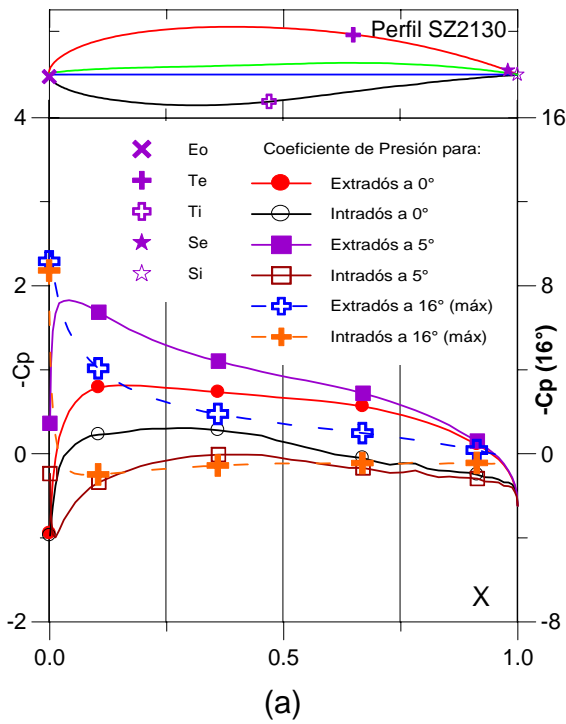


Fig. 5.2.61. (a) C_p (0° , 5° y Máx) vs. X para $Re = 1 E 6$ (leer $C_{p\text{máx}}$ a la derecha) y (b) Curvas Polares del Perfil SZ - 2130.

Fig. 5.2.62. (c) Curvas de C_l/C_d y (d) C_l , C_d , C_m vs. Ángulo de ataque del Perfil SZ - 2130.

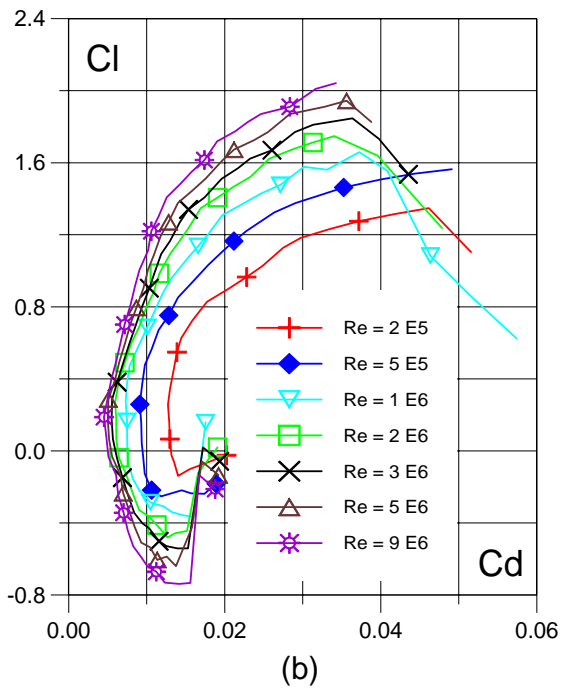
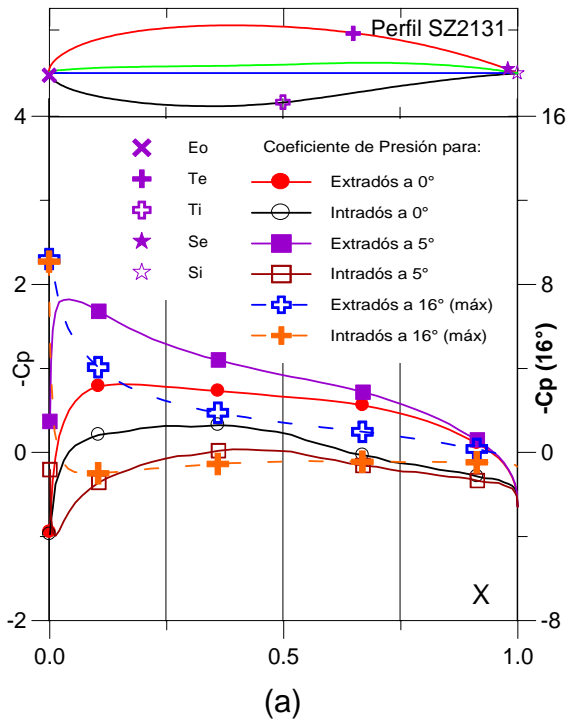


Fig. 5.2.63. (a) C_p (0° , 5° y Máx) vs. X para $Re = 1 E 6$ (leer $C_{p\text{máx}}$ a la derecha) y (b) Curvas Polares del Perfil SZ - 2131.

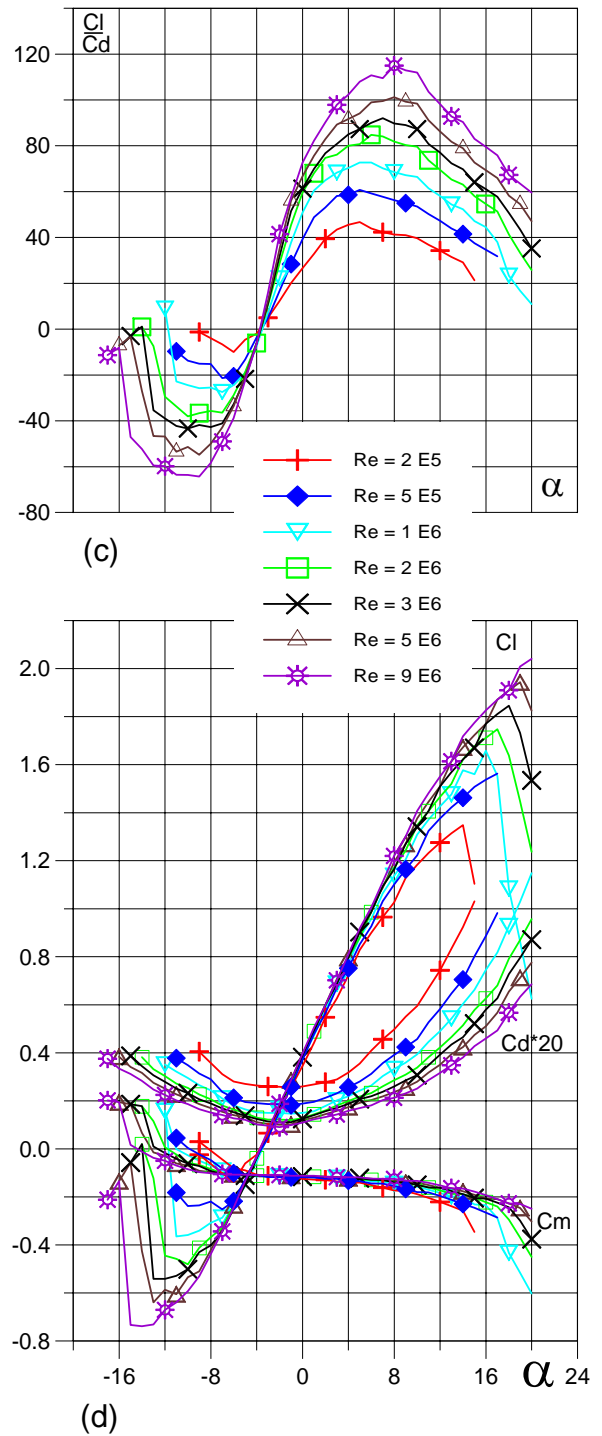


Fig. 5.2.64. (c) Curvas de Cl/Cd y (d) Cl , Cd , C_m vs. Ángulo de ataque del Perfil SZ - 2131.

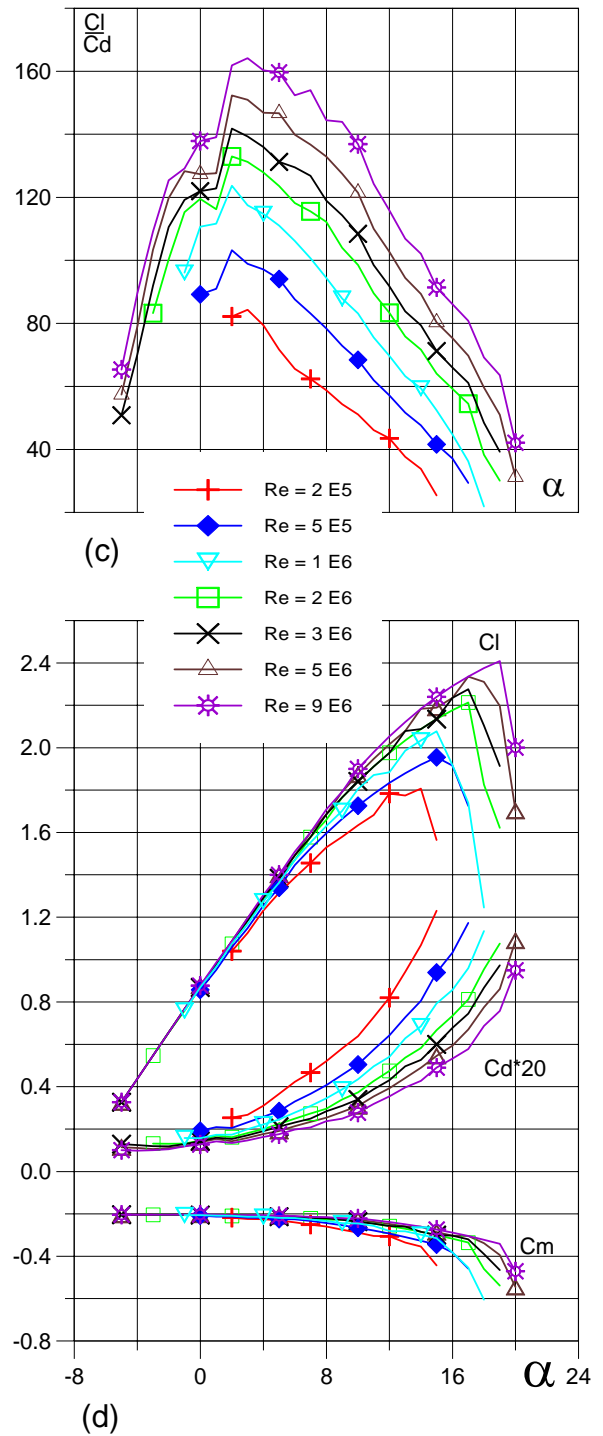
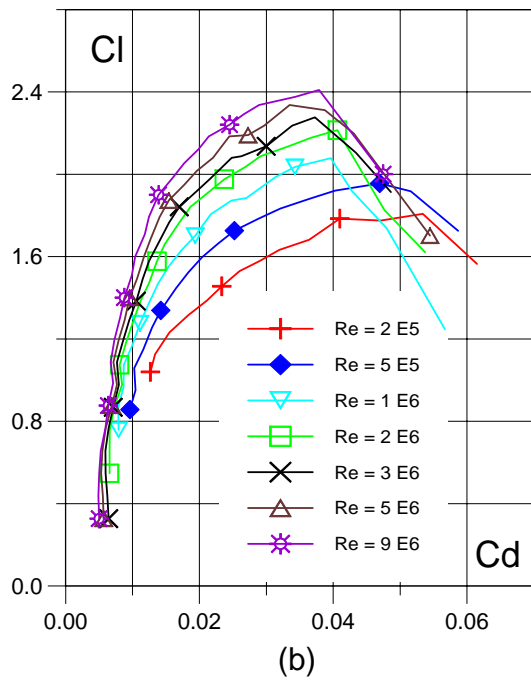
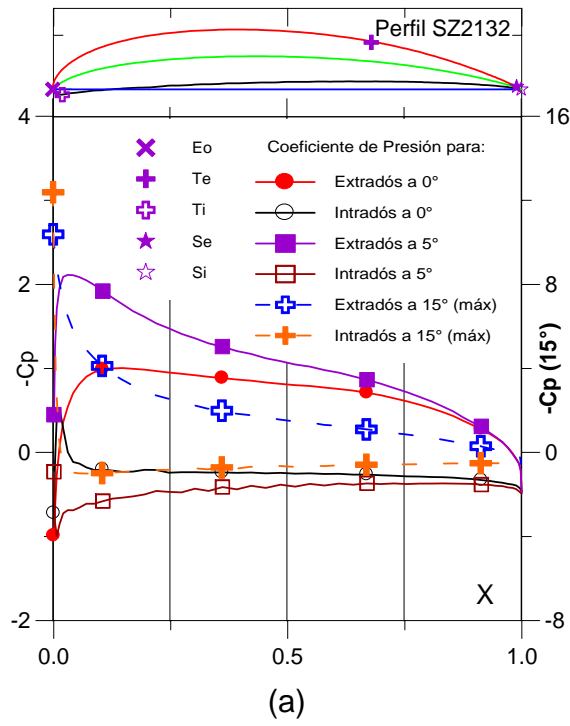


Fig. 5.2.65. (a) C_p (0°, 5° y Máx) vs. X para $Re = 1 E 6$ (leer $C_{p\text{máx}}$ a la derecha) y (b) Curvas Polares del Perfil SZ - 2132.

Fig. 5.2.66. (c) Curvas de Cl/Cd y (d) Cl , Cd , C_m vs. Ángulo de ataque del Perfil SZ - 2132.

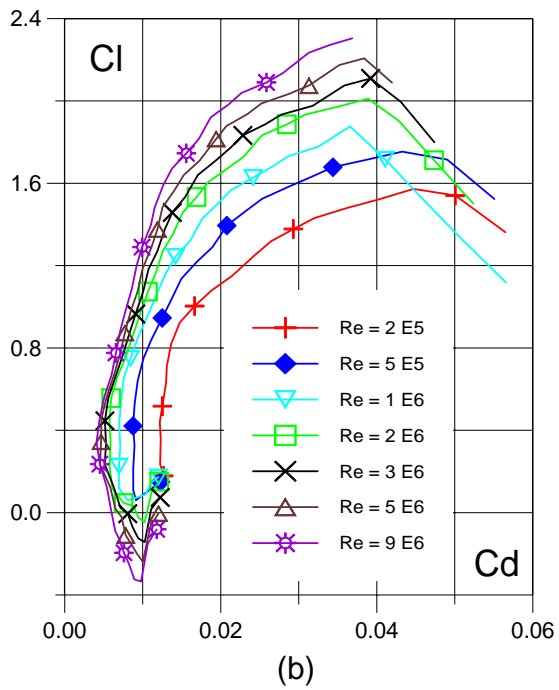
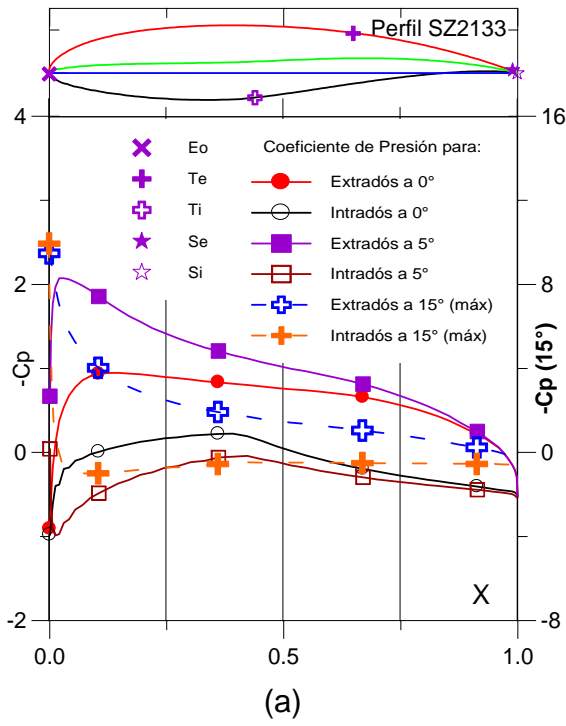


Fig. 5.2.67. (a) C_p (0° , 5° y Máx) vs. X para $Re = 1 E 6$ (leer $C_{p\text{máx}}$ a la derecha) y (b) Curvas Polares del Perfil SZ - 2133.

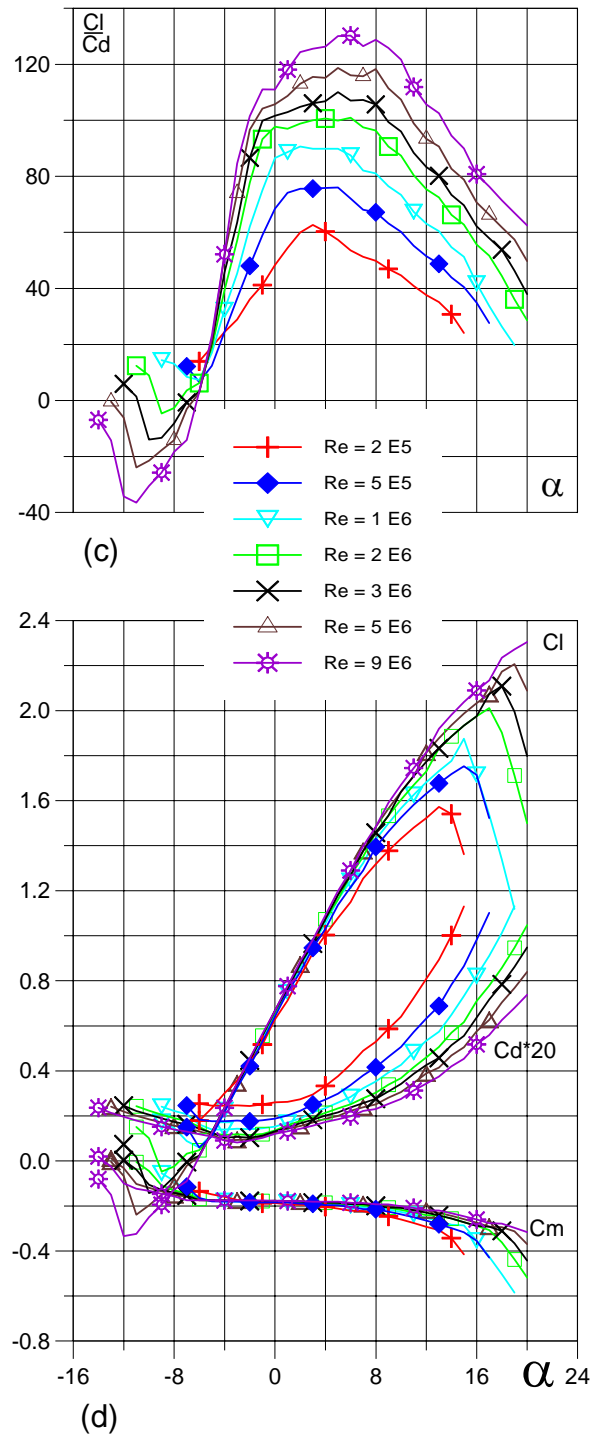


Fig. 5.2.68. (c) Curvas de Cl/Cd y (d) Cl , Cd , C_m vs. Ángulo de ataque del Perfil SZ - 2133.

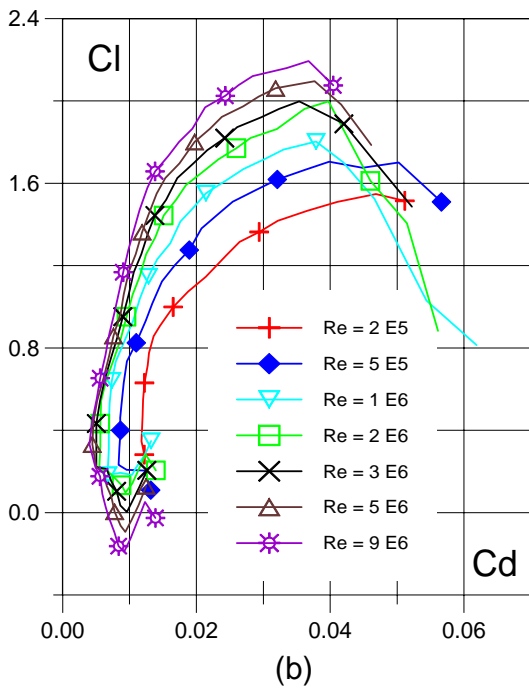
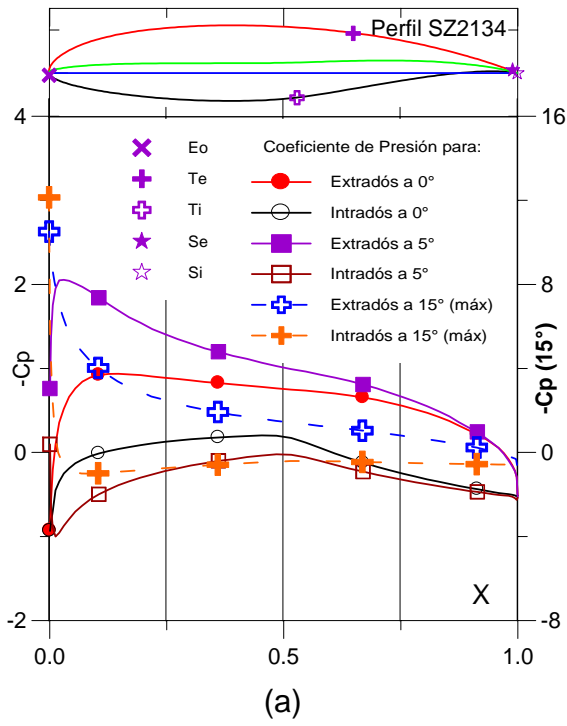


Fig. 5.2.69. (a) C_p (0° , 5° y Máx) vs. X para $Re = 1 E 6$ (leer $C_{p\text{máx}}$ a la derecha) y (b) Curvas Polares del Perfil SZ - 2134.

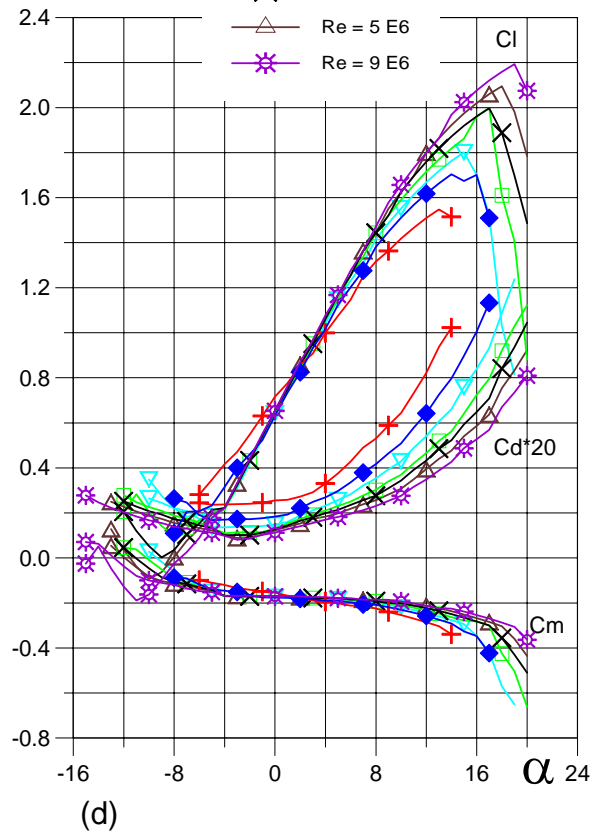
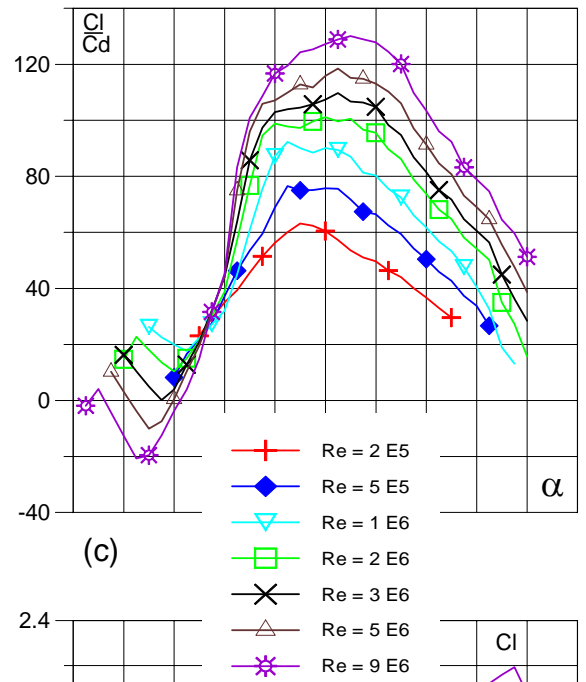


Fig. 5.2.70. (c) Curvas de Cl/Cd y (d) Cl , Cd , C_m vs. Ángulo de ataque del Perfil SZ - 2134.

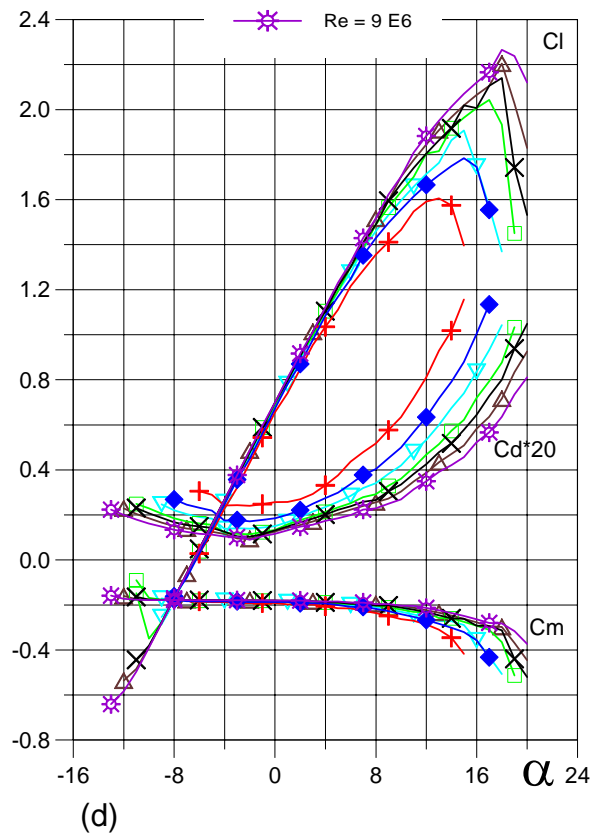
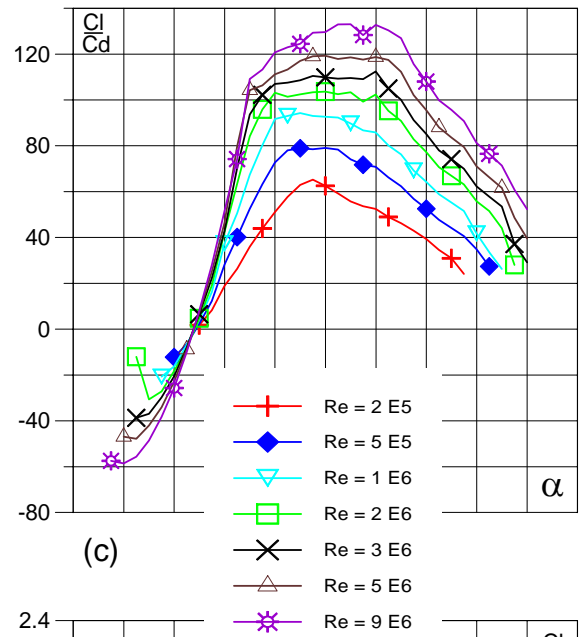
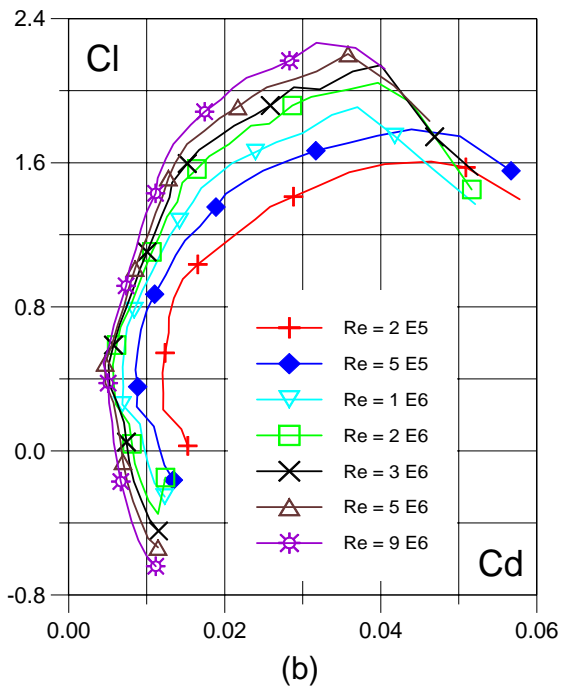
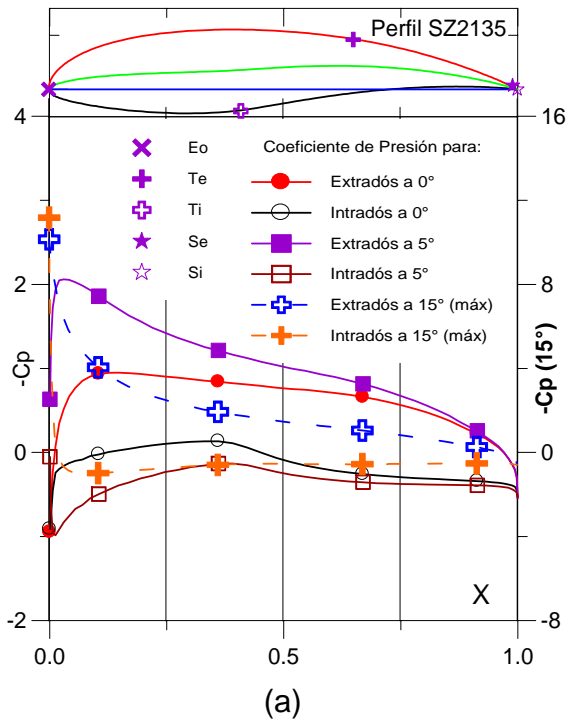


Fig. 5.2.71. (a) C_p (0° , 5° y Máx) vs. X para $Re = 1 E 6$ (leer $C_{p\text{máx}}$ a la derecha) y (b) Curvas Polares del Perfil SZ - 2135.

Fig. 5.2.72. (c) Curvas de Cl/Cd y (d) Cl , Cd , C_m vs. Ángulo de ataque del Perfil SZ - 2135.

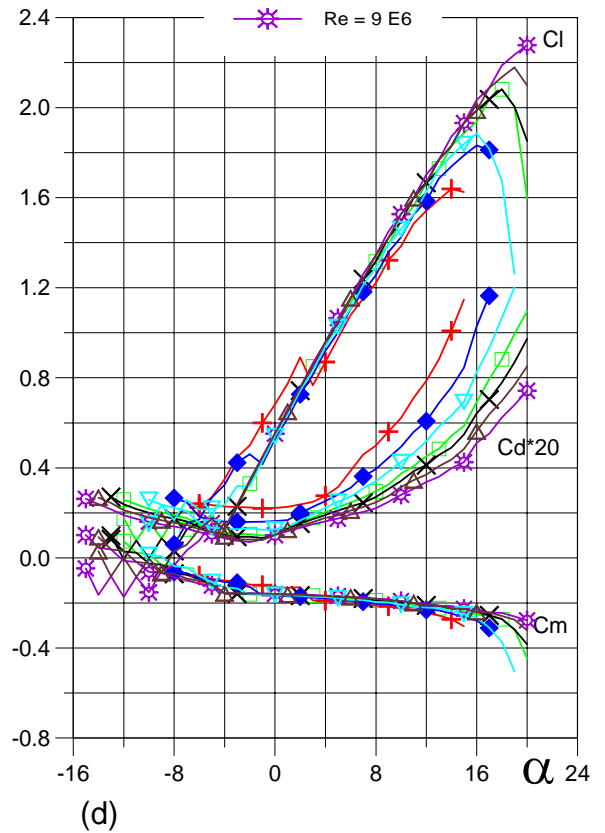
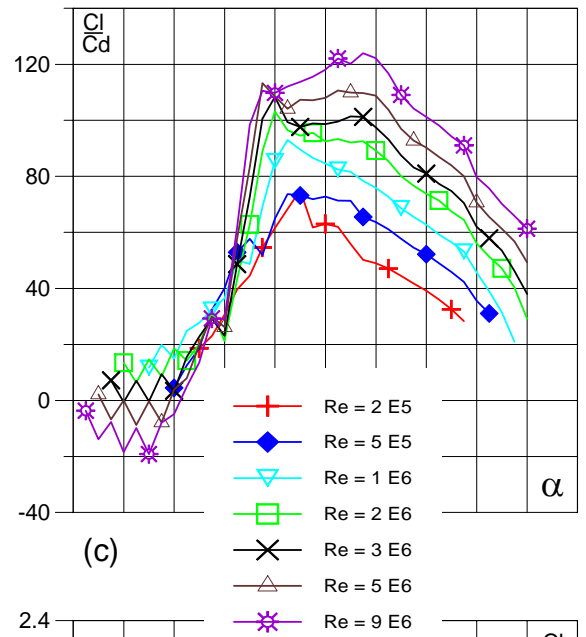
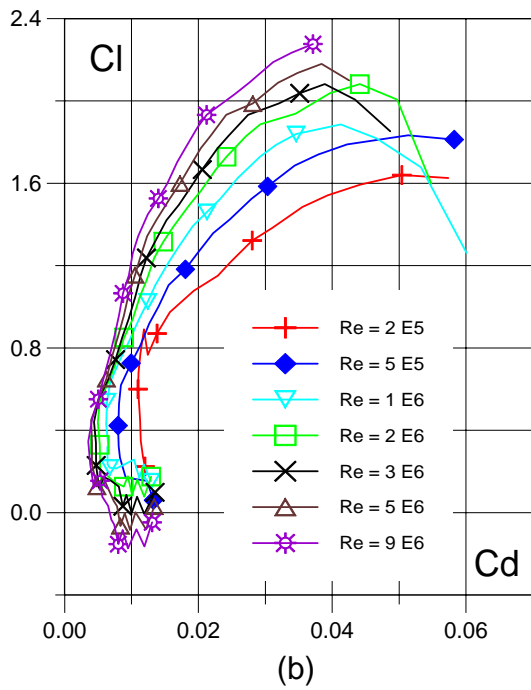
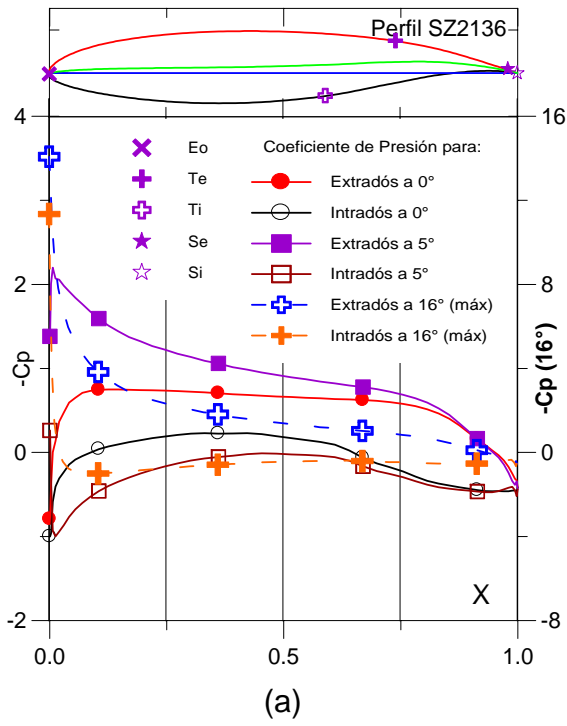


Fig. 5.2.73. (a) C_p (0° , 5° y Máx) vs. X para $Re = 1 E 6$ (leer $C_{p\text{máx}}$ a la derecha) y (b) Curvas Polares del Perfil SZ - 2136.

Fig. 5.2.74. (c) Curvas de Cl/Cd y (d) Cl , Cd , C_m vs. Ángulo de ataque del Perfil SZ - 2136.

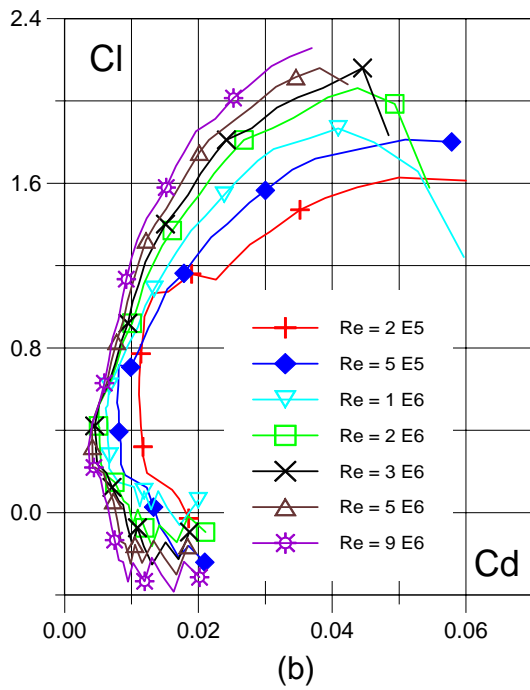
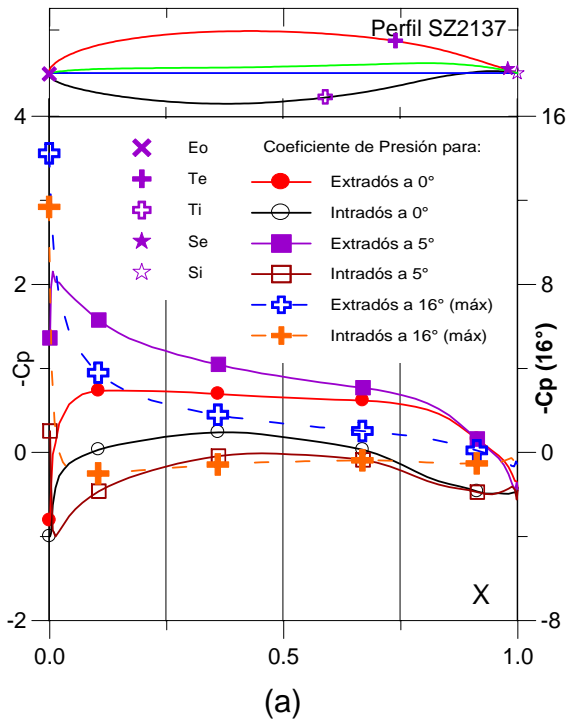


Fig. 5.2.75. (a) C_p (0° , 5° y Máx) vs. X para $Re = 1 E 6$ (leer $C_{p\text{máx}}$ a la derecha) y (b) Curvas Polares del Perfil SZ - 2137.

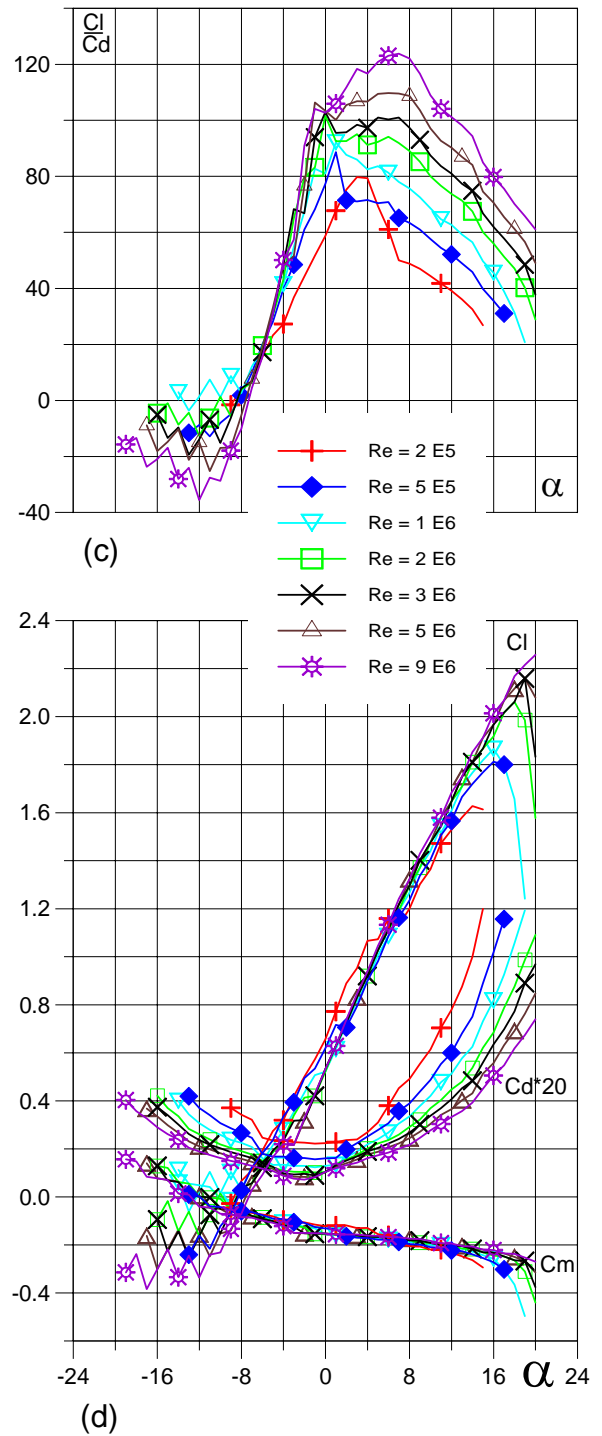


Fig. 5.2.76. (c) Curvas de Cl/Cd y (d) Cl , Cd , C_m vs. Ángulo de ataque del Perfil SZ - 2137.

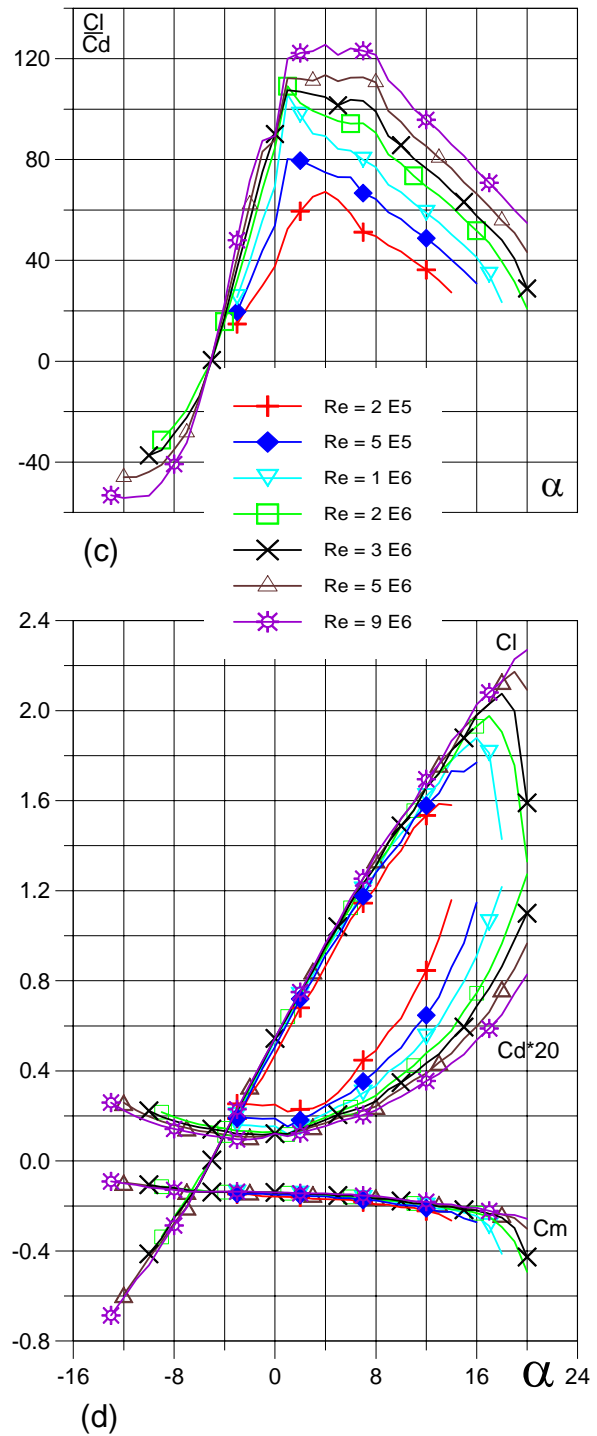
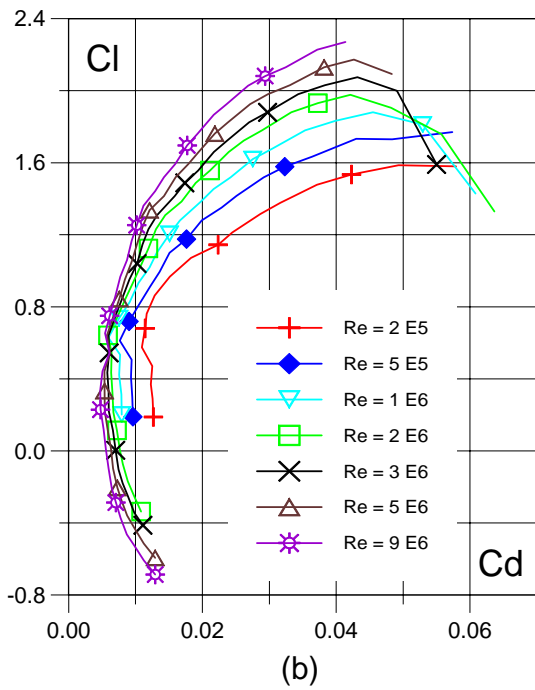
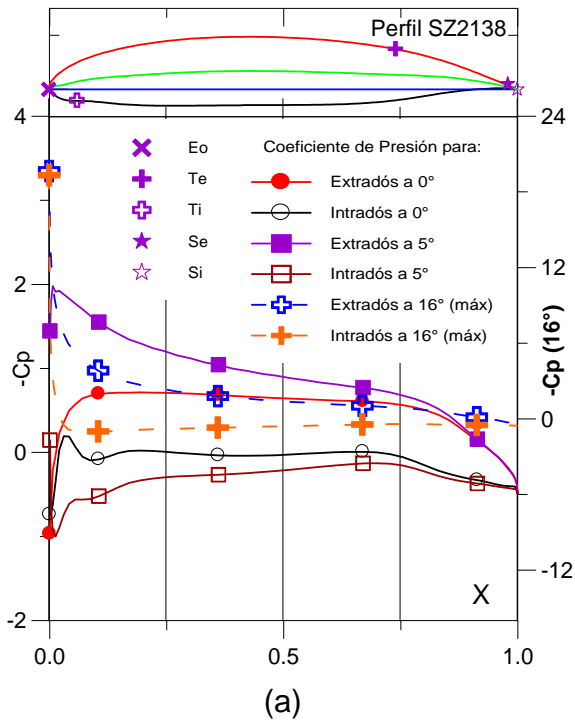
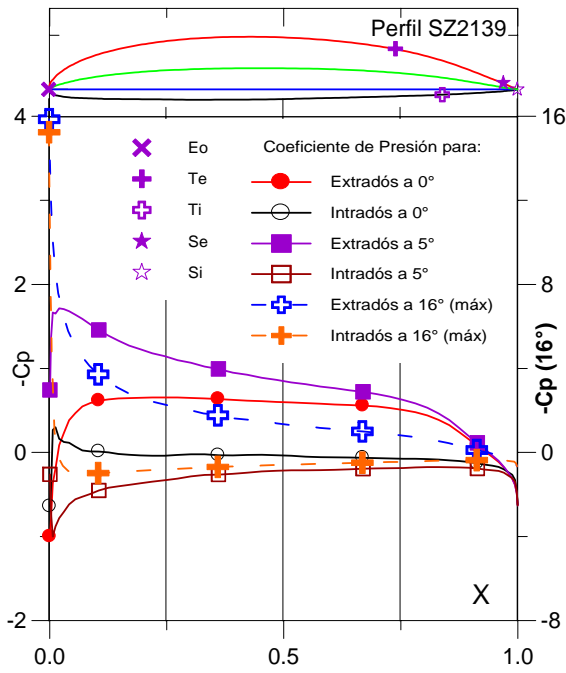
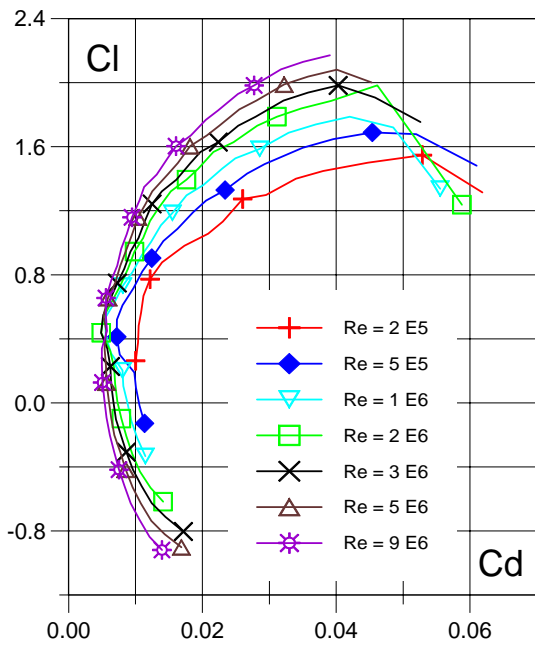


Fig. 5.2.77. (a) C_p (0° , 5° y Máx) vs. X para $Re = 1 E 6$ (leer $C_{p\text{máx}}$ a la derecha) y (b) Curvas Polares del Perfil SZ - 2138.

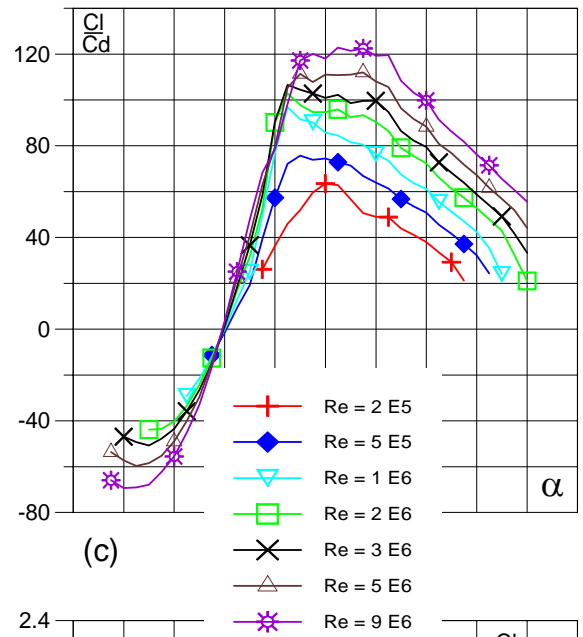
Fig. 5.2.78. (c) Curvas de Cl/Cd y (d) Cl , Cd , C_m vs. Ángulo de ataque del Perfil SZ - 2138.



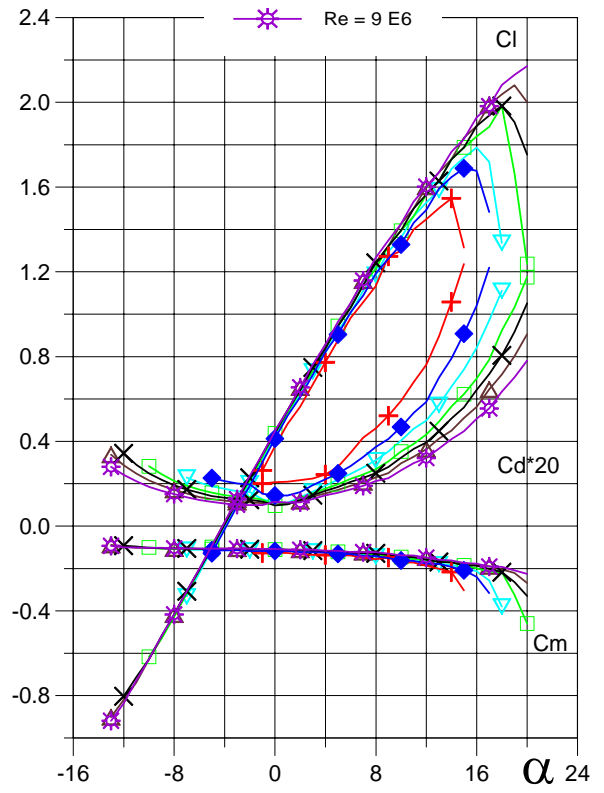
(a)



(b)



(c)



(d)

Fig. 5.2.79. (a) C_p (0° , 5° y Máx) vs. X para $Re = 1 E 6$ (leer $C_{p\text{máx}}$ a la derecha) y (b) Curvas Polares del Perfil SZ - 2139.

Fig. 5.2.80. (c) Curvas de Cl/Cd y (d) Cl , Cd , Cm vs. Ángulo de ataque del Perfil SZ - 2139.

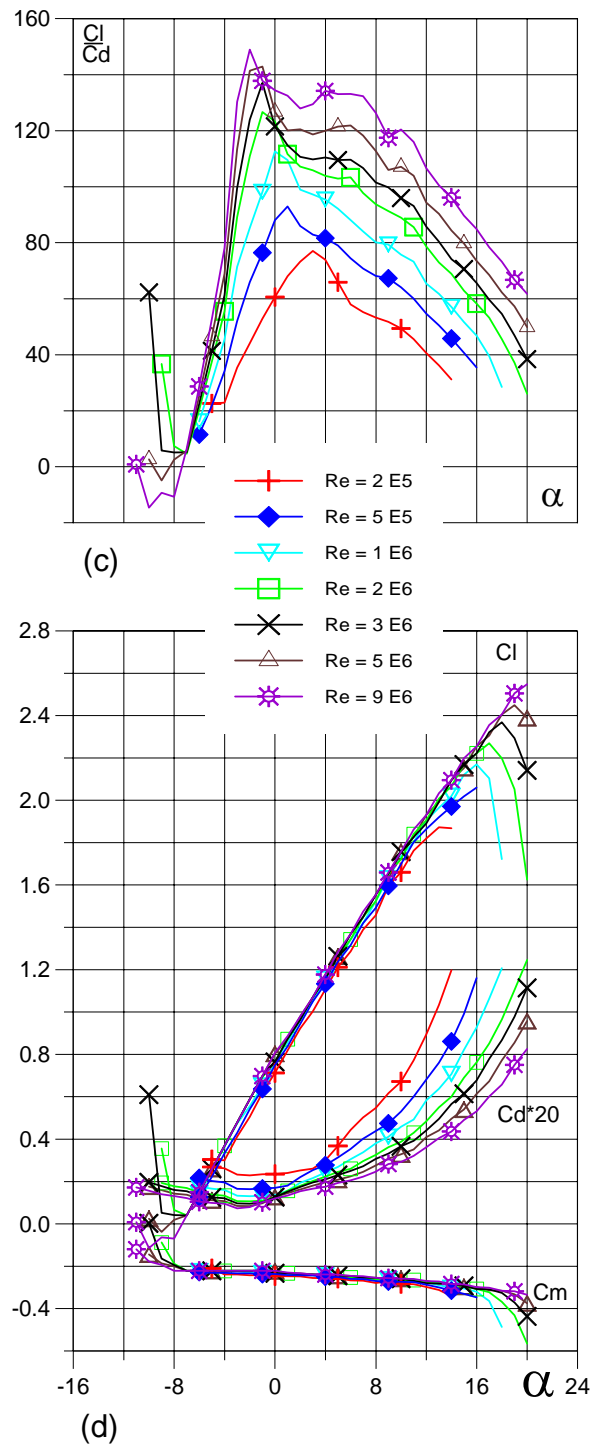
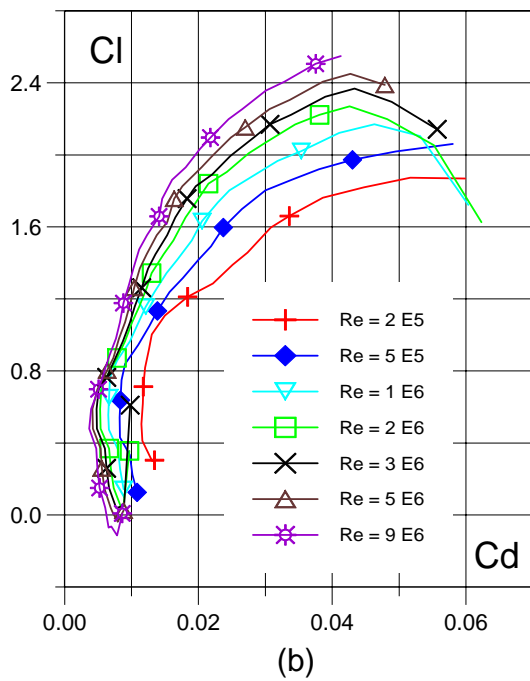
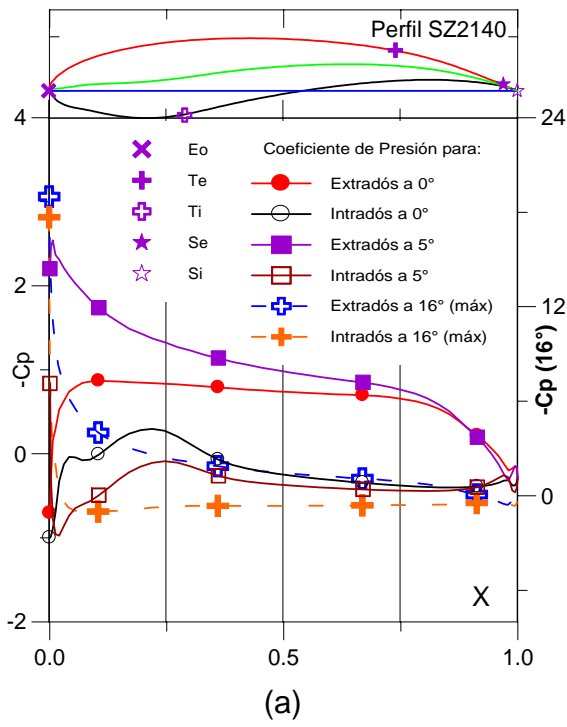


Fig. 5.2.81. (a) C_p (0° , 5° y Máx) vs. X para $Re = 1 E 6$ (leer $C_{p\text{máx}}$ a la derecha) y (b) Curvas Polares del Perfil SZ - 2140.

Fig. 5.2.82. (c) Curvas de C_l/C_d y (d) C_l , C_d , C_m vs. Ángulo de ataque del Perfil SZ - 2140.

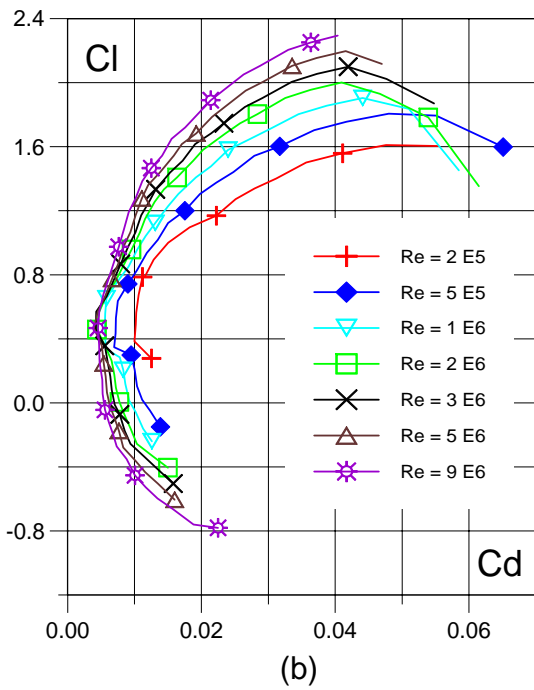
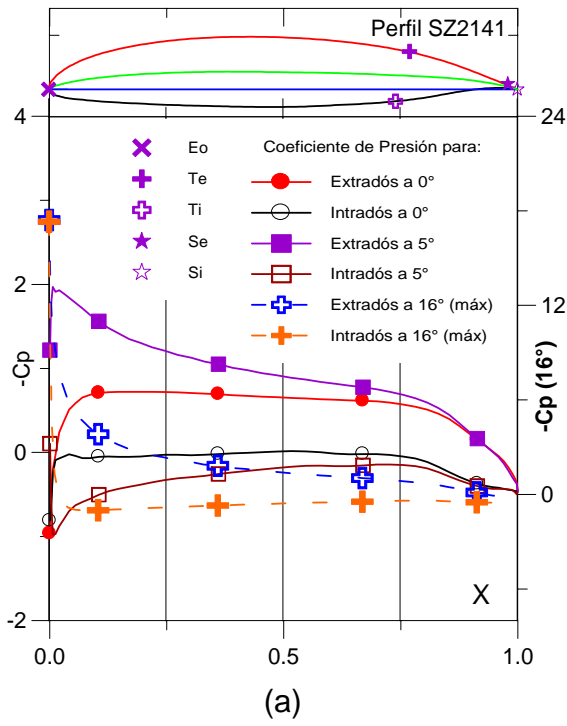


Fig. 5.2.83. (a) C_p (0° , 5° y Máx) vs. X para $Re = 1 E 6$ (leer $C_{p\text{máx}}$ a la derecha) y (b) Curvas Polares del Perfil SZ - 2141.

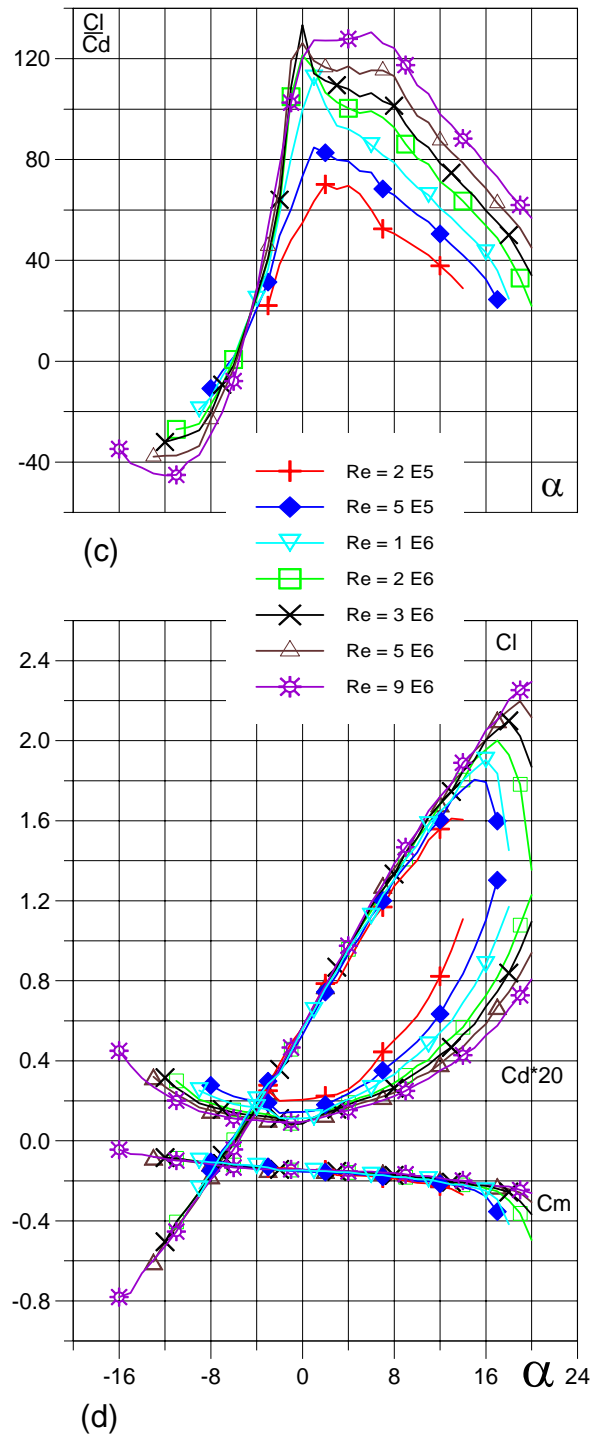


Fig. 5.2.84. (c) Curvas de Cl/Cd y (d) Cl , Cd , C_m vs. Ángulo de ataque del Perfil SZ - 2141.

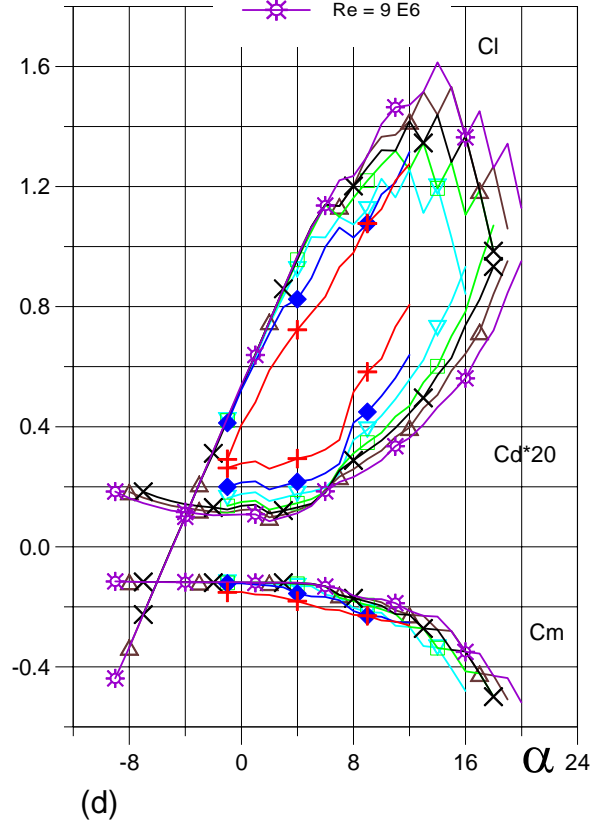
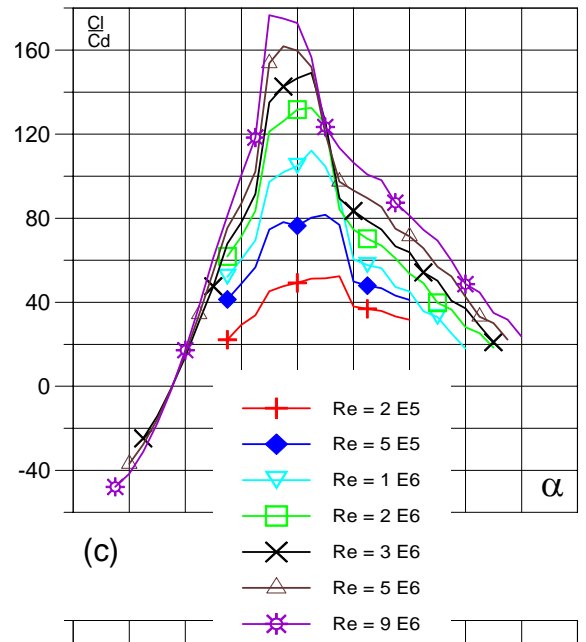
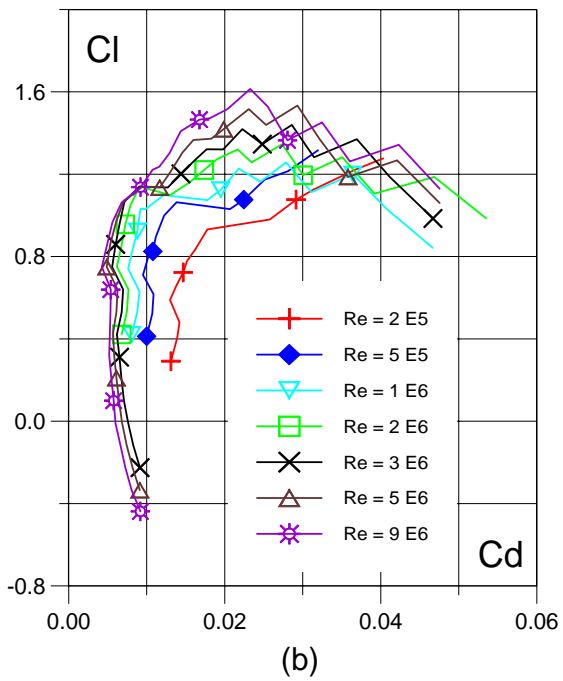
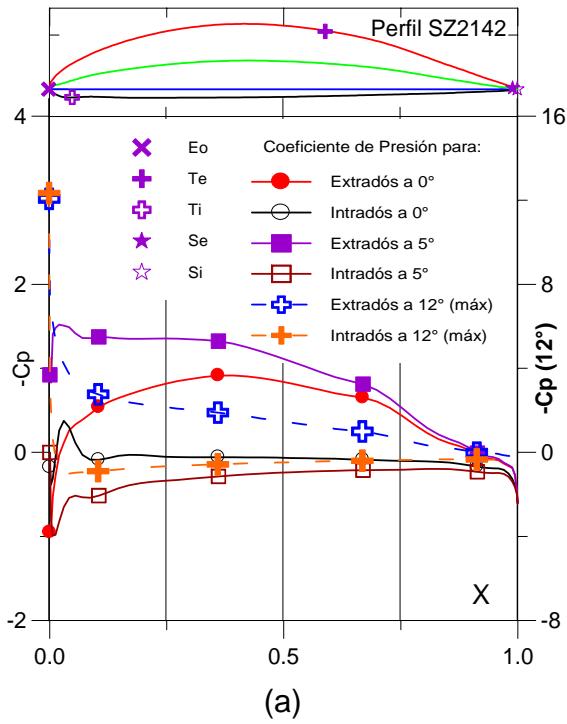


Fig. 5.2.85. (a) C_p (0°, 5° y Máx) vs. X para $Re = 1 E 6$ (leer $C_{p\text{máx}}$ a la derecha) y (b) Curvas Polares del Perfil SZ - 2142.

Fig. 5.2.86. (c) Curvas de Cl/Cd y (d) Cl , Cd , Cm vs. Ángulo de ataque del Perfil SZ - 2142.

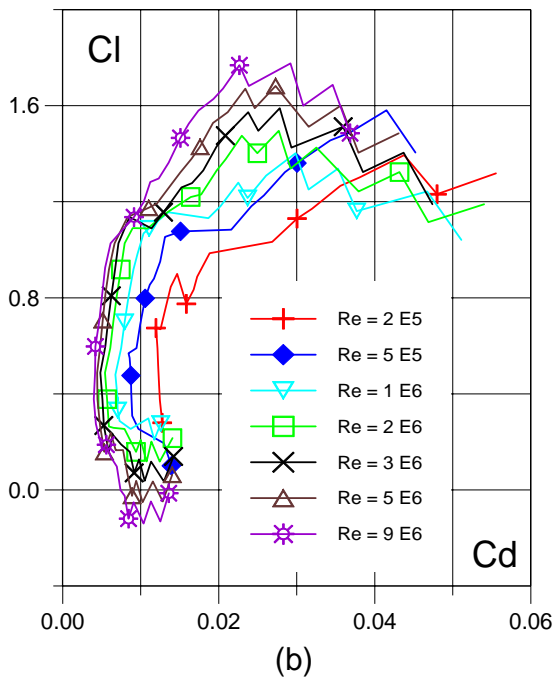
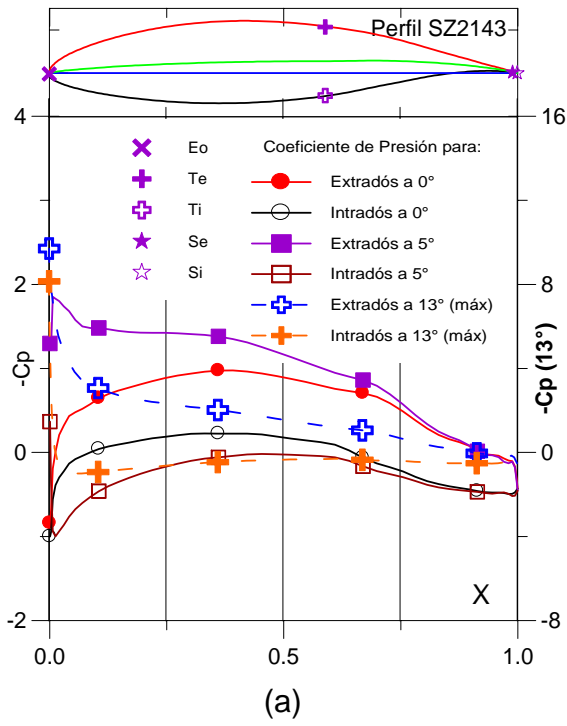


Fig. 5.2.87. (a) C_p (0° , 5° y Máx) vs. X para $Re = 1 E 6$ (leer $C_{p\text{máx}}$ a la derecha) y (b) Curvas Polares del Perfil SZ - 2143.

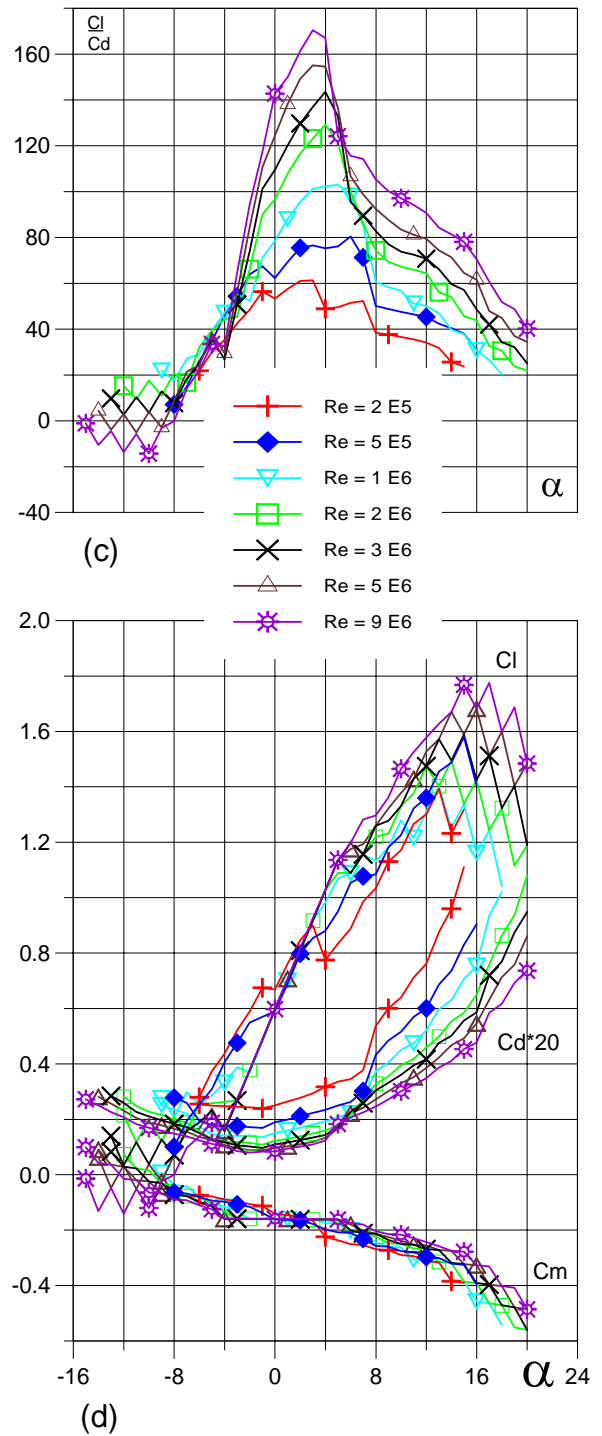
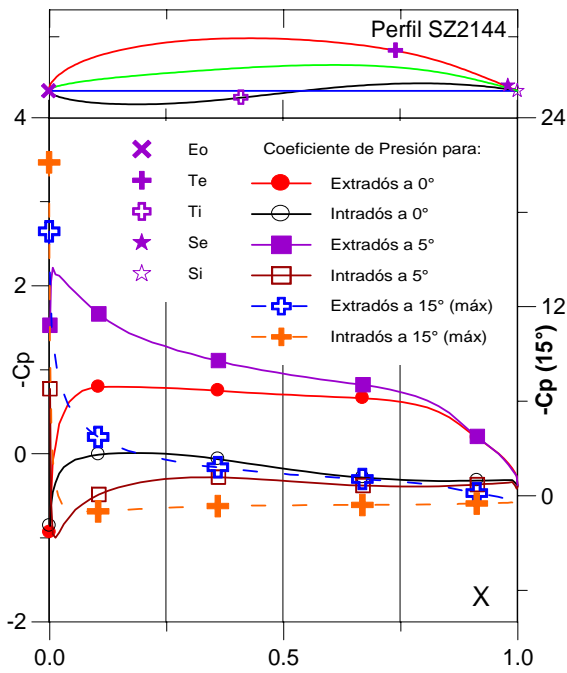
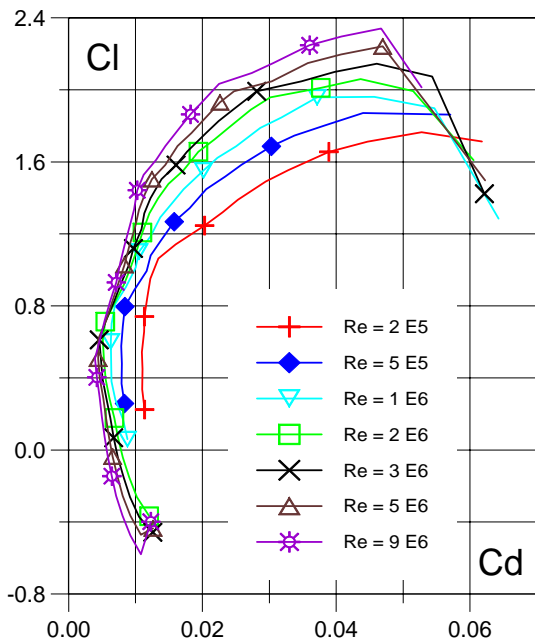


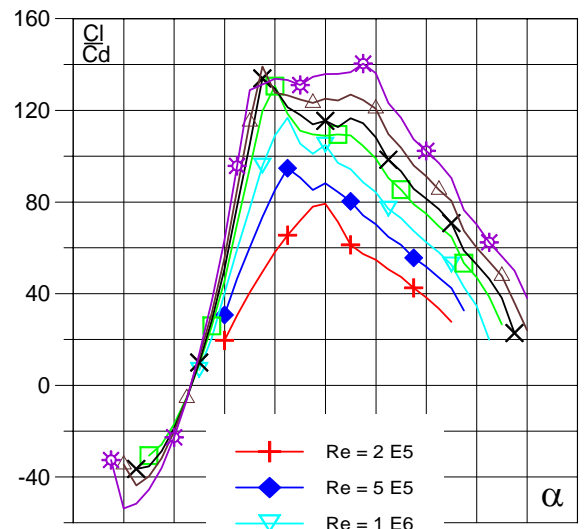
Fig. 5.2.88. (c) Curvas de Cl/Cd y (d) Cl , Cd , C_m vs. Ángulo de ataque del Perfil SZ - 2143.



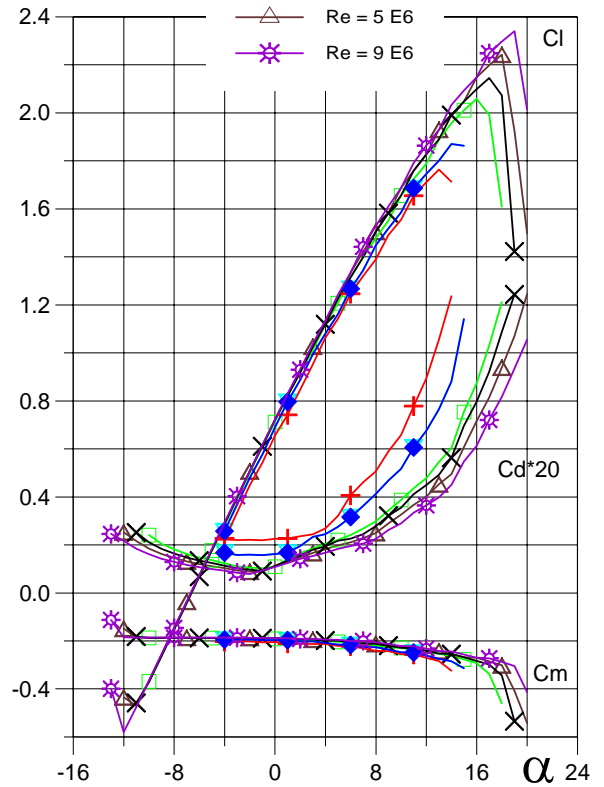
(a)



(b)



(c)



(d)

Fig. 5.2.89. (a) Cp (0°, 5° y Máx) vs. X para Re = 1 E 6 (leer Cpmáx a la derecha) y (b) Curvas Polares del Perfil SZ - 2144.

Fig. 5.2.90. (c) Curvas de Cl/Cd y (d) Cl, Cd, Cm vs. Ángulo de ataque del Perfil SZ - 2144.

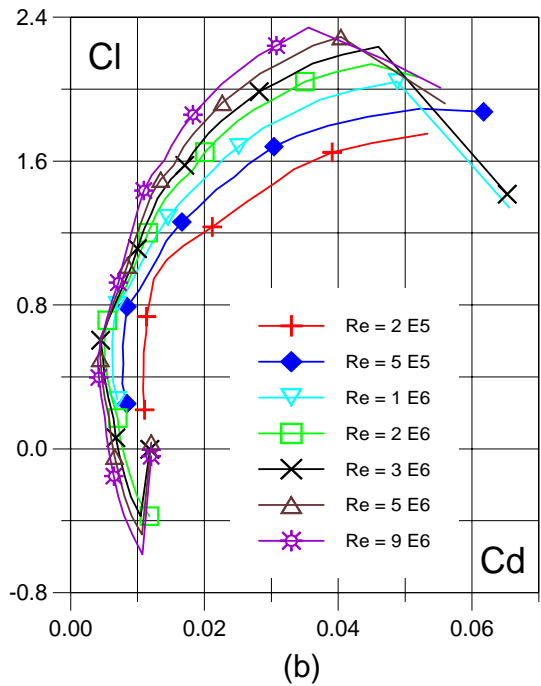
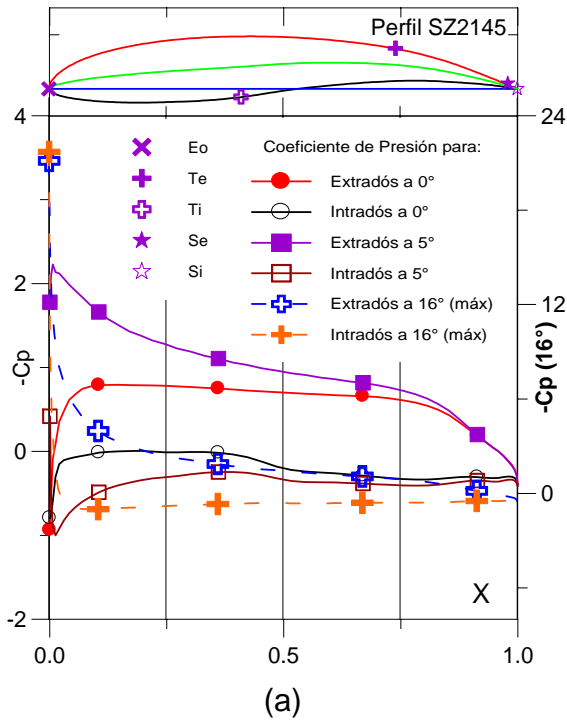


Fig. 5.2.91. (a) C_p (0° , 5° y Máx) vs. X para $Re = 1 E 6$ (leer $C_{p\text{máx}}$ a la derecha) y (b) Curvas Polares del Perfil SZ - 2145.

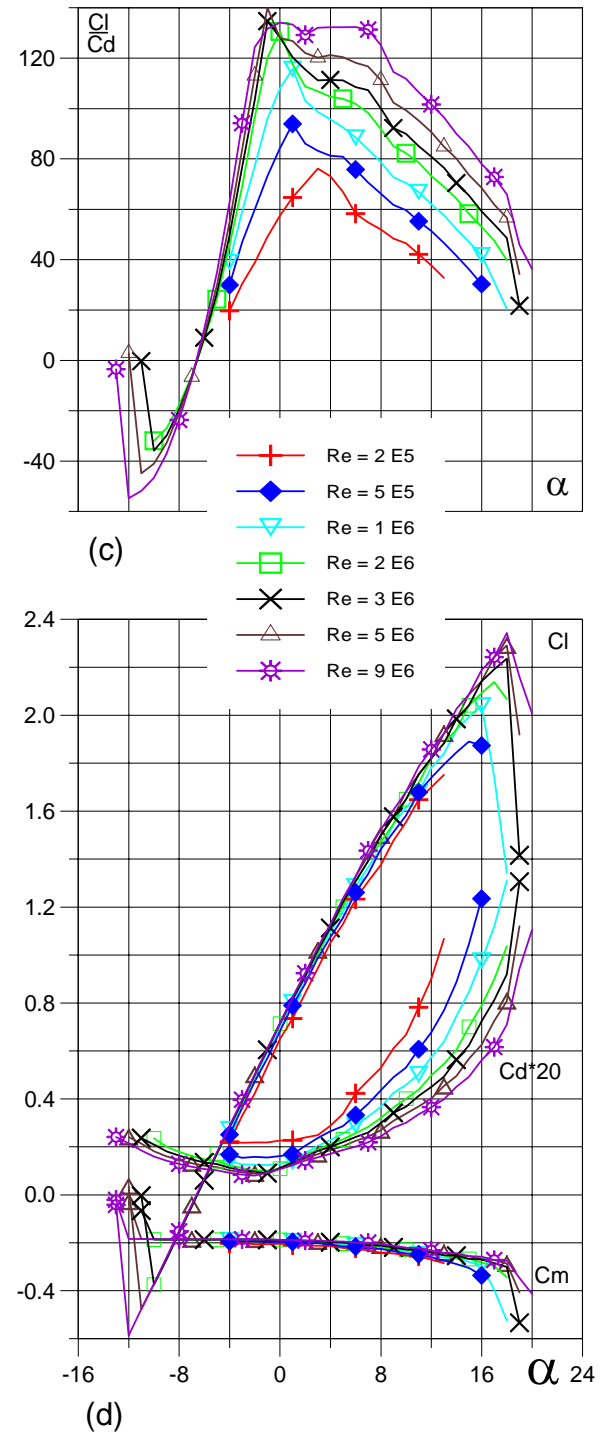


Fig. 5.2.92. (c) Curvas de Cl/Cd y (d) Cl , Cd , C_m vs. Ángulo de ataque del Perfil SZ - 2145.

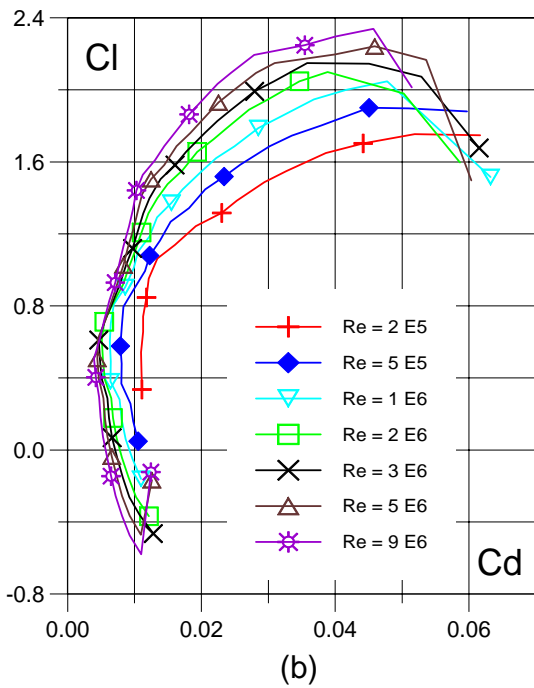
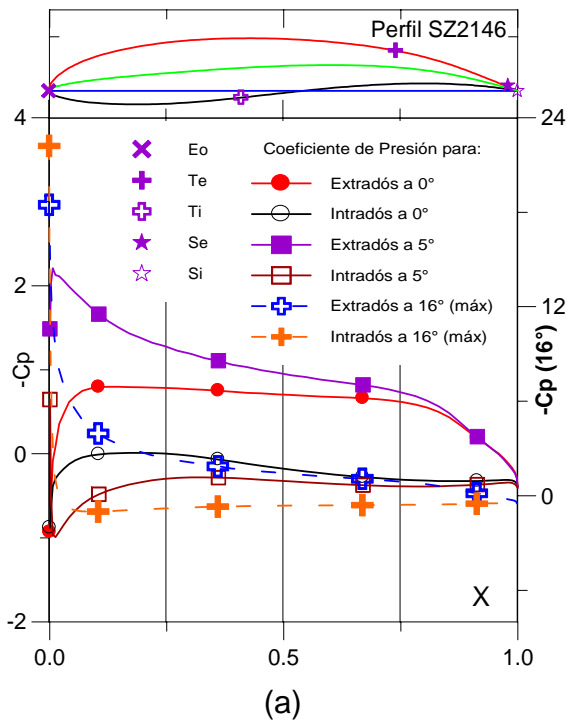


Fig. 5.2.93. (a) C_p (0° , 5° y Máx) vs. X para $Re = 1 E 6$ (leer $C_{p\text{máx}}$ a la derecha) y (b) Curvas Polares del Perfil SZ - 2146.

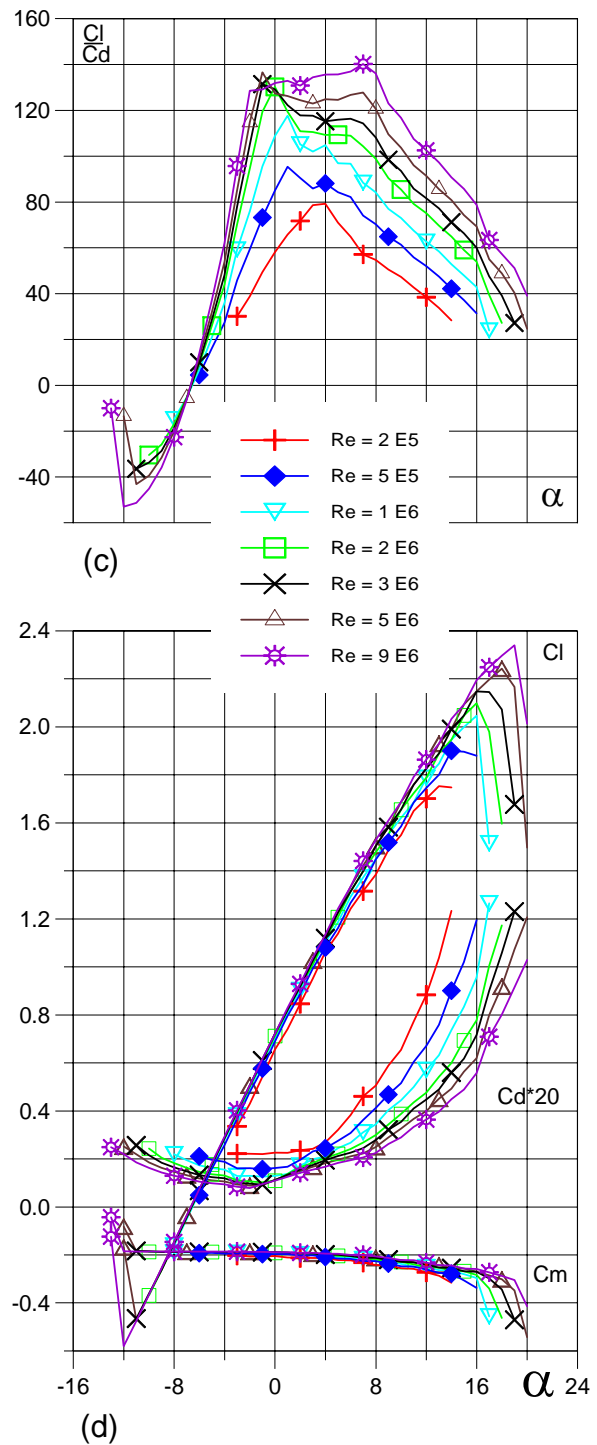


Fig. 5.2.94. (c) Curvas de Cl/Cd y (d) Cl , Cd , C_m vs. Ángulo de ataque del Perfil SZ - 2146.

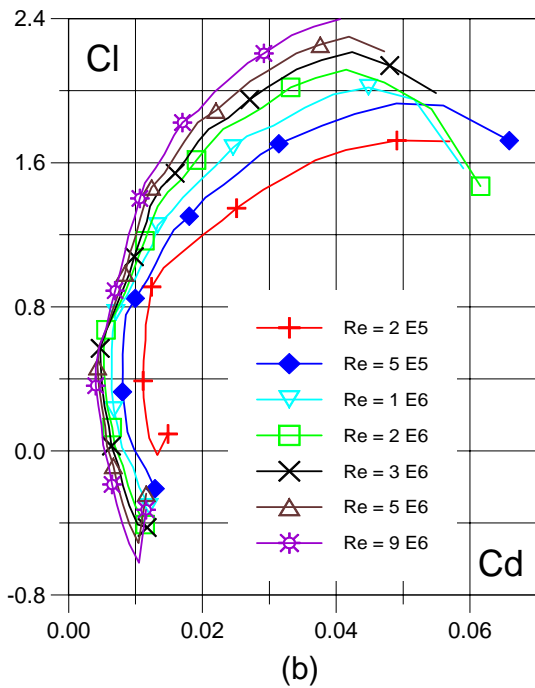
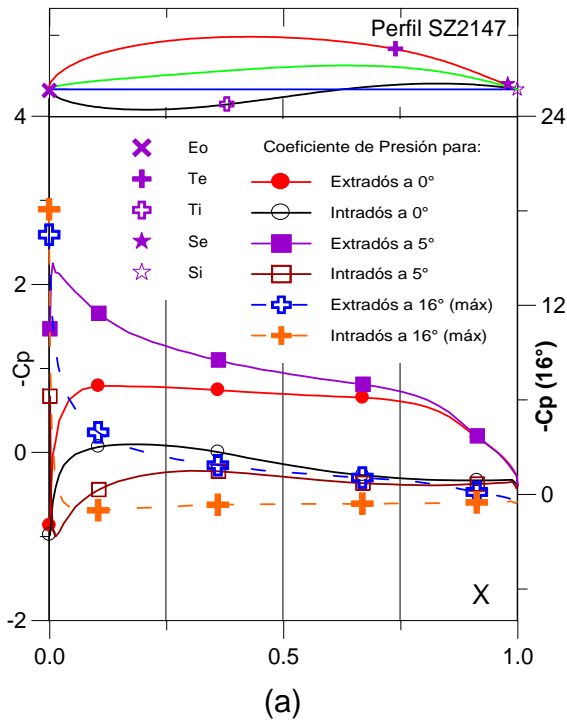


Fig. 5.2.95. (a) C_p (0° , 5° y Máx) vs. X para $Re = 1 E 6$ (leer $C_{p\text{máx}}$ a la derecha) y (b) Curvas Polares del Perfil SZ - 2147.

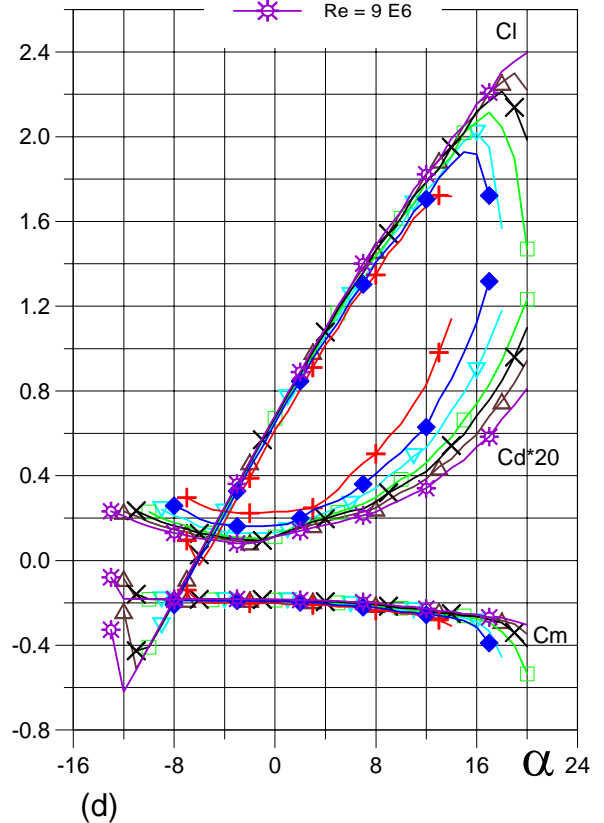
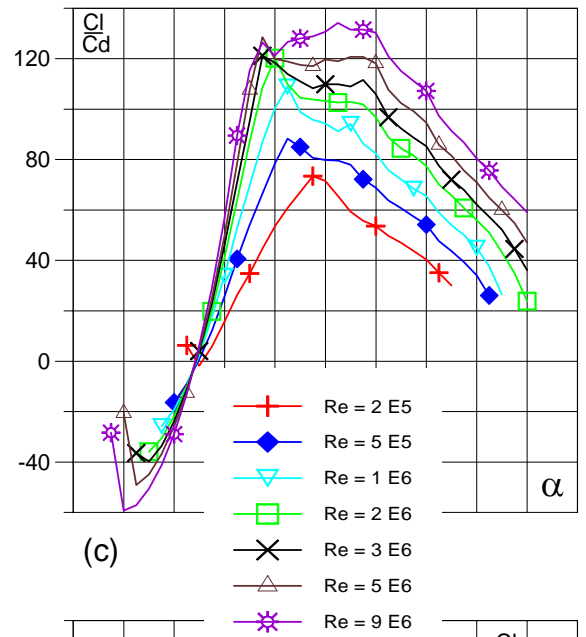


Fig. 5.2.96. (c) Curvas de Cl/Cd y (d) Cl , Cd , C_m vs. Ángulo de ataque del Perfil SZ - 2147.

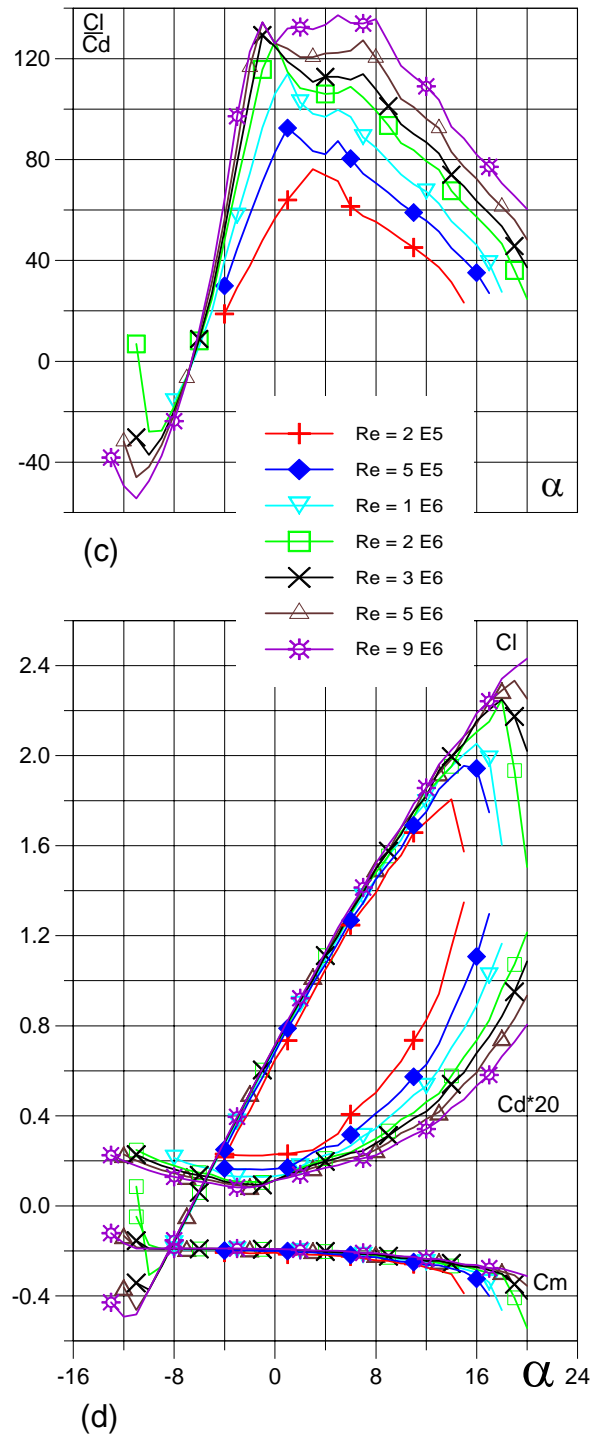
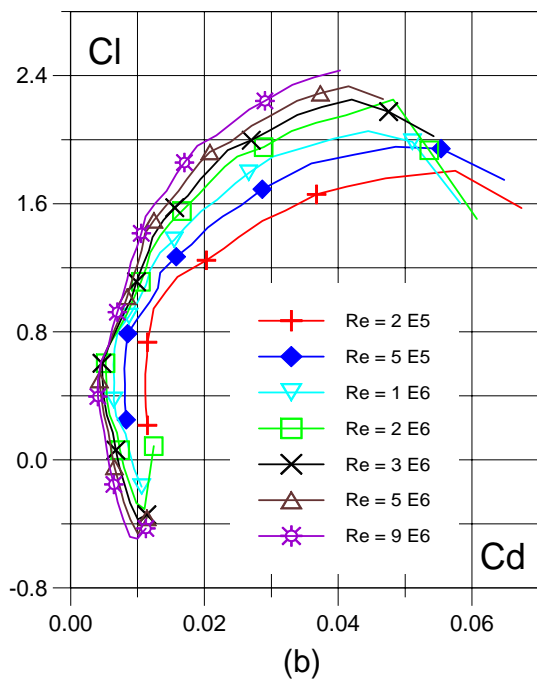
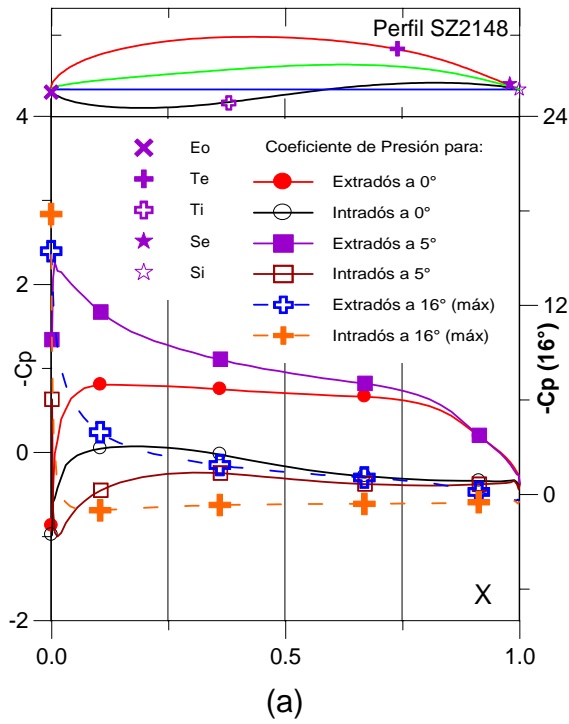


Fig. 5.2.97. (a) C_p (0° , 5° y Máx) vs. X para $Re = 1 E 6$ (leer $C_{p\text{máx}}$ a la derecha) y (b) Curvas Polares del Perfil SZ - 2148.

Fig. 5.2.98. (c) Curvas de Cl/Cd y (d) Cl , Cd , C_m vs. Ángulo de ataque del Perfil SZ - 2148.

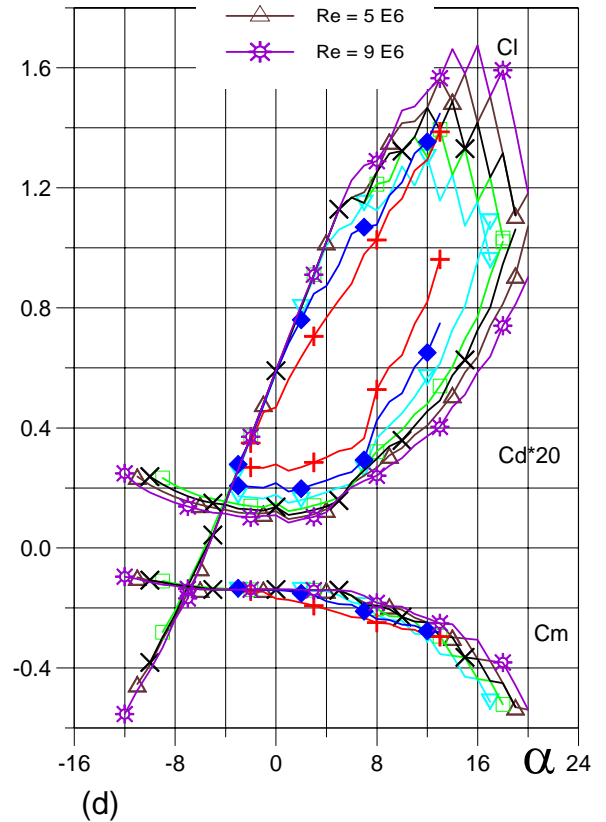
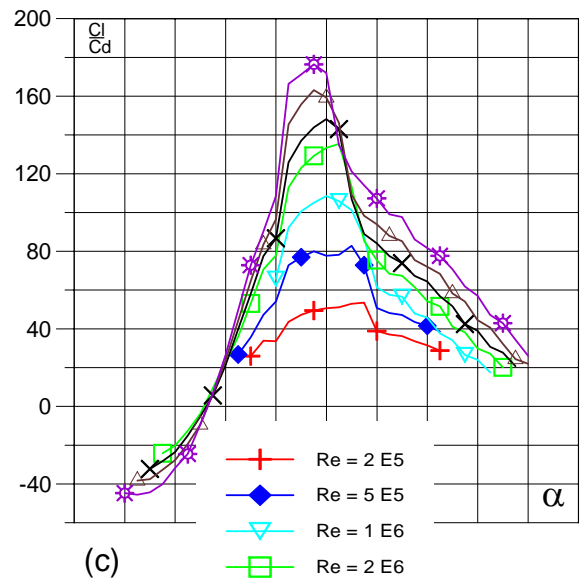
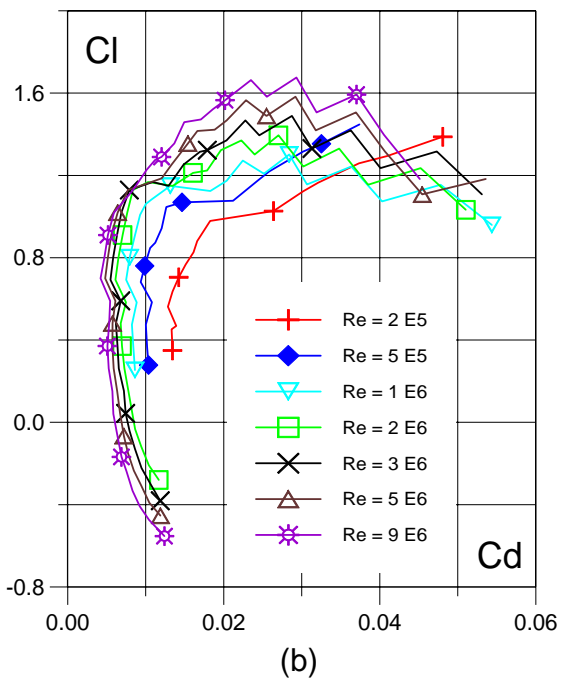
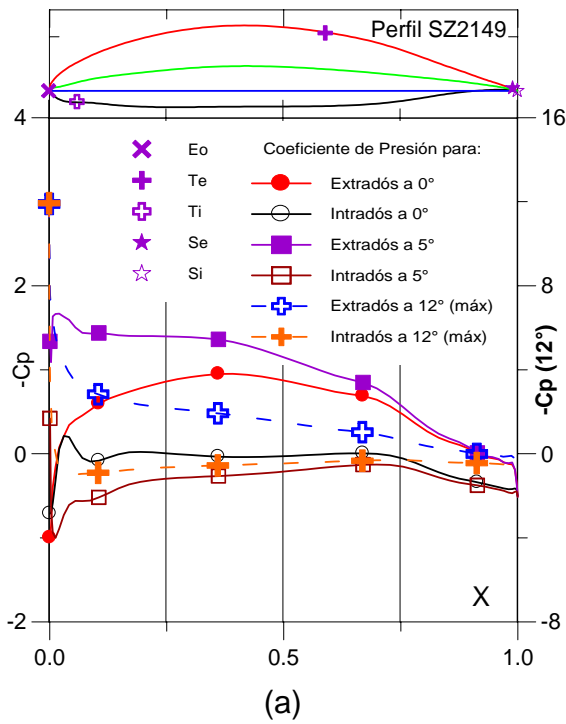


Fig. 5.2.99. (a) C_p (0° , 5° y Máx) vs. X para $Re = 1 E 6$ (leer $C_{p\text{máx}}$ a la derecha) y (b) Curvas Polares del Perfil SZ - 2149.

Fig. 5.2.100. (c) Curvas de C_l/C_d y (d) C_l , C_d , C_m vs. Ángulo de ataque del Perfil SZ - 2149.

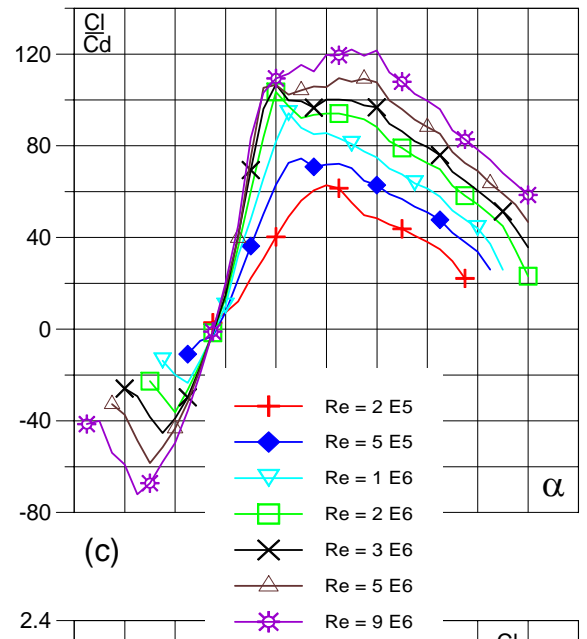
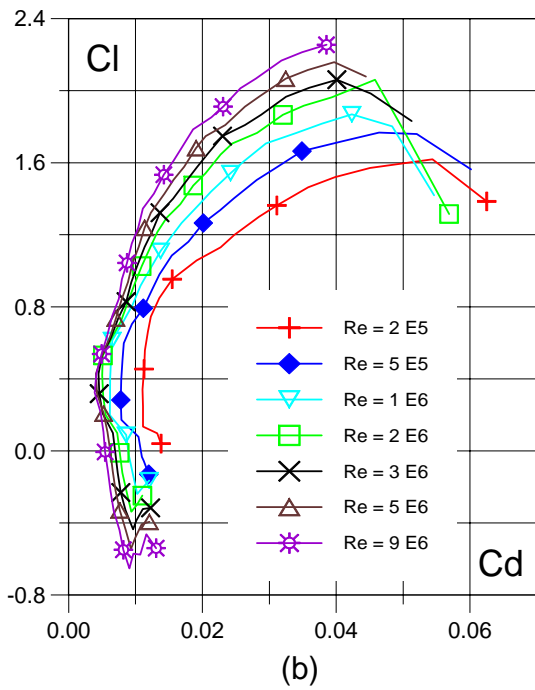
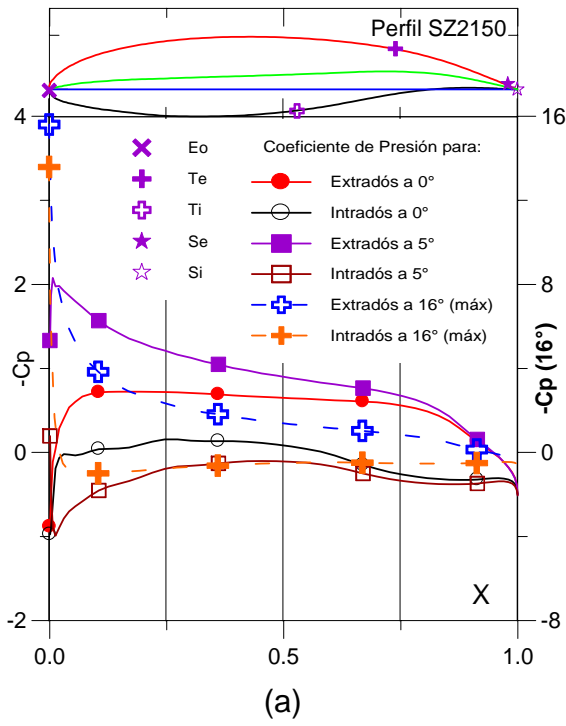


Fig. 5.2.101. (a) C_p (0° , 5° y Máx) vs. X para $Re = 1 E 6$ (leer $C_{p\text{máx}}$ a la derecha) y (b) Curvas Polares del Perfil SZ - 2150.

Fig. 5.2.102. (c) Curvas de Cl/C_d y (d) Cl , C_d , C_m vs. Ángulo de ataque del Perfil SZ - 2150.

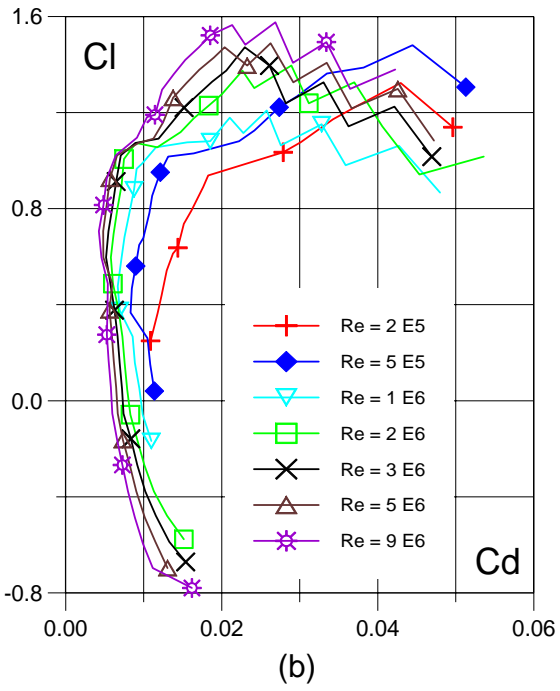
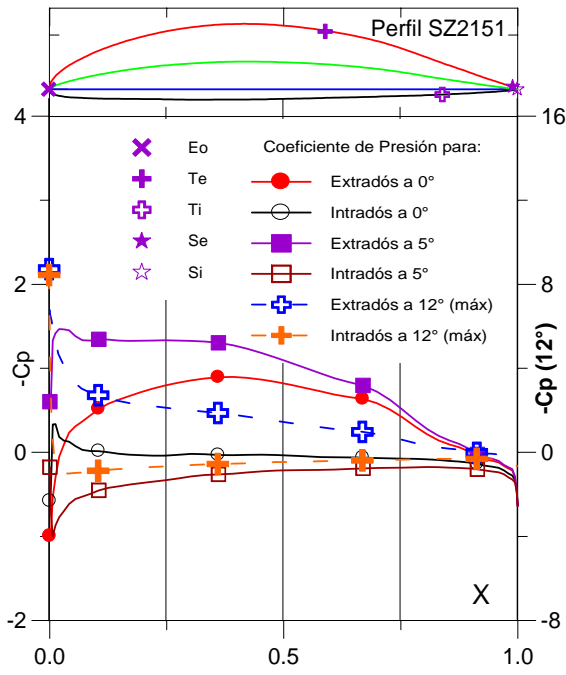


Fig. 5.2.103. (a) C_p (0°, 5° y Máx) vs. X para $Re = 1 E 6$ (leer $C_{p\text{máx}}$ a la derecha) y (b) Curvas Polares del Perfil SZ - 2151.

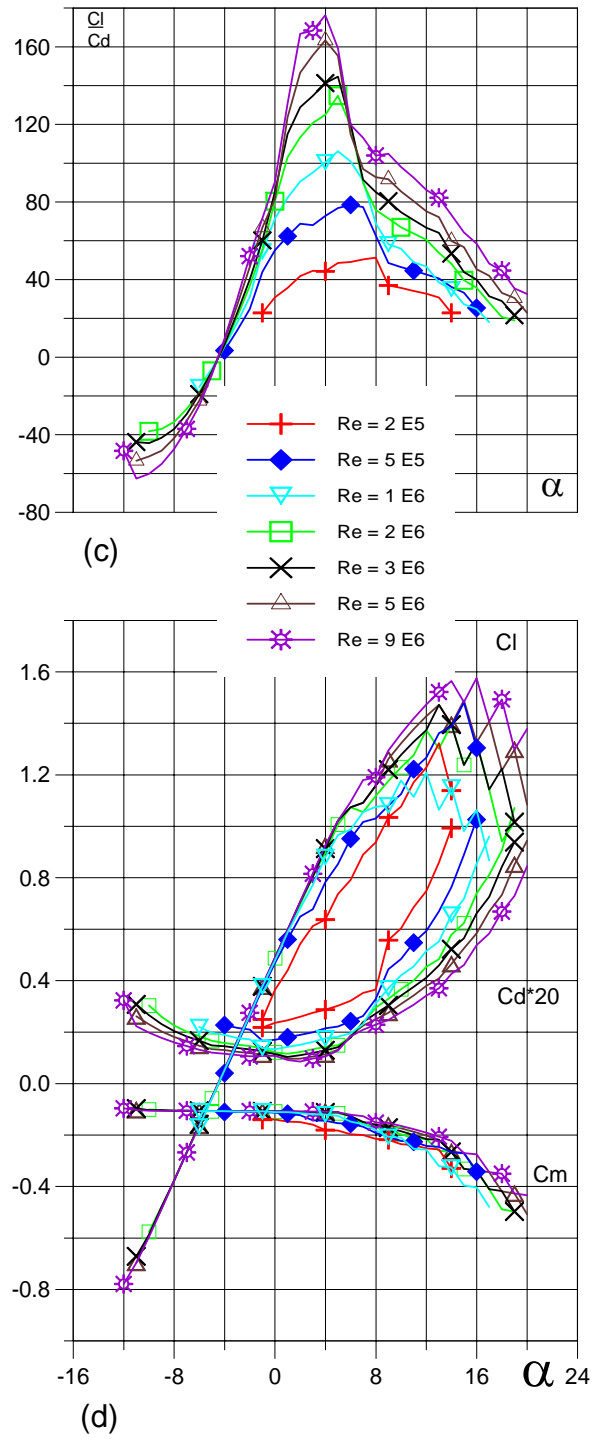


Fig. 5.2.104. (c) Curvas de Cl/Cd y (d) Cl , Cd , Cm vs. Ángulo de ataque del Perfil SZ - 2151.

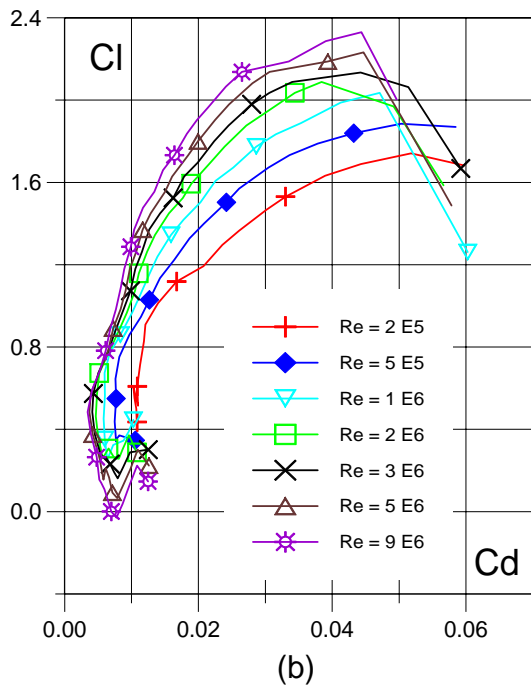
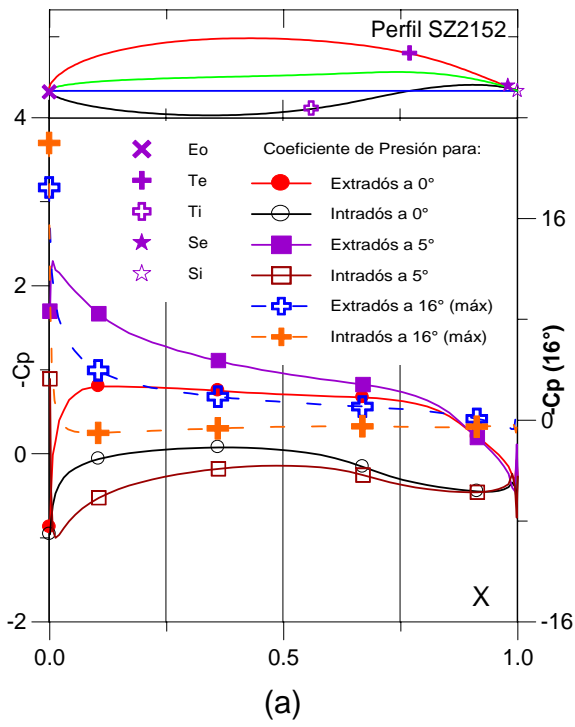


Fig. 5.2.105. (a) C_p (0° , 5° y Máx) vs. X para $Re = 1 E 6$ (leer $C_{p\text{máx}}$ a la derecha) y (b) Curvas Polares del Perfil SZ - 2152.

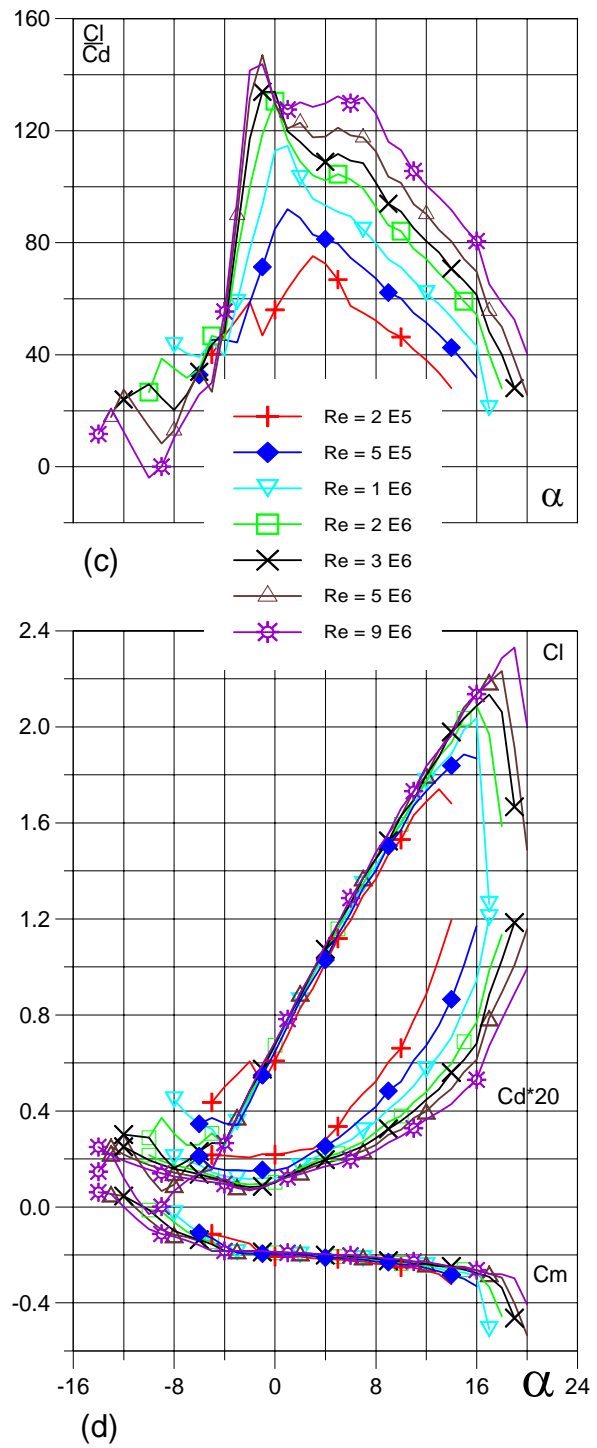


Fig. 5.2.106. (c) Curvas de Cl/Cd y (d) Cl , Cd , C_m vs. Ángulo de ataque del Perfil SZ - 2152.

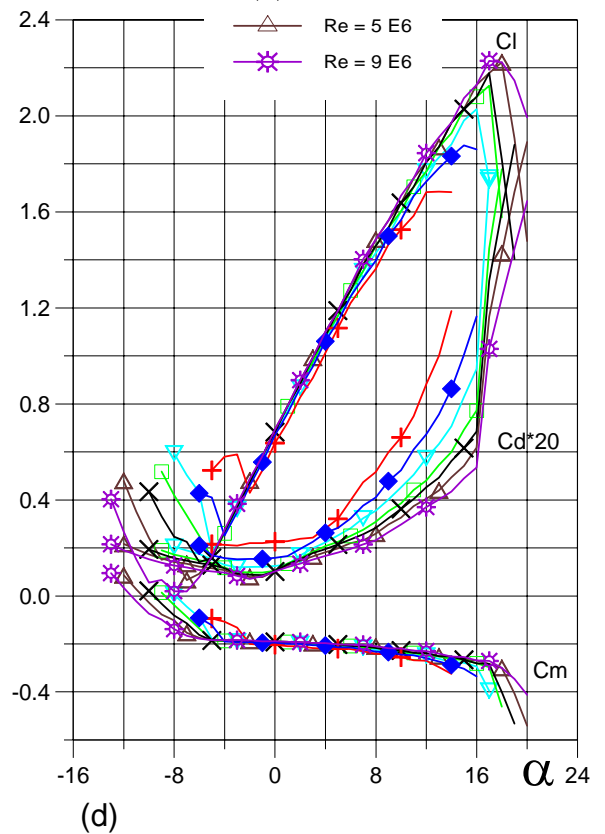
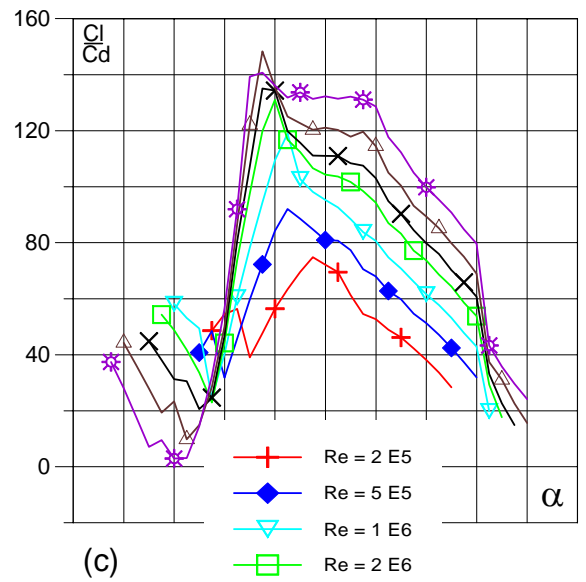
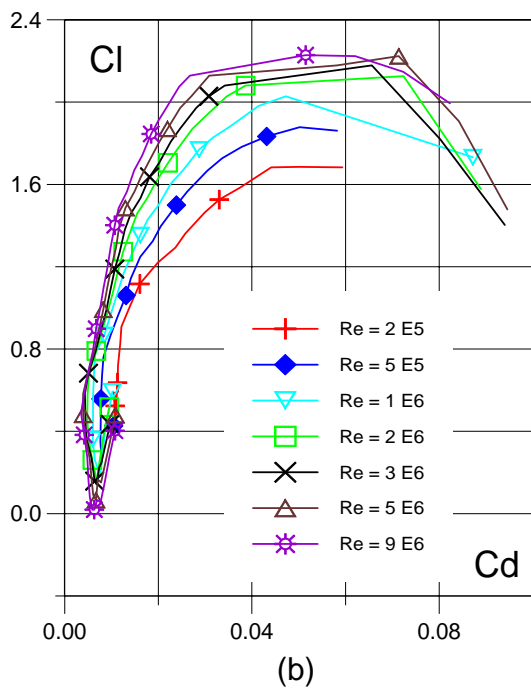
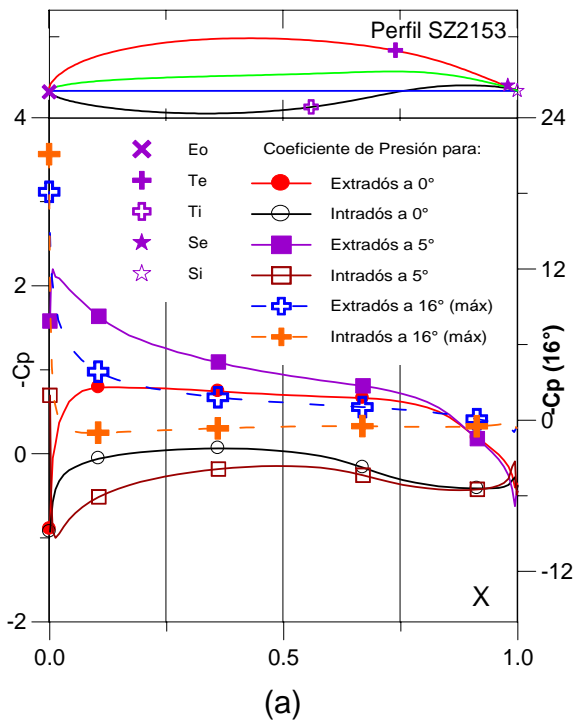


Fig. 5.2.107. (a) C_p (0° , 5° y Máx) vs. X para $Re = 1 E 6$ (leer $C_{p\text{máx}}$ a la derecha) y (b) Curvas Polares del Perfil SZ - 2153.

Fig. 5.2.108. (c) Curvas de Cl/Cd y (d) Cl , Cd , C_m vs. Ángulo de ataque del Perfil SZ - 2153.

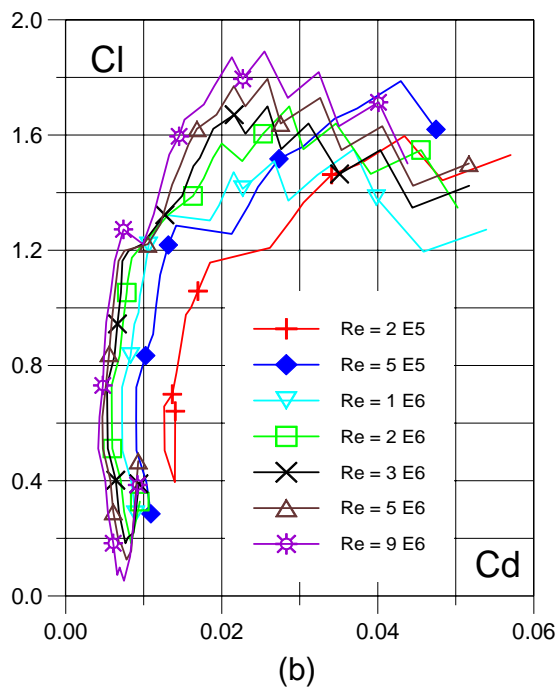
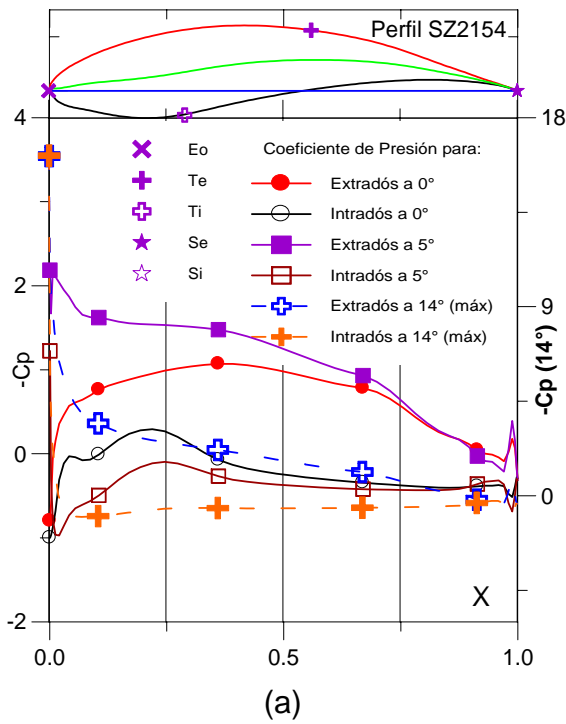


Fig. 5.2.109. (a) C_p (0° , 5° y Máx) vs. X para $Re = 1 E 6$ (leer $C_{p\text{máx}}$ a la derecha) y (b) Curvas Polares del Perfil SZ - 2154.

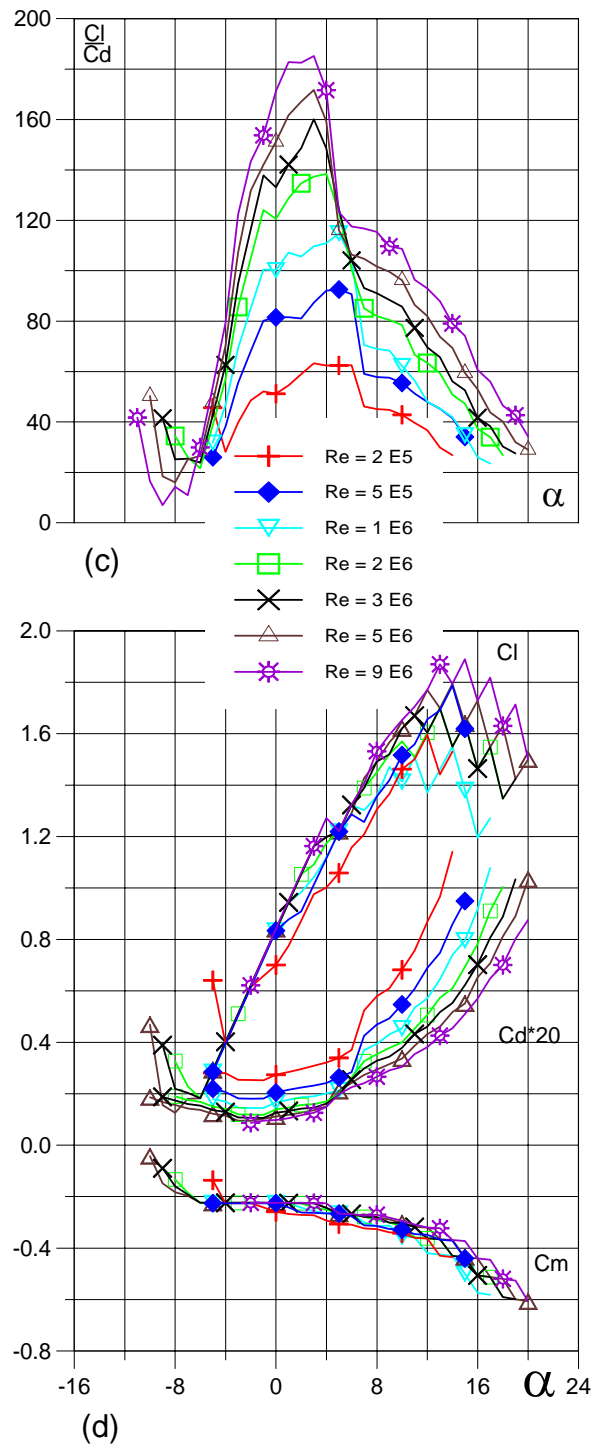


Fig. 5.2.110. (c) Curvas de Cl/Cd y (d) Cl , Cd , Cm vs. Ángulo de ataque del Perfil SZ - 2154.

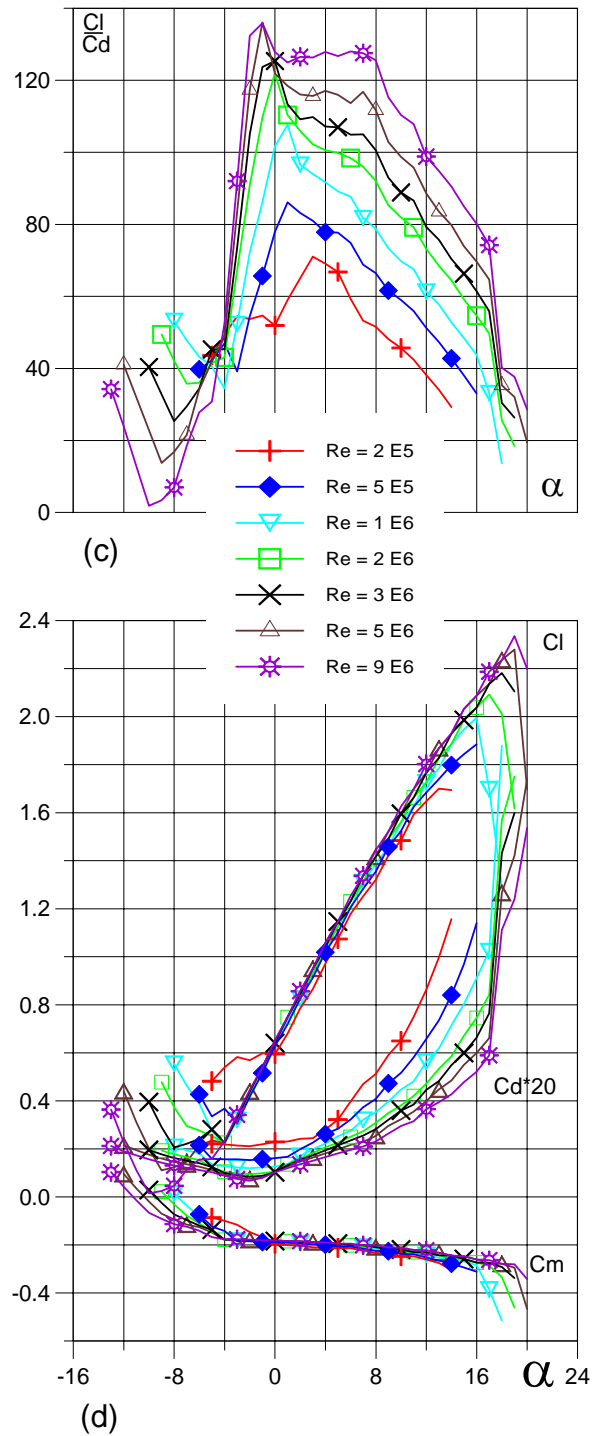
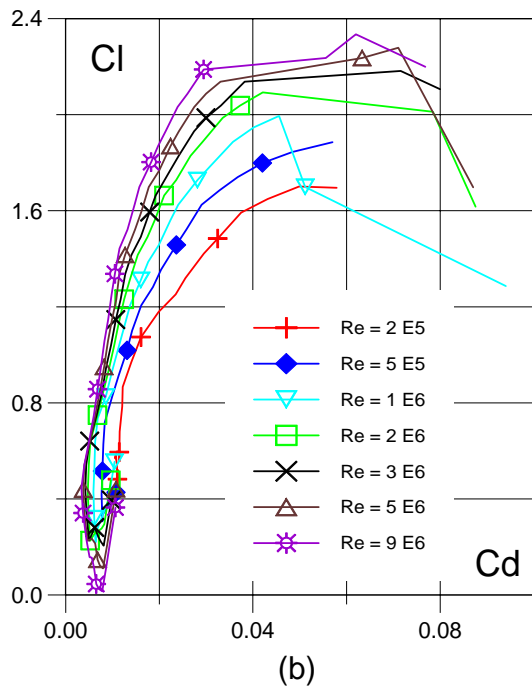
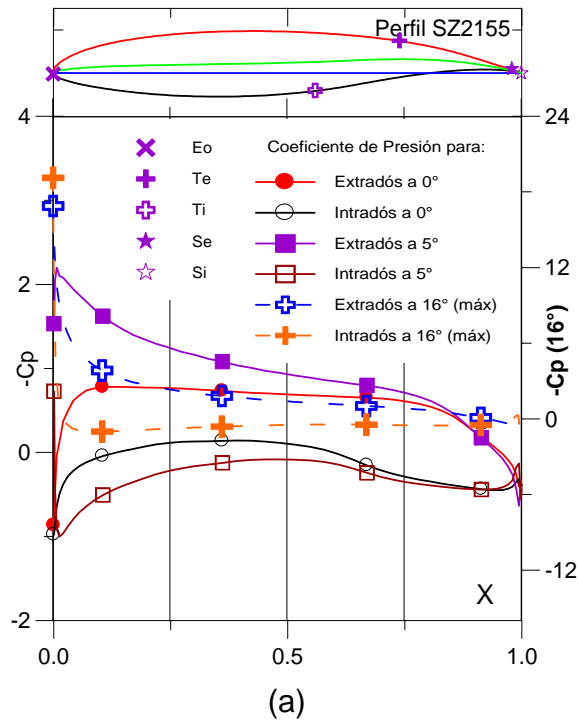


Fig. 5.2.111. (a) C_p (0° , 5° y Máx) vs. X para $Re = 1 E 6$ (leer $C_{p\text{máx}}$ a la derecha) y (b) Curvas Polares del Perfil SZ - 2155.

Fig. 5.2.112. (c) Curvas de Cl/C_d y (d) Cl , C_d , C_m vs. Ángulo de ataque del Perfil SZ - 2155.

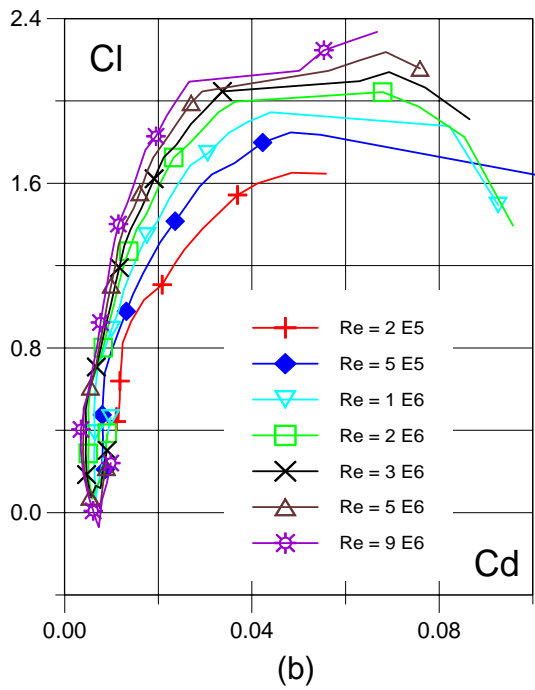
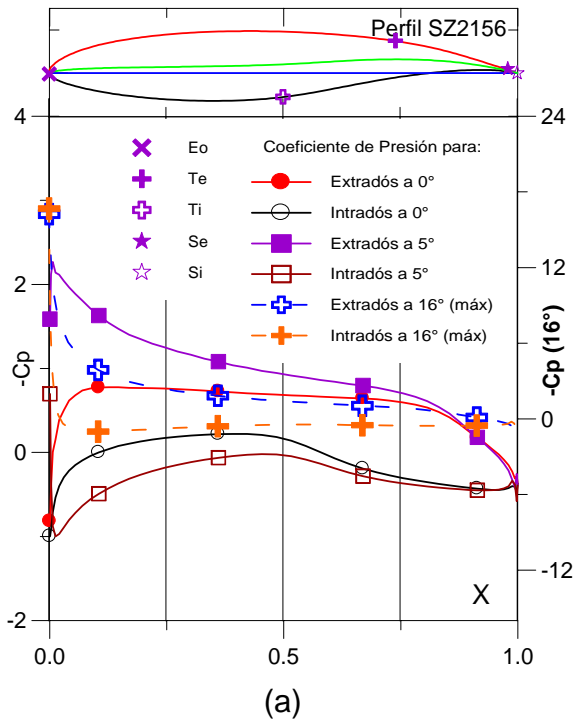


Fig. 5.2.113. (a) C_p (0° , 5° y Máx) vs. X para $Re = 1 E 6$ (leer $C_{p\text{máx}}$ a la derecha) y (b) Curvas Polares del Perfil SZ - 2156.

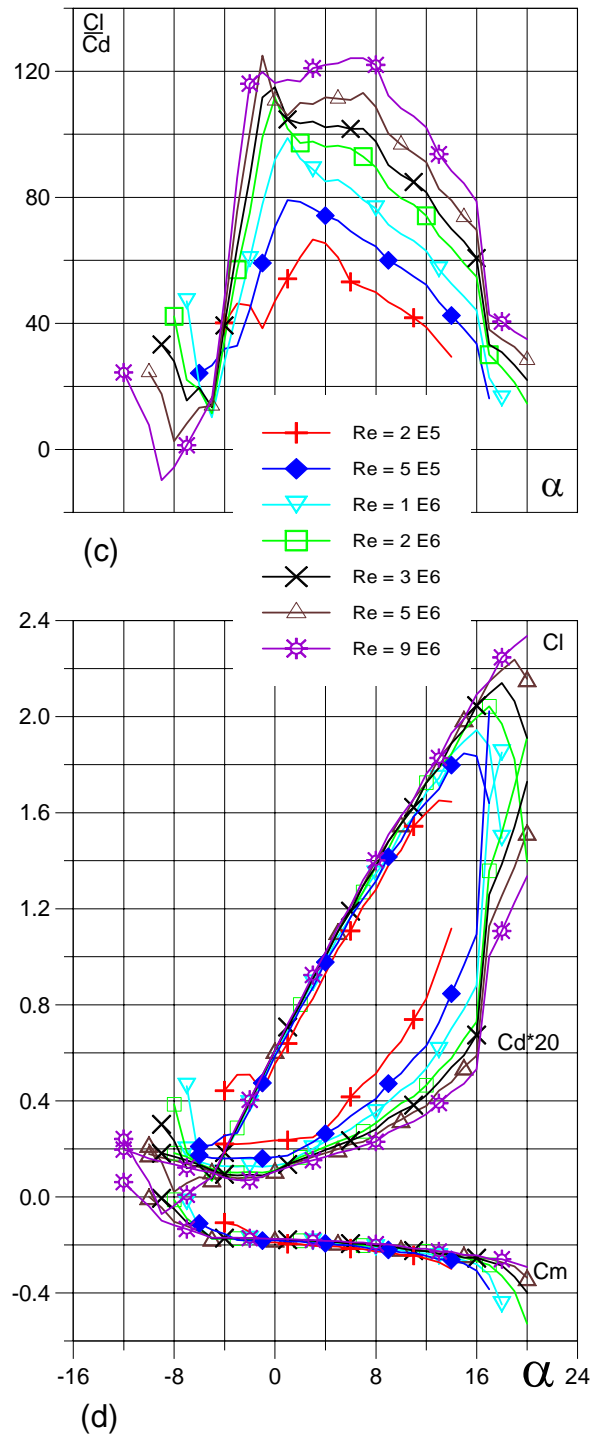
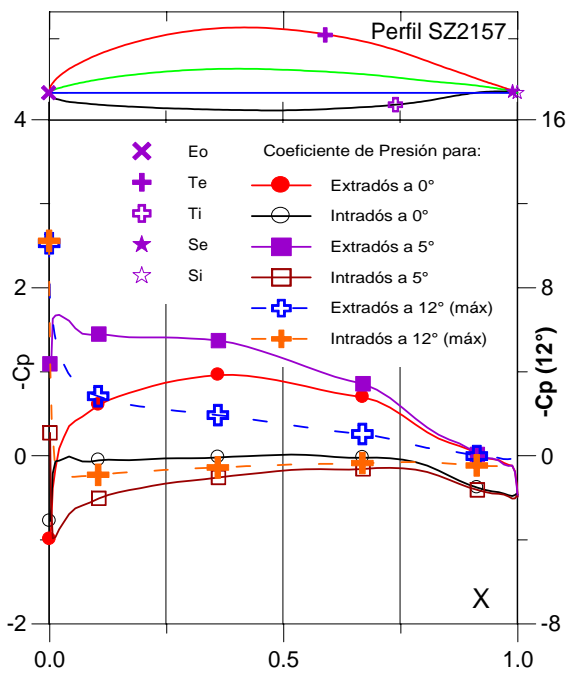
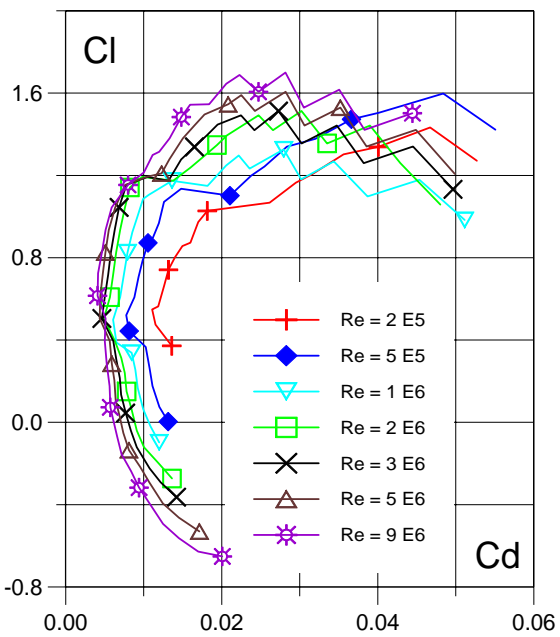


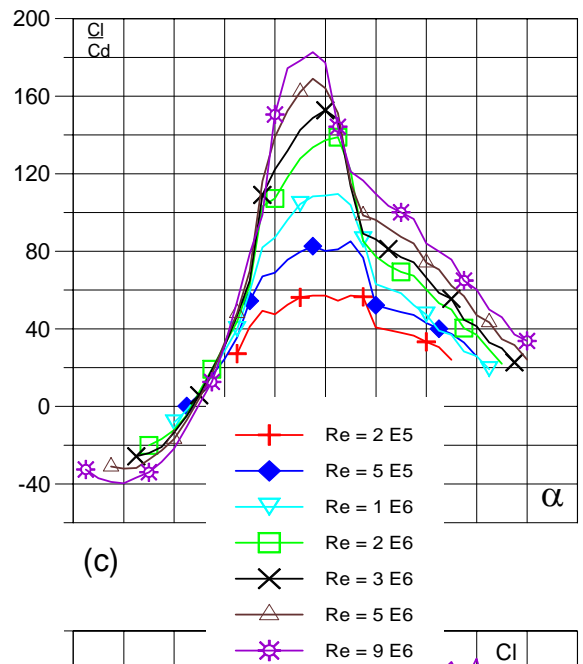
Fig. 5.2.114. (c) Curvas de Cl/Cd y (d) Cl , Cd , C_m vs. Ángulo de ataque del Perfil SZ - 2156.



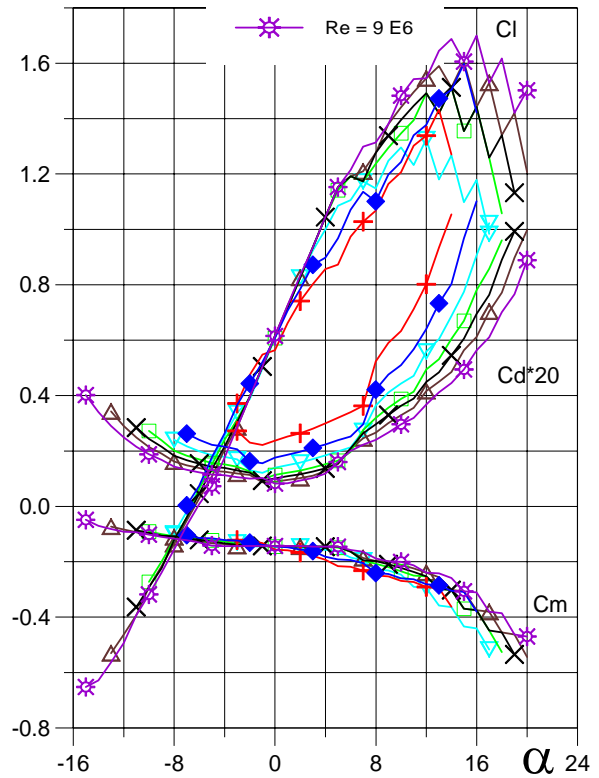
(a)



(b)



(c)



(d)

Fig. 5.2.115. (a) Cp (0°, 5° y Máx) vs. X para Re = 1 E 6 (leer Cpmáx a la derecha) y (b) Curvas Polares del Perfil SZ - 2157.

Fig. 5.2.116. (c) Curvas de Cl/Cd y (d) Cl, Cd, Cm vs. Ángulo de ataque del Perfil SZ - 2157.

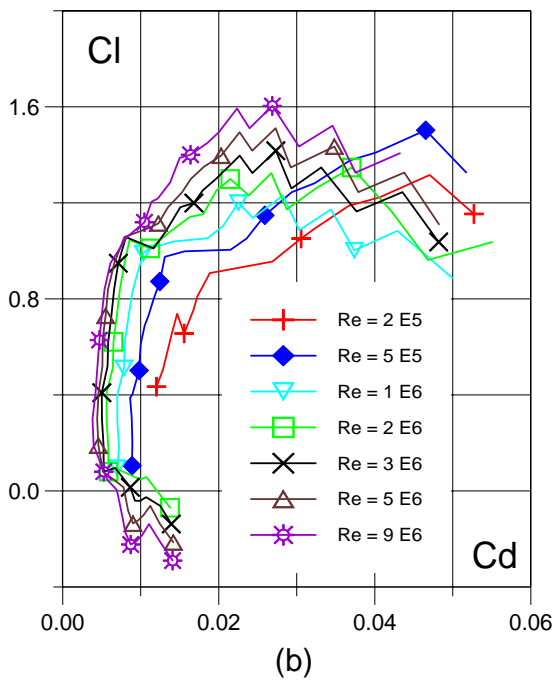
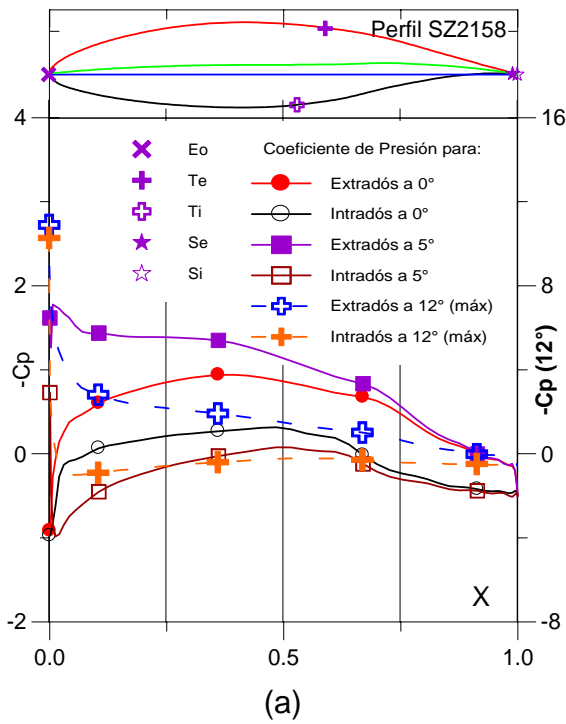


Fig. 5.2.117. (a) C_p (0° , 5° y Máx) vs. X para $Re = 1 E 6$ (leer $C_{p\text{máx}}$ a la derecha) y (b) Curvas Polares del Perfil SZ - 2158.

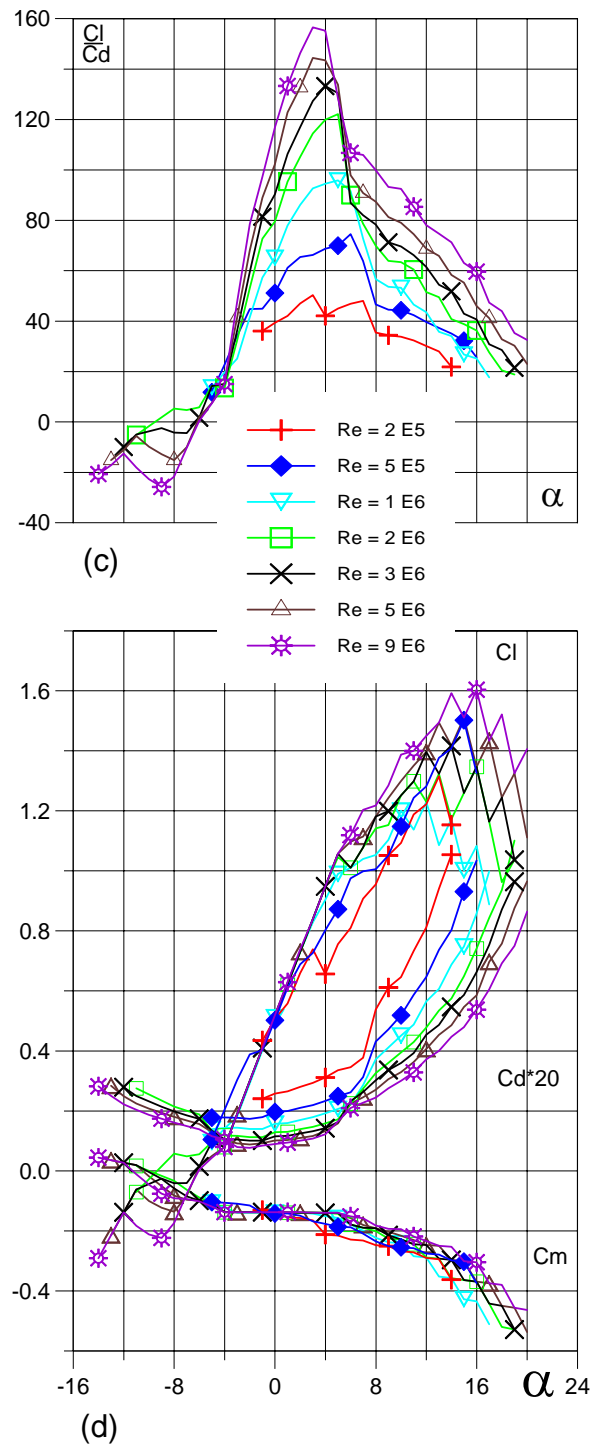


Fig. 5.2.118. (c) Curvas de Cl/Cd y (d) Cl , Cd , C_m vs. Ángulo de ataque del Perfil SZ - 2158.

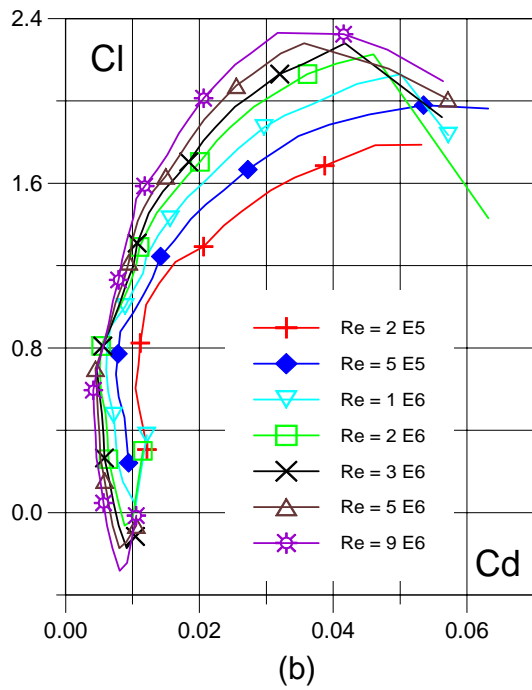
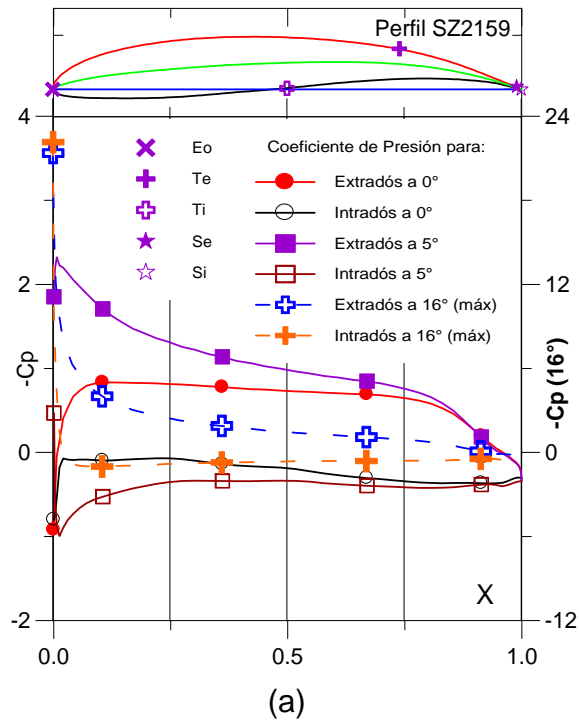


Fig. 5.2.119. (a) C_p (0° , 5° y Máx) vs. X para $Re = 1 E 6$ (leer $C_{p\text{máx}}$ a la derecha) y (b) Curvas Polares del Perfil SZ - 2159.

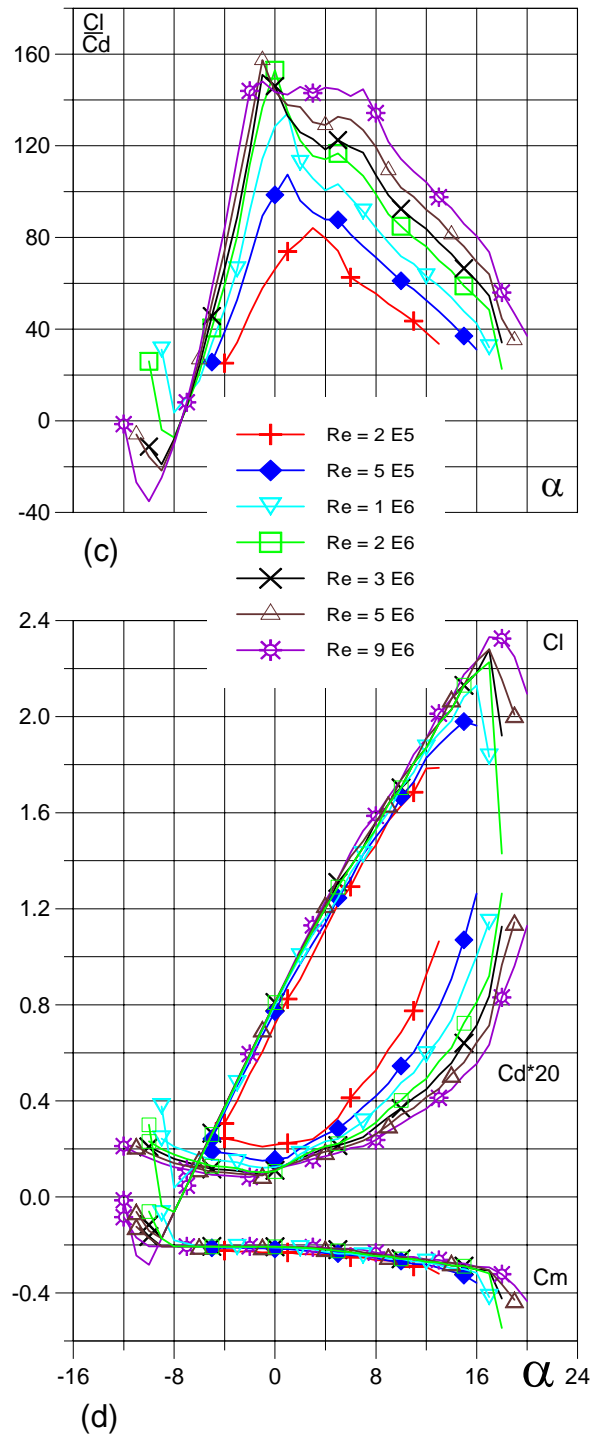


Fig. 5.2.120. (c) Curvas de Cl/Cd y (d) Cl , Cd , C_m vs. Ángulo de ataque del Perfil SZ - 2159.

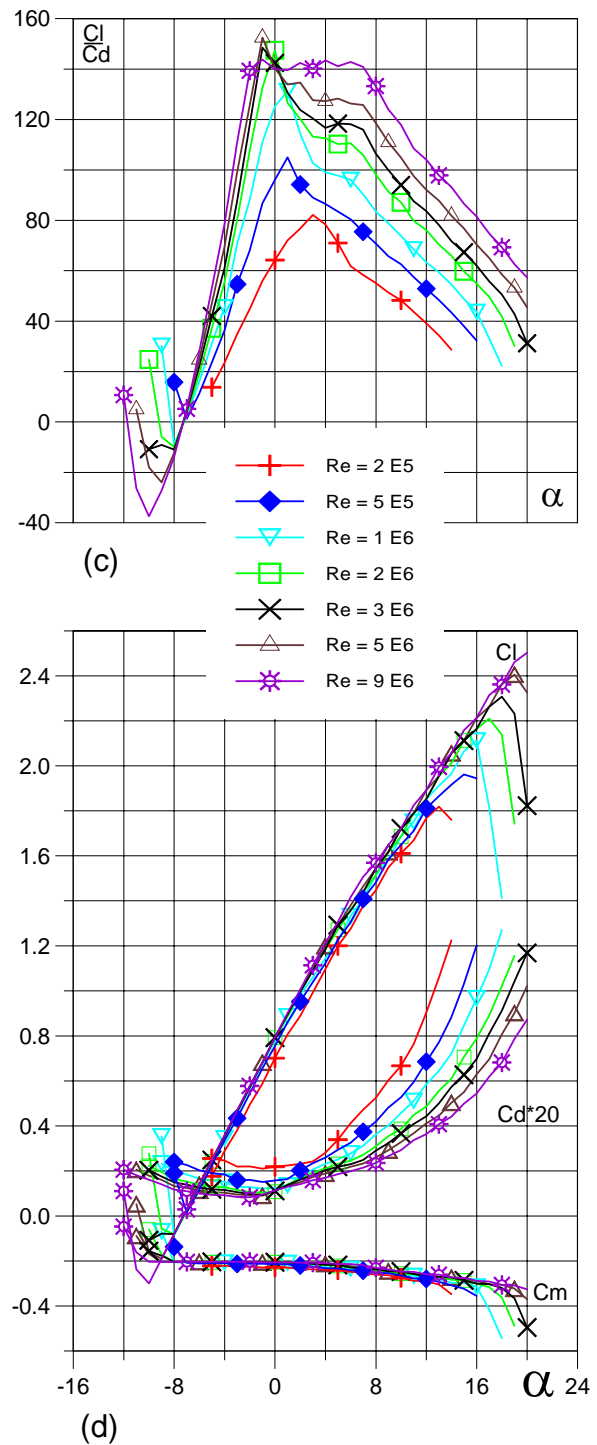
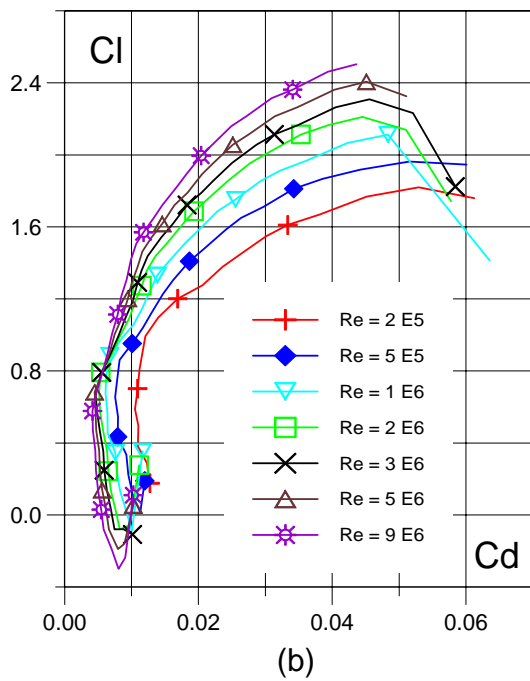
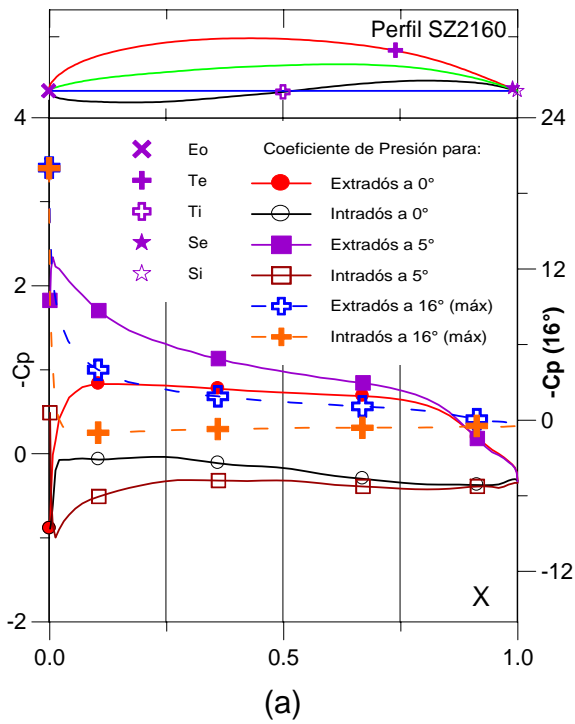


Fig. 5.2.121. (a) Cp (0°, 5° y Máx) vs. X para Re = 1 E 6 (leer Cpmáx a la derecha) y (b) Curvas Polares del Perfil SZ - 2160.

Fig. 5.2.122. (c) Curvas de Cl/Cd y (d) Cl, Cd, Cm vs. Ángulo de ataque del Perfil SZ - 2160.

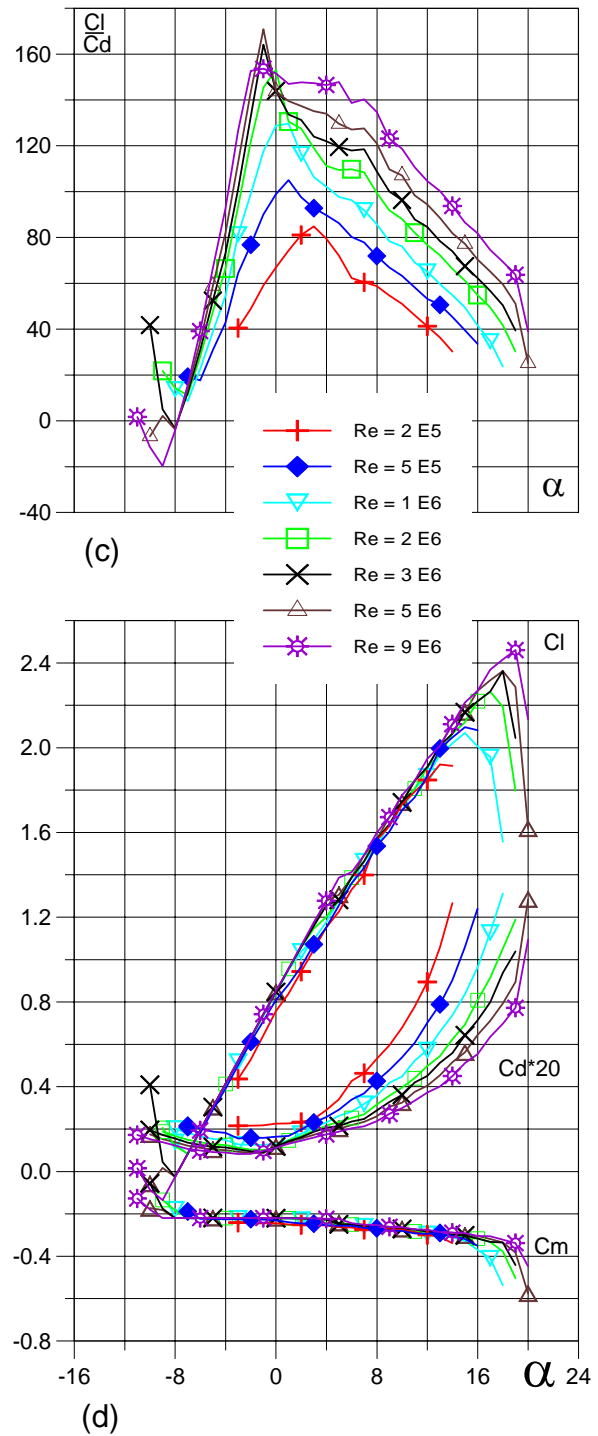
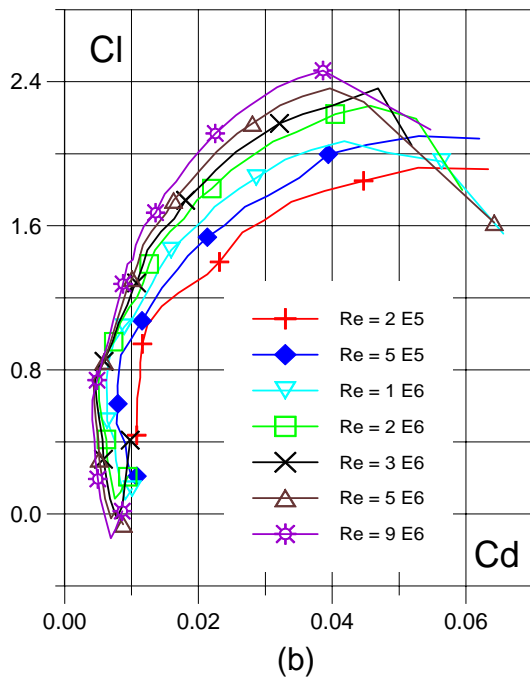
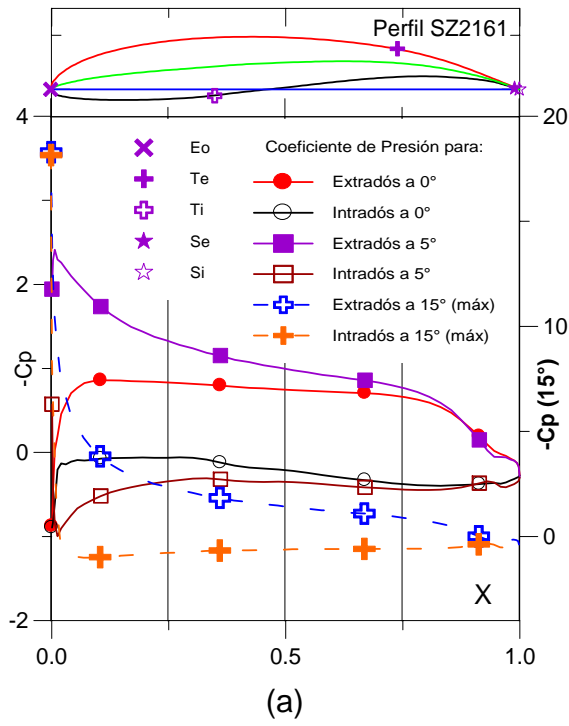


Fig. 5.2.123. (a) C_p (0° , 5° y Máx) vs. X para $Re = 1 E 6$ (leer $C_{p\text{máx}}$ a la derecha) y (b) Curvas Polares del Perfil SZ - 2161.

Fig. 5.2.124. (c) Curvas de Cl/Cd y (d) Cl , Cd , C_m vs. Ángulo de ataque del Perfil SZ - 2161.

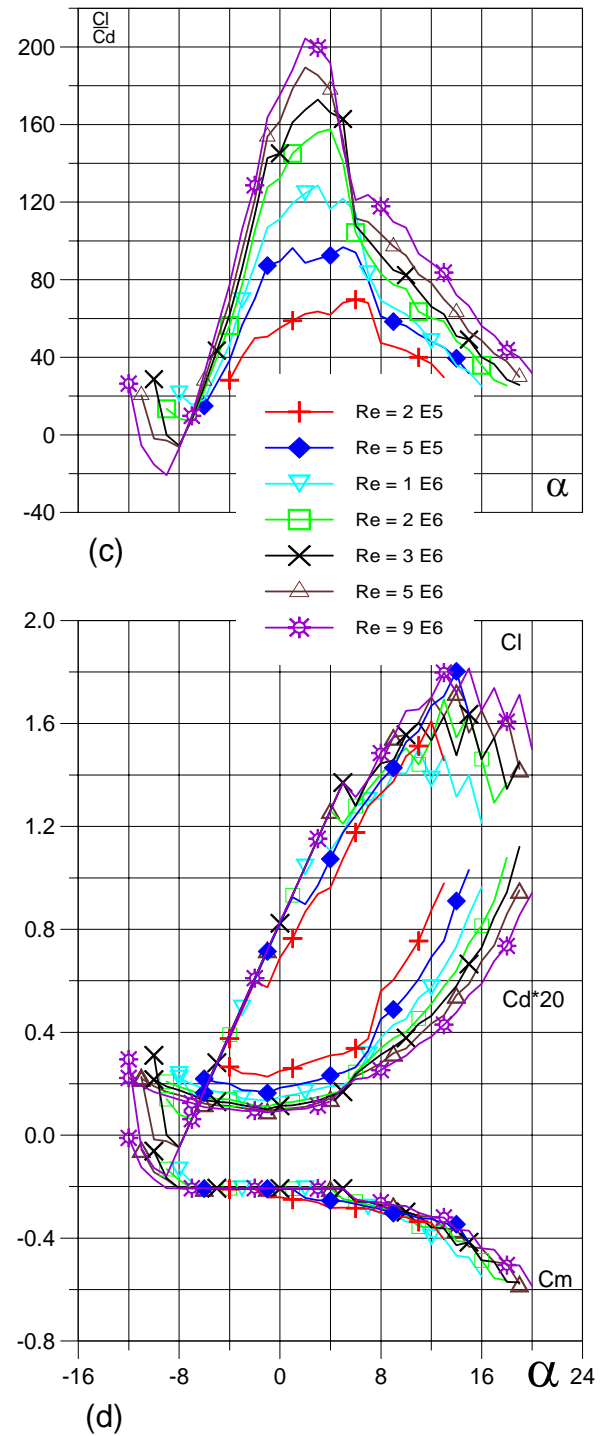
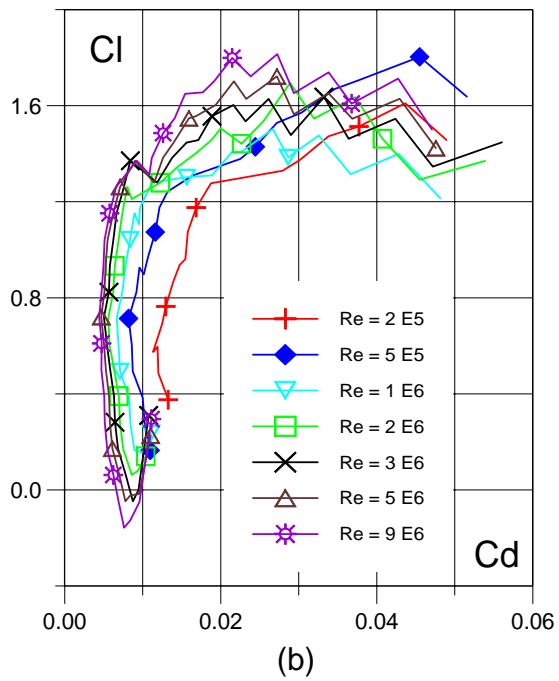
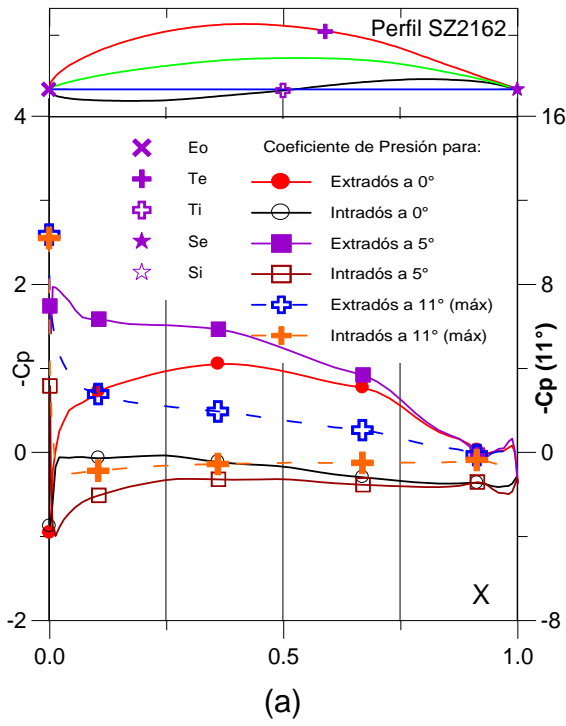


Fig. 5.2.125. (a) C_p (0° , 5° y Máx) vs. X para $Re = 1 E 6$ (leer $C_{p\text{máx}}$ a la derecha) y (b) Curvas Polares del Perfil SZ - 2162.

Fig. 5.2.126. (c) Curvas de Cl/C_d y (d) Cl , C_d , C_m vs. Ángulo de ataque del Perfil SZ - 2162.

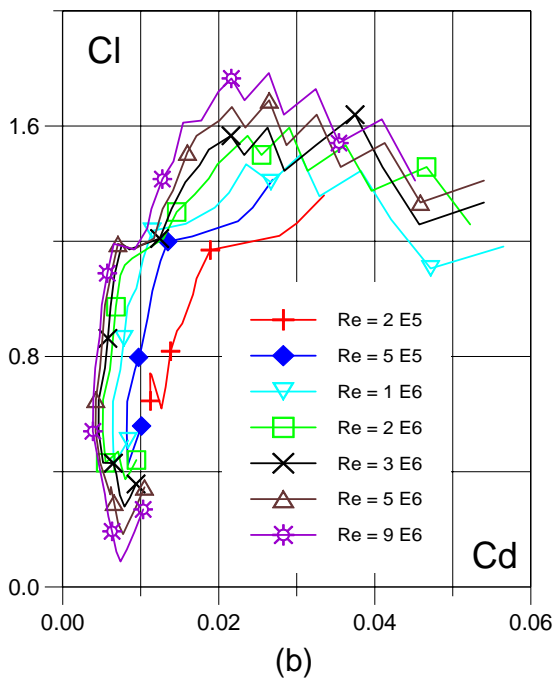
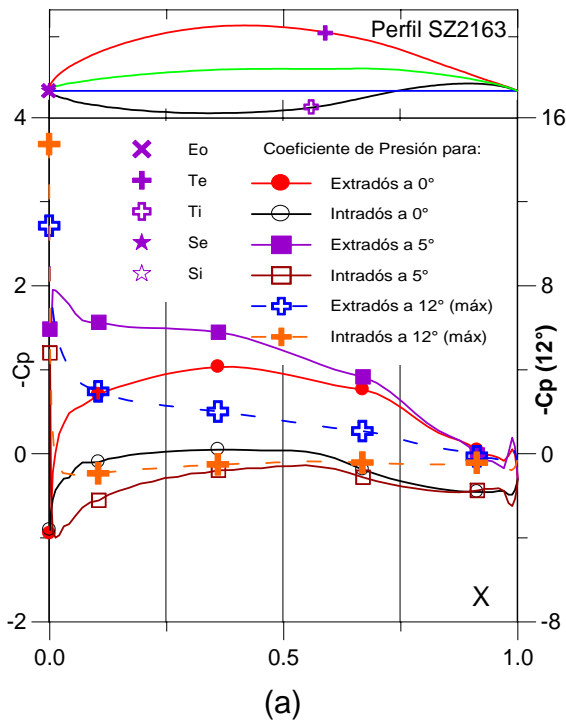


Fig. 5.2.127. (a) C_p (0° , 5° y Máx) vs. X para $Re = 1 E 6$ (leer $C_{p\text{máx}}$ a la derecha) y (b) Curvas Polares del Perfil SZ - 2163.

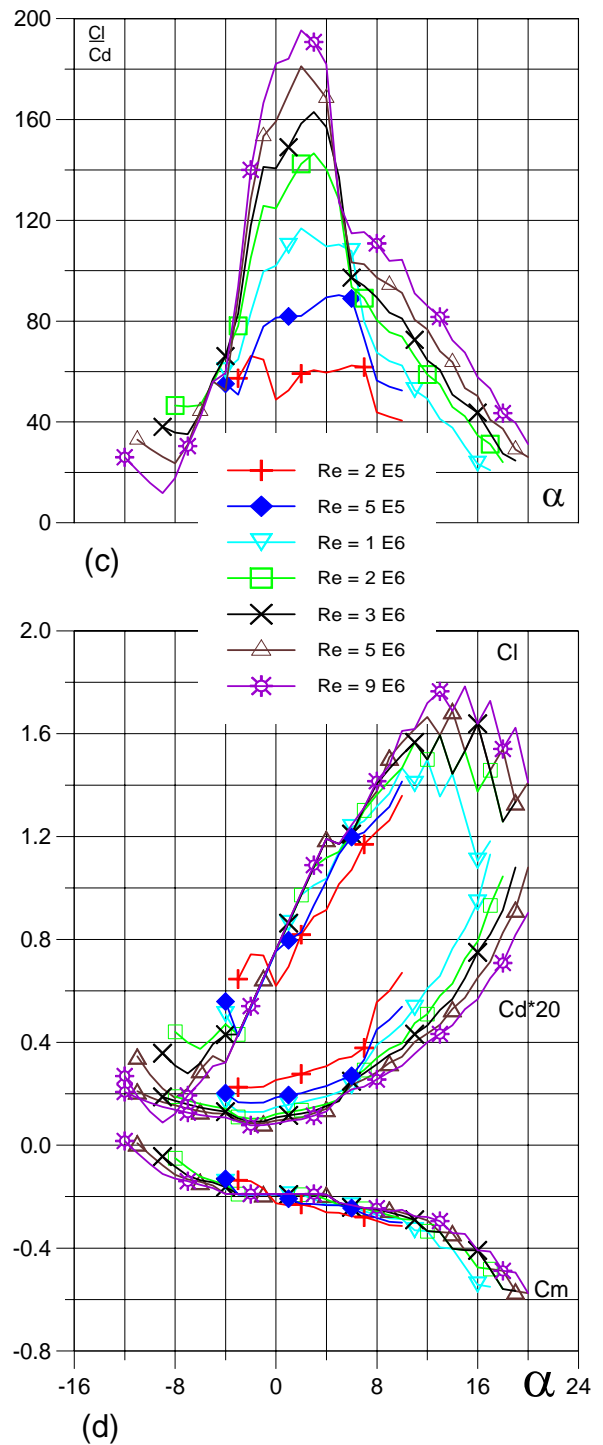


Fig. 5.2.128. (c) Curvas de Cl/Cd y (d) Cl , Cd , C_m vs. Ángulo de ataque del Perfil SZ - 2163.

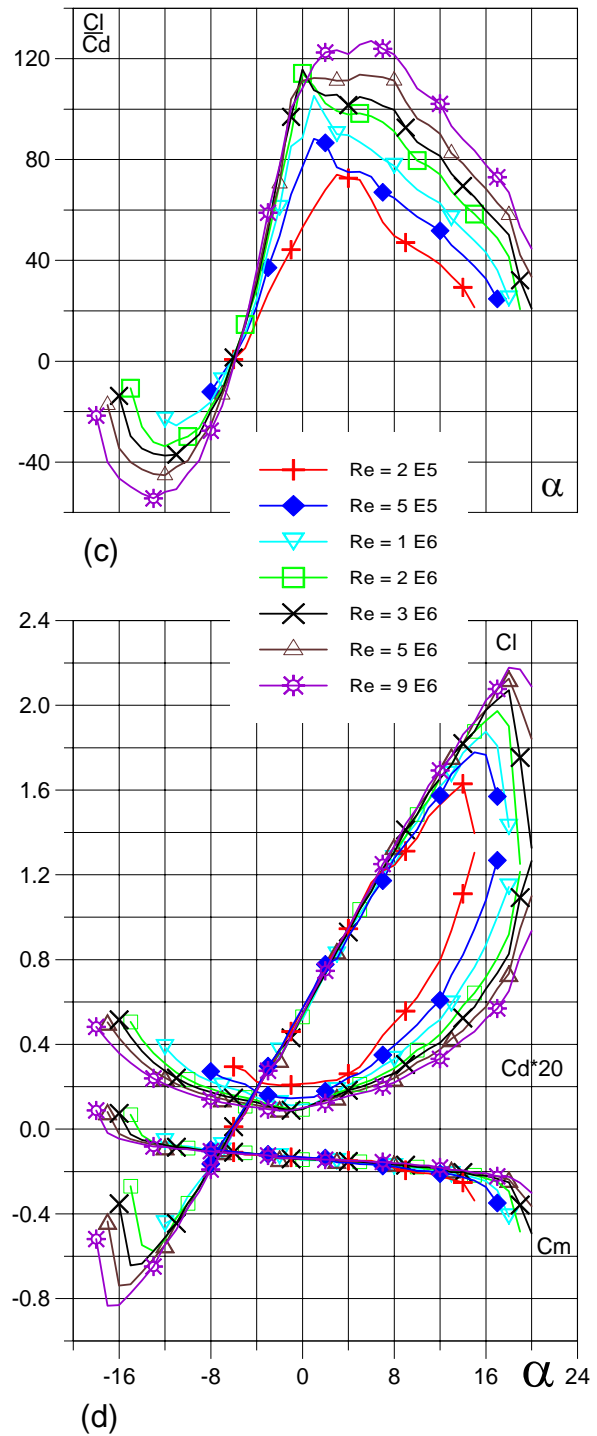
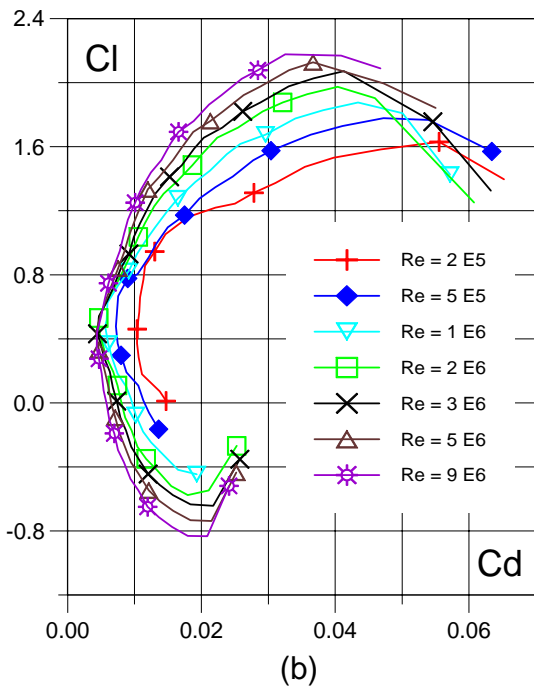
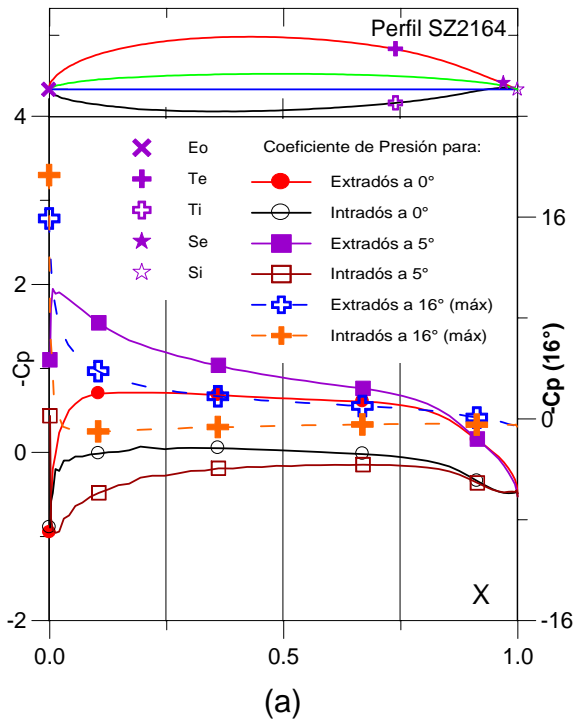


Fig. 5.2.129. (a) C_p (0°, 5° y Máx) vs. X para $Re = 1 E 6$ (leer $C_{p\text{máx}}$ a la derecha) y (b) Curvas Polares del Perfil SZ - 2164.

Fig. 5.2.130. (c) Curvas de Cl/Cd y (d) Cl , Cd , Cm vs. Ángulo de ataque del Perfil SZ - 2164.

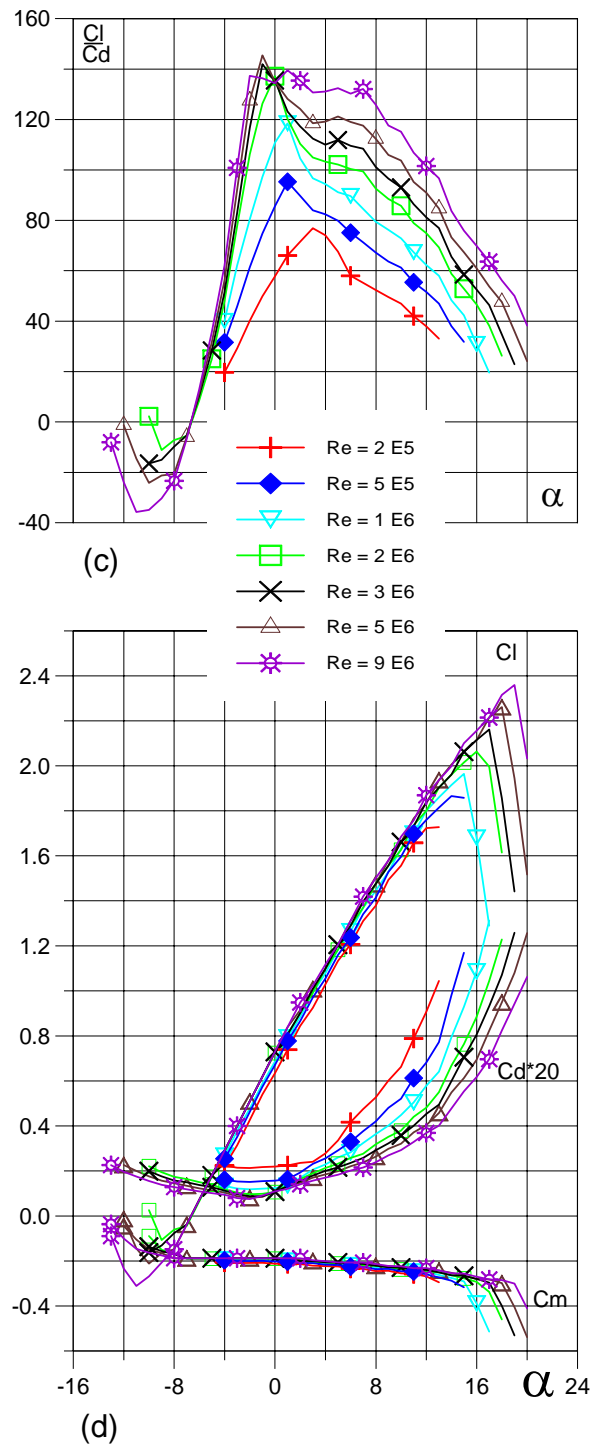
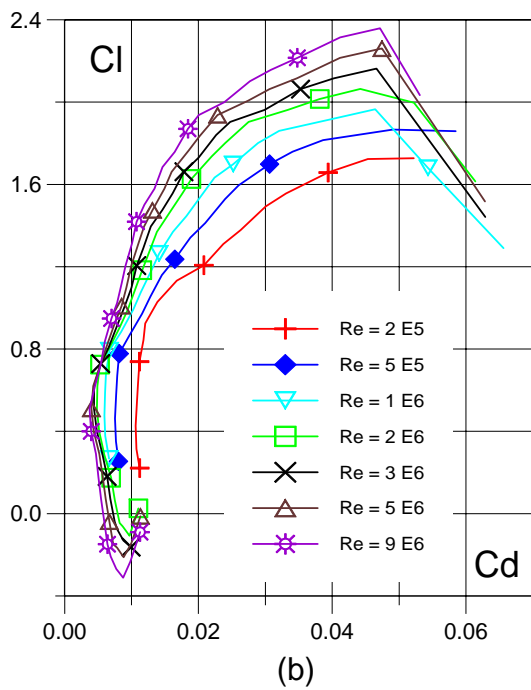
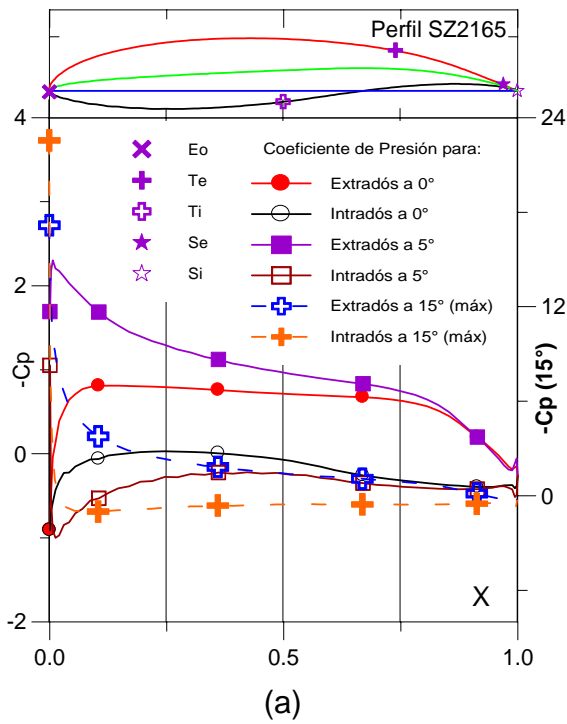
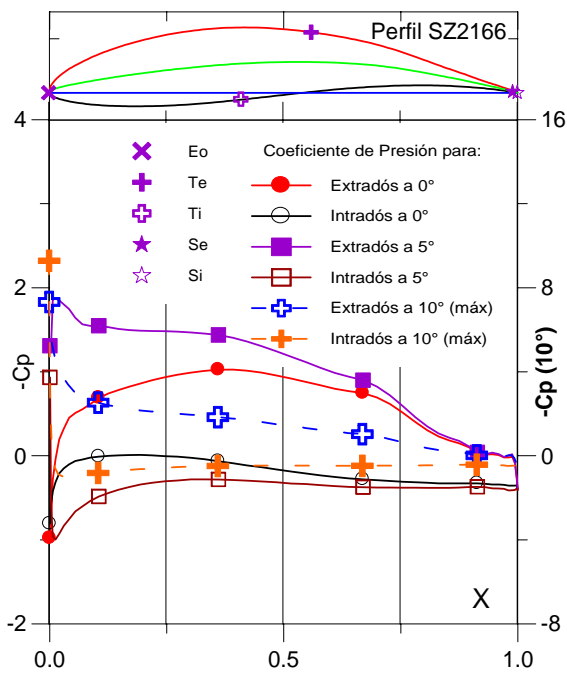
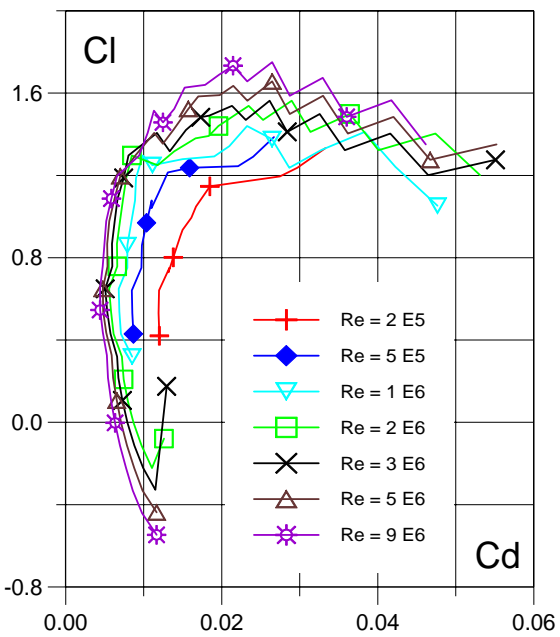


Fig. 5.2.131. (a) C_p (0° , 5° y Máx) vs. X para $Re = 1 E 6$ (leer $C_{p\text{máx}}$ a la derecha) y (b) Curvas Polares del Perfil SZ - 2165.

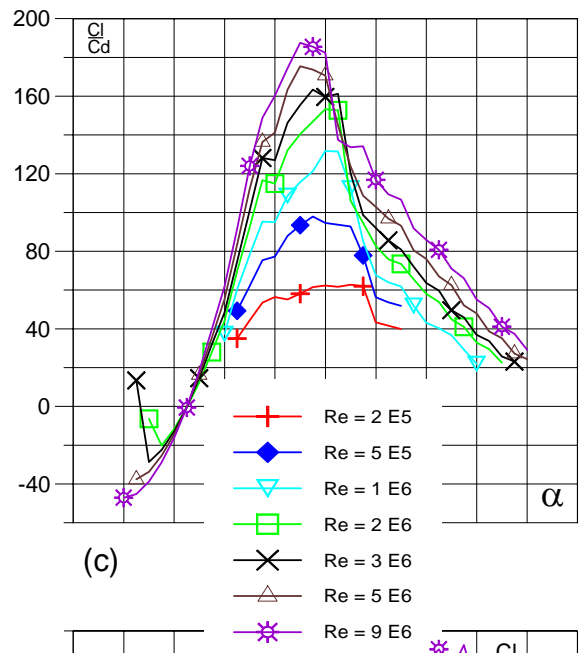
Fig. 5.2.132. (c) Curvas de Cl/Cd y (d) Cl , Cd , C_m vs. Ángulo de ataque del Perfil SZ - 2165.



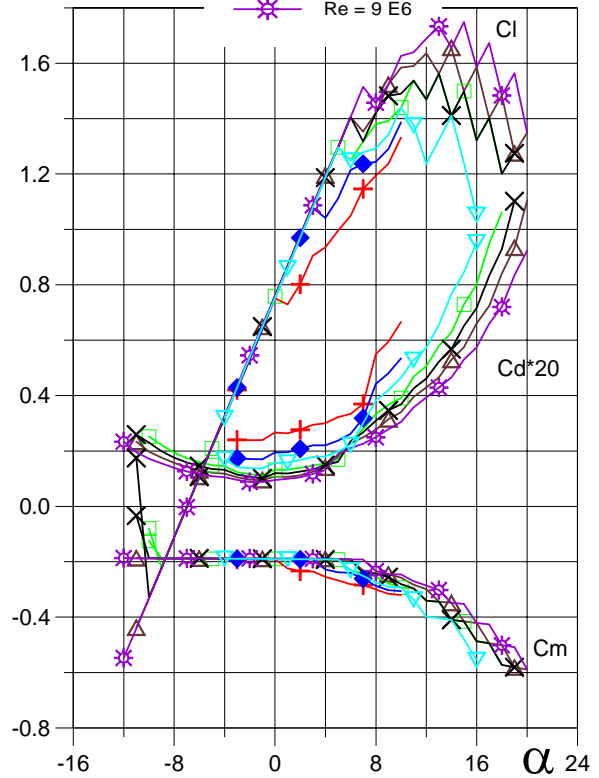
(a)



(b)



(c)



(d)

Fig. 5.2.133. (a) C_p (0° , 5° y Máx) vs. X para $Re = 1 E 6$ (leer $C_{p\text{máx}}$ a la derecha) y (b) Curvas Polares del Perfil SZ - 2166.

Fig. 5.2.134. (c) Curvas de Cl/Cd y (d) Cl , Cd , C_m vs. Ángulo de ataque del Perfil SZ - 2166.

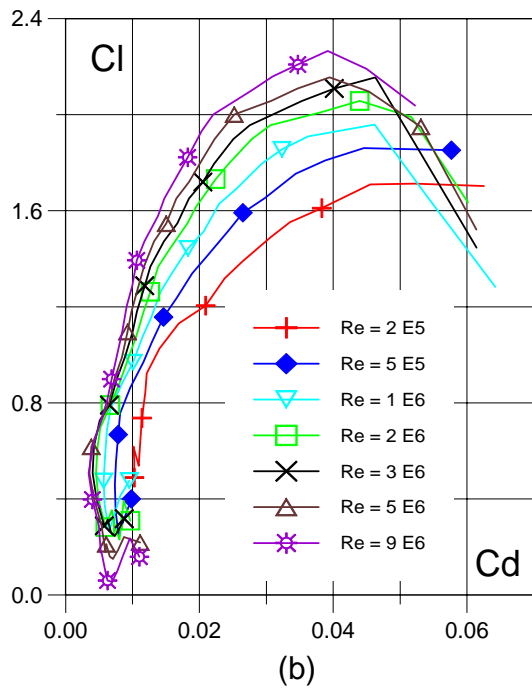
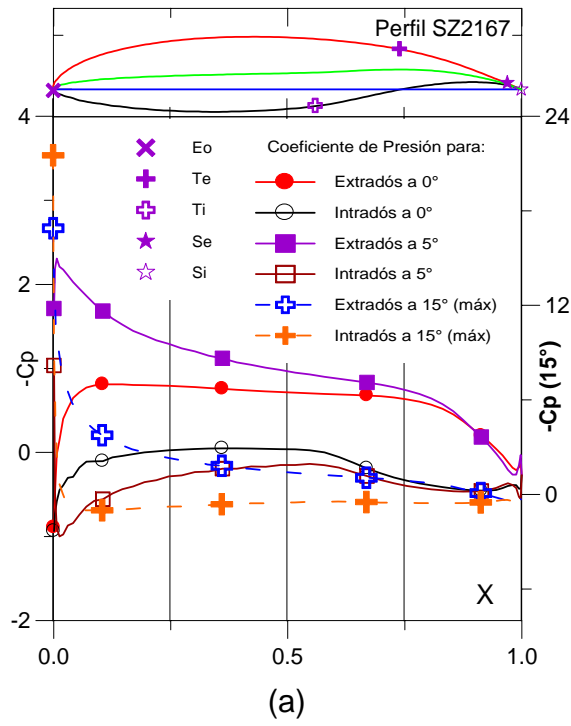


Fig. 5.2.135. (a) C_p (0° , 5° y Máx) vs. X para $Re = 1 E 6$ (leer $C_{p\text{máx}}$ a la derecha) y (b) Curvas Polares del Perfil SZ - 2167.

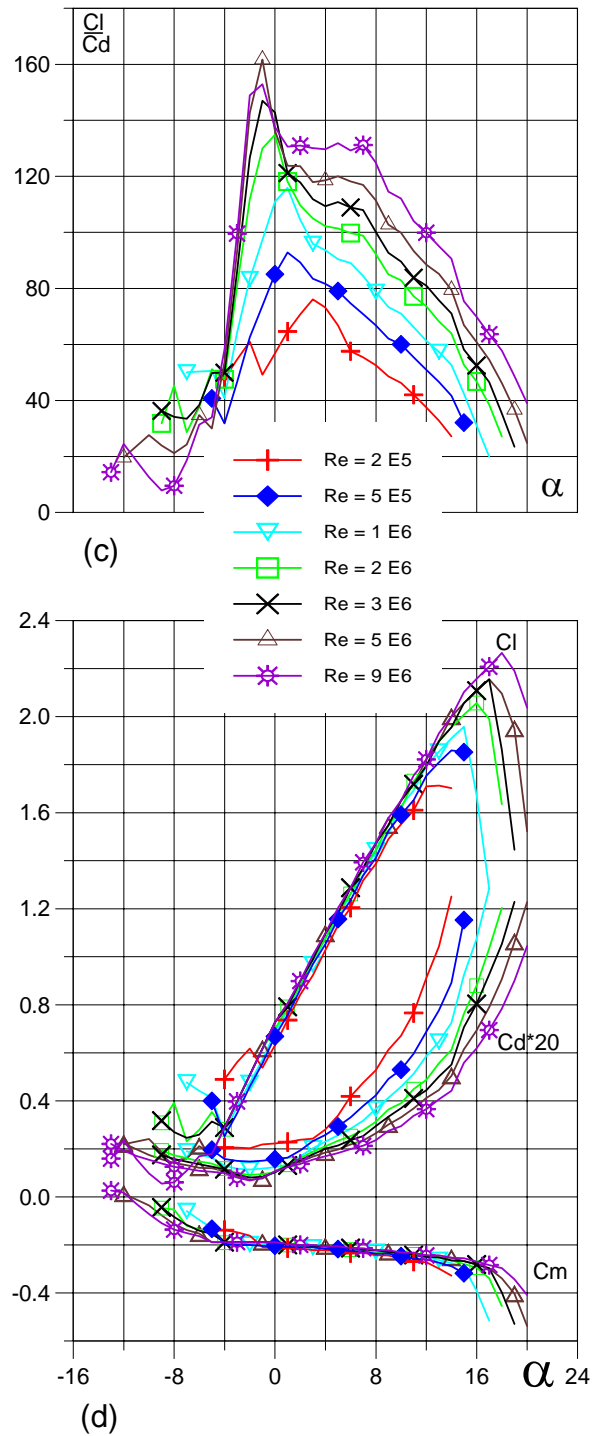


Fig. 5.2.136. (c) Curvas de Cl/Cd y (d) Cl , Cd , C_m vs. Ángulo de ataque del Perfil SZ - 2167.

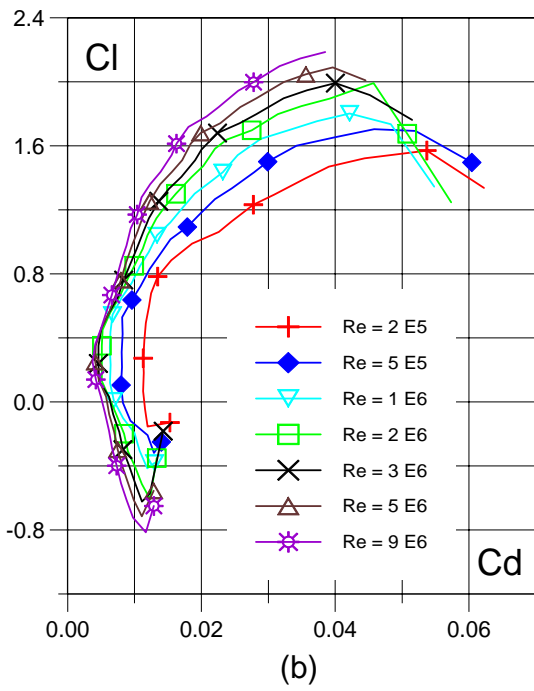
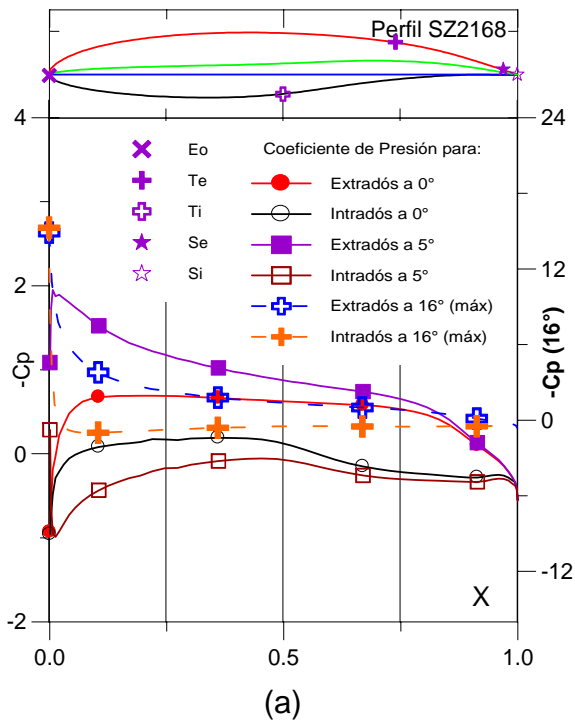


Fig. 5.2.137. (a) C_p (0° , 5° y Máx) vs. X para $Re = 1 E 6$ (leer $C_{p\text{máx}}$ a la derecha) y (b) Curvas Polares del Perfil SZ - 2168.

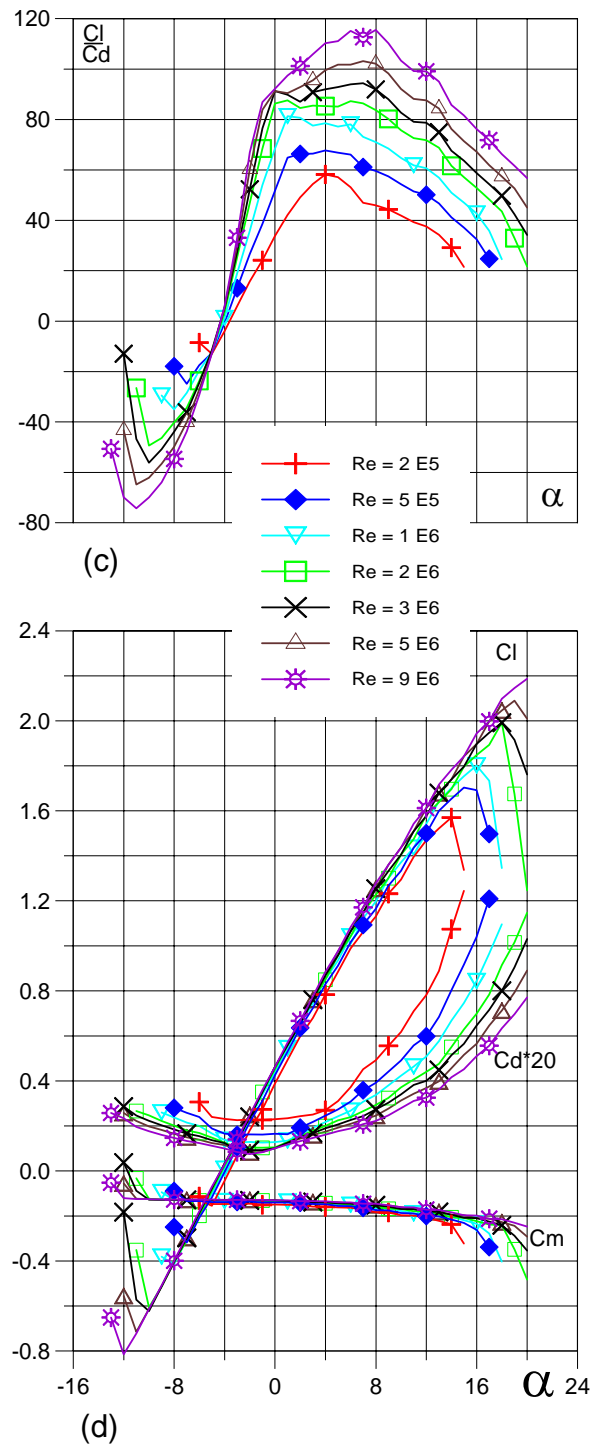


Fig. 5.2.138. (c) Curvas de Cl/Cd y (d) Cl , Cd , C_m vs. Ángulo de ataque del Perfil SZ - 2168.

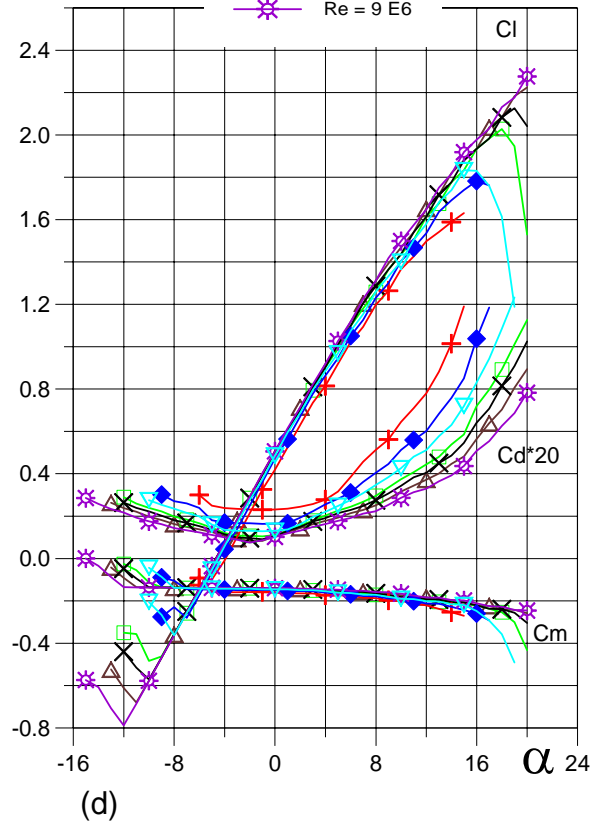
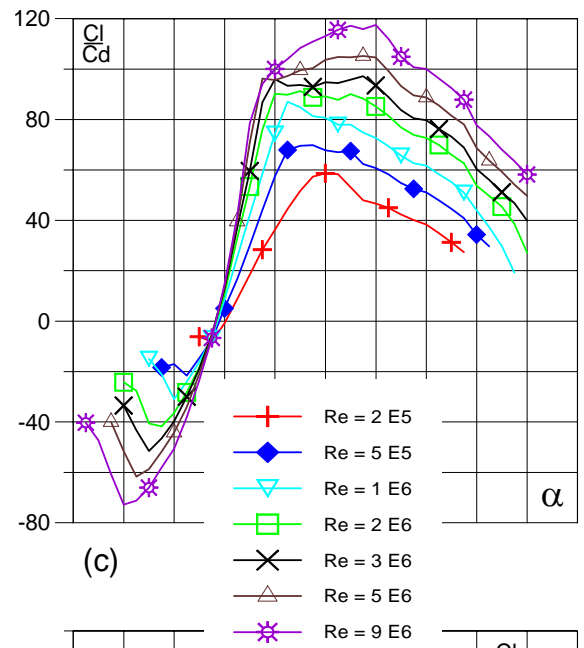
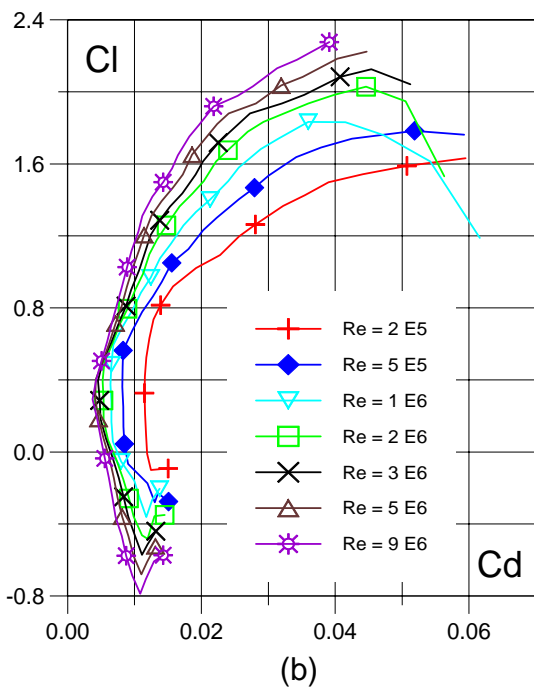
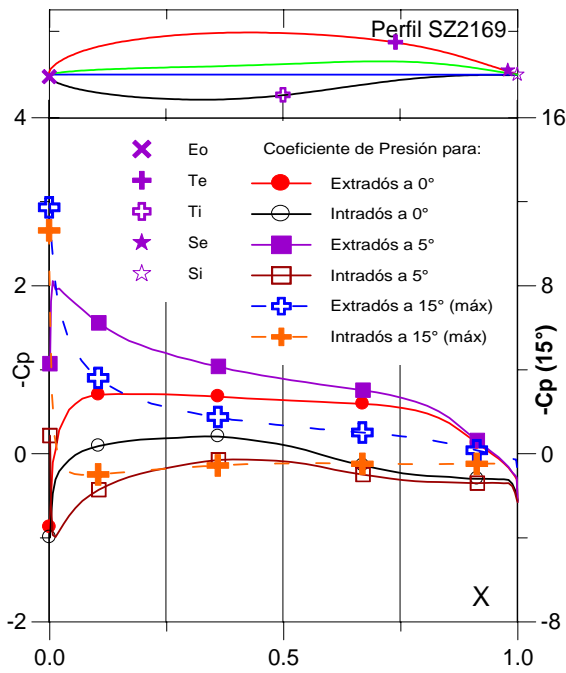


Fig. 5.2.139. (a) Cp (0°, 5° y Máx) vs. X para Re = 1 E 6 (leer Cpmáx a la derecha) y (b) Curvas Polares del Perfil SZ - 2169.

Fig. 5.2.140. (c) Curvas de Cl/Cd y (d) Cl, Cd, Cm vs. Ángulo de ataque del Perfil SZ - 2169.

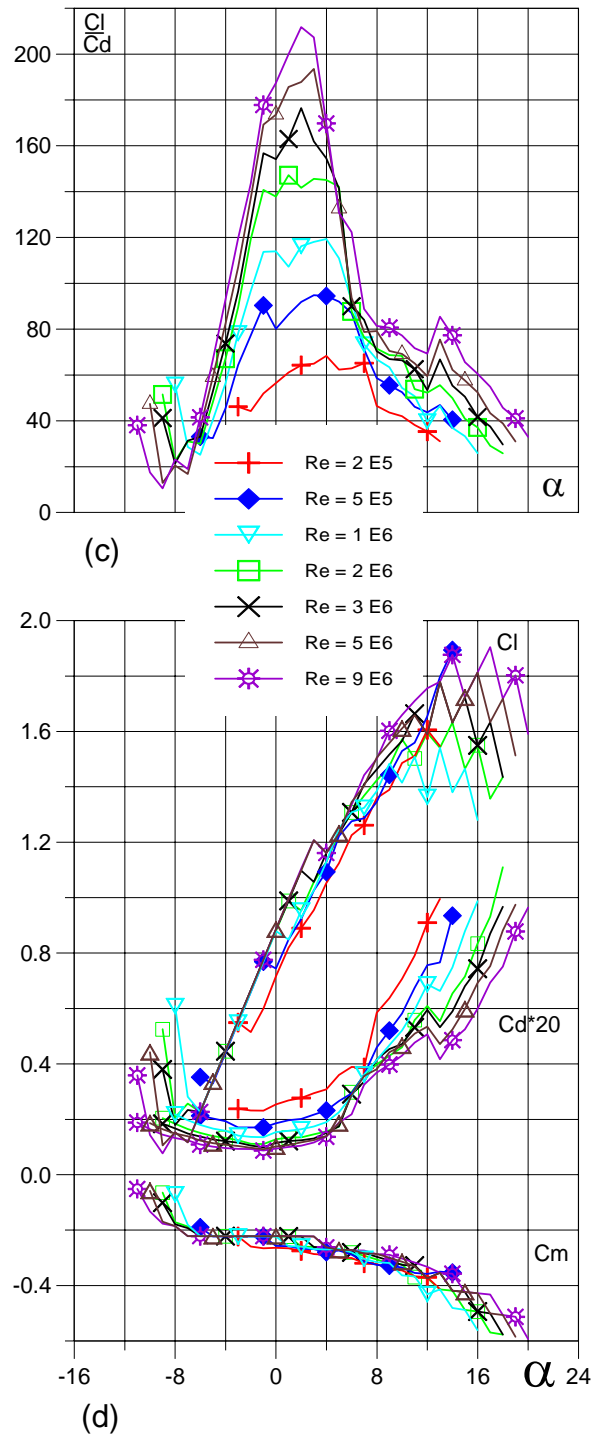
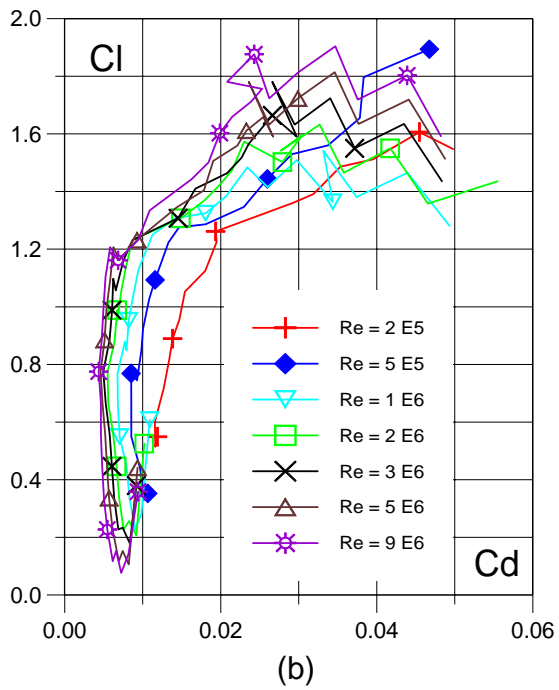
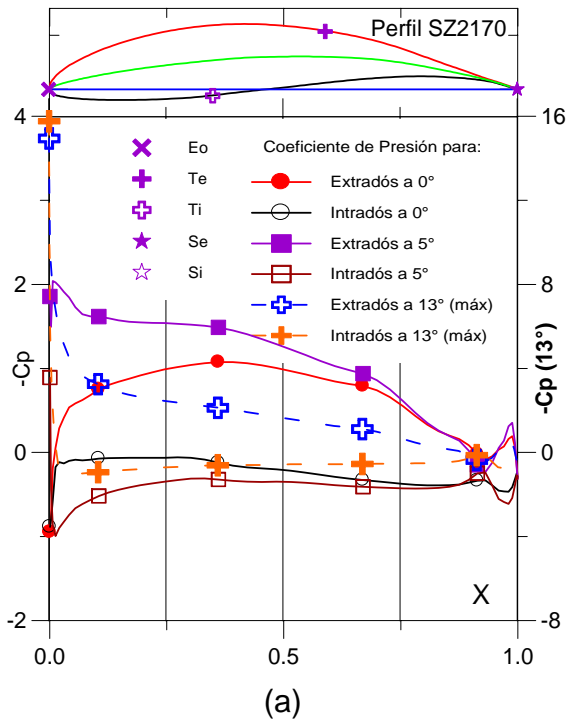


Fig. 5.2.141. (a) C_p (0° , 5° y Máx) vs. X para $Re = 1 E 6$ (leer $C_{p\text{máx}}$ a la derecha) y (b) Curvas Polares del Perfil SZ - 2170.

Fig. 5.2.142. (c) Curvas de Cl/Cd y (d) Cl , Cd , C_m vs. Ángulo de ataque del Perfil SZ - 2170.

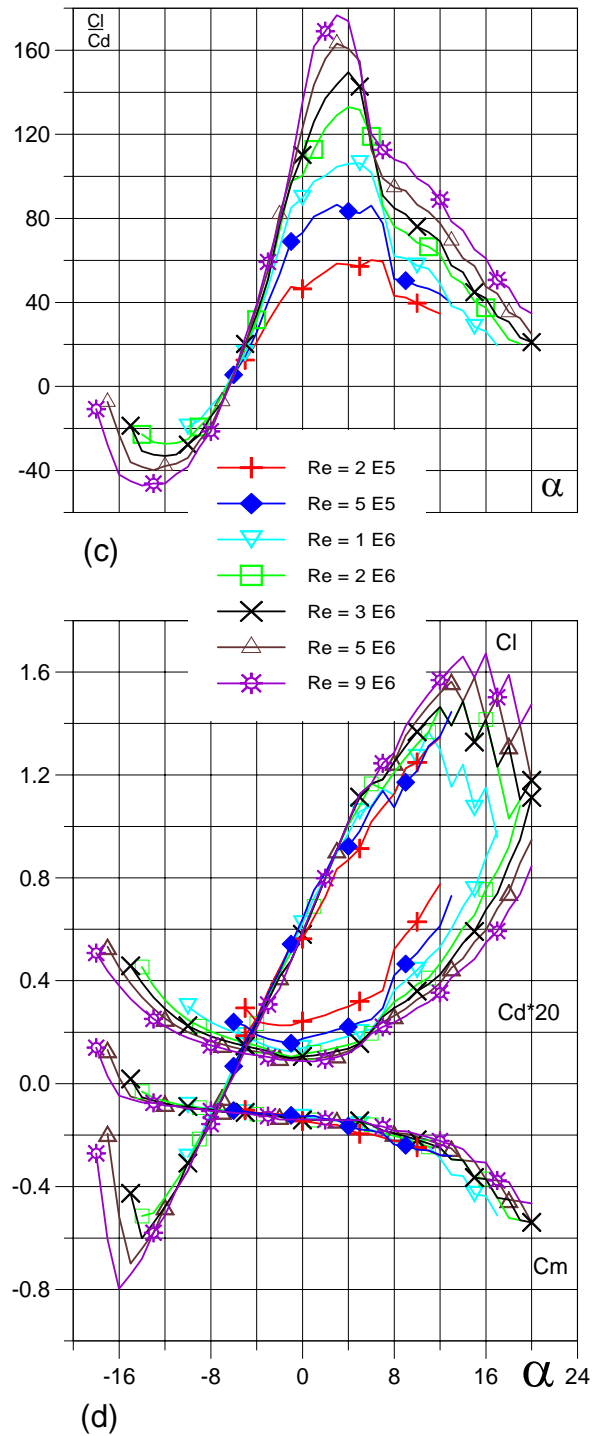
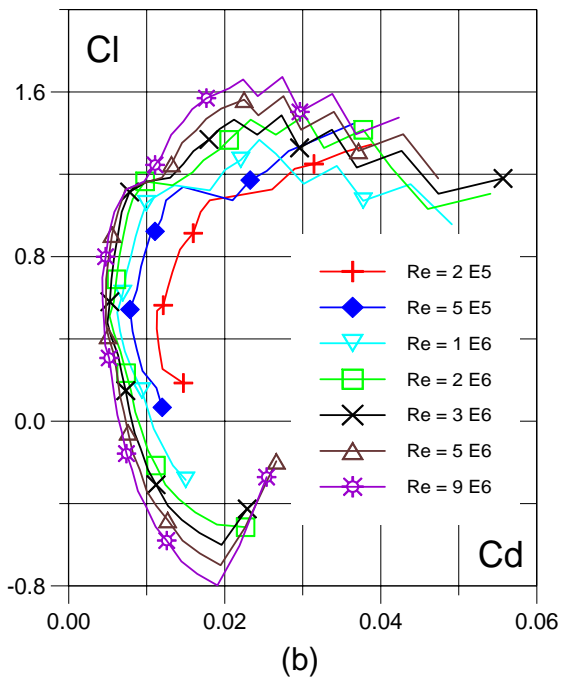
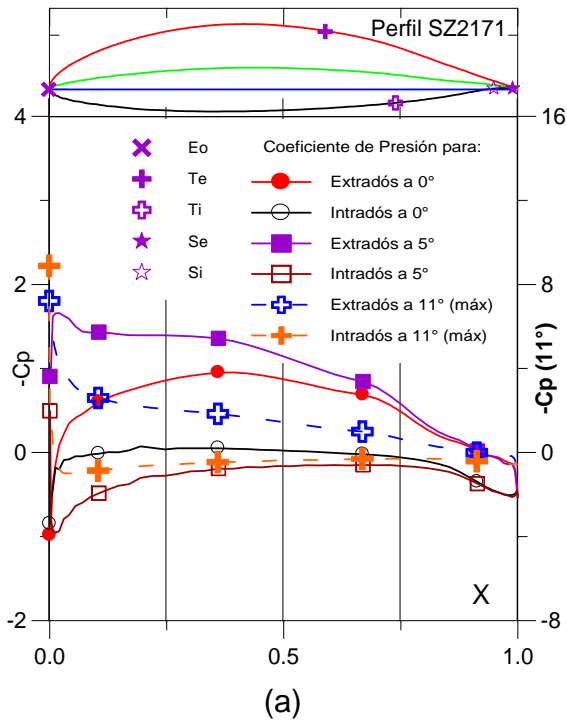


Fig. 5.2.143. (a) C_p (0° , 5° y Máx) vs. X para $Re = 1 E 6$ (leer $C_{p\text{máx}}$ a la derecha) y (b) Curvas Polares del Perfil SZ - 2171.

Fig. 5.2.144. (c) Curvas de Cl/C_d y (d) Cl , C_d , C_m vs. Ángulo de ataque del Perfil SZ - 2171.

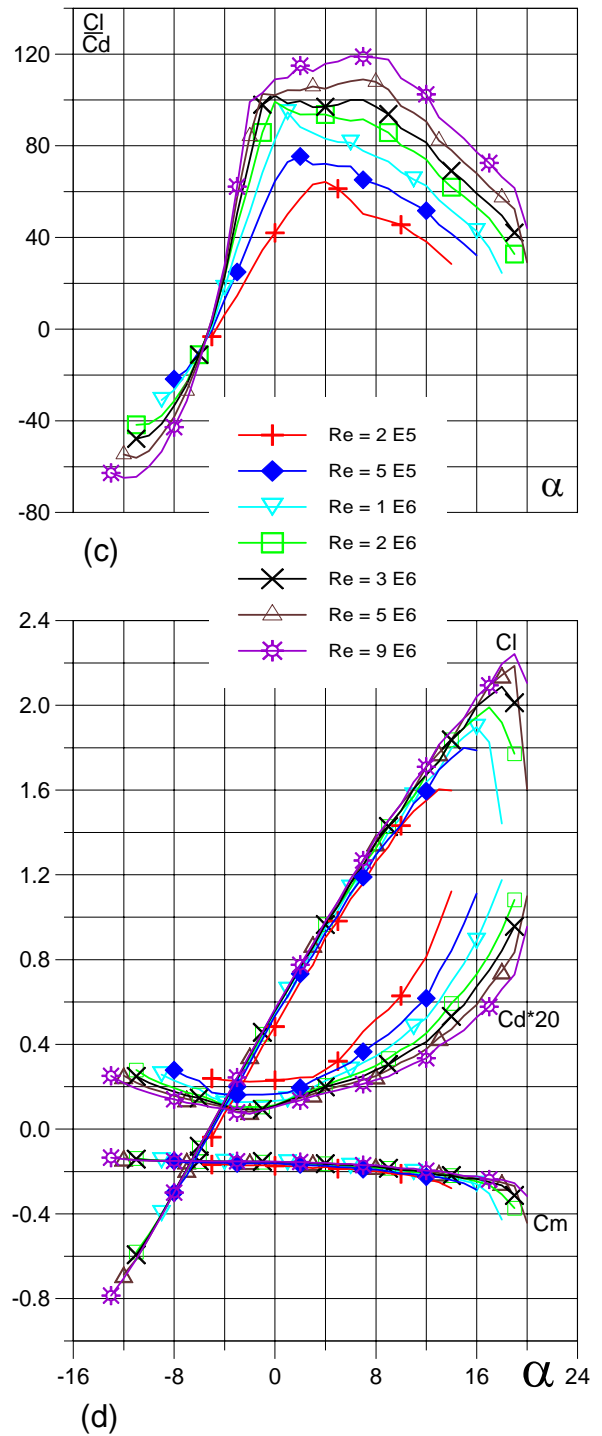
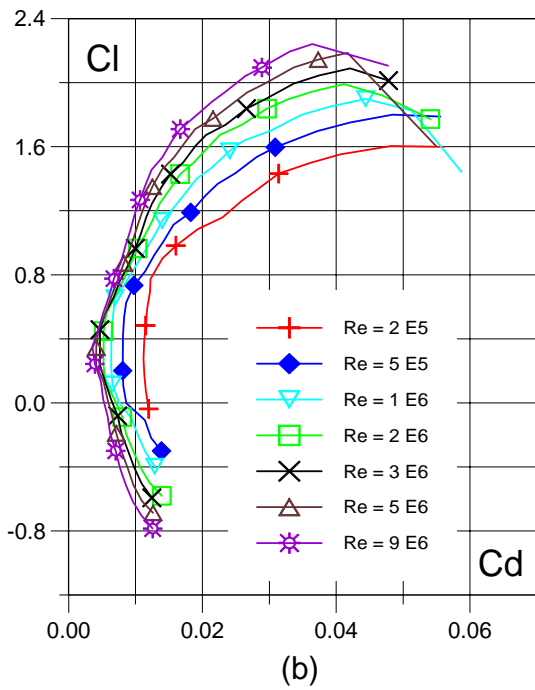
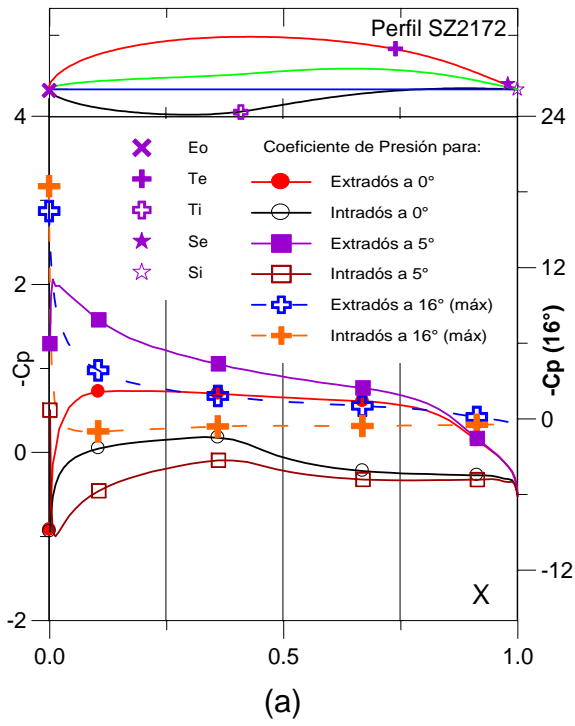


Fig. 5.2.145. (a) C_p (0° , 5° y Máx) vs. X para $Re = 1 E 6$ (leer $C_{p\text{máx}}$ a la derecha) y (b) Curvas Polares del Perfil SZ - 2172.

Fig. 5.2.146. (c) Curvas de Cl/Cd y (d) Cl , Cd , C_m vs. Ángulo de ataque del Perfil SZ - 2172.

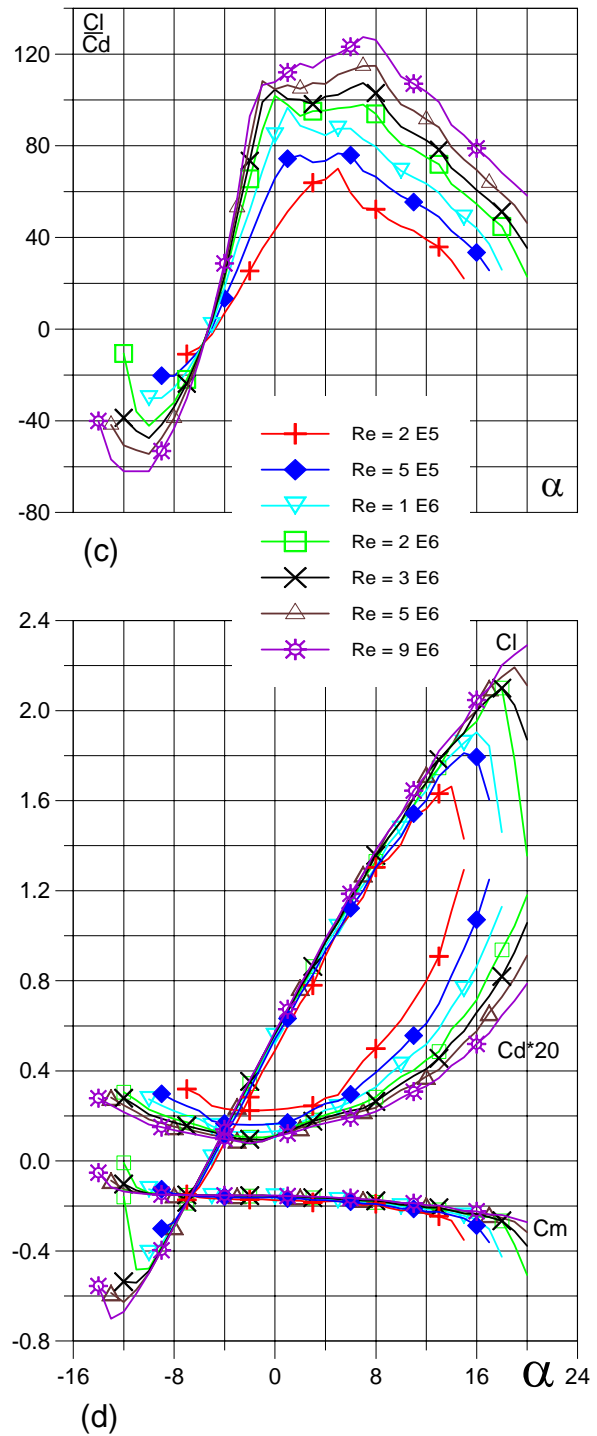
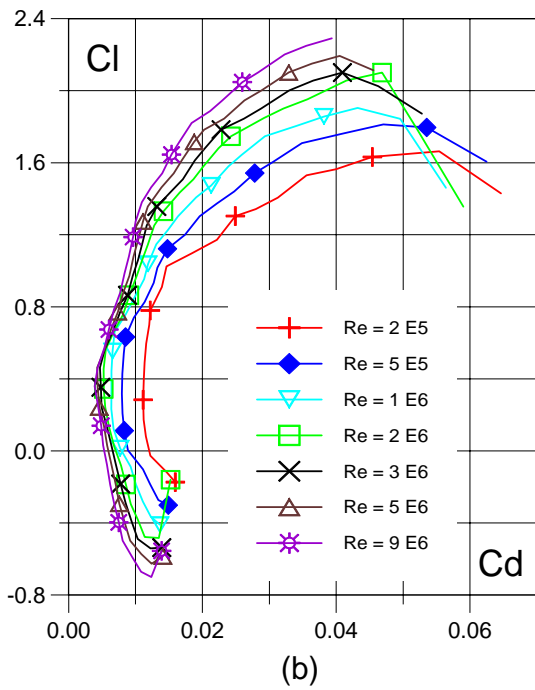
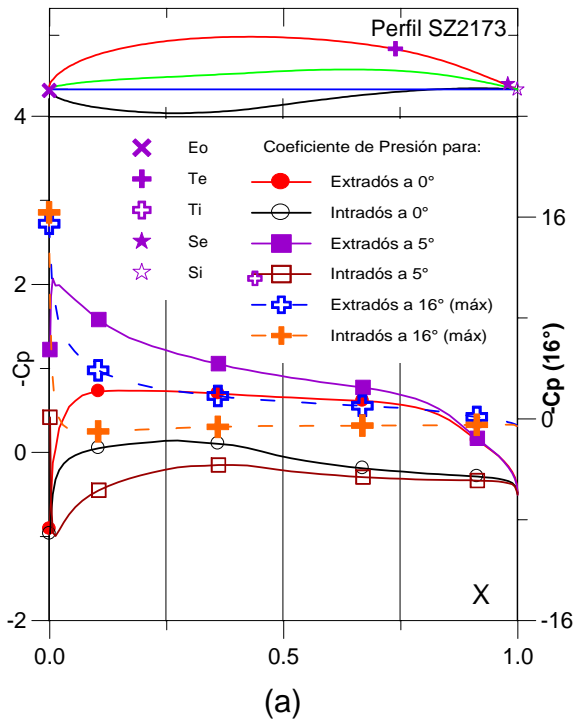


Fig. 5.2.147. (a) C_p (0° , 5° y Máx) vs. X para $Re = 1 E 6$ (leer $C_{p\text{máx}}$ a la derecha) y (b) Curvas Polares del Perfil SZ - 2173.

Fig. 5.2.148. (c) Curvas de Cl/Cd y (d) Cl , Cd , C_m vs. Ángulo de ataque del Perfil SZ - 2173.

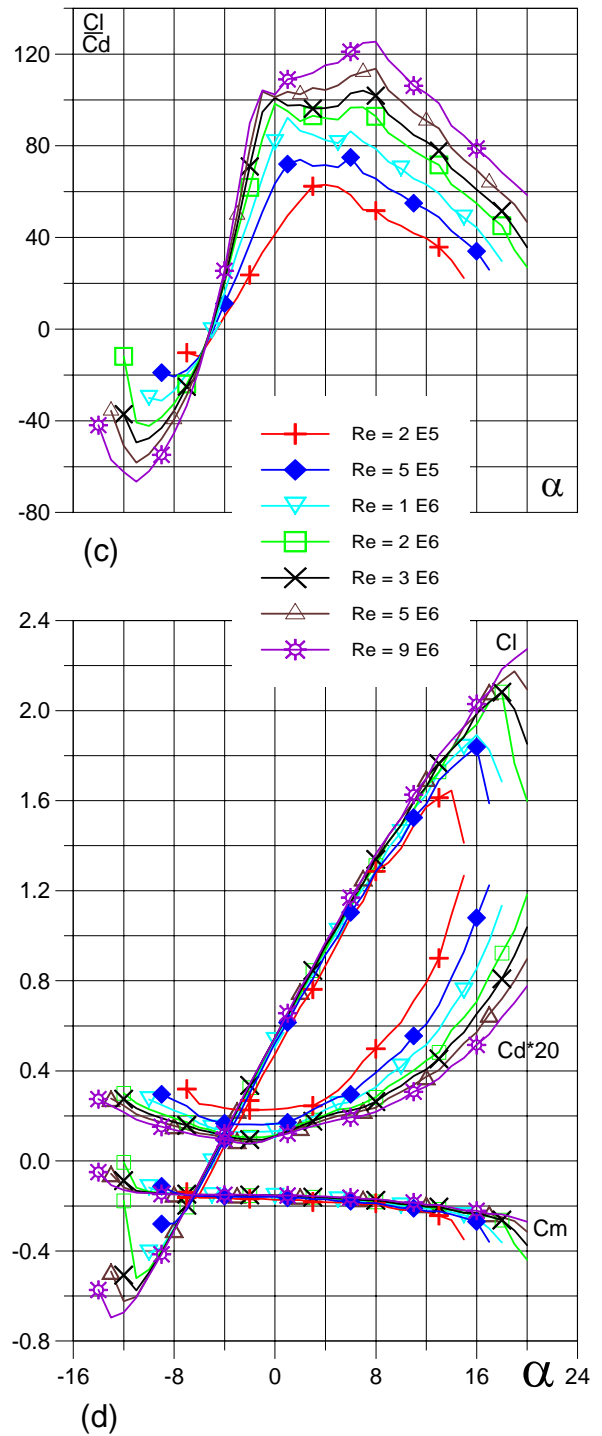
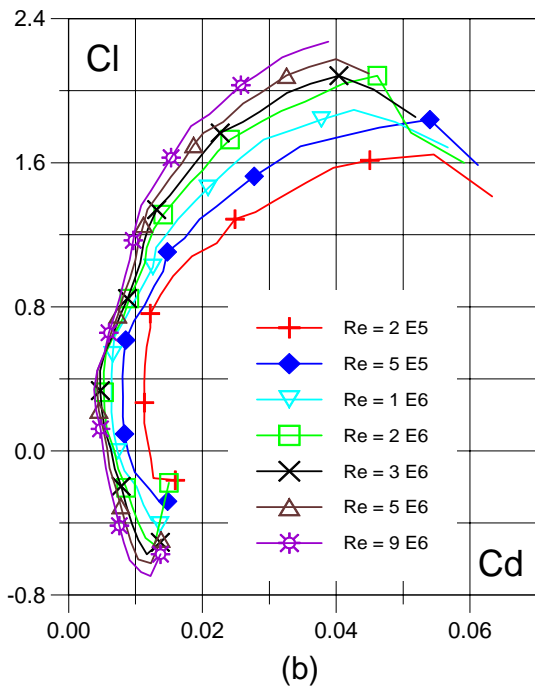
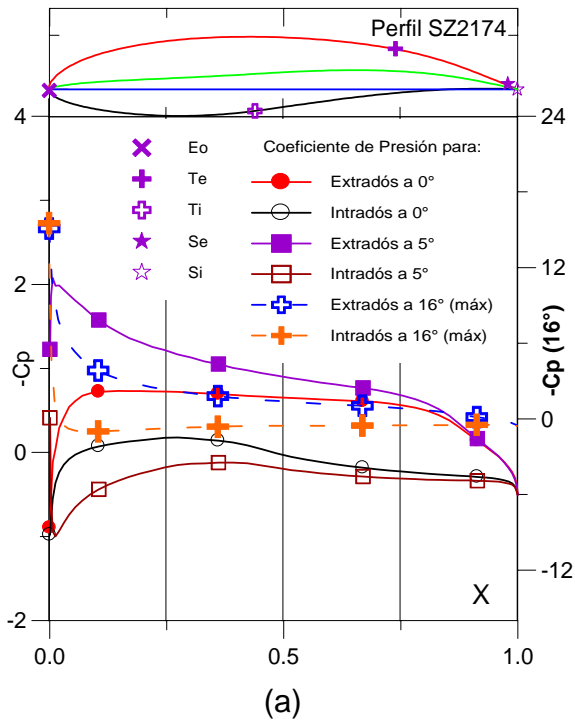


Fig. 5.2.149. (a) C_p (0° , 5° y Máx) vs. X para $Re = 1 E 6$ (leer $C_{p\text{máx}}$ a la derecha) y (b) Curvas Polares del Perfil SZ - 2174.

Fig. 5.2.150. (c) Curvas de Cl/Cd y (d) Cl , Cd , C_m vs. Ángulo de ataque del Perfil SZ - 2174.

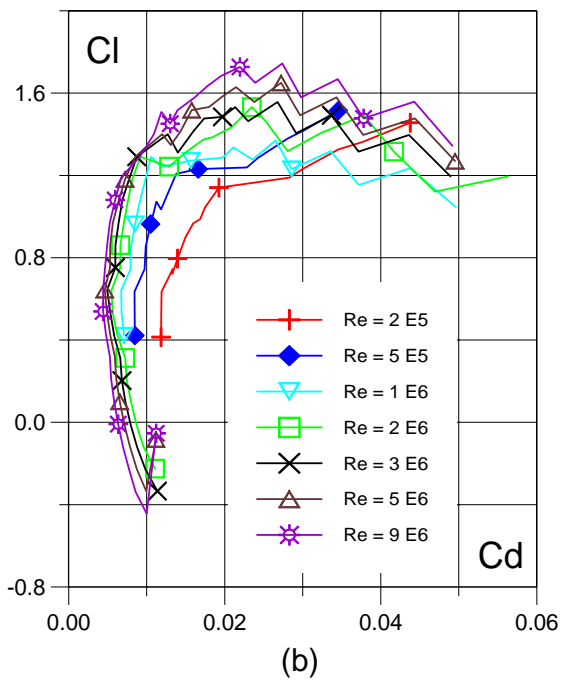
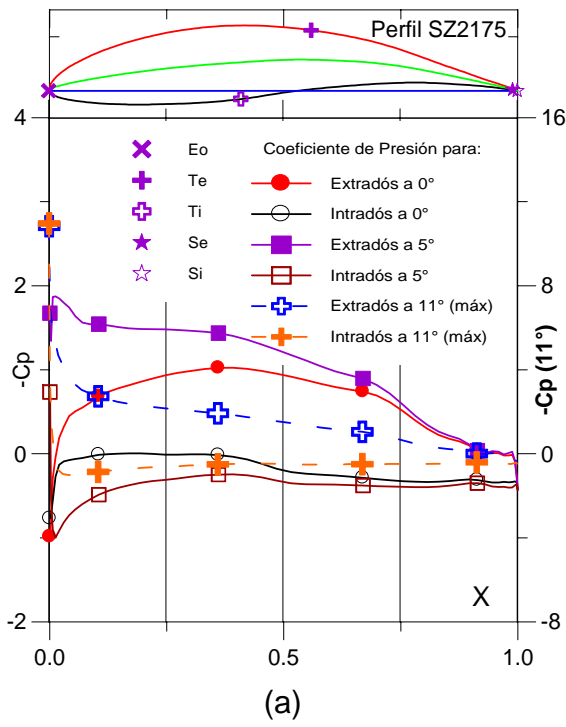


Fig. 5.2.151. (a) C_p (0° , 5° y Máx) vs. X para $Re = 1 E 6$ (leer $C_{p\text{máx}}$ a la derecha) y (b) Curvas Polares del Perfil SZ - 2175.

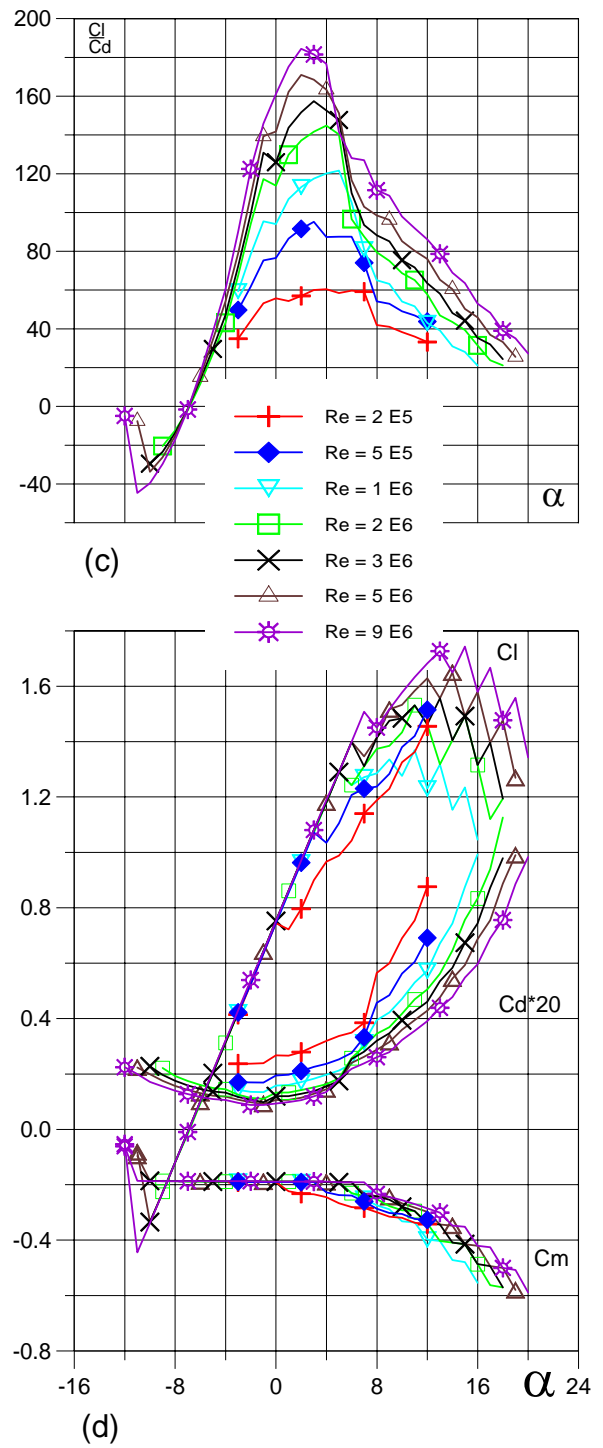


Fig. 5.2.152. (c) Curvas de Cl/C_d y (d) Cl , C_d , C_m vs. Ángulo de ataque del Perfil SZ - 2175.

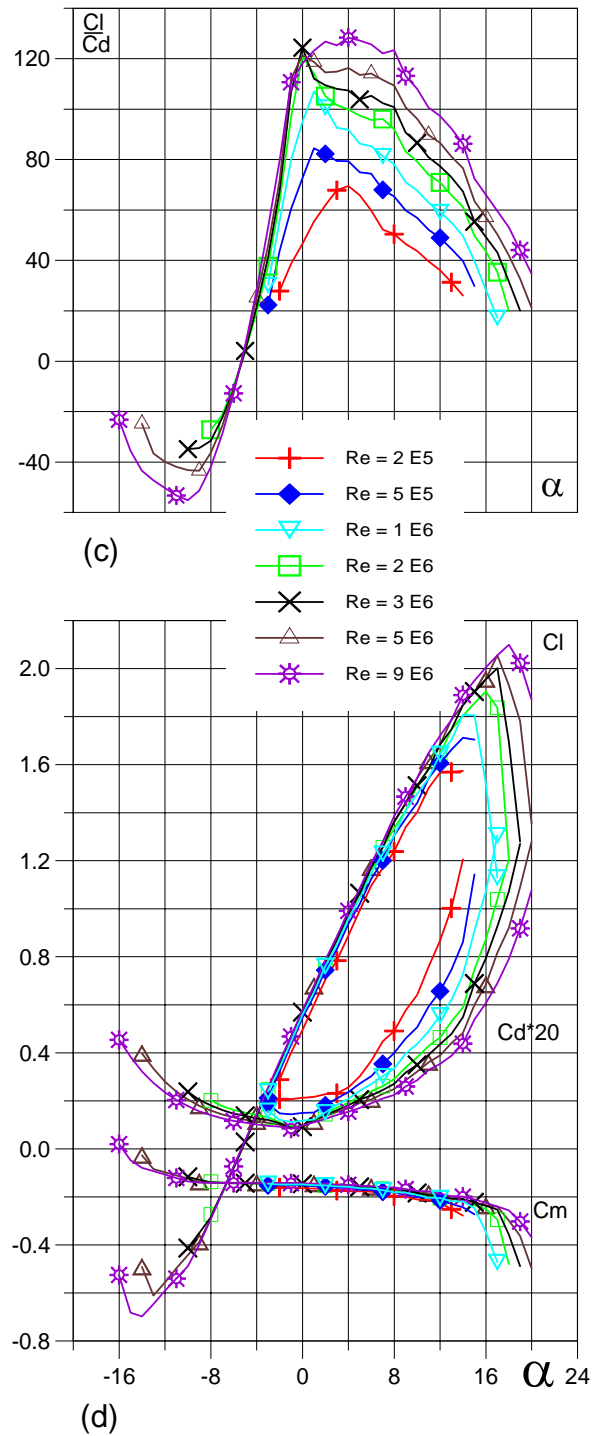
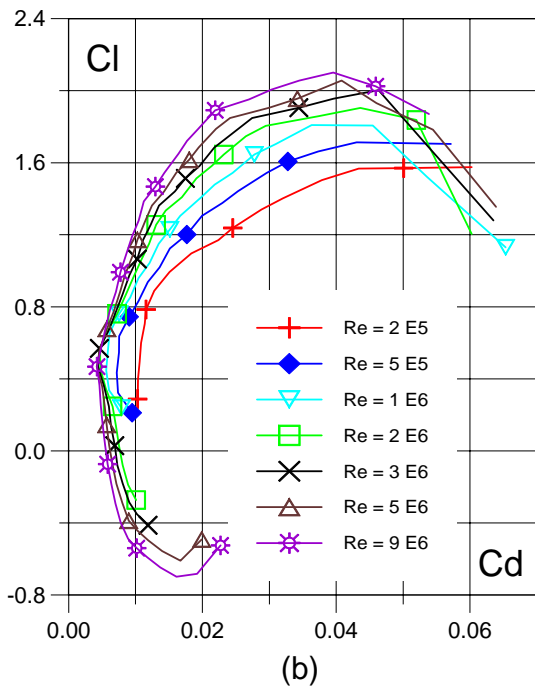
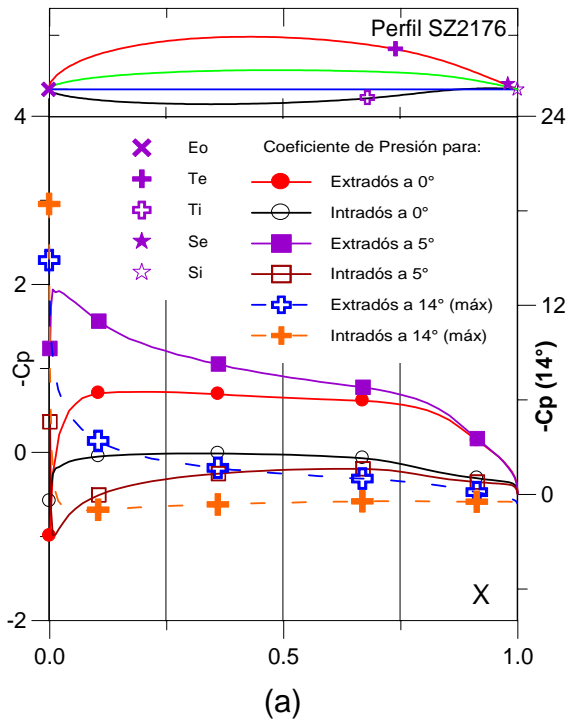
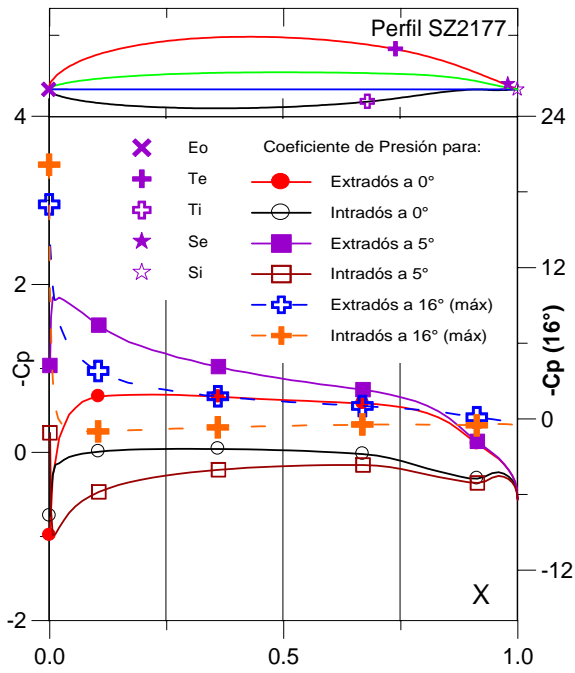
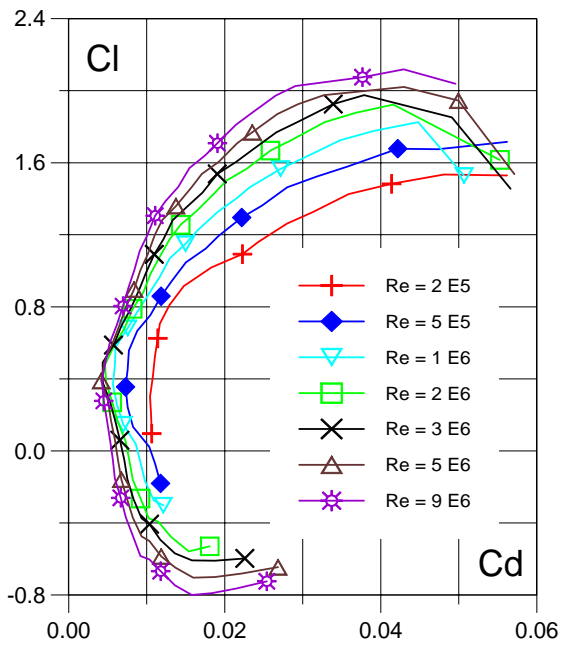


Fig. 5.2.153. (a) C_p (0° , 5° y Máx) vs. X para $Re = 1 E 6$ (leer $C_{p\text{máx}}$ a la derecha) y (b) Curvas Polares del Perfil SZ - 2176.

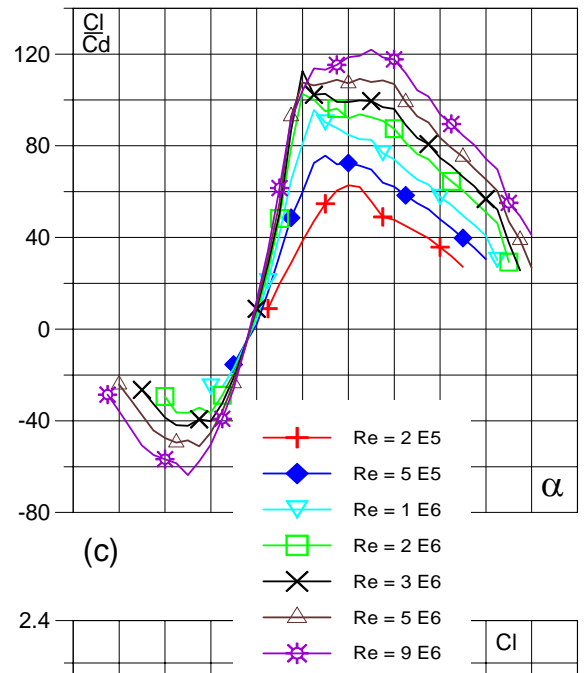
Fig. 5.2.154. (c) Curvas de Cl/Cd y (d) Cl , Cd , C_m vs. Ángulo de ataque del Perfil SZ - 2176.



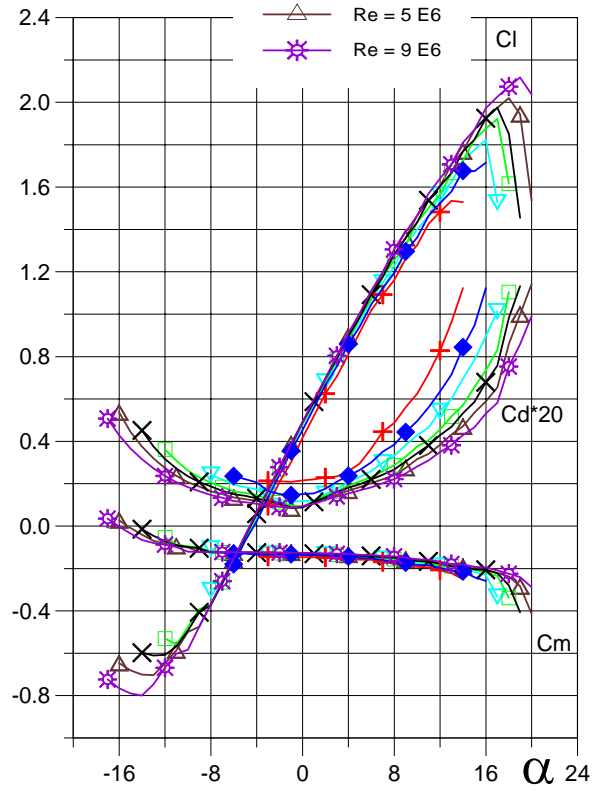
(a)



(b)



(c)



(d)

Fig. 5.2.155. (a) C_p (0° , 5° y Máx) vs. X para $Re = 1 E 6$ (leer $C_{p\text{máx}}$ a la derecha) y (b) Curvas Polares del Perfil SZ - 2177.

Fig. 5.2.156. (c) Curvas de Cl/Cd y (d) Cl , Cd , C_m vs. Ángulo de ataque del Perfil SZ - 2177.

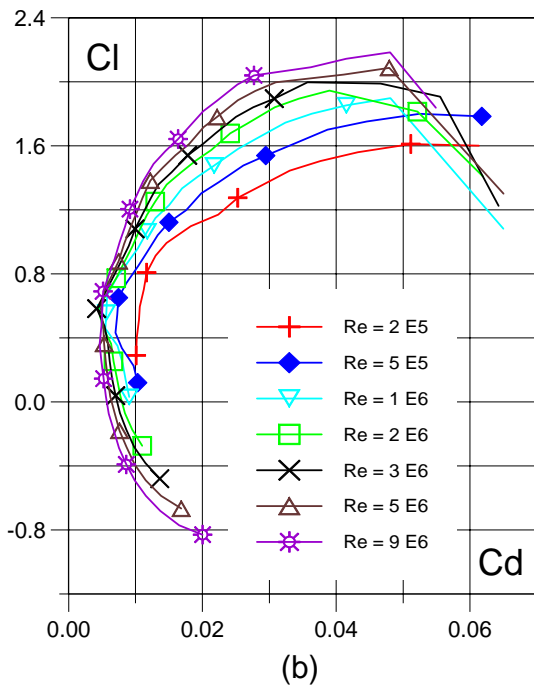
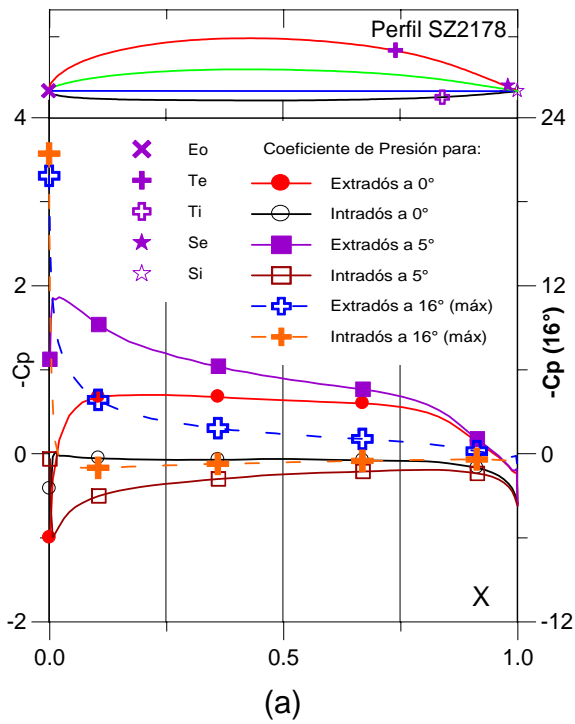


Fig. 5.2.157. (a) C_p (0° , 5° y Máx) vs. X para $Re = 1 E 6$ (leer $C_{p\text{máx}}$ a la derecha) y (b) Curvas Polares del Perfil SZ - 2178.

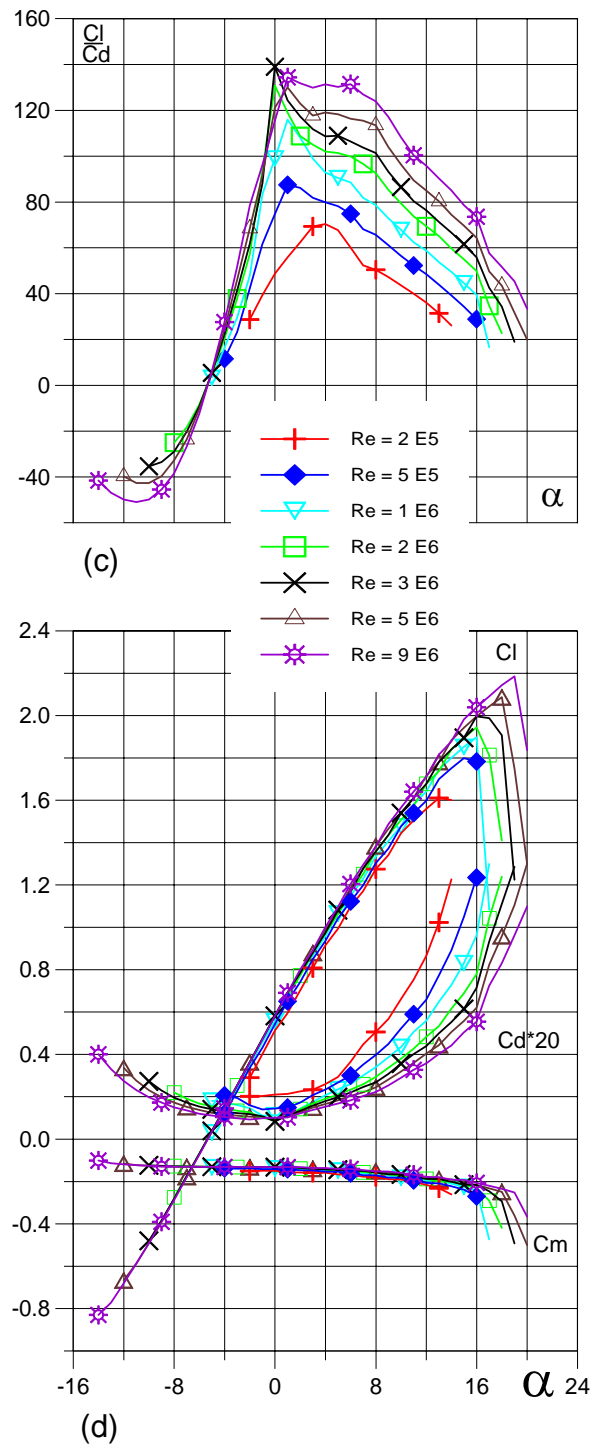


Fig. 5.2.158. (c) Curvas de Cl/Cd y (d) Cl , Cd , C_m vs. Ángulo de ataque del Perfil SZ - 2178.

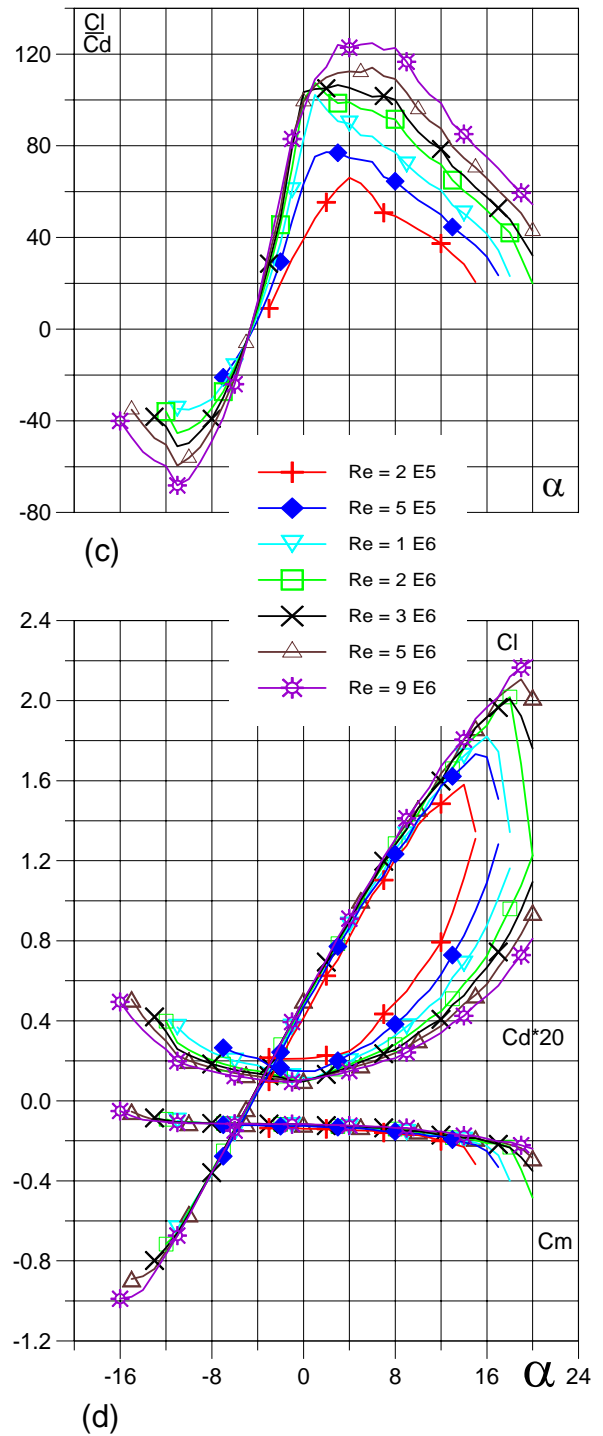
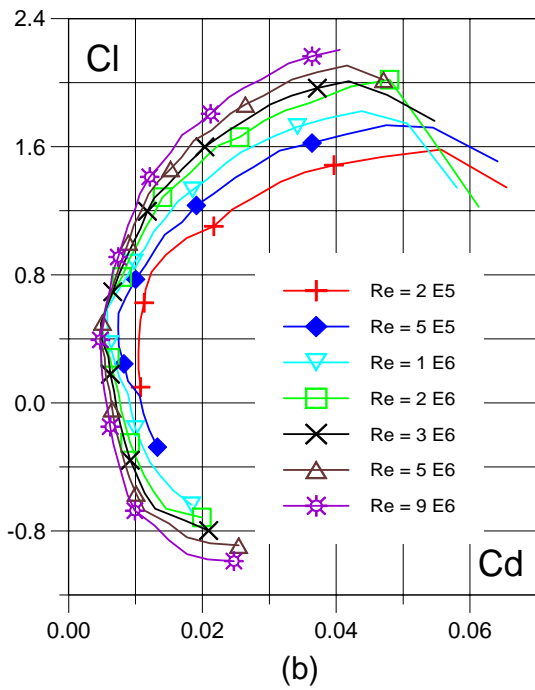
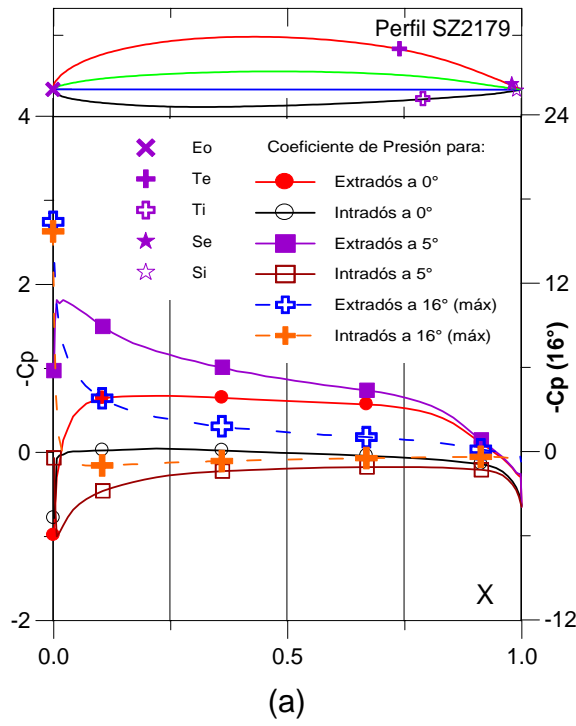


Fig. 5.2.159. (a) C_p (0° , 5° y Max) vs. X para $Re = 1 E 6$ (leer $C_{p\text{max}}$ a la derecha) y (b) Curvas Polares del Perfil SZ - 2179.

Fig. 5.2.160. (c) Curvas de Cl/Cd y (d) Cl , Cd , C_m vs. ngulo de ataque del Perfil SZ - 2179.

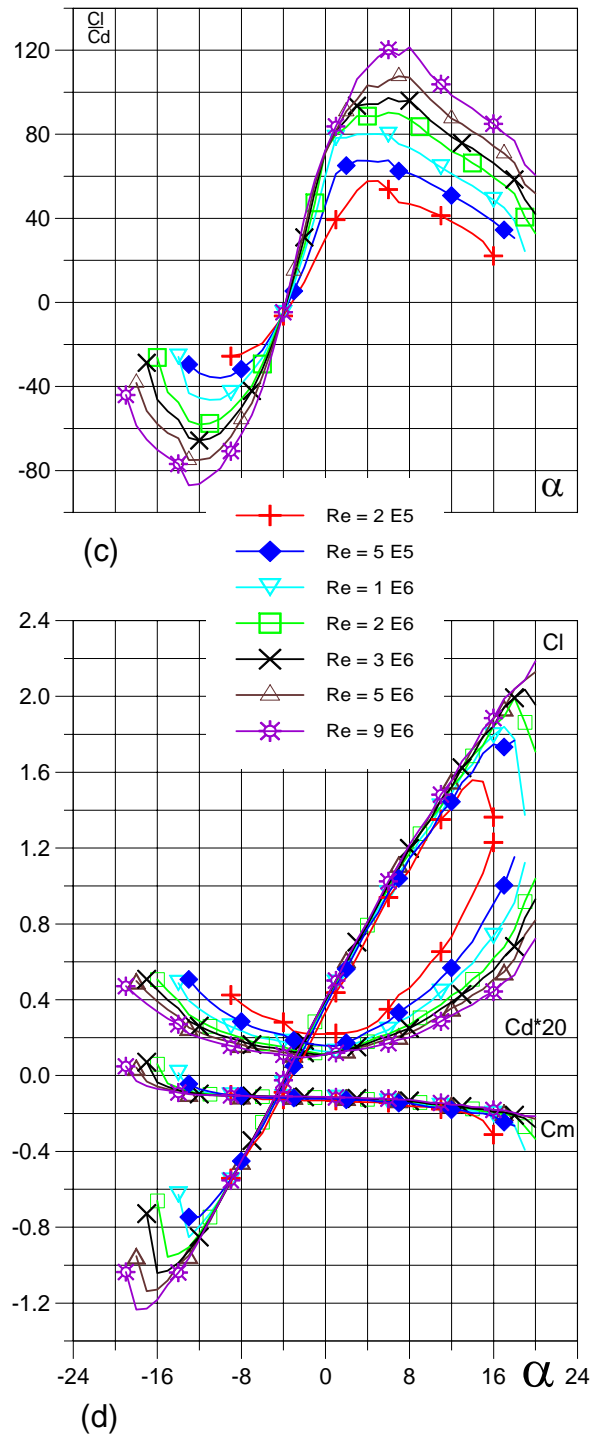
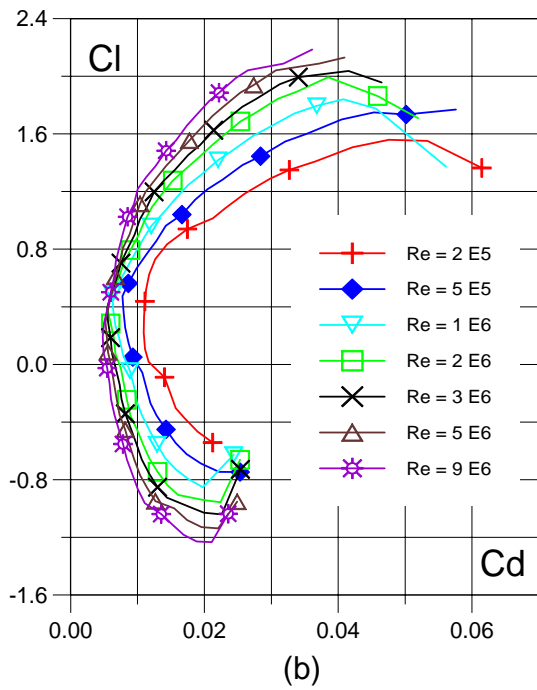
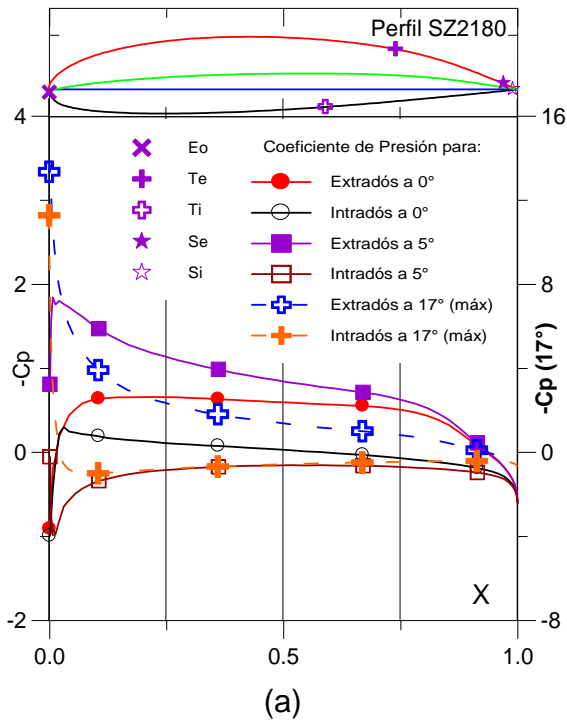


Fig. 5.2.161. (a) C_p (0° , 5° y Máx) vs. X para $Re = 1 E 6$ (leer $C_{p\text{máx}}$ a la derecha) y (b) Curvas Polares del Perfil SZ - 2180.

Fig. 5.2.162. (c) Curvas de Cl/Cd y (d) Cl , Cd , Cm vs. Ángulo de ataque del Perfil SZ - 2180.

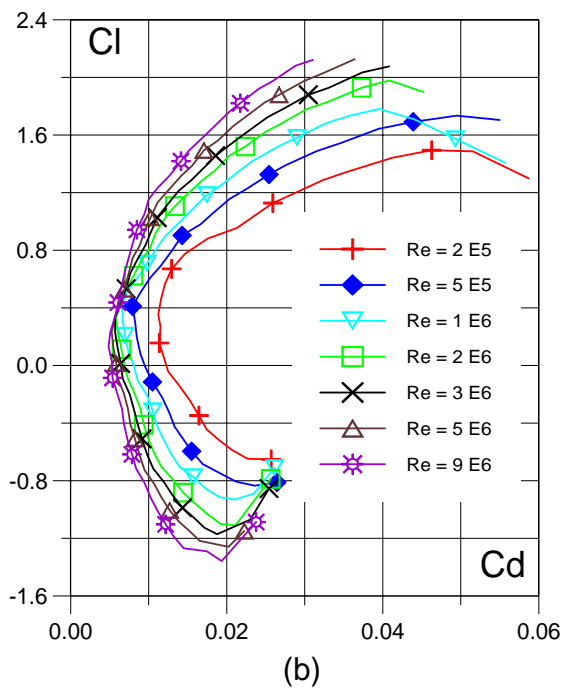
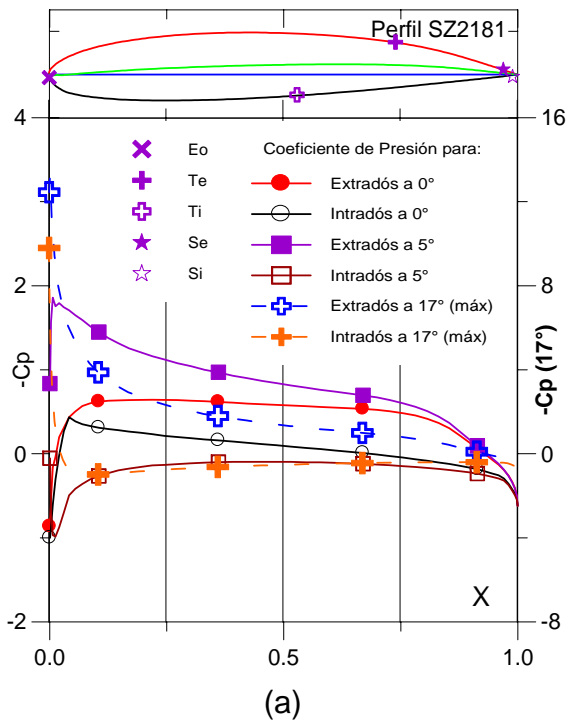


Fig. 5.2.163. (a) C_p (0° , 5° y Máx) vs. X para $Re = 1 E 6$ (leer $C_{p\text{máx}}$ a la derecha) y (b) Curvas Polares del Perfil SZ - 2181.

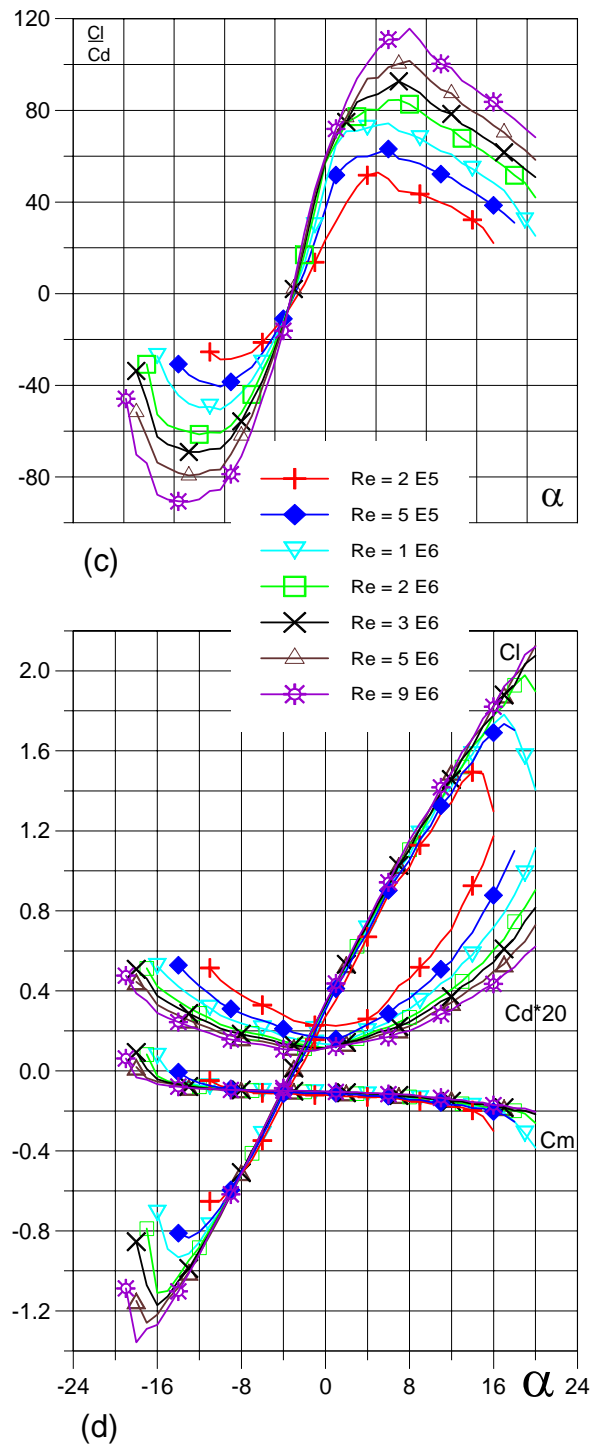
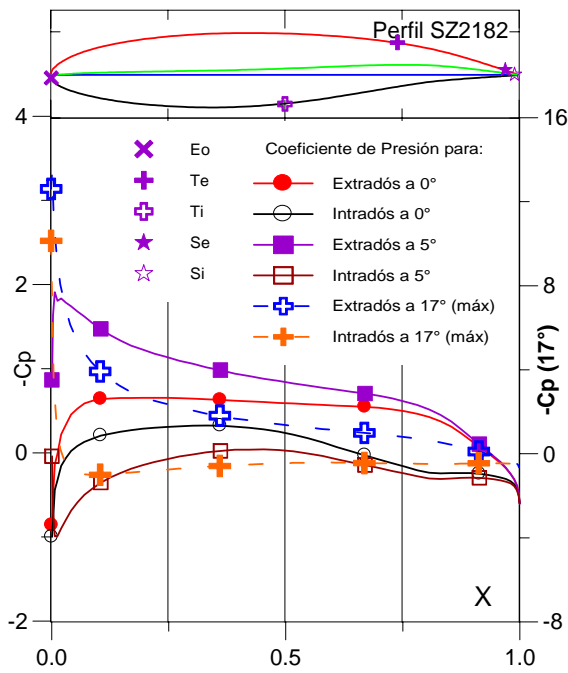
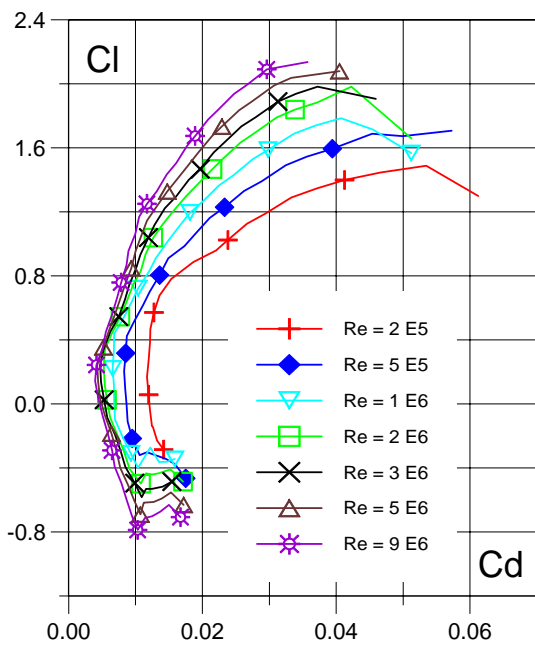


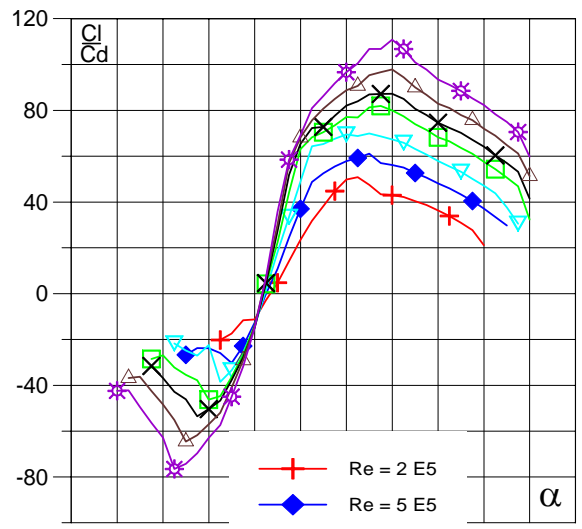
Fig. 5.2.164. (c) Curvas de C_l/C_d y (d) C_l , C_d , C_m vs. Ángulo de ataque del Perfil SZ - 2181.



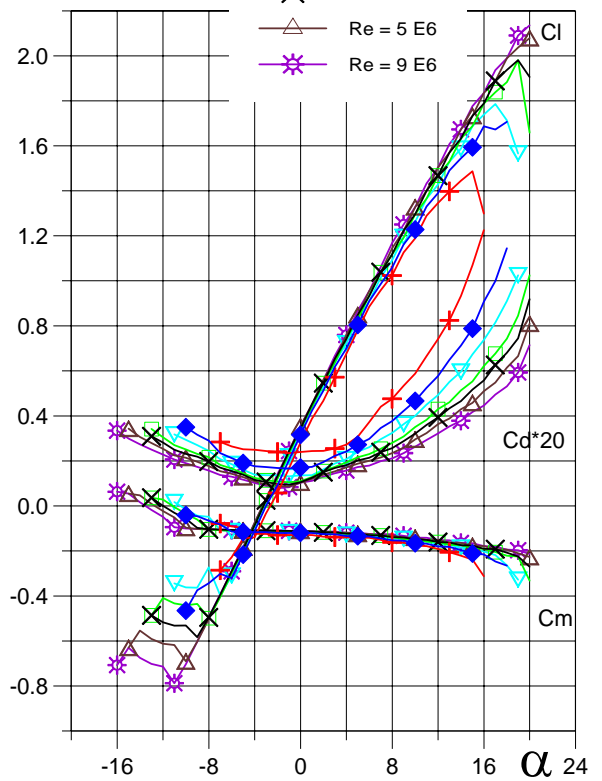
(a)



(b)



(c)



(d)

Fig. 5.2.165. (a) C_p (0° , 5° y Máx) vs. X para $Re = 1 E 6$ (leer $C_{p\text{máx}}$ a la derecha) y (b) Curvas Polares del Perfil SZ - 2182.

Fig. 5.2.166. (c) Curvas de Cl/Cd y (d) Cl , Cd , C_m vs. Ángulo de ataque del Perfil SZ - 2182.

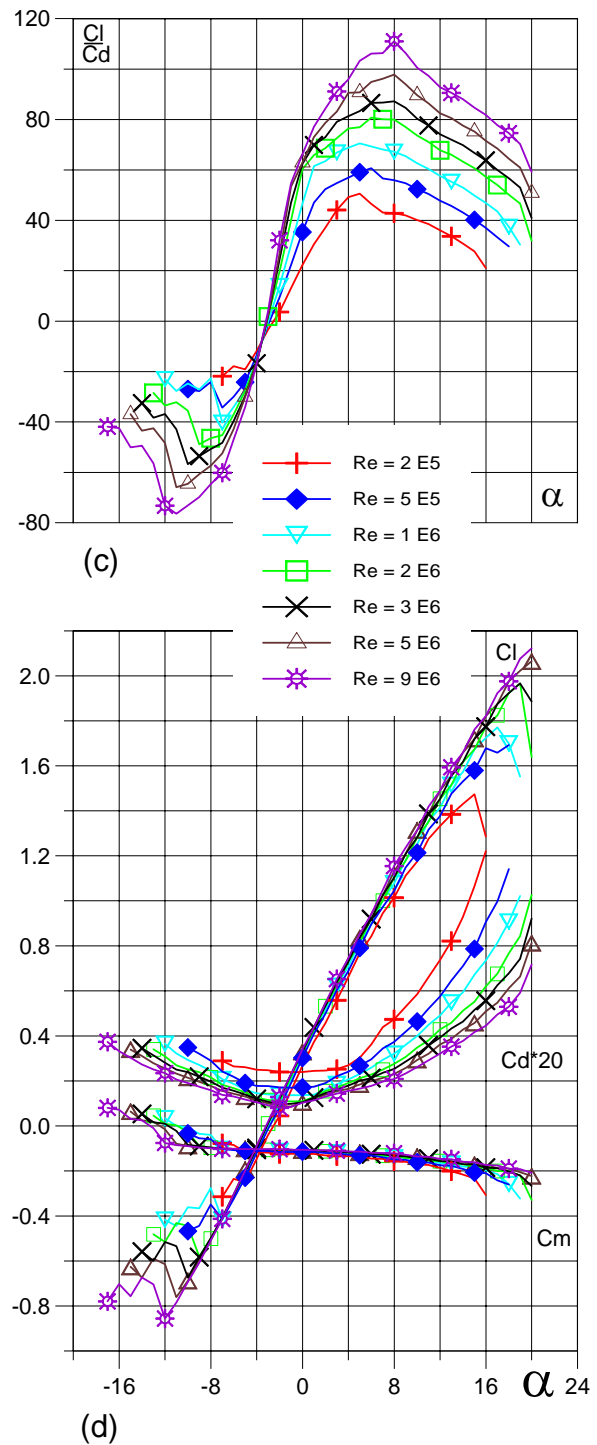
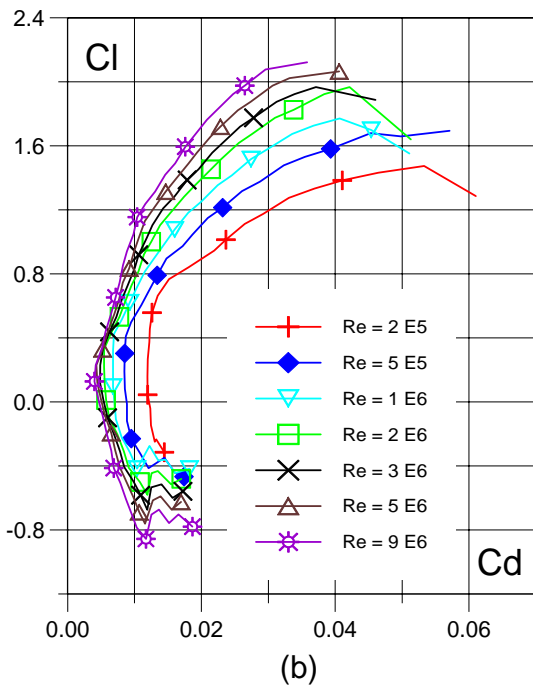
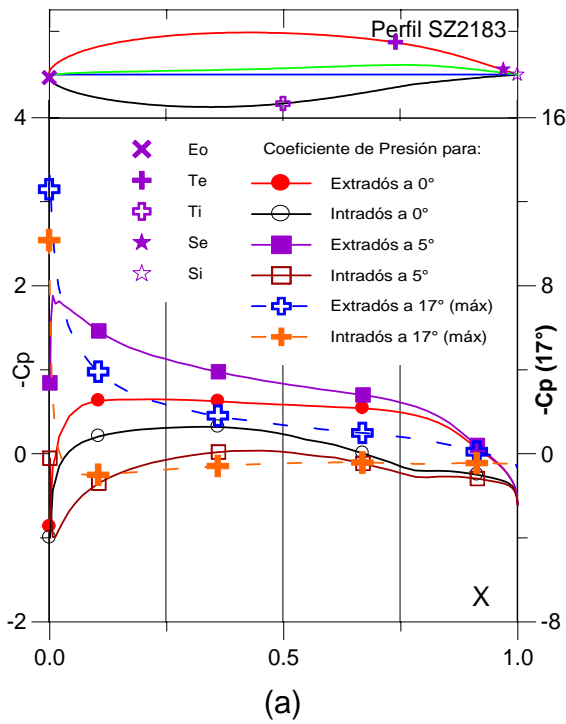


Fig. 5.2.167. (a) C_p (0° , 5° y Máx) vs. X para $Re = 1 E 6$ (leer $C_{p\text{máx}}$ a la derecha) y (b) Curvas Polares del Perfil SZ - 2183.

Fig. 5.2.168. (c) Curvas de Cl/Cd y (d) Cl , Cd , C_m vs. Ángulo de ataque del Perfil SZ - 2183.

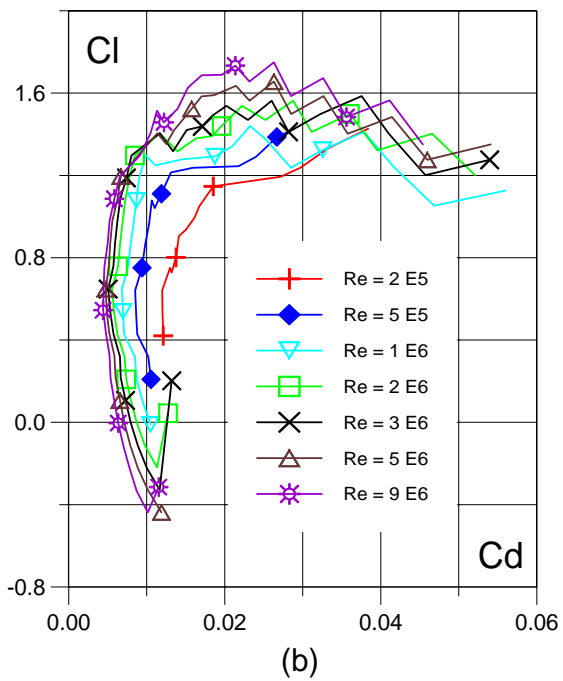
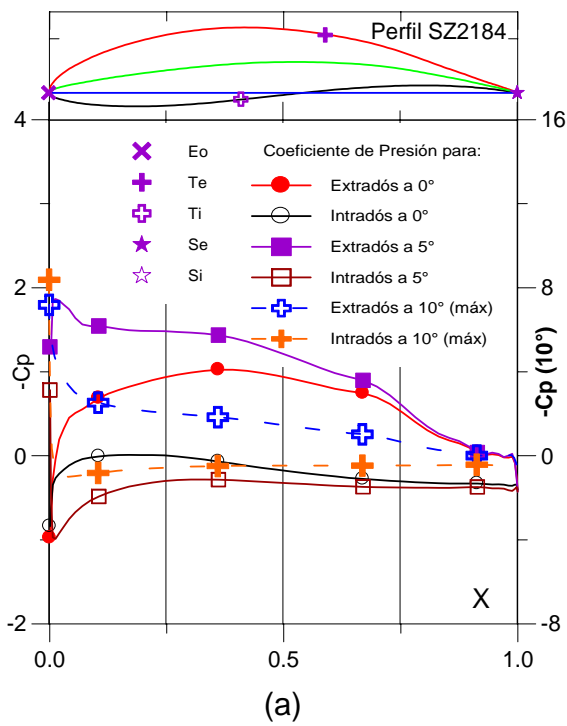


Fig. 5.2.169. (a) C_p (0°, 5° y Máx) vs. X para $Re = 1 E 6$ (leer $C_{p\text{máx}}$ a la derecha) y (b) Curvas Polares del Perfil SZ - 2184.

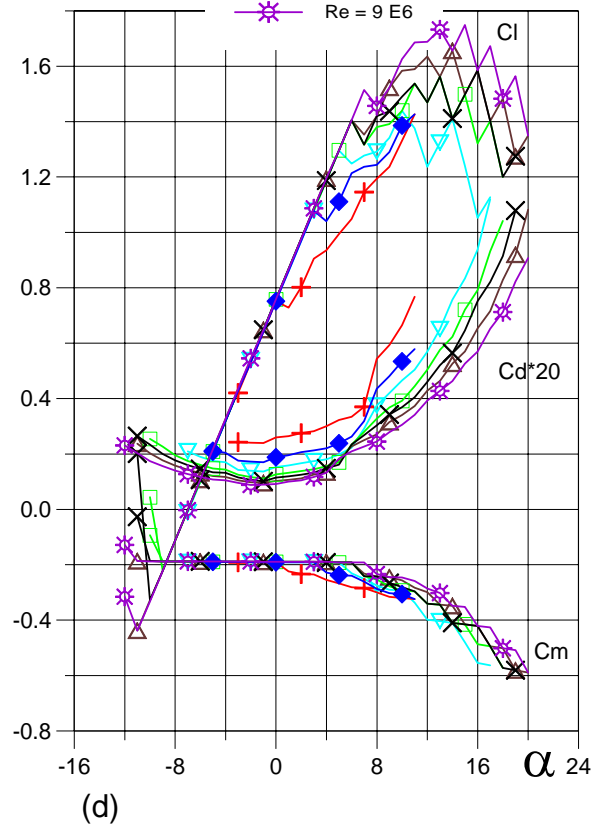
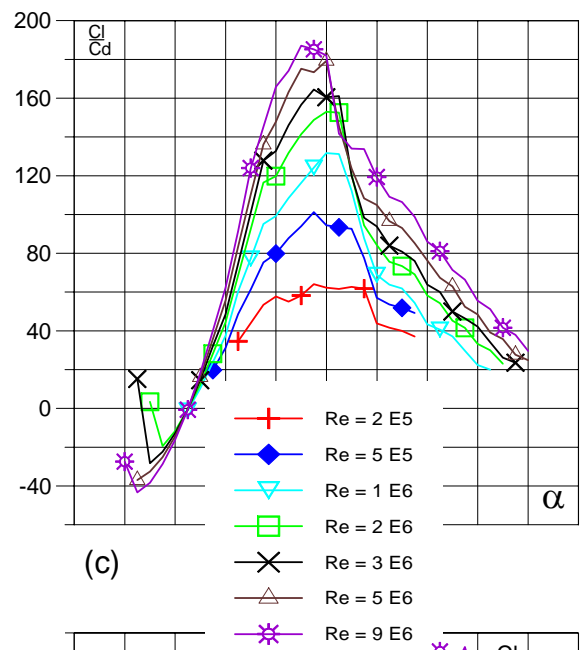


Fig. 5.2.170. (c) Curvas de Cl/Cd y (d) Cl , Cd , C_m vs. Ángulo de ataque del Perfil SZ - 2184.

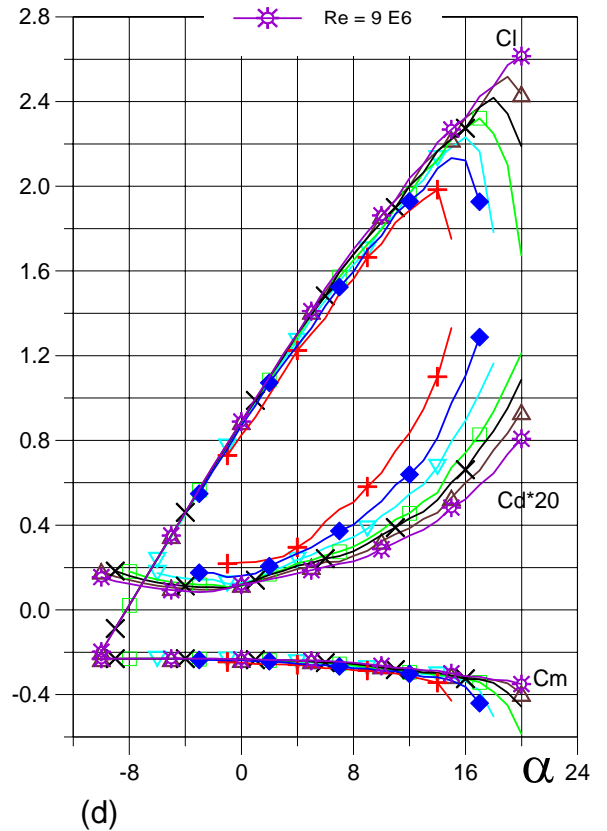
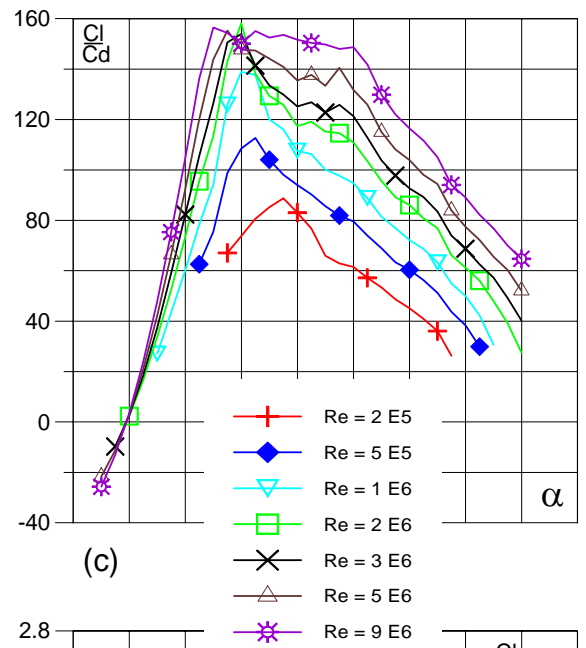
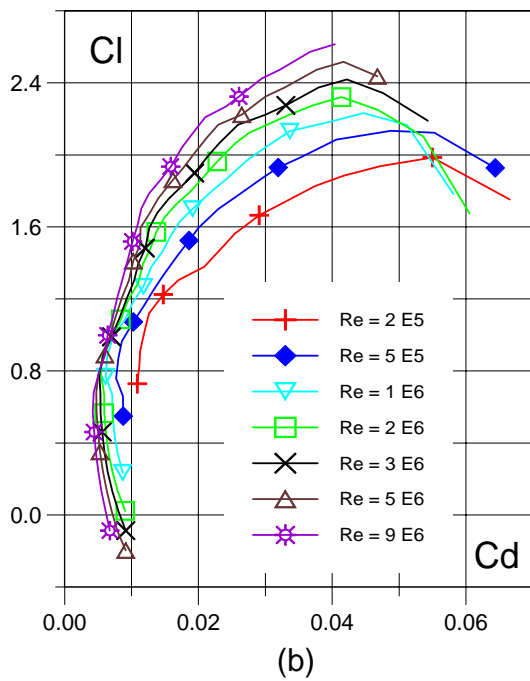
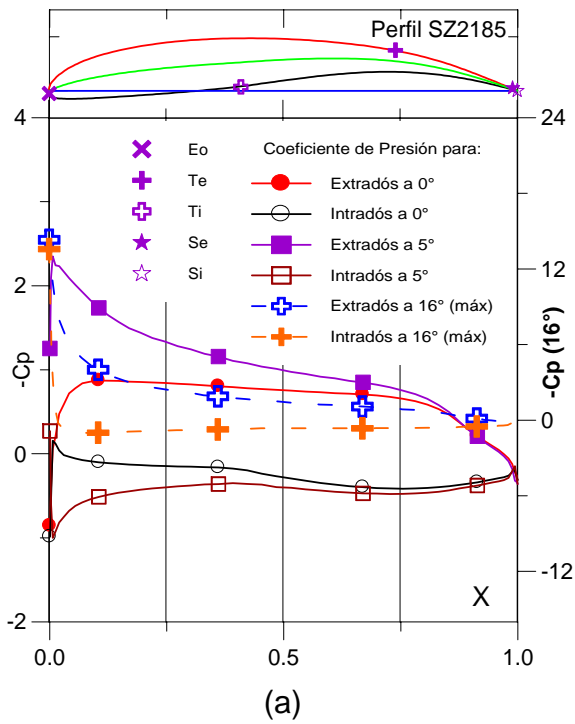


Fig. 5.2.171. (a) C_p (0°, 5° y Máx) vs. X para $Re = 1 E 6$ (leer $C_{p\text{máx}}$ a la derecha) y (b) Curvas Polares del Perfil SZ - 2185.

Fig. 5.2.172. (c) Curvas de Cl/Cd y (d) Cl , Cd , Cm vs. Ángulo de ataque del Perfil SZ - 2185.

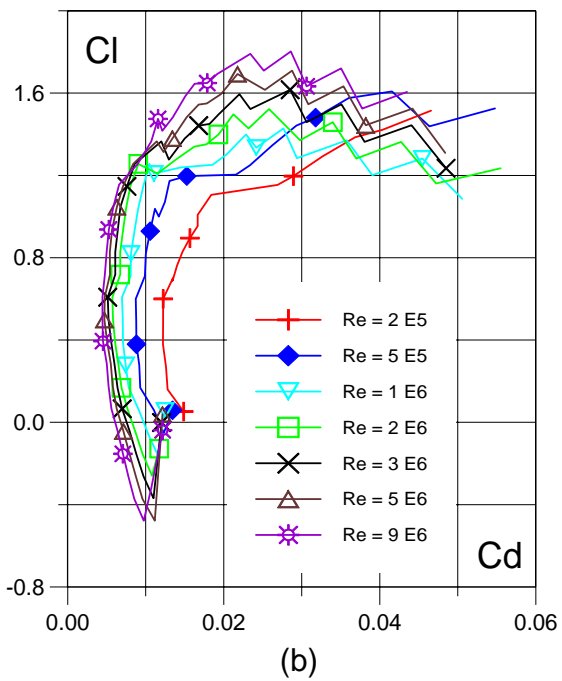
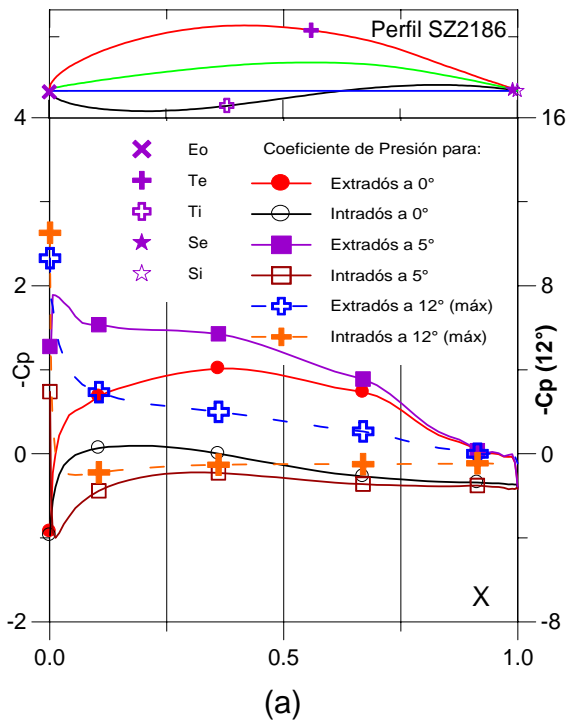


Fig. 5.2.173. (a) C_p (0° , 5° y Máx) vs. X para $Re = 1 E 6$ (leer $C_{p\text{máx}}$ a la derecha) y (b) Curvas Polares del Perfil SZ - 2186.

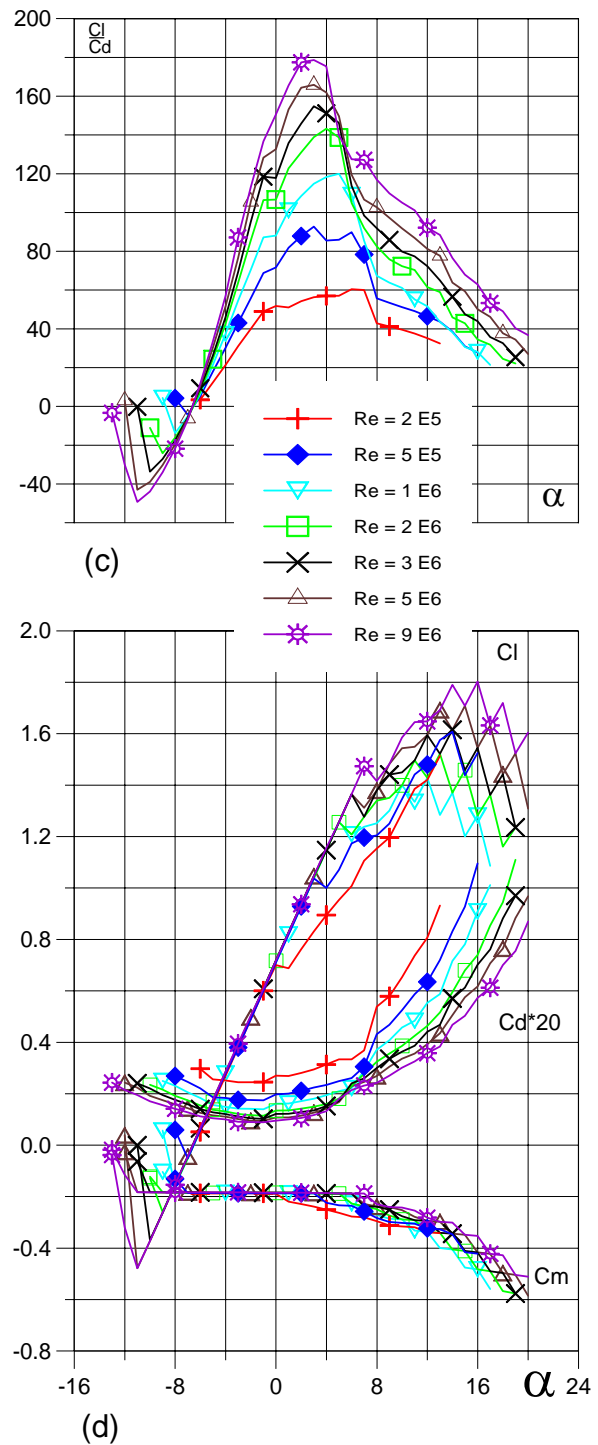


Fig. 5.2.174. (c) Curvas de Cl/Cd y (d) Cl , Cd , C_m vs. Ángulo de ataque del Perfil SZ - 2186.

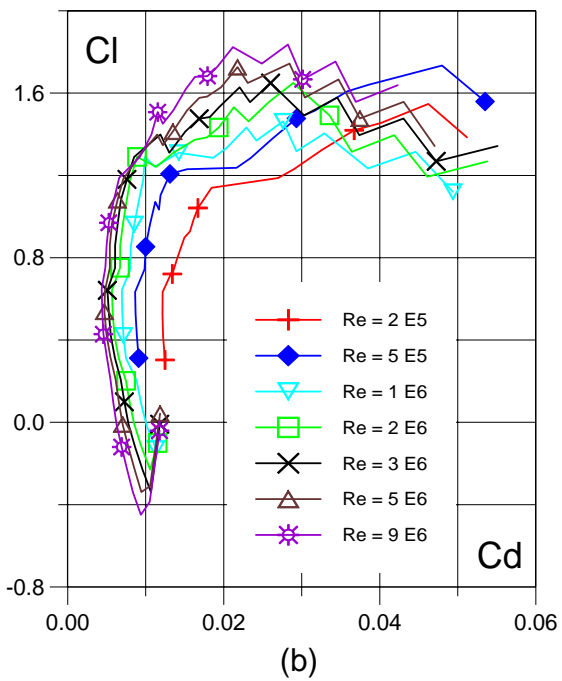
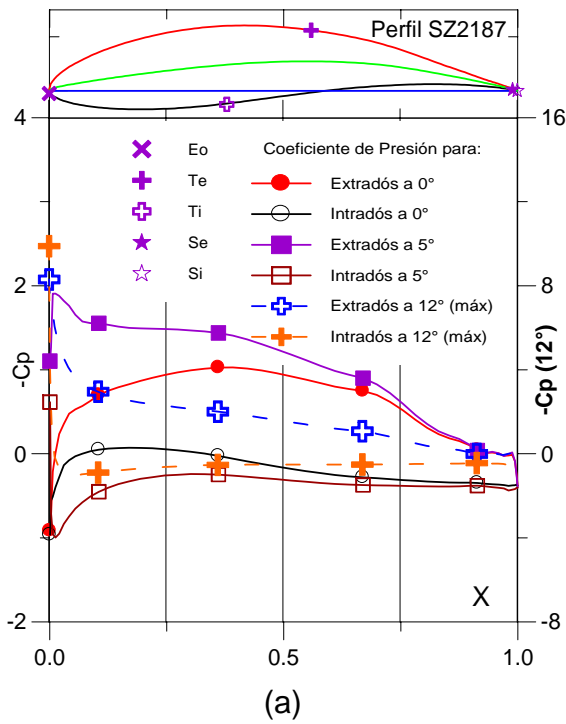


Fig. 5.2.175. (a) C_p (0° , 5° y Máx) vs. X para $Re = 1 E 6$ (leer $C_{p\text{máx}}$ a la derecha) y (b) Curvas Polares del Perfil SZ - 2187.

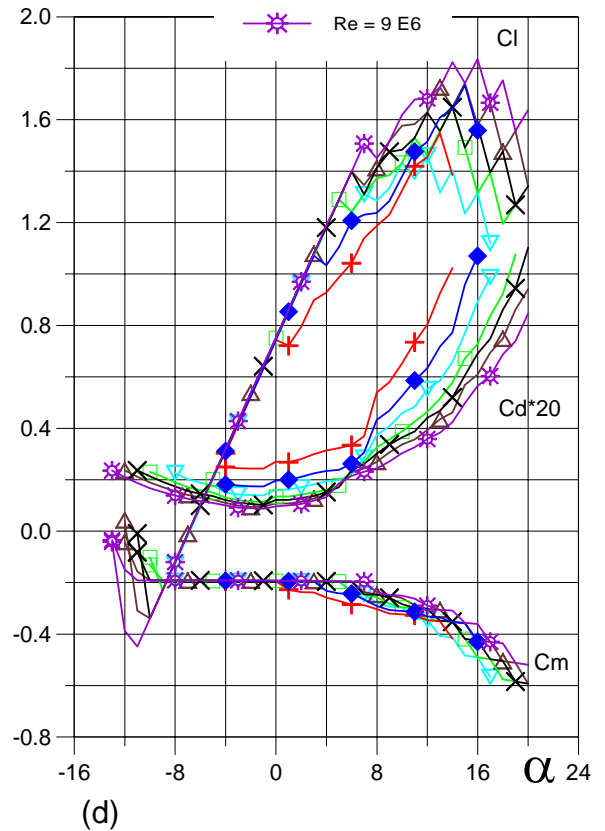
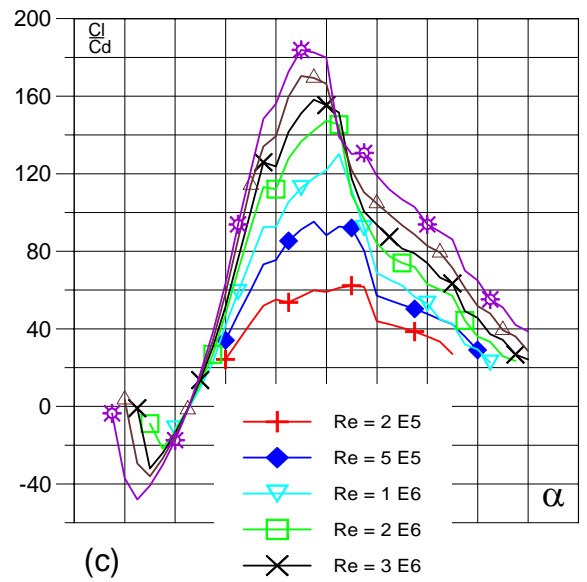


Fig. 5.2.176. (c) Curvas de C_l/C_d y (d) Cl, Cd, Cm vs. Ángulo de ataque del Perfil SZ - 2187.

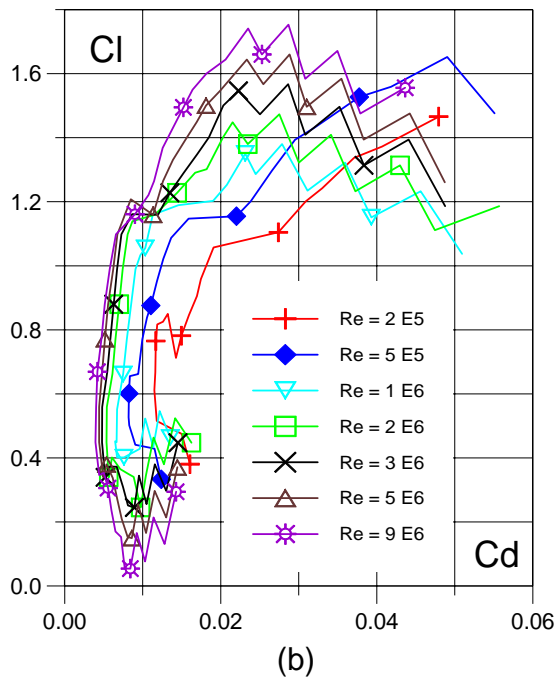
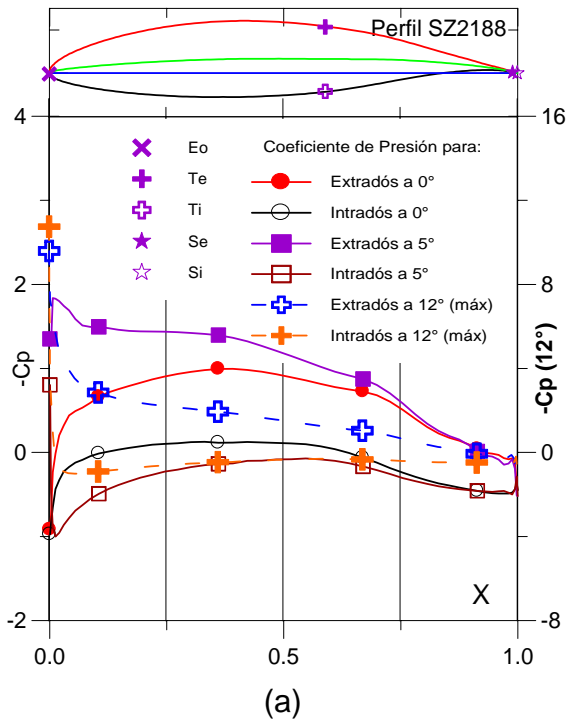


Fig. 5.2.177. (a) C_p (0° , 5° y Máx) vs. X para $Re = 1 E 6$ (leer $C_{p\text{máx}}$ a la derecha) y (b) Curvas Polares del Perfil SZ - 2188.

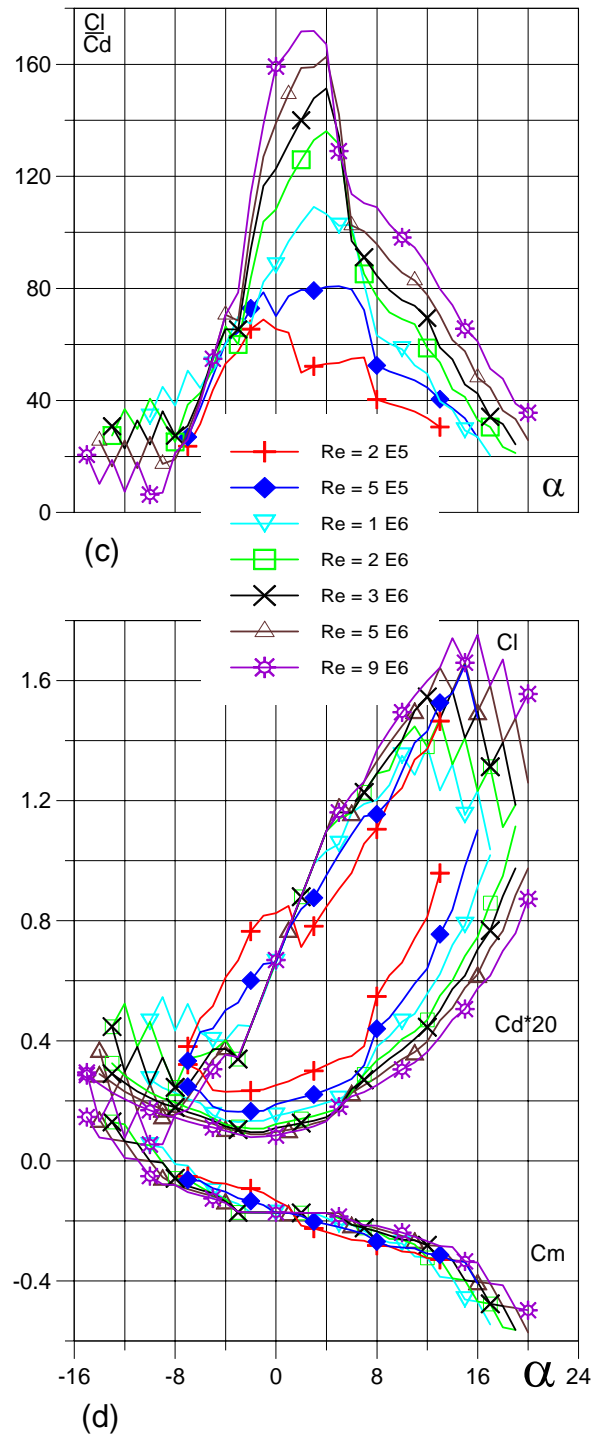


Fig. 5.2.178. (c) Curvas de Cl/Cd y (d) Cl , Cd , C_m vs. Ángulo de ataque del Perfil SZ - 2188.

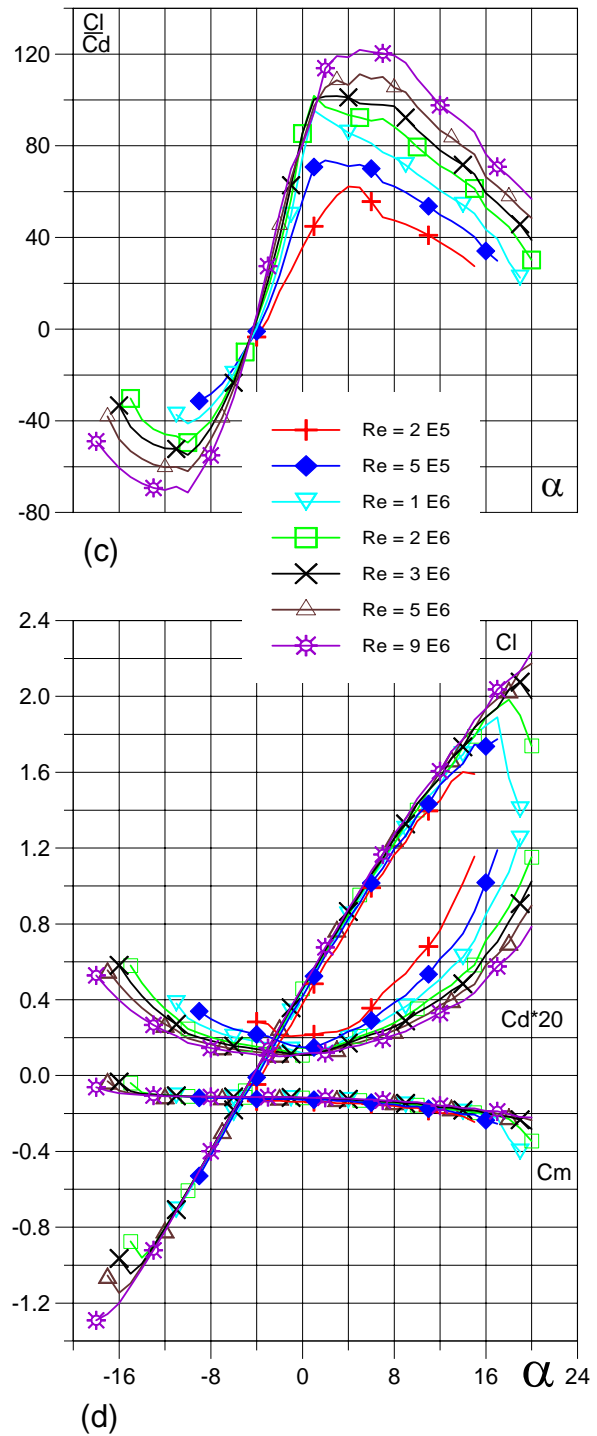
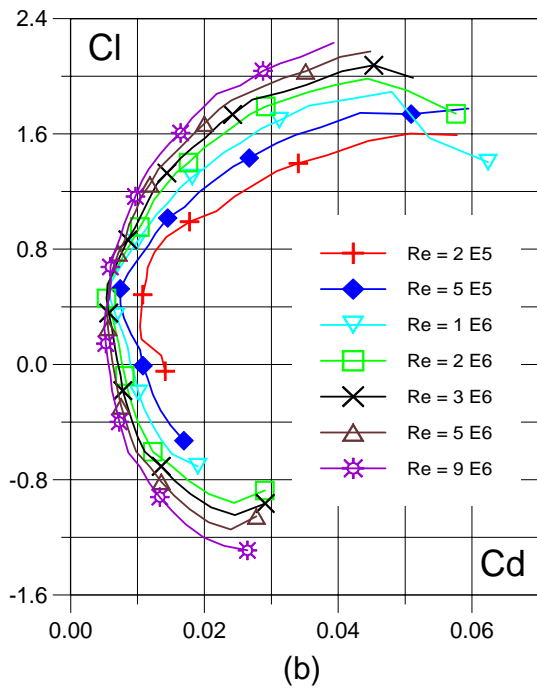
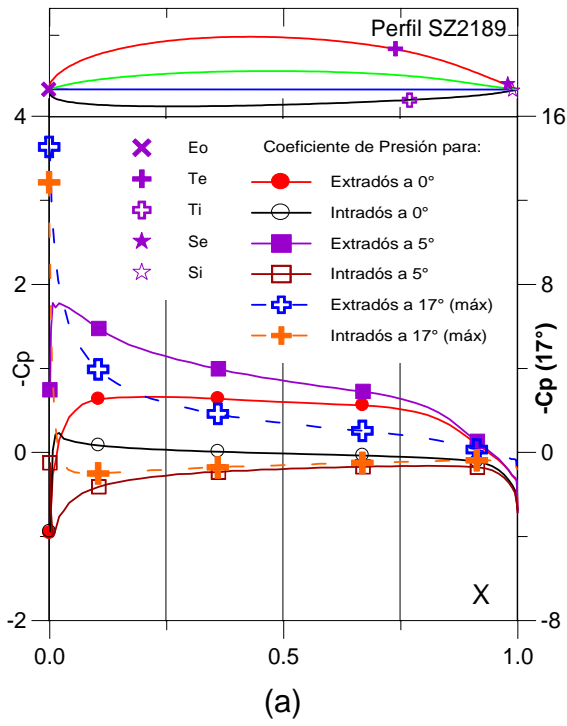


Fig. 5.2.179. (a) C_p (0° , 5° y Máx) vs. X para $Re = 1 E 6$ (leer $C_{p\text{máx}}$ a la derecha) y (b) Curvas Polares del Perfil SZ - 2189.

Fig. 5.2.180. (c) Curvas de Cl/Cd y (d) Cl , Cd , C_m vs. Ángulo de ataque del Perfil SZ - 2189.

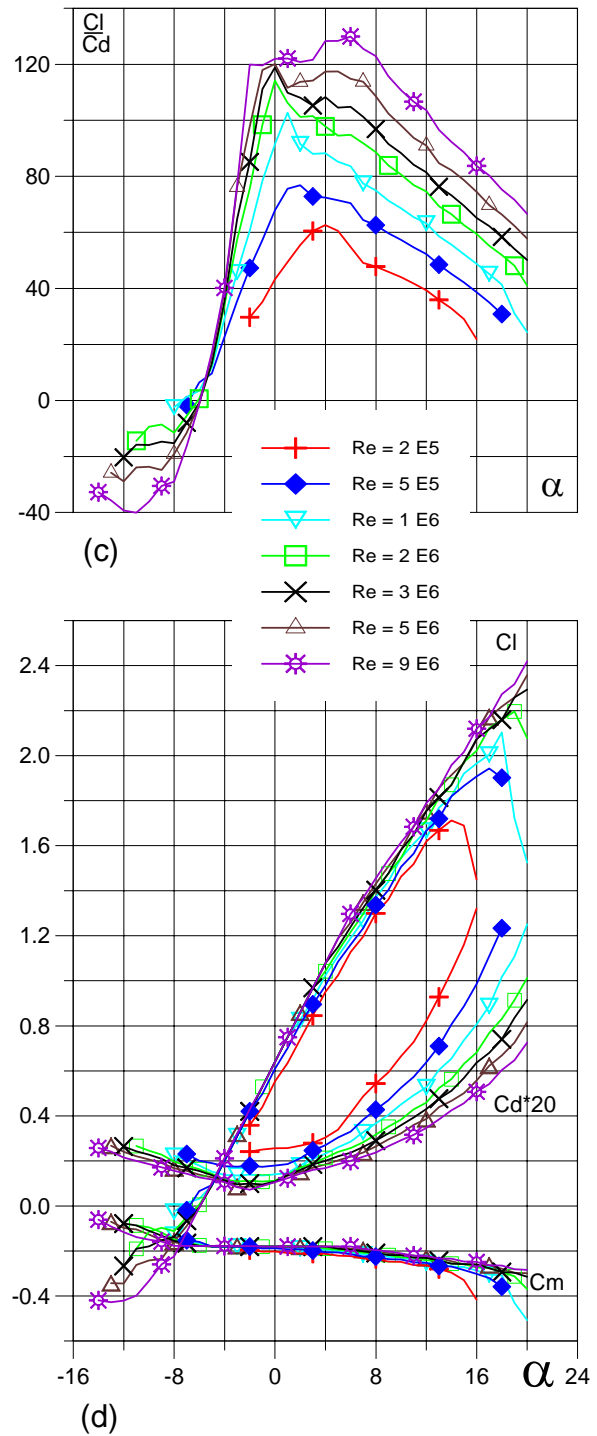
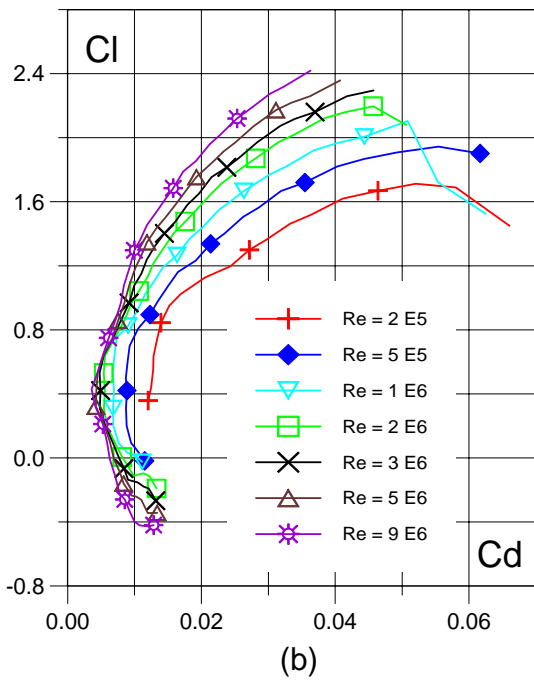
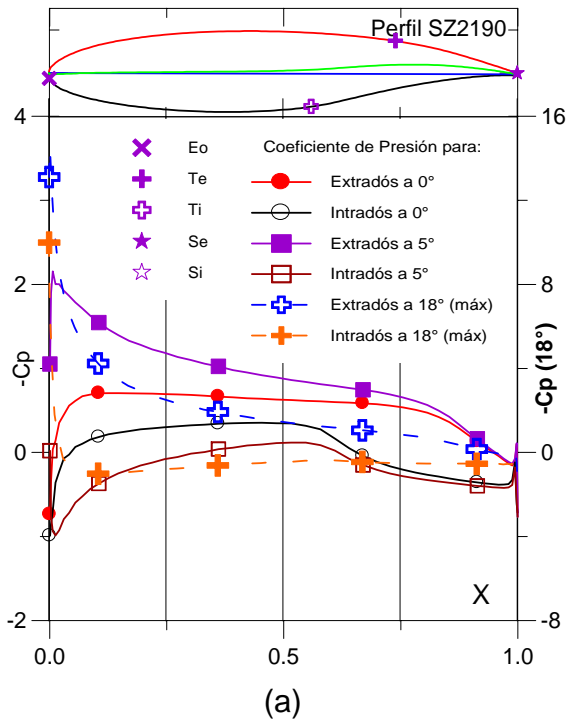


Fig. 5.2.181. (a) C_p (0° , 5° y Máx) vs. X para $Re = 1 E 6$ (leer $C_{p\text{máx}}$ a la derecha) y (b) Curvas Polares del Perfil SZ - 2190.

Fig. 5.2.182. (c) Curvas de Cl/C_d y (d) Cl , C_d , C_m vs. Ángulo de ataque del Perfil SZ - 2190.

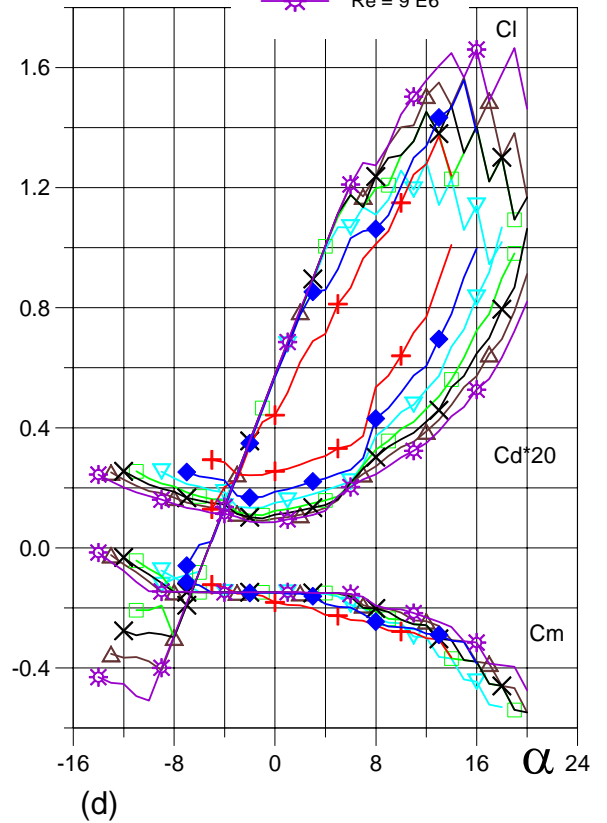
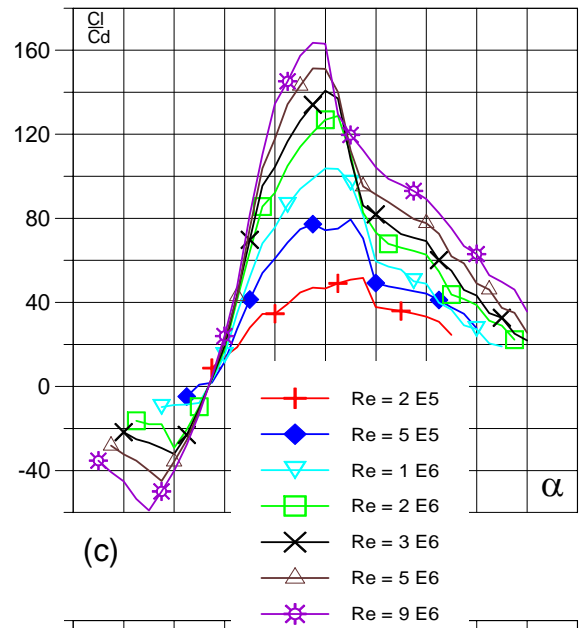
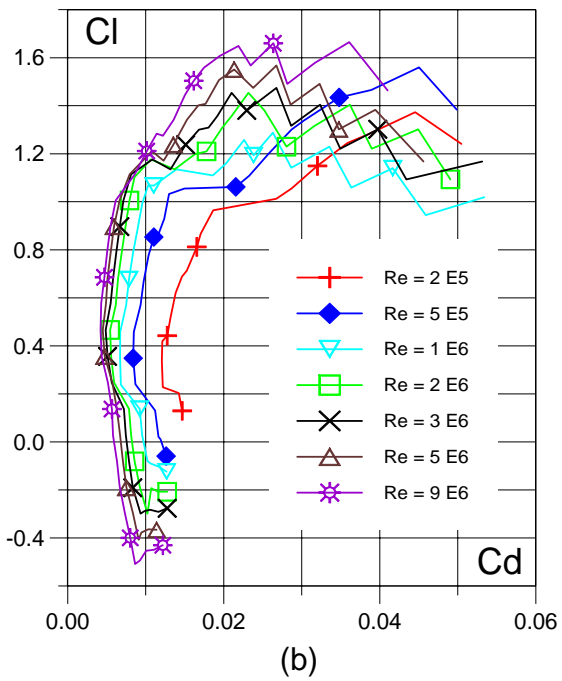
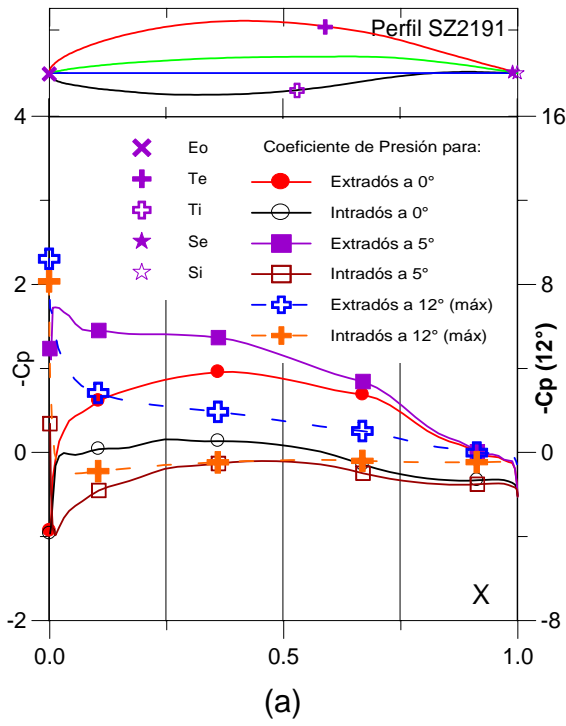


Fig. 5.2.183. (a) C_p (0°, 5° y Máx) vs. X para $Re = 1 E 6$ (leer $C_{p\text{máx}}$ a la derecha) y (b) Curvas Polares del Perfil SZ - 2191.

Fig. 5.2.184. (c) Curvas de Cl/Cd y (d) Cl , Cd , C_m vs. Ángulo de ataque del Perfil SZ - 2191.

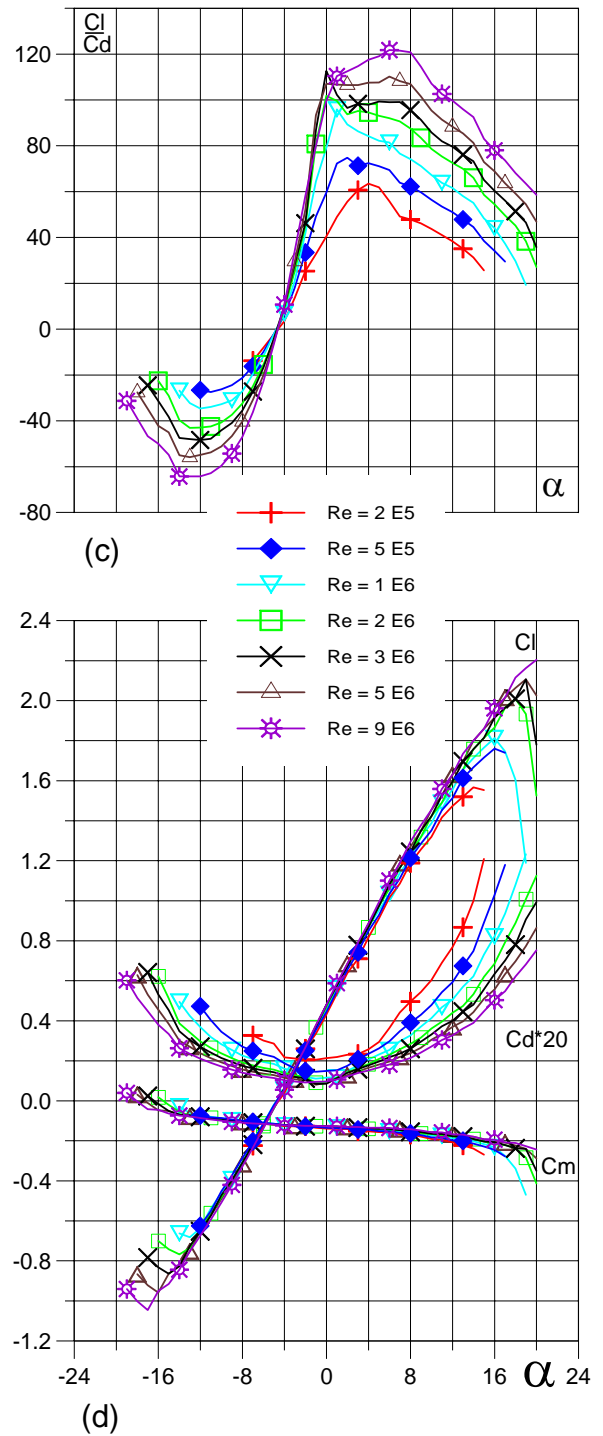
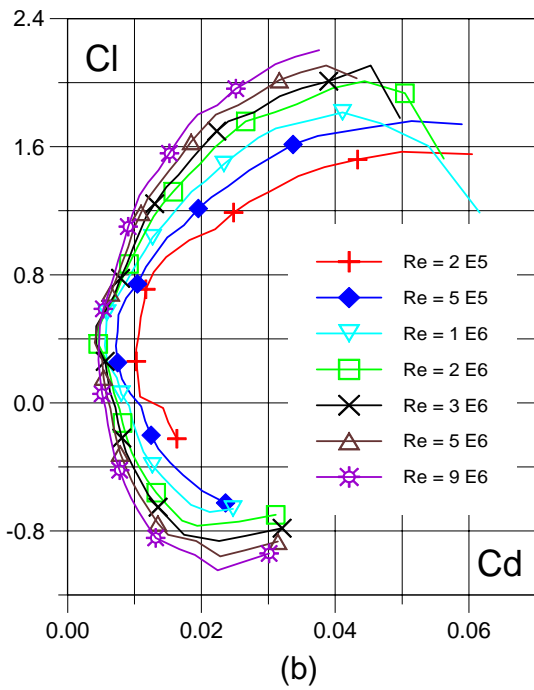
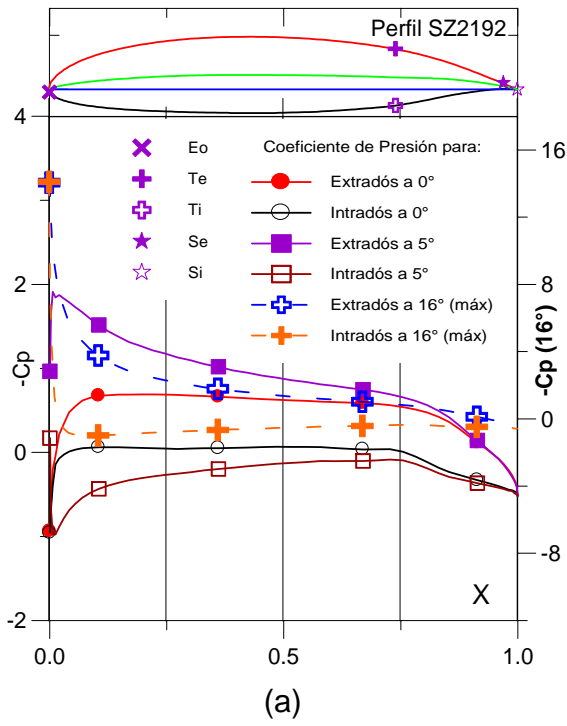


Fig. 5.2.185. (a) C_p (0° , 5° y Máx) vs. X para $Re = 1 E 6$ (leer $C_{p\text{máx}}$ a la derecha) y (b) Curvas Polares del Perfil SZ - 2192.

Fig. 5.2.186. (c) Curvas de Cl/Cd y (d) Cl , Cd , C_m vs. Ángulo de ataque del Perfil SZ - 2192.

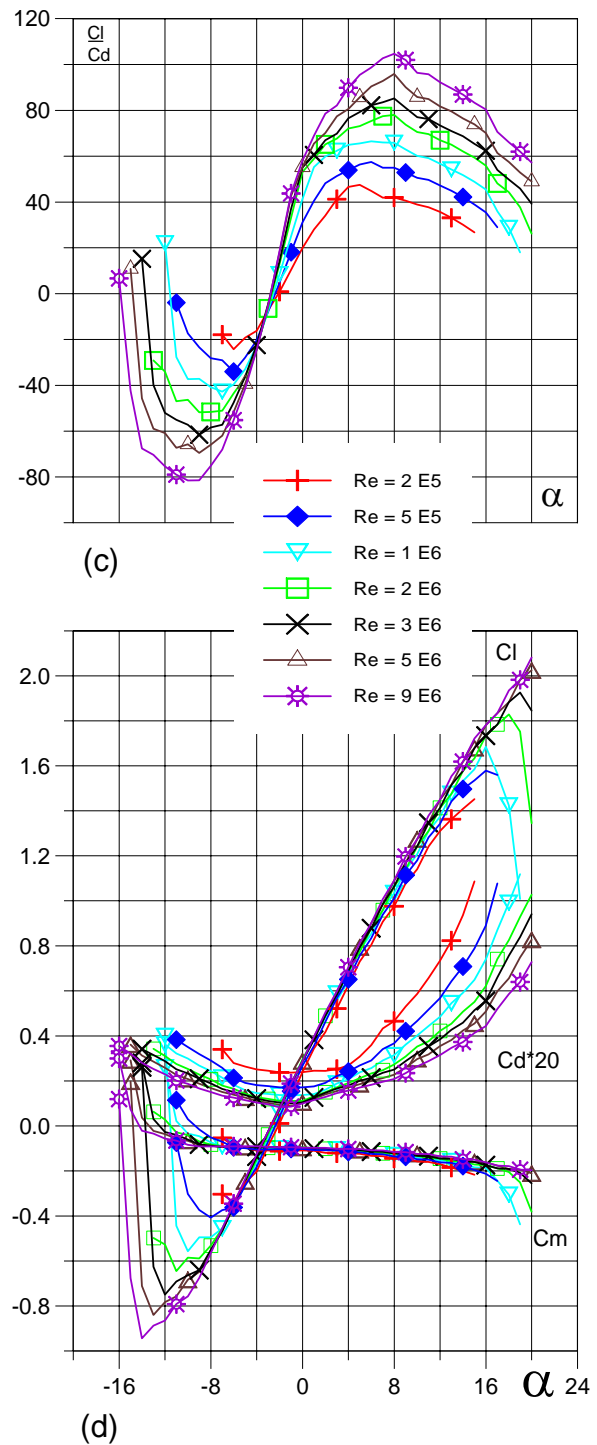
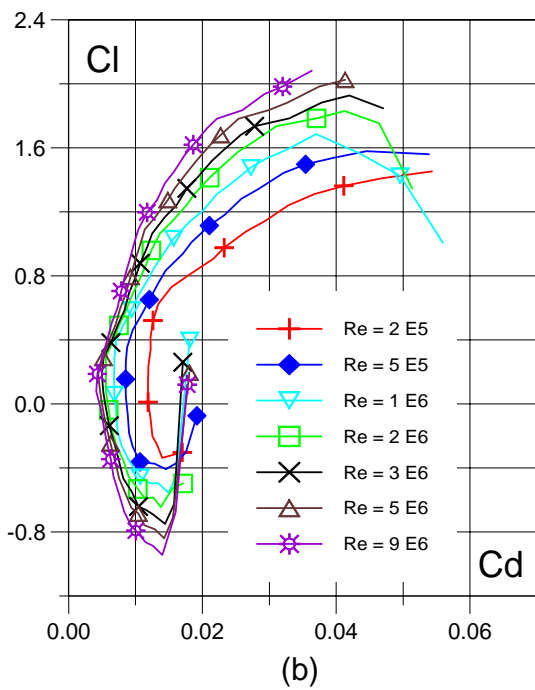
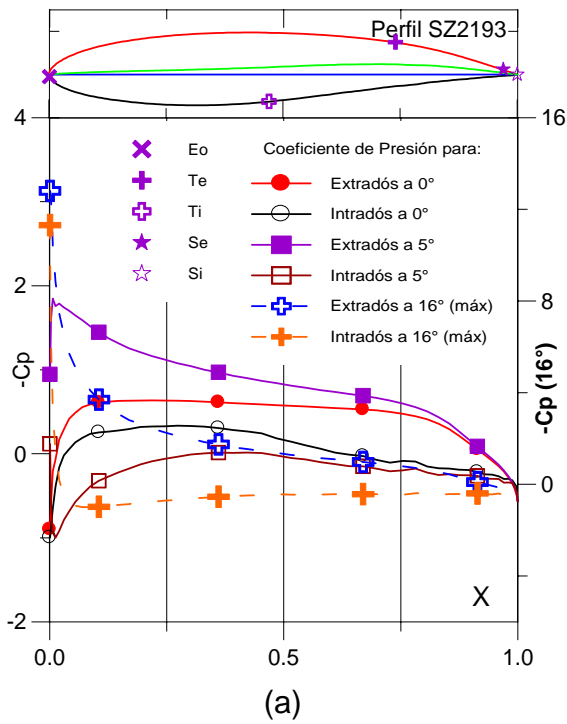


Fig. 5.2.187. (a) C_p (0° , 5° y Máx) vs. X para $Re = 1 E 6$ (leer $C_{p\text{máx}}$ a la derecha) y (b) Curvas Polares del Perfil SZ - 2193.

Fig. 5.2.188. (c) Curvas de Cl/Cd y (d) Cl , Cd , C_m vs. Ángulo de ataque del Perfil SZ - 2193.

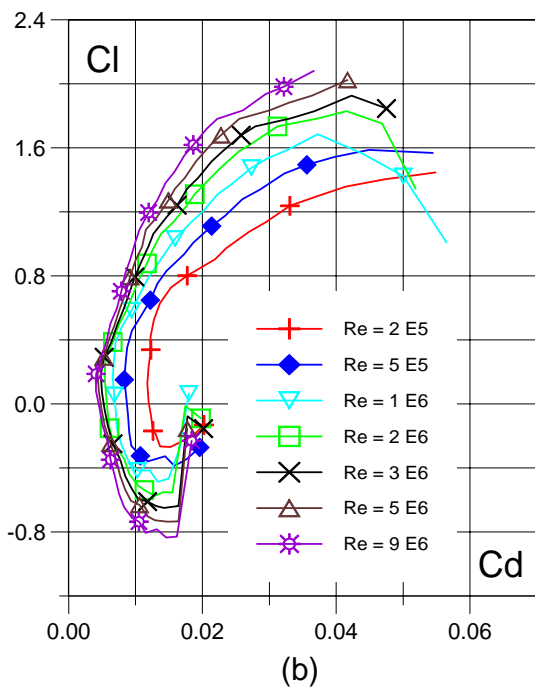
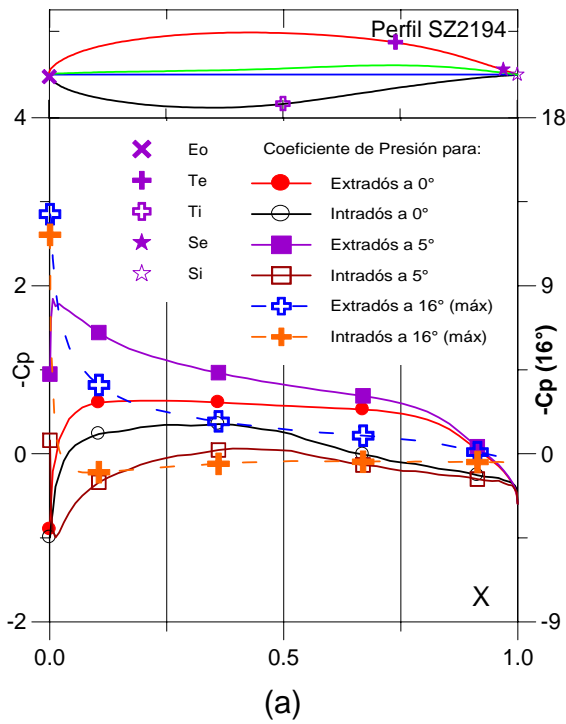


Fig. 5.2.189. (a) C_p (0° , 5° y Máx) vs. X para $Re = 1 E 6$ (leer $C_{p\text{máx}}$ a la derecha) y (b) Curvas Polares del Perfil SZ - 2194.

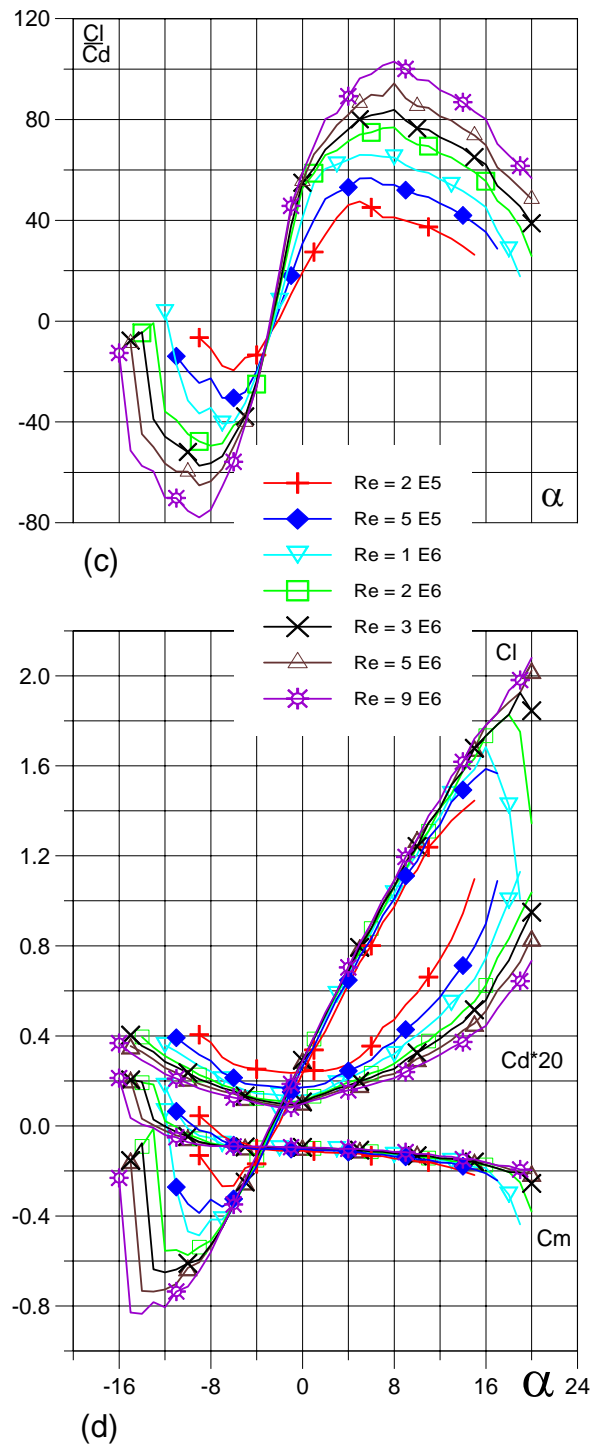


Fig. 5.2.190. (c) Curvas de Cl/Cd y (d) Cl , Cd , C_m vs. Ángulo de ataque del Perfil SZ - 2194.

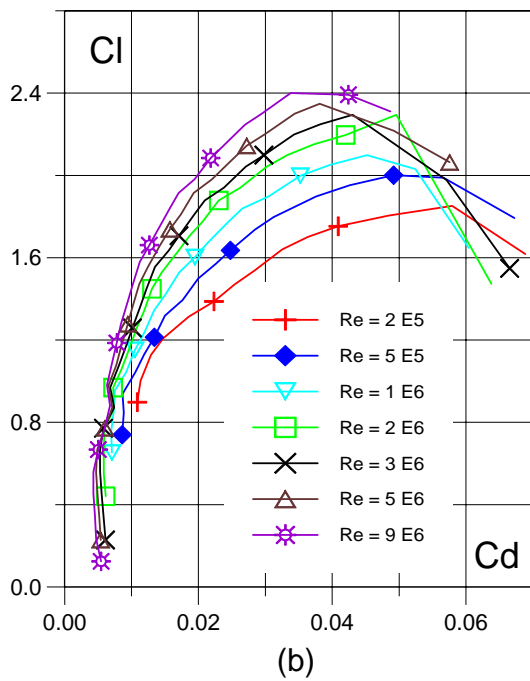
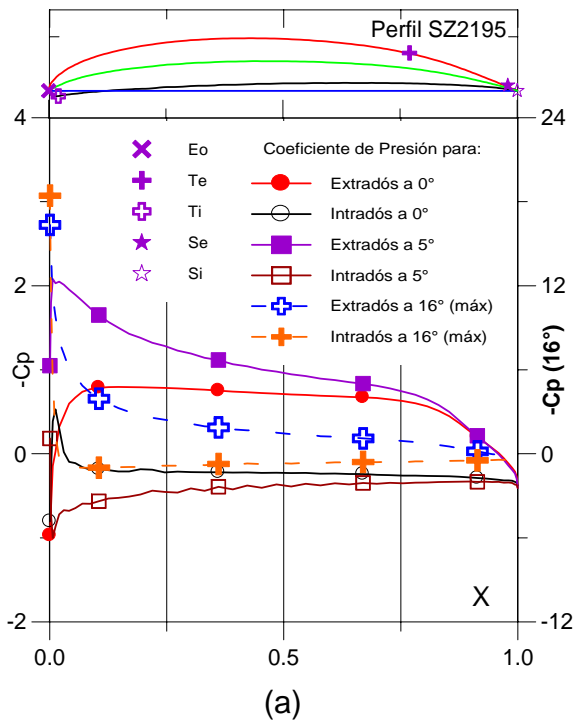


Fig. 5.2.191. (a) C_p (0° , 5° y Máx) vs. X para $Re = 1 E 6$ (leer $C_{p\text{máx}}$ a la derecha) y (b) Curvas Polares del Perfil SZ - 2195.

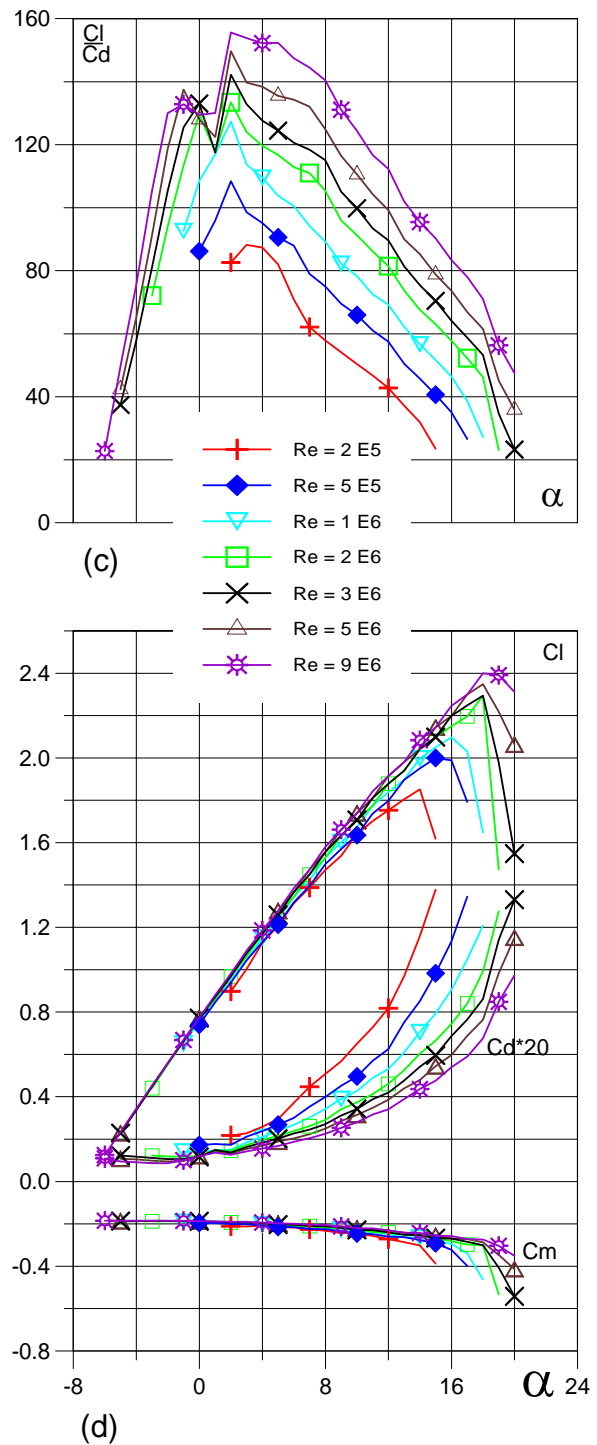
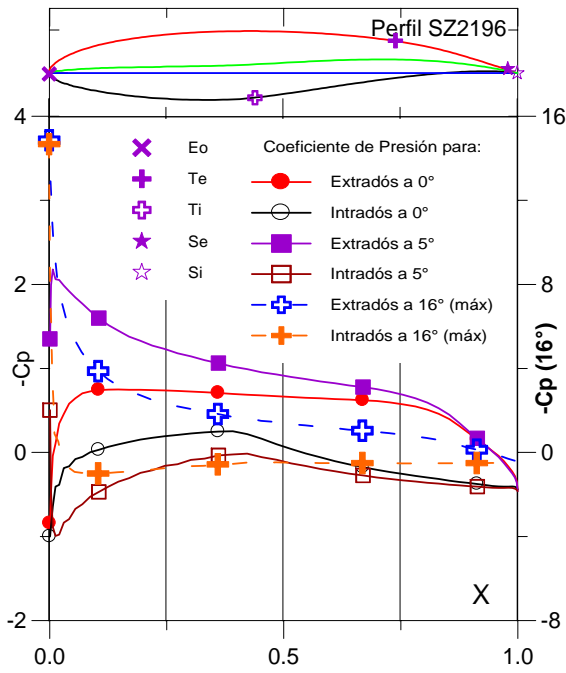
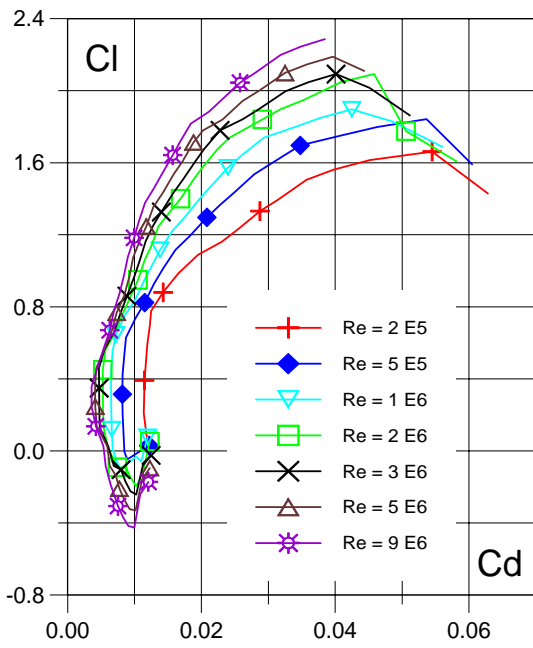


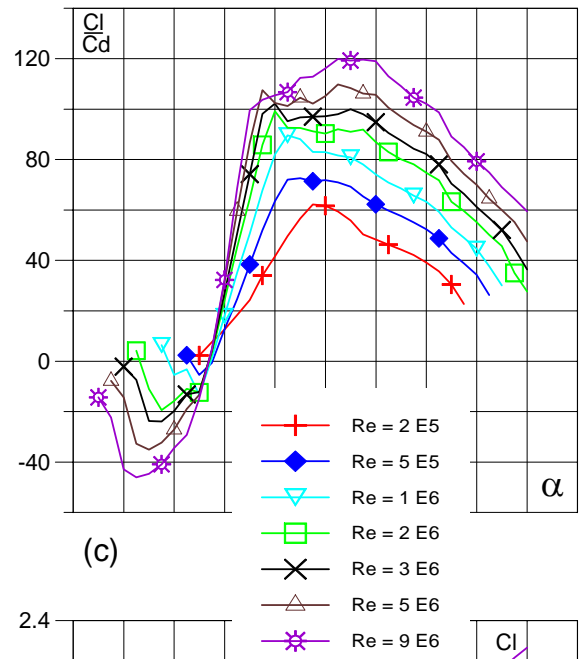
Fig. 5.2.192. (c) Curvas de Cl/Cd y (d) Cl , Cd , C_m vs. Ángulo de ataque del Perfil SZ - 2195.



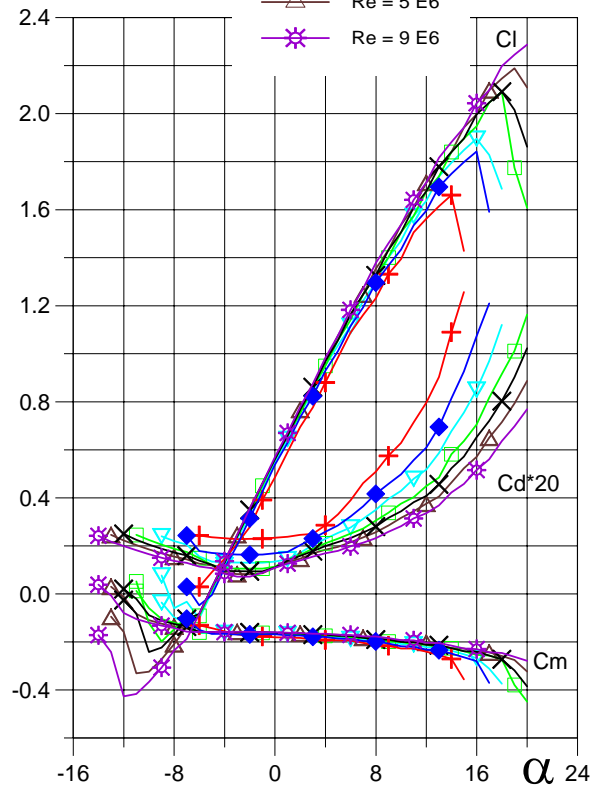
(a)



(b)



(c)



(d)

Fig. 5.2.193. (a) C_p (0°, 5° y Máx) vs. X para $Re = 1 E 6$ (leer $C_{p\text{máx}}$ a la derecha) y (b) Curvas Polares del Perfil SZ - 2196.

Fig. 5.2.194. (c) Curvas de Cl/Cd y (d) Cl , Cd , C_m vs. Ángulo de ataque del Perfil SZ - 2196.

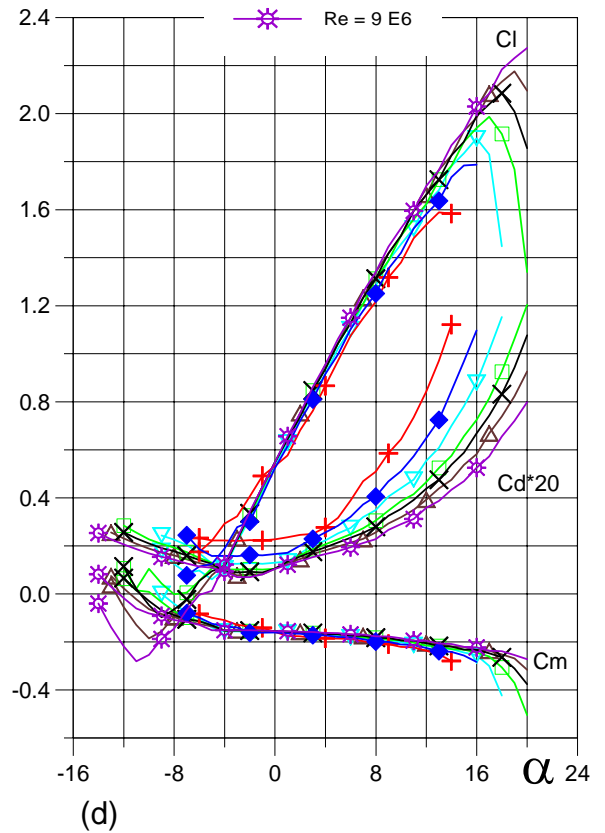
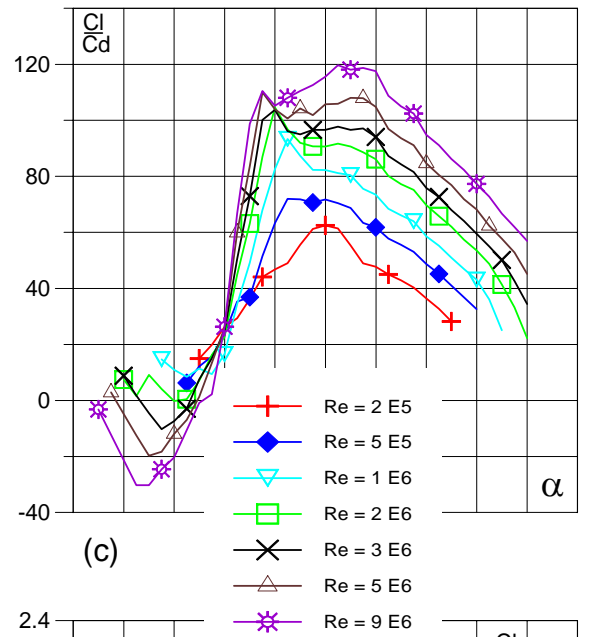
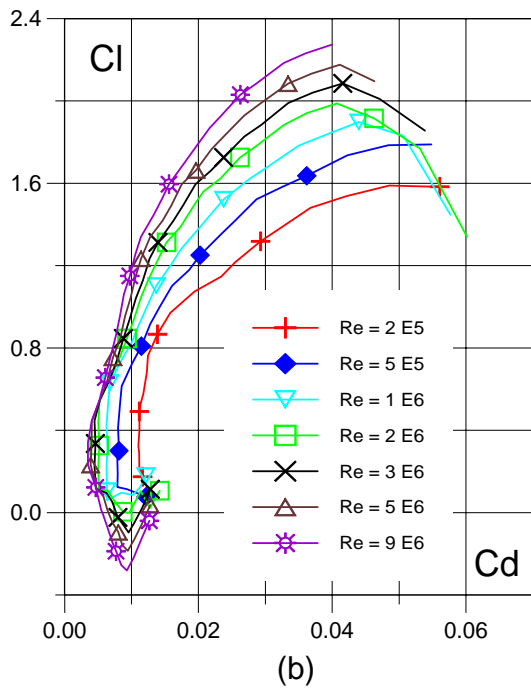
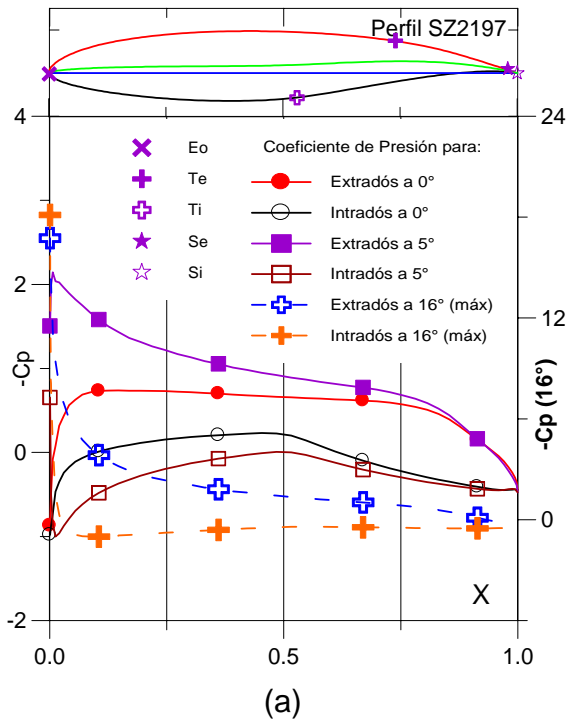
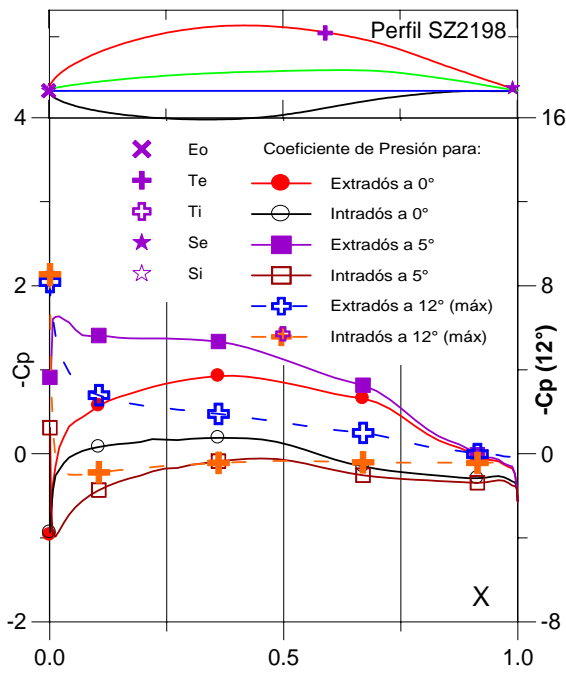
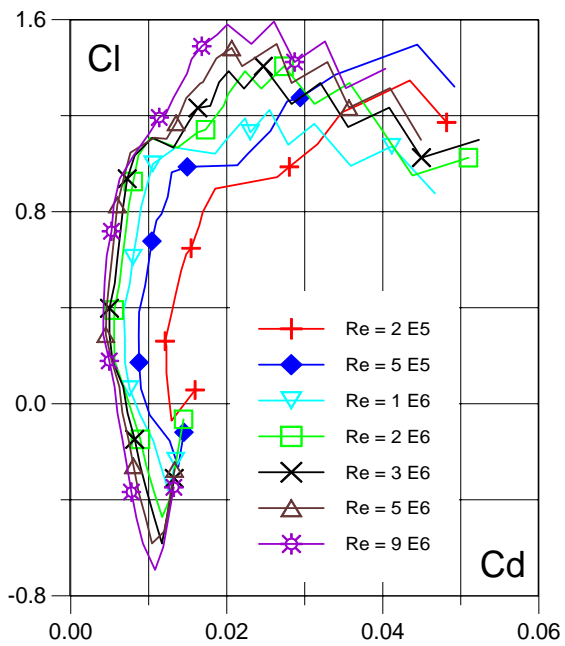


Fig. 5.2.195. (a) Cp (0°, 5° y Máx) vs. X para Re = 1 E 6 (leer Cpmáx a la derecha) y (b) Curvas Polares del Perfil SZ - 2197.

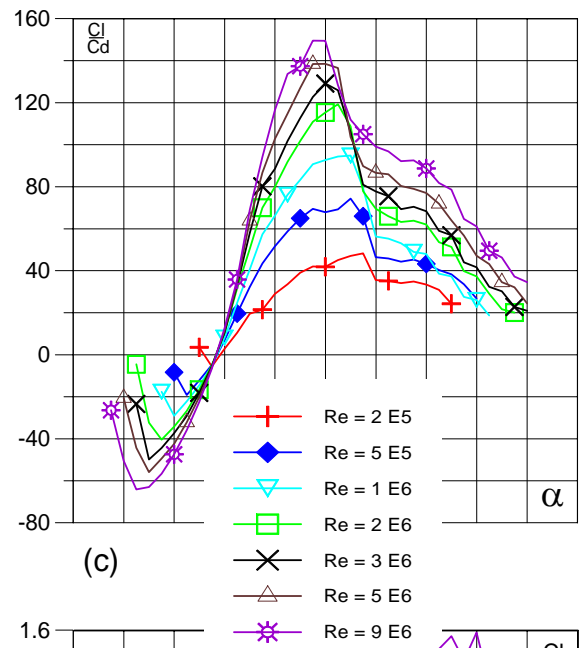
Fig. 5.2.196. (c) Curvas de Cl/Cd y (d) Cl, Cd, Cm vs. Ángulo de ataque del Perfil SZ - 2197.



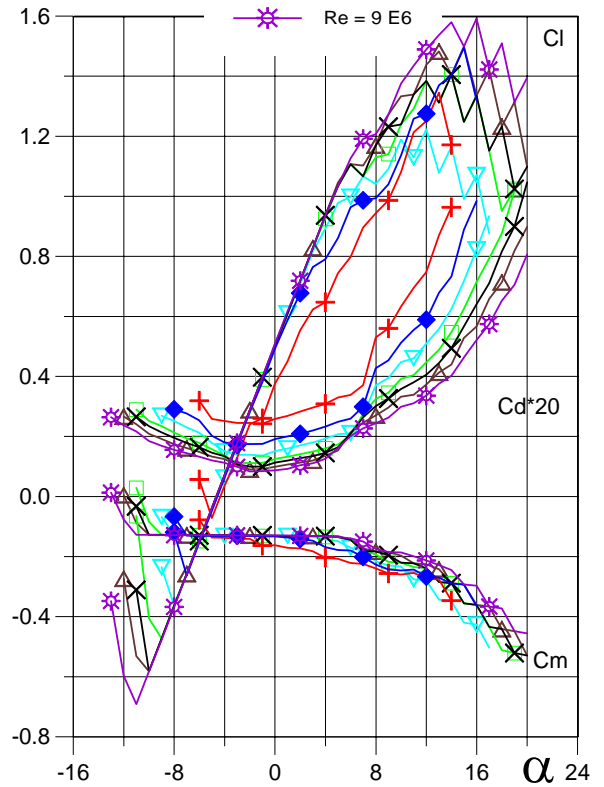
(a)



(b)



(c)



(d)

Fig. 5.2.197. (a) C_p (0° , 5° y Max) vs. X para $Re = 1 E 6$ (leer $C_{p\text{max}}$ a la derecha) y (b) Curvas Polares del Perfil SZ - 2198.

Fig. 5.2.198. (c) Curvas de Cl/Cd y (d) Cl , Cd , C_m vs. ngulo de ataque del Perfil SZ - 2198.

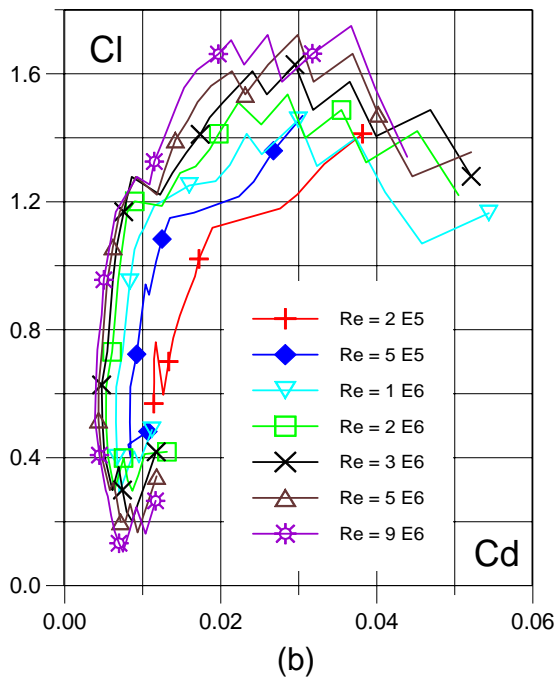
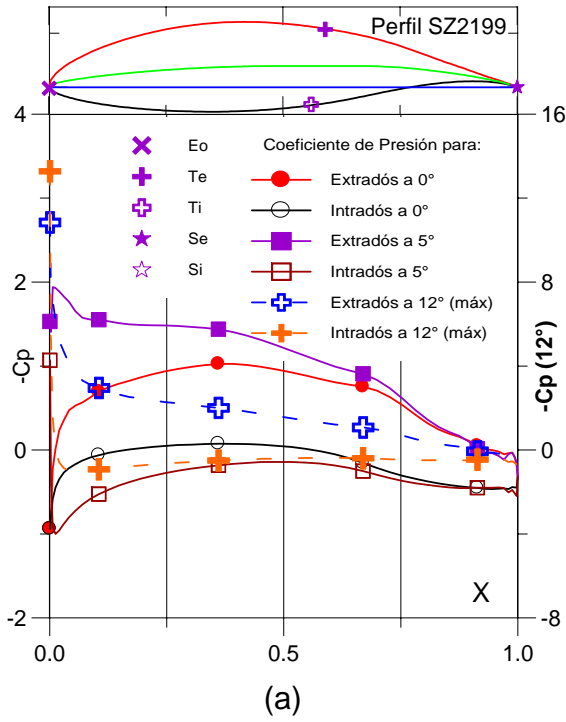


Fig. 5.2.199. (a) C_p (0° , 5° y Máx) vs. X para $Re = 1 E 6$ (leer $C_{p\text{máx}}$ a la derecha) y (b) Curvas Polares del Perfil SZ - 2199.

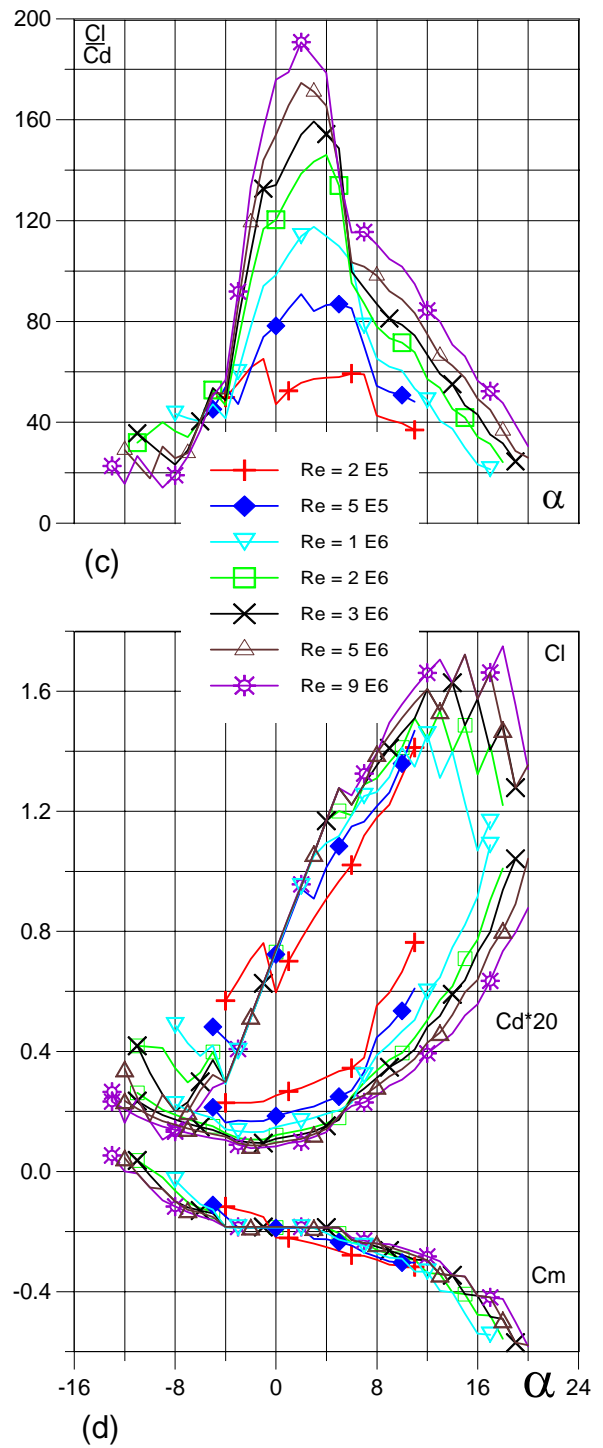


Fig. 5.2.200. (c) Curvas de Cl/Cd y (d) Cl , Cd , C_m vs. Ángulo de ataque del Perfil SZ - 2199.